

**CURSUL 1**

## CAPITOLUL 1

### TEORIA GRAFURILOR.

#### OPTIMIZĂRI ÎN REȚELE DE TRANSPORT ȘI DISTRIBUȚIE

**NOTĂ:** Suportul de curs al Capitolelor 1, 2 și 3 are la bază lucrările:

- Ciobanu, Gh., Nica, V., Mustață, Fl., Mărcine, V. Mitrut, D. (2002), *Cercetări operaționale. Optimizări în rețele. Teorie și aplicații economice*, Editura MATRIX ROM, București;
- Ciobanu, Gh., Nica, V., Mustață Fl., Mărcine, V. (1996), *Cercetări operaționale cu aplicații în economie. Teoria grafurilor și Analiza drumului critic*, Editura MATRIX-ROM, București

#### 1.1. Modelarea problemelor de transport și distribuție

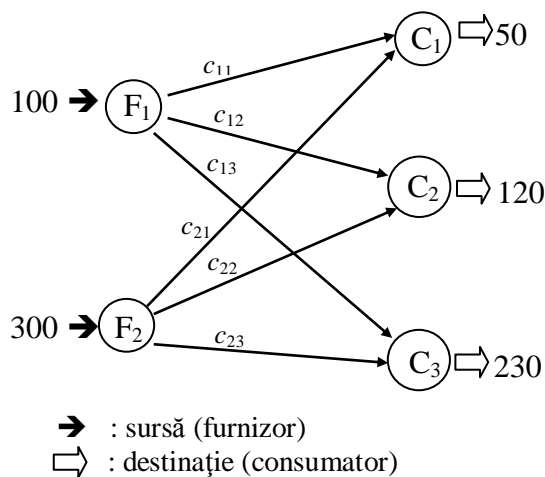
Într-o mare varietate de contexte se pune problema *deplasării* unei cantități  $Q$  ce poate fi materie, energie, informație, etc. din unele locuri numite *surse* în alte locuri numite *destinații*, această deplasare realizându-se pe anumite *rute de legătură*. Unitățile indivizibile ale cantității  $Q$  care se deplasează de-a lungul rutelor se vor numi *unități de flux*.

#### O clasificare a problemelor de transport și distribuție

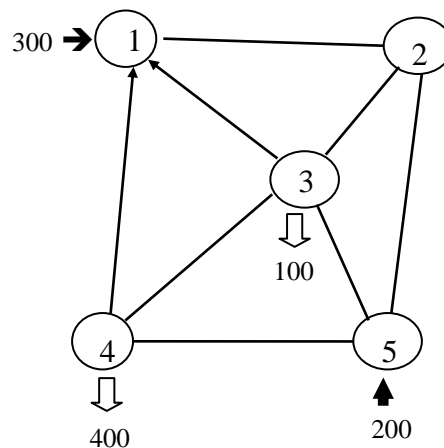
Pentru Cercetarea Operațională, problema enunțată va prezenta interes numai dacă respectă următoarele ipoteze:

a) *cel puțin o sursă poate aproviziona mai multe destinații și cel puțin o destinație poate primi unități de flux de la mai multe surse.*

Rutele de legătură pot avea și alte puncte comune în afara surselor și destinațiilor, numite *puncte intermediare* sau *de tranzit*. Nu sunt excluse legăturile directe între surse sau între destinații. În principiu, orice rută poate fi parcursă în ambele sensuri, dar pot exista și rute cu sens unic.



a)



b)

Figura 1.1.

Ansamblul surselor, destinațiilor, al punctelor intermediare și al rutelor de legătură se va numi *rețea de transport*; el se identifică cu un *graf neorientat sau parțial orientat* ca în figura 1.1.

b) Unele rute de legătură pot avea limitări superioare și / sau inferioare pentru volumul unităților de flux ce se deplasează într-un sens sau altul. Aceste limitări poartă numele de *capacități* (inferioare, respectiv superioare). În continuare, vom avea în vedere numai cazul în care toate capacitățile inferioare sunt egale cu zero, capacitățile superioare fiind exprimate prin numere pozitive.

c) Există un cost al deplasării unei unități de flux de la un punct al rețelei la altul, cost care poate fi exprimat în bani, timp sau distanță. Sunt situații în care acest cost poate semnifica *profitul* obținut de pe urma deplasării. Pe aceeași rută, costurile și capacitățile pot fi diferite în funcție de sensul de parcurgere al rutei.

*Ipoteza a) va fi întotdeauna presupusă în timp ce ipotezele b) și c) pot fi înținț separat sau simultan.*

1) În prezența ipotezei c) și absența condiției b) se pune problema deplasării cantității de flux  $Q$  de la surse la destinații *la un cost total minim*. Dacă sursele sunt în legătură directă cu destinațiile obținem **problema clasică de transport**, care va face obiectul Capitolului 4 al cursului. Cazul general, în care există și puncte intermediare, este cunoscut sub numele de *problema transferului* și el nu face obiectul cursului de față. În cazul particular al unei singure surse  $s$ , al unei singure destinații  $t$  și a unei singure unități de flux se obține **problema drumului de cost minim de la  $s$  la  $t$** , problemă de care ne vom ocupa în secțiunea 1.4 a acestui capitol.

2) În prezența ipotezei b) și absența ipotezei c) se pune problema dacă rețeaua, ale cărei rute sunt *capacitate, este capabilă să permită acoperirea integrală a cererilor în punctele de destinație*. Pentru aceasta, se va rezolva problema determinării volumului *maxim*  $Q^*$  de unități de flux ce pot fi deplasate de la surse la destinații. Dacă  $Q^* < Q$  vor exista destinații a căror cerere este acoperită doar în parte și atunci se ridică problema *măririi capacității de transfer a rețelei*. Am descris succint **problema fluxului maxim**, problemă ce va fi abordată în cadrul cursului de Cercetări Operaționale din anul 3.

3) În prezența simultană a ipotezelor b) și c) se pune *problema satisfacerii cererilor în punctele de destinație la un cost de transport minim*. Ca și în cazul precedent vom avea în vedere o problemă modificată: vom determina mai întâi cantitatea maximă de flux ce poate fi deplasată de la surse la destinații și apoi modul de organizare al deplasării astfel încât costul operației să fie minim. Aceasta este **problema fluxului (maxim) de cost minim**, problemă abordată, de asemenea, în cadrul cursului de Cercetări Operaționale din anul 3.

În secțiunile următoare vom trata două probleme de optimizare în rețele de transport: problema determinării unui **arbore maximal (de acoperire) de valoare (cost) minim** și **problema drumului de cost minim de la  $s$  la  $t$** .

## 1.2 Concepte utilizate în teoria grafurilor

În secțiunea 1.1 am vizualizat elementele unei rețele de transport printr-un desen compus din puncte și arce care unesc unele din aceste puncte (vezi figura 1.1). Un asemenea desen constituie forma uzuală de prezentare a unui concept deosebit de important, atât în sine cât și pentru studiul unei impresionante varietăți de probleme din cele mai diverse domenii, domeniul economic fiind prioritar.

Am socotit deci necesar să includem aici câteva elemente privitoare la conceptul de **graf**, căci despre el este vorba. Aceste elemente vor fi foarte utile pentru înțelegerea considerațiilor teoretice dezvoltate în legătură cu rezolvarea problemei de transport și de asemenea constituie cadrul natural de abordare și a celorlalte probleme amintite în clasificarea dată în secțiunea precedentă.

Un **graf** este un cuplu  $G = (V, E)$  format dintr-o mulțime *nevidă*  $V$ , ale cărei elemente se numesc *vârfuri* sau *noduri* și o mulțime  $E$  de elemente, zise *muchii*, cu proprietatea că fiecărei muchii  $e \in E$  îi sunt asociate două noduri  $x, y \in V$ , nu neapărat distincte, numite *extremitățile* muchiei  $e$ . Un *subgraf* al grafului  $G = (V, E)$  este un graf  $G' = (V', E')$  în care  $V' \subseteq V$ ,  $E' \subseteq E$  și orice muchie  $e \in E'$  are aceleași extremități atât în  $G'$  cât și în  $G$ .

După cum se vede, definiția generală nu exclude existența muchiilor cu o singură extremitate (aceste muchii se numesc *bucle*), nici existența mai multor muchii cu aceleași extremități (figura 1.2.a)

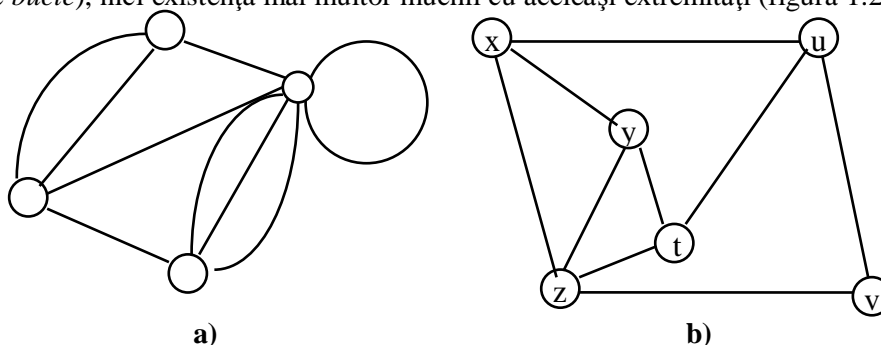


Figura 1.2.

Graful  $G$  se va numi *simplic* dacă nu are bucle și oricare două noduri sunt extremități pentru cel mult o muchie. Vom spune că  $G$  este *finit* dacă vârfurile și muchiile sale sunt în număr finit.

În continuare, vom avea în vedere în exclusivitate grafuri **finite și simple** așa cum este cel reprezentat grafic în figura 1.2.b).

Fie  $e = \{x, y\}$  o muchie a grafului  $G = (V, E)$ ; extremitățile sale pot fi ordonate în două moduri:  $(x, y)$  și  $(y, x)$ . Cele două perechi se numesc *rute orientate* sau *arce* generate de muchia subiacentă  $e$ ; spunem că arcul  $(x, y)$  are *extremitatea inițială*  $x$  și *extremitatea finală*  $y$  și că  $(y, x)$  este arcul *opus* lui  $(x, y)$ . A *orienta* muchia  $\{x, y\}$  înseamnă a *alege* unul din arcele  $(x, y)$  sau  $(y, x)$ ; dacă a fost ales arcul  $(x, y)$  vom spune că  $(x, y)$  este un arc *permis* și că arcul  $(y, x)$  este *blocat*. Dacă o asemenea alegere nu a fost făcută vom spune că muchia  $\{x, y\}$  este *neorientată*. În acest caz, convenim ca ambele arce  $(x, y)$  și  $(y, x)$ , generate de muchia  $\{x, y\}$ , să fie considerate permise. În fine, a da o *orientare* în graful  $G$  înseamnă a orienta unele din muchiile sale; orientarea poate fi *totală* sau *parțială* după cum toate muchiile grafului au fost orientate sau numai o parte din ele. Este clar că în același graf  $G$  pot fi date mai multe orientări; dacă  $G$  are  $m$  muchii, atunci există  $2^m$  orientări totale diferite ale acestuia!

Un *graf orientat* (*parțial orientat*, *neorientat*) este un graf în care s-a dat o orientare totală (o orientare parțială, respectiv nu s-a dat nici o orientare); de exemplu, graful din figura 1.1.a) este (total) orientat iar cel din figura 1.1.b) numai parțial. Graful din figura 1.2.b) este neorientat.

În unele situații este util să se pună în evidență arcele permise ale unui graf (parțial) orientat; realizarea grafică, intuitivă a acestei operații este făcută în figura 1.3.

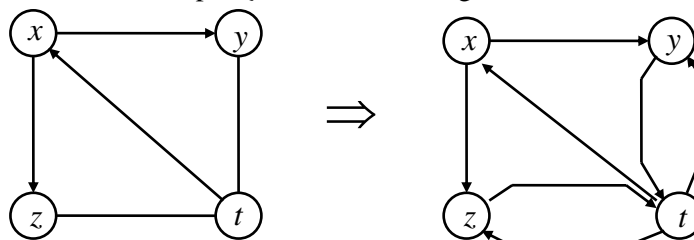


Figura 1.3.

Se constată ușor că dacă  $G$  este (total) neorientat, numărul arcelor permise este de două ori mai mare decât numărul muchiilor din  $G$ .

În continuare vom introduce o serie de noțiuni frecvent utilizate în teoria grafurilor. Unele din ele se referă la muchii și de aceea se numesc “generic” *concepte neorientate* altele se referă la rute orientate permise, drept care se mai numesc și *concepte orientate*. Vom considera un graf (*finit, simplic*)  $G = (V, E)$ , în care (eventual) s-a dat o orientare pe unele din muchii (posibil pe toate).

Un **lanț** în graful  $G$  este o succesiune de noduri  $\lambda = (x_0, x_1, \dots, x_{p-1}, x_p)$  cu proprietatea că  $\{x_0, x_1\}$ ,  $\{x_1, x_2\}$ , ...,  $\{x_{p-1}, x_p\}$  sunt muchii în  $G$ . Vom spune că  $x_0$  și  $x_p$  sunt *extremitățile* lanțului  $\lambda$  și că  $\lambda$  “trece” prin nodurile *intermediare*  $x_1, \dots, x_{p-1}$ . Lanțul  $\lambda$  se zice **simplic** dacă nu trece de două ori prin același nod. Prin definiție *lungimea* lanțului  $\lambda$  este dată de numărul muchiilor componente. Astfel, lanțurile de lungime unu se identifică cu muchiile grafului  $G$ ; un lanț de lungime doi este constituit din două muchii *adiacente* (au o extremitate în comun).

Un **ciclu** este un lanț ale cărui extremități coincid.

În figura 1.2.b) succesiunile de noduri  $\lambda = (x, y, t, u, v)$  și  $\lambda' = (x, z, y, t, z, v)$  sunt lanțuri:  $\lambda$  este un lanț simplic de lungime 4 în timp ce  $\lambda'$  are lungimea 5 și nu este simplic. Succesiunea  $\mu = (x, y, t, u, x)$  este un ciclu de lungime 4.

Un **drum** în graful  $G$  este o succesiune de noduri  $\delta = (x_0, x_1, \dots, x_{p-1}, x_p)$  cu proprietatea că  $(x_0, x_1)$ ,  $(x_1, x_2)$ , ...,  $(x_{p-1}, x_p)$  sunt *arce* permise. Nodul  $x_0$  este *extremitatea inițială* a drumului  $\delta$  iar  $x_p$  *extremitatea finală*. Un **circuit** este un drum ale cărui extremități coincid. Este clar că orice drum este un lanț, reciproca nefiind adevărată întotdeauna. În figura 1.3,  $\delta = (z, t, x)$  este un drum de lungime 2 iar  $\mu = (x, y, t, x)$  este un circuit de lungime 3; în același graf,  $\lambda = (z, x, y)$  este un lanț care nu este un drum deoarece arcul  $(z, x)$  este blocat.

Graful  $G = (V, E)$  se zice **conex** dacă oricare două noduri ale sale sunt extremitățile unui lanț. Dacă  $G$  nu este conex, există *partițiile*  $V = V_1 \cup V_2 \cup \dots \cup V_s$  și  $E = E_1 \cup E_2 \cup \dots \cup E_s$  astfel încât  $G_1 = (V_1, E_1)$ ,  $G_2 = (V_2, E_2)$ , ...,  $G_s = (V_s, E_s)$  sunt grafuri conexe. Subgrafurile  $G_1, G_2, \dots, G_s$  se numesc **componentele conexe** ale grafului  $G$ . Graful din figura 1.3 este conex (ca și cele din figurile anterioare); graful din figura 1.4 are trei componente conexe.

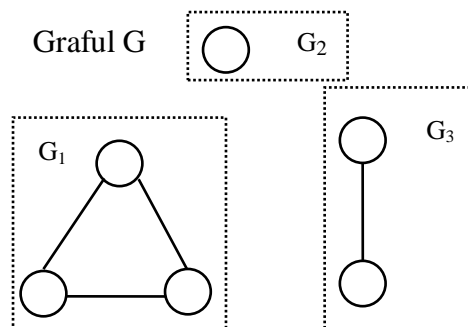


Figura 1.4.

Graful  $G = (V, E)$  se numește **bipartit** dacă mulțimea nodurilor sale poate fi descompusă în două submulțimi nevide și disjuncte  $S$  și  $T$ , astfel încât orice muchie din  $G$  are o extremitate în  $S$  și cealaltă în  $T$ .

*Este clar că graful asociat unei probleme clasice de transport este bipartit (figura 1.1.a), nodurile care reprezintă furnizorii formând mulțimea  $S$  iar nodurile corespunzătoare consumatorilor alcătuind mulțimea  $T$ .*

Calitatea unui graf de a fi bipartit nu depinde de modul particular de reprezentare așa cum arată exemplul din figura 1.5. O caracterizare completă a grafurilor bipartite este oferită de următoarea teoremă:

**Teorema König:** *Un graf este bipartit dacă și numai dacă nu conține cicluri de lungime impară (altfel spus, orice ciclu al său are un număr par de muchii).*

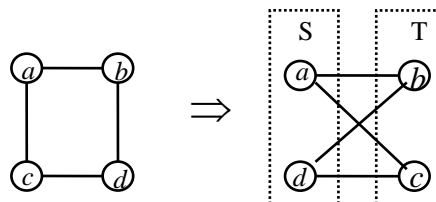


Figura 1.5.

**Adiacență și incidență.** Fie  $G = (V, E)$  un graf și  $x_i, x_j \in V$ . Nodurile  $x_i$  și  $x_j$  sunt *noduri adiacente* dacă există o muchie  $e = [x_i, x_j]$  care le unește. Dacă  $e = [x_i, x_j]$ , muchia  $e$  și nodul  $x_i$  sau muchia  $e$  și nodul  $x_j$  sunt *incidente*. Două muchii  $e_1$  și  $e_2$  ale grafului sunt *muchii adiacente* dacă sunt incidente în același nod (au o extremitate în comun).

**Gradul unui nod**  $x \in V$ , notat cu  $d(x)$  reprezintă numărul de muchii din graful  $G$  incidente cu nodul  $x$  (care au o extremitate în  $x$ ). Un nod izolat are gradul 0. Dacă  $|V| = n$  și  $|E| = m$  atunci pentru orice  $(m, n)$  – graf (un graf cu  $n$  noduri și  $m$  muchii) se verifică relația:  $\sum_{i=1}^n d(x_i) = 2 \cdot m$ . Această relație rezultă din faptul că fiecare muchie este incidentă în două noduri.

Un lanț elementar care trece prin toate nodurile unui graf este un *lanț hamiltonian*. Un lanț hamiltonian ale cărui extremități coincid se numește *ciclu hamiltonian*.

Un lanț simplu care parcurge odată și numai o dată toate muchiile grafului este un *lanț eulerian*. Un lanț eulerian ale cărui extremități coincid se numește *ciclu eulerian*.

Conceptele anterioare se aplică și în cazul grafurilor în care s-a dat o orientare a muchiilor, ele generând noțiunile de *drum/circuit hamiltonian*, respectiv *drum/circuit eulerian*.

### 1.3. Arbori maximali de valoare minimă

Fie  $G = (V, E)$  un graf neorientat, cu mulțimea nodurilor  $V = \{x_1, x_2, \dots, x_n\}$ . Notăm cu  $E(x)$  mulțimea muchiilor incidente într-un nod  $x$ , cu numărul elementelor  $|E(x)|$ . Un nod se numește *suspendat* (sau nod *frunză*) dacă există o singură muchie incidentă în  $x$  (altfel spus  $|E(x)| = 1$ ). Un nod  $x$  este *izolat* dacă nu există nici o muchie incidentă în  $x$  ( $|E(x)| = 0$ ).

**Definiția 1.1:** Un **arbor** este un graf neorientat, conex și fără cicluri (figura 1.6.).

**Propoziția 1.1\*** Un arbore  $H = (V, E)$ ,  $|V| = n$ ,  $|E| = m$  are următoarele proprietăți echivalente:

- 1)  $H$  este conex și fără cicluri;
- 2)  $H$  este fără cicluri și are  $n - 1$  muchii;
- 3)  $H$  este conex și are  $n - 1$  muchii;
- 4)  $H$  este fără cicluri și dacă se unesc printr-o muchie două noduri neadiacente, se creează un ciclu și numai unul (figura 1.7);
- 5)  $H$  este conex și dacă i se suprimă o muchie se creează două componente conexe (orice muchie din  $H$  este o punte între două noduri), graful se disconectează (figura 1.8);
- 6) Orice pereche de noduri este legată printr-un lanț și numai unul.

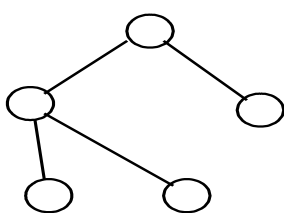


Figura 1.6.

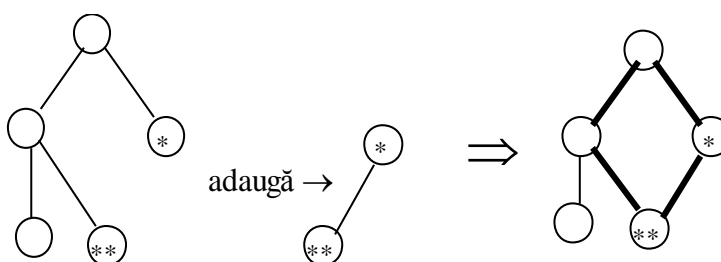


Figura 1.7

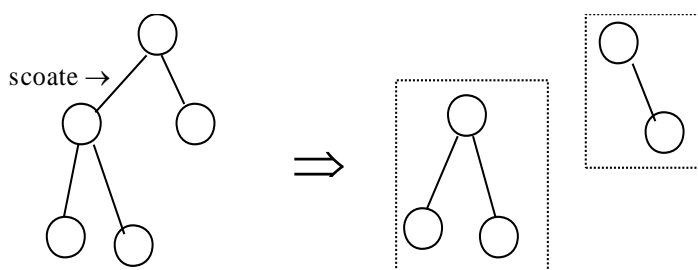
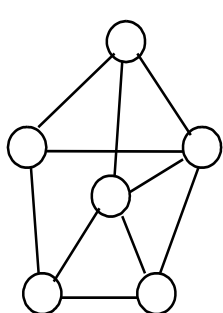
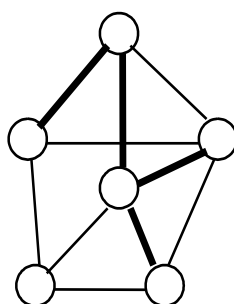


Figura 1.8

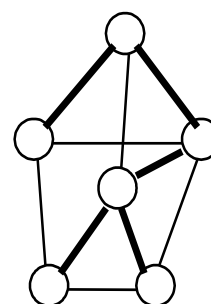
Un arbore  $H$  într-un graf  $G$  este un subgraf care - de sine stătător - este un arbore.  $H$  se zice *maximal* dacă conține toate nodurile grafului  $G$  (figura 1.9).



G



Arbore nemaximal în G



Arbore maximal în G

Figura 1.9.

\* Pentru demonstrațiile teoremelor, lemelor și propozițiilor acestui capitol a se vedea: Ciobanu Gh., Nica V., Mustață Floare, Măracine Virginia, Mitrut D., "Cercetări Operaționale. Optimizări în rețele. Teorie și aplicații economice", Editura MatrixRom, București, 2002

### 1.3.1. Arbori de acoperire

Fie  $G = (V, E)$  un graf neorientat. Un arbore  $H = (V, Y)$  se spune că este un *arbore care acoperă* graful  $G$  dacă  $Y \subseteq E$ . Dacă  $|V| = n$  și  $|Y| = n - 1$  arborele de acoperire este numit *maximal*.

**Teorema 1.1** Într-un graf  $G = (V, E)$  există un graf parțial  $H$  care este un arbore de acoperire dacă și numai dacă  $G$  este conex.

Să considerăm un graf  $G = (V, E)$  conex. O muchie  $e \in E$  este *valorizată* dacă i se asociază o valoare nenegativă  $v(e) \geq 0$ . Aceste valori pot reprezenta costuri, lungimi, profituri ale legăturilor definite prin muchiile grafului. Un graf  $G$  este *valorizat* dacă toate muchiile sale sunt valorizate. Graful  $G$  fiind un graf conex, conform teoremei 1.1, conține un arbore de acoperire  $H = (V, Y)$ ,  $Y \subseteq E$ , ca un graf parțial al său.

Valoarea unui arbore  $H = (V, Y)$  conținut în graful  $G = (V, E)$ ,  $Y \subseteq E$  este, prin definiție, suma valorilor muchiilor sale:

$$v(H) = \sum_{e \in Y} v(e). \quad (1.1)$$

Problema extremală pe care dorim să o rezolvăm este *problema arborelui de valoare minimă: să se determine un arbore de acoperire maximal  $H^* = (V, Y^*)$  conținut într-un graf  $G = (V, E)$ ,  $Y^* \subseteq E$  de valoare minimă:*

$$v(H^*) = \min_H v(H) \quad (1.2)$$

unde  $v(H)$  este valoarea unui arbore determinată cu relația (1.1).

Problema determinării unui arbore de valoare minimă constă în determinarea unui arbore maximal  $H^*$  care acoperă graful dat  $G$  astfel încât acesta să fie:

- (1) *conex* (fiecare nod să fie conectat cu oricare alt nod);
- (2) *fără legături redundante* (un singur lanț este suficient pentru a conecta un nod cu oricare alt nod);
- (3) *de valoare minimă* (având în vedere valorile asociate muchiilor).

Similar, se definește *problema arborelui de valoare maximă*, care constă în determinarea unui arbore  $H^*$  care acoperă graful dat  $G$  și care verifică proprietățile (1) și (2), de mai sus, iar proprietatea (3) este înlocuită cu:

$$v(H^*) = \max_H v(H)$$

unde  $v(H)$  este valoarea unui arbore determinat de relația (1.1).

În activitatea economică, de multe ori apare problema determinării unor arbori de valoare optimă (minimă sau maximă), întrucât există procese economice sau activități economice care pot fi reprezentate cu ajutorul unui arbore în condiții convenabile. Această problemă are importanță practică în trasarea rețelelor de comunicații și a rețelelor de distribuție, în general, în studiul rețelelor de transport:

- aprovizionarea cu apă potabilă sau cu energie electrică sau termică a unor puncte de consum de la un punct central;
- evoluții posibile ale unui sistem pornind de la o stare inițială;
- construirea unei rețele telefonice radiale, a unei rețele de televiziune sau internet de la un punct central;
- schemele bloc ale programelor pentru calculatoare;
- studiul circuitelor electrice în electrotehnică, etc.

**Teorema 1.2 (Berge)** Dacă graful  $G = (V, E)$  este un graf conex și complet și dacă valorile asociate muchiilor sunt toate distincte  $v(e_i) \neq v(e_j)$  oricare ar fi  $e_i, e_j \in E$  cu  $i \neq j$  atunci problema determinării arborelui de acoperire de valoare minimă admite o soluție și numai una (arborele este unic determinat).

Dacă valorile muchiilor grafului  $G = (V, E)$  nu sunt distincte, adică, dacă de exemplu,  $v(e_1) = v(e_2) = v(e_3) = \dots$ , considerăm:

$$v'(e_1) = v(e_1) + \varepsilon$$

$$v'(e_2) = v(e_2) + 2\varepsilon$$

$$v'(e_3) = v(e_3) + 3\varepsilon$$

.....

unde  $\varepsilon$  este o valoare pozitivă foarte mică, astfel încât să nu schimbe ordinea de mărime a muchiilor. Prin aceasta se introduce o ordine strictă între muchii și putem avea situația din teorema 1.2 de formare a arborelui  $H = (V, Y)$ . În finalul construcției (în soluția optimă) se ia  $\varepsilon = 0$ .

În situația în care valorile muchiilor grafului nu sunt distincte, problema nu admite, în general, soluție unică. Pentru determinarea tuturor soluțiilor, se va alege la fiecare etapă  $k$  numai o muchie dintre cele cu valori egale și se verifică pentru fiecare dintre acestea dacă formează ciclul cu muchiile deja alese în etapele 1, 2, ...,  $k-1$ .

Dacă graful  $G = (V, E)$  nu este *complet*, se atribuie muchiilor ce lipsesc valoarea  $\infty$  sau valori foarte mari. Aceste muchii nu vor intra în mulțimea  $Y$  a muchiilor arborelui  $H$ .

Procedeeul de construcție efectivă a unui arbore care acoperă un graf dat  $G$  este prezentat în cele ce urmează:

### 1.3.2. Algoritmul Kruskal<sup>1)</sup>

Fie  $G = (V, E)$  un graf conex cu  $n = |V|$  și cu muchiile valorizate  $v(e) \geq 0$ ,  $e \in E$ .

#### Etapa de inițializare:

Din mulțimea muchiilor  $E$  se alege o muchie  $e_1$  cu valoarea  $v(e_1)$  cea mai mică. Dacă există mai multe muchii cu aceeași valoare se alege una dintre acestea. Fie  $Y$  mulțimea muchiilor alese. Inițial  $Y = \{e_1\}$  și  $|Y| = 1$ .

#### Etapa iterativă:

Din mulțimea muchiilor neselectate  $E - Y$  se alege o muchie  $e_i$  cu valoarea  $v(e_i)$  cea mai mică, pentru care  $Y \cup \{e_i\}$  nu conține un ciclu. Se ia  $Y \cup \{e_i\} \rightarrow Y$  și  $|Y| + 1 \rightarrow |Y|$ .

**STOP:** Etapa iterativă se oprește atunci când sunt alese  $n - 1$  muchii.  $H = (V, Y)$  este arborele de acoperire de valoare minimă.

Arborele de valoare minimă  $H^* = (V, Y)$  este determinat de muchiile alese. În cazul în care există mai multe muchii de valori egale, arborele de valoare minimă nu este, în general, unic. Este preferabil, în aceste situații, să fie determinați toți arborii de valoare minimă și dintre aceștia un manager (decident) să îl aleagă pe cel mai convenabil corespunzător unui alt criteriu economic.

Algoritmul Kruskal este foarte simplu. El intră în categoria algoritmilor de tip "greedy" (lacom) deoarece la fiecare pas al algoritmului se alege cea mai bună variantă. Totuși, acest algoritm din știința managementului produce întotdeauna soluția optimă.

Algoritmul Kruskal poate fi utilizat și pentru determinarea arborilor de acoperire de valoare maximă, prin înlocuirea, în algoritm: "se alege muchia cu valoarea cea mai mică" cu "se alege muchia cu valoarea cea mai mare".

### Exemplul 1.1: Problema sistemului de comunicații

Într-un oraș se studiază posibilitatea ca principalele instituții să fie conectate într-un sistem printr-o rețea de telecomunicații. Schema tuturor legăturilor posibile, precum și costul executării acestor legături între șase dintre instituțiile orașului sunt indicate în graful din figura 1.10. Valorile indicate pe arce reprezintă costurile (în unități monetare) asociate realizării legăturilor dintre instituții. Să se determine modul în care vor fi interconectate cele șase instituții astfel încât costul realizării sistemului de telecomunicații să fie minim.

<sup>1)</sup> J. B. Kruskal, *On the Shortest Spanning Subtree of a Graph and the Traveling Salesman Problem*, Proceedings of the American Mathematical Society 7, 48-50, 1956.

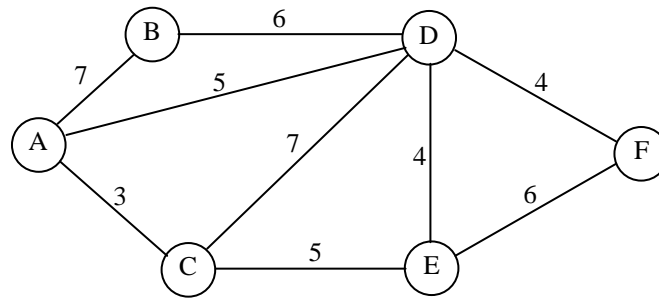


Figura 1.10

**Rezolvare:**

Pentru rezolvarea acestei probleme se aplică algoritmul Kruskal. Muchia cu cel mai mic cost este  $[A, C]$  cu  $v[A, C] = 3$  u.m.. Aceasta este prima alegere. În continuare, pot fi alese muchiile  $[D, E]$  și  $[D, F]$ , fiecare având costul de 4 u.m.. Pentru că fiecare din aceste muchii nu formează ciclu cu muchia  $[A, C]$  și nici toate cele trei muchii nu formează ciclu, se alege a doua oară și a treia oară câte una din muchiile  $[D, E]$  și  $[D, F]$ . Muchiile  $[A, D]$  și  $[C, E]$  cu costul  $v[A, D] = v[C, E] = 5$  u.m. pot fi alese, în continuare. Se alege una din muchii, cealaltă formează un ciclu. Deci, pot exista două variante conform figurilor 1.11.a) și 1.11.b) prin alegerea fie a muchiei  $[A, D]$  fie a muchiei  $[C, E]$ .

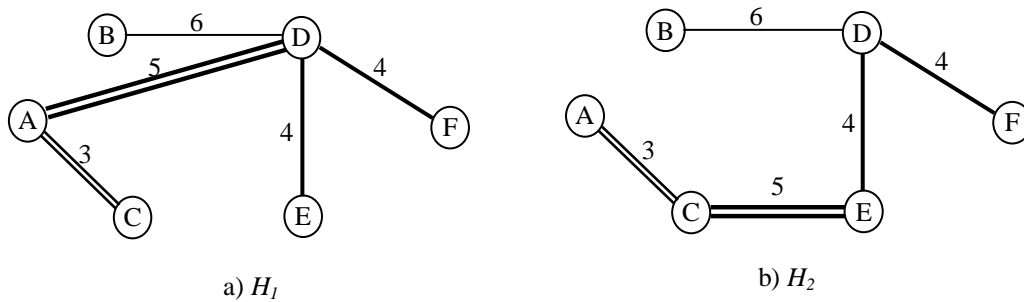


Figura 1.11

Următoarea alegere este fie muchia  $[E, F]$  fie muchia  $[B, D]$  ambele având costul  $v[E, F] = v[B, D] = 6$  u.m.. Dar, muchia  $[E, F]$  formează ciclu în ambii arbori parțiali împreună cu muchiile  $[D, E]$  și  $[D, F]$ . În acest caz, se alege muchia  $[B, D]$  în ambii arbori parțiali.

Rezultă două soluții optime, deci doi arbori de valoare minimă prezentați în figura 1.11, cu  $v(H_1) = v(H_2) = 22$ . Alegerea între acești arbori va avea în vedere și alte considerente economice pe lângă costul instalării sistemului de telecomunicații.

**Exemplul 1.2: Problema modernizării rețelei de drumuri**

Prefectura județului  $X$  și-a fixat ca obiectiv modernizarea rețelei drumurilor care leagă localitățile județului conform grafului din figura 1.12. Pe fiecare muchie este înscrisă valoarea numerică în unități monetare [u.m.] a costului modernizării tronsonului respectiv. În prima etapă se caută să se modernizeze numai unele drumuri astfel încât fiecare localitate să fie conectată la cel puțin un drum modernizat și costul întregii operații de modernizare (parțială) să fie minim.

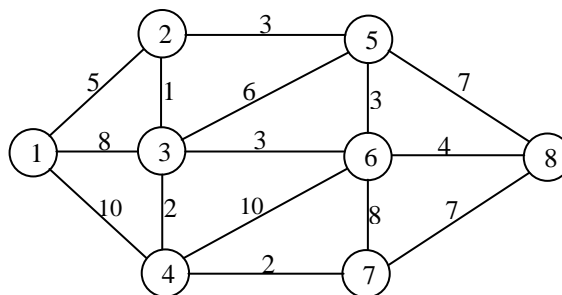


Figura 1.12

Rezolvarea problemei se reduce la determinarea unui arbore maximal de valoare minimă. **TEMĂ:** Aplicați algoritmul Kruskal pentru determinarea variantei optime de modernizare a drumurilor.



### 1.3.3. Arborescențe

Fie  $G = (X, U)$  un graf **orientat**.

Un nod  $x_k \in X$  se numește *rădăcină* în graful  $G$  dacă pentru oricare  $x_i \in X$ ,  $x_i \neq x_k$  există în  $G$  un drum de la  $x_k$  la  $x_i$ .

*Arborescența* este un graf orientat, finit și fără circuite, în care:

- există un nod și numai unul numit rădăcină care nu este extremitatea terminală a nici unui arc;
- oricare nod diferit de nodul rădăcină este *extremitatea terminală* a unui singur arc.

**Propoziția 1.2** Orice arborescență este un arbore.

Dacă  $n$  este numărul nodurilor, atunci numărul arcelor unei arborescențe este  $m = n - 1$ . Prin urmare, arborescența este un arbore cu orientare unică pe muchii, în care se pun în evidență drumuri de la nodul rădăcină la toate celelalte noduri. Dacă  $G = (X, U)$  este un graf orientat și conex, printre grafurile parțiale există arborescențe ale grafului dat.

Arborele genealogic este un exemplu de arborescență, nodurile fără descendenți fiind noduri frunză.

## CURSUL 2

### 1.4. Drumuri de valoare minimă

#### 1.4.1. Problema drumului de valoare minimă

Fie  $G = (V, E)$  un graf finit (orientat, neorientat sau parțial orientat).

Dacă  $e \in E$  este o muchie cu extremitățile  $x_i$  și  $x_j$  atunci această muchie are o orientare permisă prin arcele  $(x_i, x_j)$  și  $(x_j, x_i)$ . În acest mod, un graf neorientat este tratat ca graf orientat  $G = (V, U)$ . În continuare, ne referim numai la grafuri *orientate finite*.

Dacă arcul  $u$  este dat prin extremitățile sale  $u = (x_i, x_j)$ , cu  $x_i, x_j \in V$ , valoarea arcului va fi dată prin notațiile  $v(x_i, x_j)$  sau  $v_{ij}$ . Dacă  $u$  este o muchie în graful  $G = (V, E)$  atunci  $v(u) = v(x_i, x_j) = v(x_j, x_i)$ , deci *pe ambele sensuri arcele au aceeași valoare*. Pe o muchie neorientată  $\{i, j\}$  (sau  $[i, j]$ ) putem avea însă și  $v(i, j) \neq v(j, i)$ . Valorile asociate arcelor pot reprezenta în practică distanțele între două localități, costurile executării unei lucrări pe tronsoanele respective, costurile trecerii unei linii de fabricație de la un produs la altul, timpuri de execuție ai unor activități, măsura siguranței transmisiunii unui semnal, etc.

Pentru un drum  $\lambda$  între nodul  $x_i \in X$  și nodul  $x_j \in X$ , precizat prin specificarea arcelor componente, se definește *valoarea drumului*  $\lambda$  ca fiind suma valorilor arcelor componente:

$$v(\lambda) = \sum_{u \in \lambda} v(u). \quad (1.3)$$

Din noțiunile introductive știm că un drum este o succesiune de arce permise:

$$\lambda = (u_1, u_2, \dots, u_q), u_i \in U$$

cu proprietatea că pentru orice  $1 \leq i \leq q - 1$ , extremitatea finală a unui arc  $u_i$  coincide cu extremitatea inițială a arcului  $u_{i+1}$ . Altfel spus, de-a lungul drumului  $\lambda$  arcele componente sunt orientate în același sens, de la nodul inițial al arcului  $u_1$  către nodul final al arcului  $u_q$ . Numărul arcelor componente definește lungimea  $l(\lambda)$  a drumului  $\lambda$ . Drumurile de lungime 1 se identifică cu arcele permise ale grafului.

Dacă  $u_1 = (x_0, x_1)$ ,  $u_2 = (x_1, x_2)$ , ...,  $u_q = (x_{q-1}, x_q)$  sunt arcele date prin extremitățile lor, atunci un drum poate fi definit și prin succesiunea de noduri:

$$\lambda = (x_0, x_1, x_2, \dots, x_q)$$

Nodul  $x_0$  este extremitatea de start a drumului  $\lambda$  iar nodul  $x_q$  extremitatea finală. Dacă extremitățile sale coincid ( $x_0 = x_q$ ) atunci drumul  $\lambda$  este un *circuit*.

Un drum este *elementar* dacă nodurile sale sunt distincte (drumul trece o singură dată prin fiecare nod al său). Un drum este *simplu* dacă arcele sale sunt distincte (drumul trece o singură dată prin fiecare arc al său). Evident, orice drum elementar este și simplu. Reciproca nu este, în general, adevărată. Mulțimea drumurilor elementare dintr-un graf finit este finită. Un drum  $\lambda$  dintr-un graf  $G$  este inclus în drumul  $\lambda'$  ( $\lambda \subseteq \lambda'$ ) dacă toate arcele drumului  $\lambda$  sunt arce și ale drumului  $\lambda'$ . Evident,  $v(\lambda) \leq v(\lambda')$ .

*O problemă extremală într-un graf orientat  $G = (V, U)$  constă în **determinarea unui drum elementar (sau a drumurilor elementare), între două noduri date, de valoare minimă (sau de valoare maximă).***

Fie  $s$  și  $t$  două noduri oarecare ale grafului  $G$ . Notăm cu  $G^*(s, t)$  un subgraf al grafului  $G$  format din mulțimea drumurilor din graful considerat  $G = (V, U)$  între nodurile  $s$  și  $t$ , în care sunt incluse și drumurile de lungime 1. Problema drumurilor de valoare minimă între nodurile  $s$  și  $t$  se definește ca problema determinării drumului  $\lambda^*$  de la nodul  $s$  la nodul  $t$  în graful  $G^*(s, t)$ , de valoare minimă:

$$v(\lambda^*) = \min\{v(\lambda) \mid \lambda \in G^*(s, t)\}. \quad (1.4)$$

Dacă se consideră drumurile de valoare minimă de la un nod  $s$  la oricare alt nod al grafului  $G$ , mulțimea acestor drumuri formează un graf parțial orientat în  $G$ , numit *graful drumurilor de valoare minimă* cu originea în nodul  $s$  și este notat  $G^*(s)$  sau simplu  $G^*$ . Problema pusă în acest fel cuprinde și problema determinării drumurilor de valoare minimă de la nodul  $s$  la un alt nod oarecare  $t$ . Într-adevăr, dacă în  $G^*(s)$  figurează și nodul  $t$ , atunci în acest graf vom găsi și drumurile de valoare minimă de la  $s$  la  $t$ .

Dacă luăm în considerare numai drumurile elementare de la  $s$  la  $t$ , deoarece mulțimea acestora este finită, atunci există, întotdeauna, un drum de la  $s$  la  $t$  de valoare minimă. Aceste drumuri elementare sunt identificate greoi, motiv pentru care drumurile de valoare minimă se determină considerând, în graf, toate drumurile elementare sau neelementare între cele două noduri.

Este posibil ca problema (1.4) să nu admită soluții optime (de exemplu în cazul existenței circuitelor de valoare negativă). În acest caz, există o infinitate de drumuri de la  $s$  la  $t$  a căror mulțime de valori poate fi nemărginită inferior.

**Propoziția 1.3** *Problema drumurilor de valoare minimă cu originea în nodul  $s$  admite soluții în graful  $G = (V, U)$  dacă și numai dacă graful  $G^*(s)$  nu conține nici un circuit cu valoare strict negativă.*

**Demonstrație:** Fie  $s$  un nod al grafului  $G$ . Vom presupune că în graful  $G^*(s)$  există un circuit  $c = (x = x_0, x_i, x_j, \dots, x_k, x)$  de valoare strict negativă  $v(c) = \rho < 0$ . Deoarece  $x \in X$  există un drum  $\mu$  de la  $s$  la  $x$  și fie  $\omega$  valoarea acestuia. Prin prelungirea drumului  $\mu$  cu circuitul  $c$ , noul drum  $\mu \circ c$  are valoarea  $\omega + \rho$ . De asemenea,  $\mu \circ c \circ c$  are valoarea  $\omega + 2\rho$ . Prin recurență, prelungirea drumului  $\mu$  cu de  $k$  ori circuitul  $c$ , duce la drumul  $\mu \circ \underbrace{c \circ c \circ \dots \circ c}_{k \text{ ori}}$ ,  $k \in \mathbb{N}$ , are valoarea  $\omega + k\rho$ . Prin urmare,  $\lim_{k \rightarrow \infty} (\omega + k\rho) = -\infty$ .

În concluzie, nu există un drum de valoare minimă în mulțimea drumurilor de la  $s$  la  $x$  și problema nu are soluție.

Reciproc, dacă  $G^*(s)$  nu are circuite de valoare strict negativă atunci pentru orice  $x \in X$  există un drum  $\mu$  de la  $s$  la  $x$  și deci și un drum elementar  $\mu^E$  de la  $s$  la  $x$ , inclus în  $\mu$ . Întrucât graful nu admite circuite de valoare strict negativă, prin eliminarea circuitelor suplimentare ale drumului  $\mu$  față de  $\mu^E$  avem  $v(\mu^E) \leq v(\mu)$ , prin urmare minorantul va fi atins într-un drum elementar.

Pentru că mulțimea drumurilor elementare este finită minimul acesteia este efectiv atins într-un element al acesteia și problema are soluții, în sensul că există drumuri de valoare minimă.

Un circuit în graful  $G$  de valoare strict negativă este numit *circuit absorbant*. Deoarece problemele de determinare a drumurilor de valoare minimă între nodurile date se rezolvă considerând toate drumurile posibile, nu numai cele elementare, vom presupune verificată următoarea condiție: **în graful  $G$  nu există circuite de valoare strict negativă.**

Determinarea drumului de valoare minimă poate avea loc într-un graf în care valorile sau ponderile arcelor sunt nenegative. În grafuri în care există arce cu ponderi negative, sunt necesare eforturi mai mari pentru rezolvare; în acest caz se va presupune îndeplinită condiția: *nu există circuite de valoare strict negativă (absorbante).*

**Observație.** Similar, problema drumurilor de valoare maximă într-un graf  $G$  cu nodul de pornire  $s$  admite soluție dacă și numai dacă graful  $G^*(s)$  nu conține nici un circuit de valoare strict pozitivă.

Dacă  $\lambda$  și  $\lambda'$  sunt drumuri elementare în  $G$  având aceleași extremități, atunci drumurile pot fi comparabile: fie  $v(\lambda') \leq v(\lambda)$ , fie  $v(\lambda) \leq v(\lambda')$ .

În cazul în care există drumuri de la  $s$  la  $t$ , evaluarea și compararea acestora, conform afirmației anterioare, se poate limita la drumurile elementare cu aceleași extremități. Numărul drumurilor elementare fiind finit unul dintre ele va fi drumul de la  $s$  la  $t$  de valoare minimă.

Dacă graful  $G$  nu este conex și nodurile  $s$  și  $t$  nu fac parte din aceeași componentă conexă (figura 1.13.a) sau orientările pe arce nu permit atingerea nodului  $t$  din nodul  $s$  (figura 1.13.b), există posibilitatea ca în graful  $G$  să nu existe drumuri de la  $s$  la  $t$ .

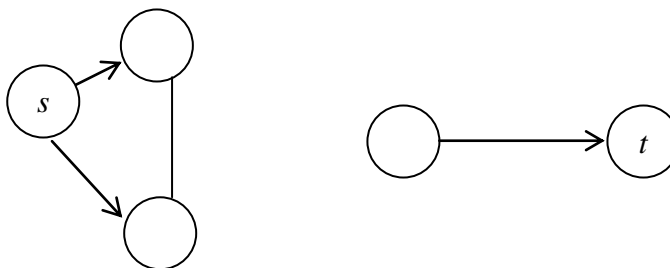


Figura 1.13.a

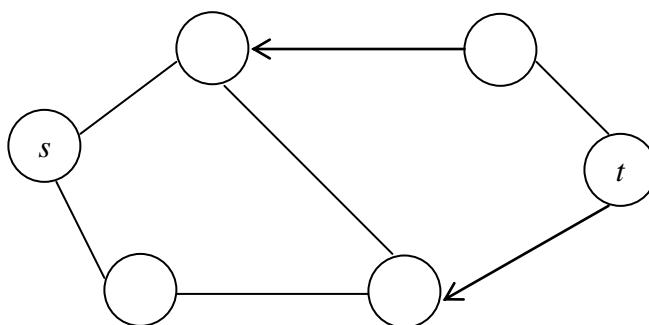


Figura 1.13.b

În acest context vom spune că nodul  $i$  este atins din nodul  $s$  dacă există un drum de la  $s$  la  $i$  format din *arce permise*. Ne ocupăm de rezolvarea problemei determinării drumului de valoare minimă de la  $s$  la toate celelalte noduri ale grafului,  $P(s)$ , și a cazului său particular  $P(s, t)$  - determinarea drumului de valoare minimă de la  $s$  la  $t$ , în ipoteza: *toate valorile arcelor permise sunt nenegative*:  $v(u) \geq 0; \forall u \in U$ .

### 1.4.2. Metoda Dijkstra<sup>†)</sup>

#### 1. Preliminarii

1) Fiecărui nod  $i \in V$  i s-a asociat o variabilă  $d(i)$  numită în continuare **eticheta nodului  $i$** . Prin definiție  $d(s) = 0$ . În oricare moment al aplicării algoritmului variabila  $d(i)$  reține valoarea unui drum de la  $s$  la  $i$  găsit de algoritm până în acel moment. Dacă algoritmul nu a găsit încă un drum de la  $s$  la  $i$  variabila  $d(i)$  are valoarea  $+\infty$ . La finalul aplicării metodei, eticheta indică valoarea celui mai „scurt” drum de la nodul  $s$  la nodul  $i$ . Pe parcursul aplicării algoritmului etichetele se corectează în sensul micșorării valorilor lor. În momentul în care o etichetă  $d(i)$  atinge valoarea minimă ea devine **permanentă**.

Metodele de rezolvare a problemei determinării drumului de valoare minimă între două noduri ale unui graf sunt procedee de etichetare care se împart în două clase:

- **metode cu etichetare permanentă** (la fiecare iterație se identifică un nod a cărui etichetă se permanentizează – valoarea ei nu se va mai modifica până la finalul rezolvării); și

<sup>†)</sup> Dijkstra, E.W. “A Note on two Problems in Connection with Graphs”, Numerische Math. 1, 269-271, 1959

- **metode cu etichetare temporară** (etichetele tuturor nodurilor au valori temporare care devin permanente doar la finalul rezolvării).

Metodele aparținând primei clase se aplică numai grafurilor cu valori (costuri) nenegative ale muchiilor, în timp ce metodele aparținând celei de a doua clase se aplică grafurilor cu valori (costuri) negative ale muchiilor. Algoritmul Dijkstra aparține primei clase.

2) Fiecărui nod  $i \in V$  diferit de  $s$  i se asociază o altă variabilă  $PRED(i)$  numită **indicator de precedentă** cu următoarea semnificație: în oricare moment al aplicării algoritmului,  $PRED(i)$  conține ultimul nod dinaintea lui  $i$  pe drumul de la  $s$  la  $i$  găsit de algoritm până în acel moment. Atâta timp cât un asemenea drum nu a fost găsit  $d(i) = +\infty$ , indicatorul  $PRED(i)$  nu este definit el fiind o locație vidă ( $PRED(i) = \emptyset$ ).

3) Inițializăm o listă  $P$  în care vom include toate nodurile  $i \in V$  pentru care algoritmul a găsit un drum de valoare minimă de la  $s$  la  $i$  (lista nodurilor cu **eticheta declarată permanentă**). La start  $P$  se reduce la nodul de plecare  $s$ .

4) Inițializăm o listă  $T$  în care vom include toate nodurile  $j \in V$  care sunt vecine cu noduri din lista  $P$ : un nod  $j$  este vecin cu  $i$  dacă arcul  $(i, j)$  este **permis**.  $T$  este lista nodurilor cu **eticheta declarată temporară**.

Nodurile cu etichetă permanentă din lista  $P$  se selectează din lista  $T$  a nodurilor candidate. Corectarea unei etichete se face după următoarea schemă echivalentă (figura 1.14).

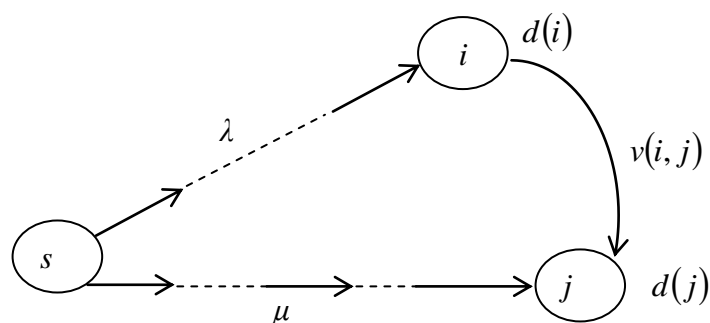


Figura 1.14

Referitor la un arc permis  $(i, j) \in U$  cu valoarea  $v(i, j) \geq 0$  presupunem că algoritmul a găsit un drum  $\lambda$  de la  $s$  la  $i$  a cărei valoare e reținută în eticheta  $d(i)$  și un drum  $\mu$  de la  $s$  la  $j$  a cărei valoare se găsește în locația  $d(j)$ . Figura 1.14 pune în evidență cele două drumuri de la  $s$  la  $j$ .

- drumul  $\lambda \cup (i, j)$  de valoare  $d(i) + v(i, j)$ ;
- „vechiul” drum  $\mu$  de valoare  $d(j)$ .

Dacă  $d(i) + v(i, j) < d(j)$  atunci primul drum are o valoare mai mică și ca urmare va fi reținut de algoritm ca fiind cel mai bun drum de la  $s$  la  $j$  găsit până în acest moment. Memorarea acestui nou drum se face prin corectarea etichetei  $d(j)$  care ia valoarea  $d(j) = d(i) + v(i, j)$  și actualizarea indicatorului de precedentă  $PRED(j)$ :  $PRED(j) = i$ .

Cu aceste pregătiri trecem la prezentarea algoritmului Dijkstra.

## 2. Algoritmul Dijkstra

**START:** Inițializăm:

- Lista nodurilor cu eticheta permanentă:  $P = \{s\}$ ;
- Lista nodurilor cu eticheta temporară:  $T = \{i \in V / \text{există arcul permis } (s, i) \in U\}$ ;
- Etichetele:  $d(s) = 0$ ;  $d(i) = v(s, i)$  pentru  $i \in T$  și  $d(i) = +\infty$  în rest;
- Predecesorii:  $PRED(i) = s$  pentru  $i \in T$  și  $PRED(j)$  nedefinit în rest.

**ITERAȚIE:**

**Pas 1:** Dacă lista  $T$  e vidă, STOP: algoritmul a găsit toate nodurile ce pot fi atinse din  $s$  de-a lungul unor drumuri de valoare minimă, toate nodurile sunt în lista  $P$  și valorile minime ale drumurilor de la  $s$  la aceste noduri sunt indicate de etichetele corespunzătoare. Identificarea drumului de valoare minimă se face cu ajutorul indicatorului de precedență, din aproape în aproape, de la  $t$  (sau de la fiecare nod al grafului) către  $s$ .

Dacă  $T \neq \emptyset$  se trece la pasul 2.

**Pas 2:** Se selectează nodul  $i^* \in T$  cu proprietatea:  $d(i^*) = \min\{d(i), i \in T\}$

Se transferă nodul  $i^*$  din lista  $T$  în lista  $P$  ( $i^*$  devine nod cu eticheta permanentă). Drumul de la  $s$  la  $i^*$  găsit până în momentul selectării este un drum de valoare minimă. Se adaugă la lista  $T$  toate nodurile  $j \in V - \{s\}$  care nu figurau în această listă, noduri adiacente lui  $i^*$  pentru care există arcul  $(i^*, j) \in U$ .

**Pas 3:** Pentru fiecare nod  $j \in T$ , vecin cu  $i^*$  se compară  $d(j)$  cu suma  $d(i^*) + v(i^*, j)$  (vezi figura 1.14 cu  $i$  schimbat în  $i^*$ ).

- Dacă  $d(i^*) + v(i^*, j) \geq d(j)$  se trece la examinarea altui nod din  $T$  vecin cu  $i^*$ ;

- Dacă  $d(i^*) + v(i^*, j) < d(j)$  se fac actualizările:

$$d(j) = d(i^*) + v(i^*, j) \text{ și}$$

$$\text{PRED}(j) = i^*$$

după care se trece la examinarea altui nod din lista  $T$  vecin cu  $i^*$ .

După examinarea tuturor vecinilor lui  $i^*$  din  $T$  se revine la Pasul 1 în cadrul unei noi iterații.

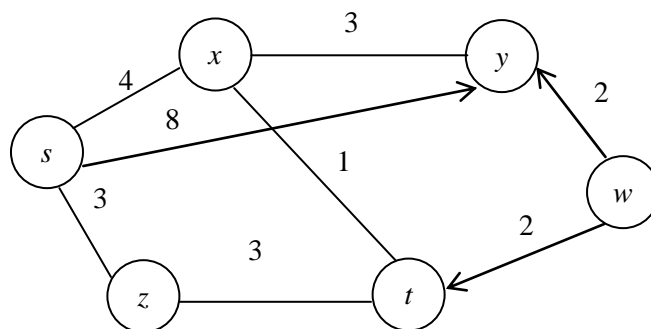
**STOP:** Algoritmul se termină în următoarele situații:

- La Pasul 1: dacă lista  $T$  e vidă,  $T = \emptyset$ ;
- La Pasul 2: Dacă ne interesează numai drumul de valoare minimă de la  $s$  la un nod  $t$  algoritmul descris se termină în momentul în care nodul selectat este  $t$ :  $i^* = t$ .

**NOTĂ:**

- 1) Dacă algoritmul se termină la Pasul 1 și  $d(t) = +\infty$ , în graful  $G$  **NU există** nici un drum de la  $s$  la  $t$  (vezi situațiile din figura 1.13).
- 2) Aplicarea Algoritmului Dijkstra nu rezolvă doar problema găsirii drumului de valoare minimă de la  $s$  la  $t$  ci a **TUTUROR** drumurilor de valoare minimă de la  $s$  la toate celelalte noduri ale grafului  $G$ .

**Exemplul 1.3.** Aplicați metoda DISKTRA pentru a determina drumurile de valoare minimă de la nodul  $s$  la nodurile ce pot fi atinse din  $s$  în graful din figura 1.15.



**Figura 1.15**

Fiecărei muchii îi este asociat un cost valabil în ambele sensuri de parcurgere pe muchiile neorientate.

**Rezolvare:** Valorile inițiale și intermediare ale variabilelor  $d(i)$  și  $\text{PRED}(i)$  sunt date în tabelul 1.

**START:** Inițializăm:

- Listele  $P = \{s\}$ ,  $T = \{x, y, z\}$

- $d(s) = 0; d(x) = 4, d(y) = 8, d(z) = 3; d(i) = +\infty$  în rest;
- $PRED(i) = s$  pentru  $i \in T$  și  $PRED(j)$  nedefinit în rest.

**Iterația 1:** Se calculează  $\min\{d(i), i \in T\} = \min\{4, 8, 3\} = 3 \Rightarrow i^* = z$

Transferăm  $z$  din lista  $T$  în lista  $P$ :  $P = \{s, z\}$  și includem în lista  $T$  nodul  $t$  care este vecin cu  $i^* = z$ :  $T = \{x, y, t\}$ .

Examinăm toți vecinii lui  $i^* = z$  din lista  $T$ : există un singur vecin, nodul  $t$ . Deoarece  $d(z) + v(z, t) = 3 + 3 = 6 < +\infty = d(t)$  actualizăm  $d(t) = 6$  și  $PRED(t) = z$  (valorile actualizate se trec în tabelul 1 în linia ITERAȚIA 1, celelalte valori nu se modifică).

**Iterația 2:** Se calculează  $\min\{d(i), i \in T\} = \min\{4, 8, 6\} = 4 \Rightarrow i^* = x$

Actualizăm listele  $P$  și  $T$ :  $P = \{s, z, x\}$ ,  $T = \{y, t\}$

Observăm că vecinii lui  $i^* = x$  cu etichetă nepermanentă, adică  $y$  și  $t$  sunt deja în lista  $T$ .

Trecem la corectarea – dacă este cazul – a etichetelor  $d(y)$  și  $d(t)$ :

- $d(x) + v(x, y) = 4 + 3 = 7 < 8 = d(y) \Rightarrow$  actualizăm:  $d(y) = 7$  și  $PRED(y) = x$
- $d(x) + v(x, t) = 4 + 1 = 5 < 6 = d(t) \Rightarrow$  actualizăm  $d(t) = 5$  și  $PRED(t) = x$ .

Celelalte etichete și indicatori de precedență rămân neschimbați.

**Iterația 3:** Calculăm  $\min\{d(i), i \in T\} = \{7, 5\} = 5 \Rightarrow i^* = t$ .

Actualizăm  $P = \{s, z, x, t\}$ ;  $T = \{y\}$ .

$i^* = t$  nu are vecini cu etichetă nepermanentă, nici în  $T$ , nici în afara lui  $T$ .

În această iterație nu are loc nici o corectare de indicatori.

**Iterația 4:**  $i^* = y$

$P = \{s, z, x, t, y\}$ ;  $T = \Phi$

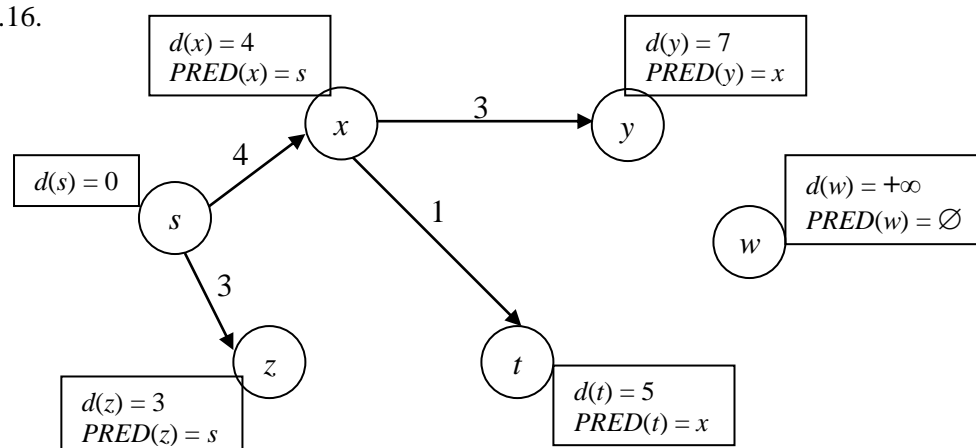
$i^* = y$  nu are nici un vecin cu etichetă nepermanentă.

**STOP**, pentru că  $T = \Phi$ .

**Tabelul 1**

ITERAȚIA	$d(s)$	$d(x)$	$PRED(x)$	$d(y)$	$PRED(y)$	$d(z)$	$PRED(z)$	$d(t)$	$PRED(t)$	$d(w)$	$PRED(w)$
START	0*	4	$s$	8	$s$	3	$s$	$+\infty$	-	$+\infty$	-
ITERAȚIA 1	-	4	$s$	8	$s$	3*	$s$	6	$z$	$+\infty$	-
ITERAȚIA 2	-	4*	$s$	7	$x$	-	-	5	$x$	$+\infty$	-
ITERAȚIA 3	-	-	-	7	$x$	-	-	5*	$x$	$+\infty$	-
ITERAȚIA 4	-	-	-	7*	$x$	-	-	-	-	$+\infty$	-
STOP	0	4*	$s$	7	$x$	3	$s$	5	$x$	$+\infty$	-

Drumurile de valoare minimă se construiesc cu ajutorul indicelui de precedență și sunt vizualizate în figura 1.16.



**Figura 1.16**

Așa cum se observă, deși graful din figura 1.15 este conex, datorită orientărilor existente pe muchii, nodul  $w$  nu poate fi atins din  $s$  (nu se găsește în lista  $P$ ). Lungimile drumurilor de valoare minimă de la  $s$  la toate celelalte noduri ale grafului sunt date de etichetele fiecărui nod (de exemplu, valoarea celui mai scurt drum de la  $s$  la  $y$  este 7 și el trece prin nodul  $x$  –  $\text{PRED}(y) = x$  iar  $\text{PRED}(x) = s$ ).

**Exemplul 1.4. TEMĂ: 1.** Aplicați algoritmul Kruskal pentru determinarea arborilor maximali de valoare minimă în grafurile din figura 1.17, 1.18 și 1.19.

**2.** Aplicați metoda DISKTRA pentru a determina drumurile de valoare minimă de la nodul  $s$  la nodurile ce pot fi atinse de  $s$  din grafurile din figura 1.17, 1.18 și 1.19.

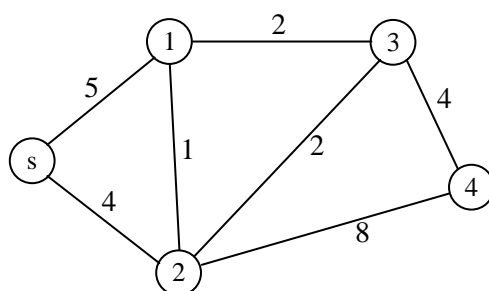


Figura 1.17

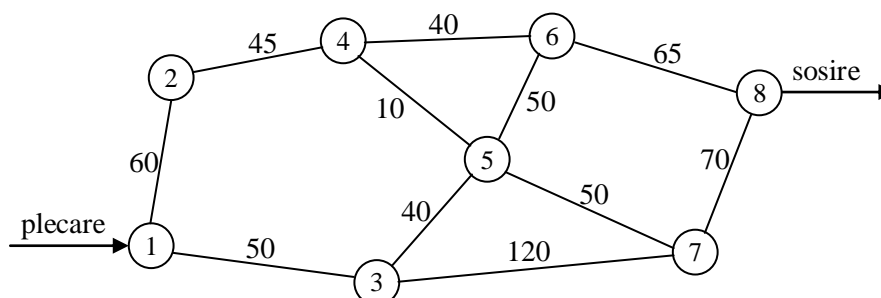


Figura 1.18

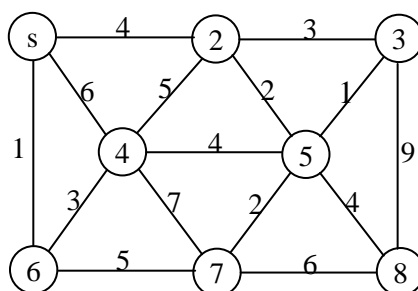


Figura 1.19

**Observație finală:** Una dintre metodele de determinare a drumurilor de valoare minimă în grafuri cu costuri negative asociate muchiilor este Metoda Ford. Ea aparține clasei metodelor cu etichetare temporară și poate fi lecturată în: Ciobanu Gh., Nica V., Floare Mustăță, Virginia Măracine, Mitrut D., *“Cercetări Operaționale. Optimizări în rețele. Teorie și aplicații economice”*, Editura MatrixRom, București, 2002.

**CURSUL 3**

## CAPITOLUL 2

### MANAGEMENTUL PROIECTELOR COMPLEXE

#### (Analiza Drumului Critic)

**NOTĂ:** Suportul de curs al Capitolelor 1, 2 și 3 are la bază lucrările:

- Ciobanu, Gh., Nica, V., Mustață, Fl., Măcăine, V. Mitrut, D. (2002), *Cercetări operaționale. Optimizări în rețele. Teorie și aplicații economice*, Editura MATRIX ROM, București;
- Ciobanu, Gh., Nica, V., Mustață Fl., Măcăine, V. (1996), *Cercetări operaționale cu aplicații în economie. Teoria grafurilor și Analiza drumului critic*, Editura MATRIX-ROM, București

#### 2.1. Proiect. Activități. Precedențe. Conducerea unui proiect.

În multe situații managerii trebuie să-și asume responsabilitatea planificării, programării și urmăririi unei acțiuni complexe constând din numeroase activități și la care participă diverse unități productive, instituții sau persoane fizice. Aceste activități sunt atât de mari încât un singur om nu poate stăpâni toate informațiile aferente pentru a decide în cunoștință de cauză. Ca exemple de PROIECTE am putea lua:

- construcția unui obiectiv civil (un hotel, o autostradă), o fabrică, un avion, o navă, o rachetă;
- cercetarea și dezvoltarea de noi produse și servicii;
- proiecte de îmbunătățiri funciare;
- revizia și reparația unor noi instalații.

În proiectele de tipul celor amintite, managerii trebuie să coordoneze proiectul a.î. acțiunea să se termine la termen. Un factor care complică enorm această sarcină este interdependența dintre activități (unele încep numai după terminarea altora). Un proiect poate avea sute sau mii de activități, rezultând că managerii caută metode care să-i ajute să răspundă la întrebări precum:

- care este durata de execuție (minimă) a unei activități?
- când trebuie să înceapă și să se termine o anumită activitate?
- care sunt activitățile CRITICE (activități care trebuie să respecte exact termenul de programare pentru a menține întreg proiectul sub control)?
- cât de mult pot fi întârziate activitățile NECRITICE înainte de a cauza o întârziere a întregului proiect?

#### Terminologie specifică:

<b>PROIECT</b>	= <b>acțiune complexă compusă</b> dintr-un număr mare de activități <b>intercorelate</b> . Acțiunea are drept scop realizarea unui obiectiv și necesită resurse materiale, timp, bani.
<b>ACTIVITATE</b>	<p>În general, o activitate = o <b>porțiune bine determinată</b> a unui proiect care <b>necesită timp și eventual resurse</b>. De ex.: Într-un proiect de construire a unui imobil, activități specifice sunt:</p> <ul style="list-style-type: none"> <li>- excavarea fundațiilor;</li> <li>- turnarea betonului în fundații;</li> <li>- întărirea betonului.</li> </ul> <p>Primele 2 activități necesită personal calificat, ultima are nevoie doar de timp.</p> <p>Gradul de detaliere al unui proiect în activități este un element important. În faza de concepție proiectul este divizat în număr mic de activități de talie mare. Pe aceste structuri foarte simple managerii își fac o idee despre posibilitatea de realizare a proiectului și pot analiza costurile. Abia după aprobarea proiectului, fiecare activitate „mare” este privită de sine stătător și descompusă în părți mai mici.</p> <p>De exemplu: Turnarea betonului în fundație presupune:</p> <ul style="list-style-type: none"> <li><math>A \equiv</math> aducerea în șantier a materialelor lemnoase și feroase pentru cofraje și armături.</li> <li><math>B \equiv</math> confecționarea cofrajelor</li> <li><math>C \equiv</math> confecționarea armăturilor</li> <li><math>D \equiv</math> montarea cofrajelor</li> <li><math>E \equiv</math> montarea armăturilor</li> <li><math>F \equiv</math> prepararea betonului</li> <li><math>G \equiv</math> turnarea betonului în cofraje</li> </ul>



	<p>Un grad mic de detaliere nu este de folos pentru conducerea generală a proiectului, pe când un grad mare de detaliere transformă proiectul într-un colos.</p> <p>Detalierea unui proiect în activități se face <b>PROGRESIV</b> în funcție de etapa de studiu a proiectului sau de necesități.</p>
<b>DEPENDENȚE</b>	<p>Faptul că între activitățile unui proiect există <b>DEPENDENȚE</b> nu înseamnă decât că: unele activități se pot realiza simultan, sunt independente, altele nu se pot desfășura decât una după cealaltă.</p> <p>Dacă <math>A</math> și <math>B</math> sunt activități ale unui proiect <math>P</math> vom spune că:</p> <ul style="list-style-type: none"> <li>- <math>A</math> precede <math>B</math> sau că <math>B</math> este precedat de <math>A</math> dacă <math>B</math> nu poate începe decât după terminarea activității <math>A</math>. Notăm <math>A &lt; B</math>.</li> <li>- dacă <math>A</math> precede <math>B</math> și <math>B</math> poate începe <b>imediat</b> după terminarea lui <math>A</math> vom spune că <math>A</math> precede <b>direct</b> <math>B</math> sau că <math>B</math> e precedat direct de <math>A</math>. Notăm <math>A \overset{d}{&lt;} B</math>.</li> </ul> <p><b>Observații:</b></p> <ul style="list-style-type: none"> <li>• relația de precedență este o relație de ORDINE în mulțimea activităților unui proiect: Dacă <math>A</math> precede <math>B</math> și <math>B</math> precede <math>C</math> atunci <math>A</math> precede <math>C</math>.</li> <li>• relația de precedență este, în general o relație de ordine <b>PARȚIALĂ</b> în sensul că pot exista activități <b>INDEPENDENTE</b>.</li> <li>• relația de precedență directă <b>NU este TRANZITIVĂ</b>: Dacă <math>A</math> precede direct <math>B</math> și <math>B</math> precede direct <math>C</math> atunci <math>A</math> precede <math>C</math> dar nu direct între ele aflându-se activitatea <math>B</math></li> <li>• precedențele directe determină toate relațiile de precedență dintre activitățile unui proiect în sensul că:</li> </ul> $A < B \Leftrightarrow \dots \text{activitățile } C_1, C_2, \dots, C_p \text{ astfel încât } A \overset{d}{<} C_1 \overset{d}{<} C_2 \overset{d}{<} \dots \overset{d}{<} C_p \overset{d}{<} B.$ <p><b>Exemplu:</b> Să considerăm acțiunea complexă (proiectul) <math>P</math> de turnare a betonului în fundație din exemplul precedent compusă din activitățile <math>A, B, \dots, F, G</math>.</p> <p>Precedențele directe sunt:</p> $A \overset{d}{<} B, C; B \overset{d}{<} D; C \overset{d}{<} E; D, E, F \overset{d}{<} G$
<b>DURATELE ACTIVITĂȚILOR</b>	<p>După identificarea activităților și a relațiilor de precedență directă se estimează <b>DURATELE</b> activităților = numărul de unități de timp care trece de la începerea activității și până la finalizarea ei.</p>

La finalul definirii elementelor anterioare se întocmește un document numit **LISTĂ DE ACTIVITĂȚI** care conține cel puțin următoarele elemente:

Nr. crt.	Denumirea activității	Codul activității	Activități DIRECT precedente	Durata

**Observație finală.** Reluând exemplul precedent vom recunoaște că simpla listare a precedențelor (directe) dintre activități, altfel spus cunoașterea listei de activități a proiectului nu ne prea ajută la înțelegerea structurii acestuia!

În schimb, următorul „desen” este mai sugestiv.

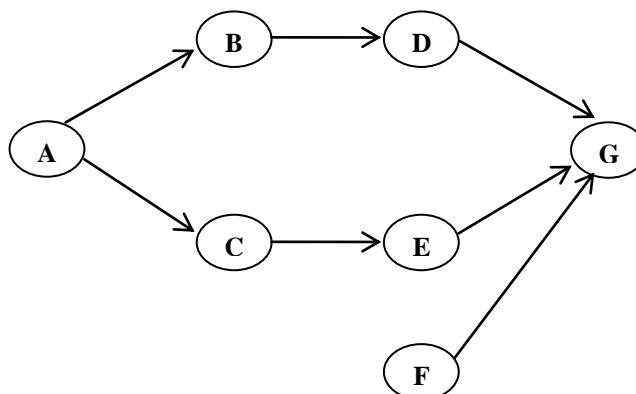


Figura 2.1

Ajungem astfel la problema REPREZENTĂRII STRUCTURII unui proiect, **structură** însemnând aici cuplul (**ACTIVITĂȚI, PRECEDENȚE DIRECTE**).

Această reprezentare se face printr-o REȚEA COORDONATOARE care, în mare, este un graf compus din PUNCTE (numite „NODURI”) și MUCHII ORIENTATE (numite și ARCE).

**Există două moduri** de a pune în corespondență activitățile și precedentele directe dintr-un proiect cu nodurile și arcele rețelei coordonatoare asociate:

**A) Primul mod:**  $(A \circ A)$  - Activitate  $\leftrightarrow$  ARC:

- ARCELE corespund ACTIVITĂȚILOR ;
- NODURILE reprezintă MOMENTE DE TIMP (numite și EVENIMENTE): de începere și/sau de terminare ale unei activități sau ale mai multora.

**B) Al doilea mod:**  $(A \circ N)$  - Activitate  $\leftrightarrow$  NOD

- NODURILE corespund ACTIVITĂȚILOR;
- ARCELE corespund PRECEDENȚELOR DIRECTE dintre activități.

**Exemplul 2.1:** Pentru cele ce urmează vom lua ca exemplu de referință proiectul ridicării unei hale industriale, proiect dat prin următoarea listă de activități:

**Tabelul 2.1**

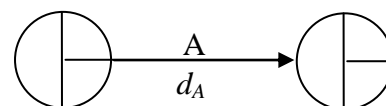
Nr. crt.	Denumirea activității	Cod	Activități directe precedente	Durata (luni)
1	Proiectarea halei	P	-	7
2	Obținerea avizelor de execuție	A	P	2
3	Comenzi utilaje	CU	P	3
4	Organizare de șantier	OS	P	3
5	Livrări utilaje	LU	CU	6
6	Execuție rețele tehnice	R	A, OS	10
7	Execuție drumuri interioare	D	R	5
8	Lucrări construcții montaj	C	LU, R	14
9	Instruirea personalului	E	P	10

## 2.2. Construcția rețelei coordonatoare în reprezentarea $(A \circ A)$

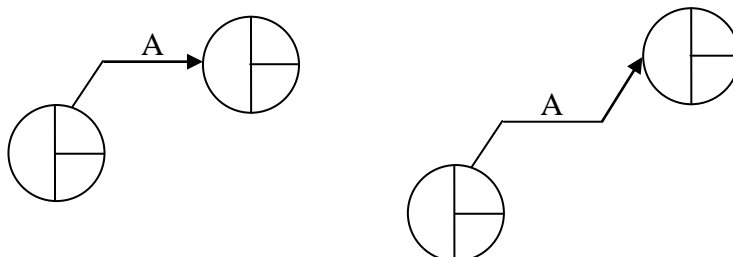
### 2.2.1. Reguli de reprezentare a activităților

I) Un nod va fi reprezentat prin sigla: 

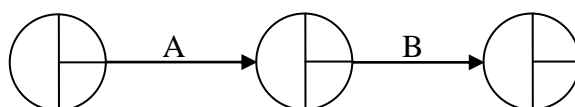
II) O activitate A cu durata  $d_A$  se va reprezenta prin sigla:



Se recomandă ca sigla să fie ORIZONTALĂ sau să conțină o porțiune orientată SV-NE:

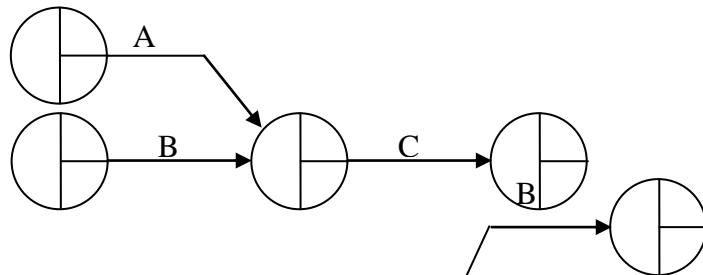


III) Regula fundamentală. Precedența directă: A precede direct B se va reprezenta prin:

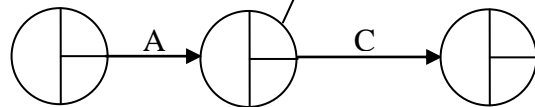


Variante:

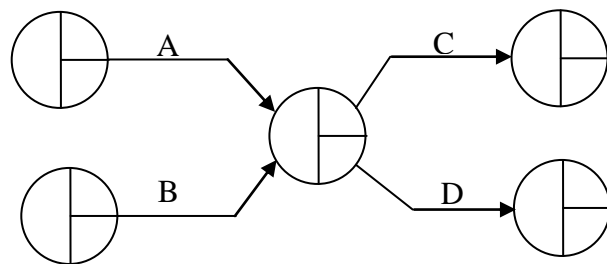
- A, B preced direct C:



- A precede direct pe B și pe C:

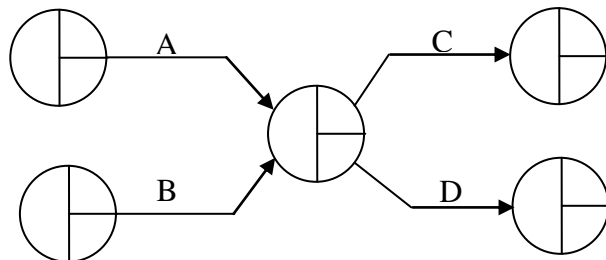


- A și B preced direct C și D:

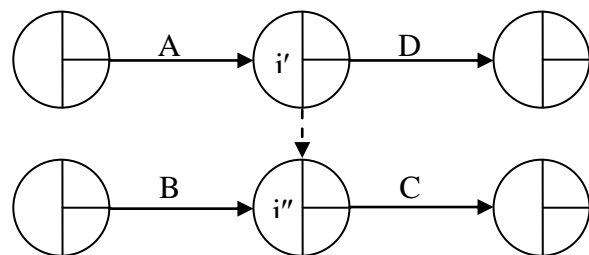


IV) Regula de evitare a falsei precedențe. Considerăm situația  $\begin{cases} A, B \text{ preced direct } C \\ A \text{ precede direct } D \end{cases}$

Reprezentând mai întâi primul „rând” de precedențe (A și B preced direct C) și apoi al doilea (A precede direct D) obținem desenul din figura alăturată. Reprezentarea este **INCORECTĂ** deoarece activitatea D nu este condiționată de B.

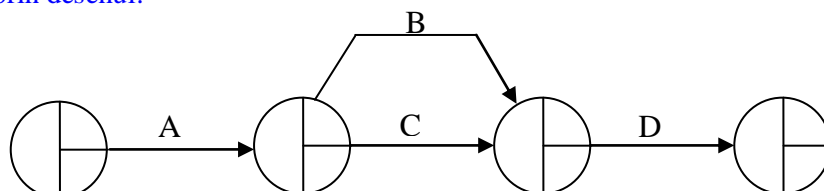


Vom evita acest lucru introducând o ACTIVITATE FICTIVĂ cu durata ZERO (întotdeauna reprezentată prin linie punctată). Reprezentarea corectă se va obține desenând mai întâi precedența simplă (A precede direct D) și apoi dubla precedență (A și B preced direct C).



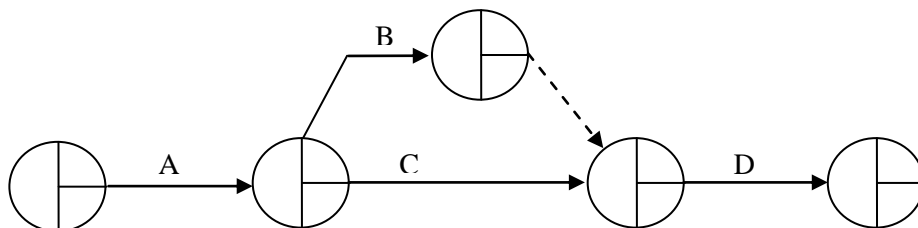
V) Regula de reprezentare a activităților paralele. Considerăm situația  $\begin{cases} A \text{ precede direct } B, C \\ B, C \text{ preced direct } D \end{cases}$  care

se poate reprezenta prin desenul:



Reprezentarea este CORECTĂ din punct de vedere logic dar NESATISFĂCĂTOARE pentru că nu permite identificarea unui arc prin perechea de noduri extremități (activitățile B și C au același nod inițial și același nod final).

Pentru evitarea paralelismului dintre B și C utilizăm din nou o ACTIVITATE FICTIVĂ cu durata ZERO. Se obține în acest fel reprezentarea:



Această regulă poate fi enunțată astfel: două activități ale unui proiect pot avea în comun cel mult un o extremitate (nod).

### 2.2.2. Cum se desenează o rețea coordonatoare în reprezentarea A°A

1) Se începe prin fixarea pe hârtie a unui nod care semnifică ÎNCEPEREA EXECUȚIEI PROIECTULUI. Din acest nod vor pleca toate arcele corespunzătoare activităților INIȚIALE (sau activități INDEPENDENTE – realizarea lor NU este condiționată de finalizarea altei-altor activități) ale proiectului.

2) Se vor reprezenta mai întâi activitățile SIMPLU condiționate (condiționate de către o singură activitate) de activitățile deja trasate, apoi cele dublu condiționate, triplu condiționate ș.a.m.d. până la epuizarea întregii liste de activități.

3) La introducerea unui nou arc în desen se va avea în vedere reprezentarea CORECTĂ a dependențelor dintre activitatea introdusă și activitățile DEJA reprezentate.

4) Se recomandă ca în momentul inserării unei noi activități în rețea SĂ NU SE DESENEZE ȘI NODUL FINAL al arcului corespunzător! Acesta poate fi nod final și pentru alte activități ÎNCĂ NEREPREZENTATE !!

5) La epuizarea LISTEI DE ACTIVITĂȚI se poate constata că unul sau mai multe arce din desen NU AU NOD FINAL!! Aceste arce corespund activităților FINALE din proiect adică acelor activități care nu preced direct nici o altă activitate. Tuturor acestor arce li se va asigura un unic nod final cu semnificația de moment de TERMINARE A PROIECTULUI.

6) După desenarea rețelei se recomandă ca nodurile ei să fie NUMEROTATE pentru a putea identifica activitățile cu ajutorul lor. Nodul care semnifică începerea proiectului se numerează de obicei cu 0. Numerotarea trebuie astfel făcută astfel încât nodul inițial al unui arc să aibă un număr de ordine MAI MIC decât numărul de ordine al nodului final. Numerotarea nu este în general unică.

7) CELE MAI BUNE INSTRUMENTE PENTRU TRASAREA UNEI REȚELE COORDONATOARE SUNT UN CREION ȘI O GUMĂ.

În figura 2.2 este dată rețeaua corespunzătoare proiectului de referință din tabelul 2.1, în prezentarea A°A:

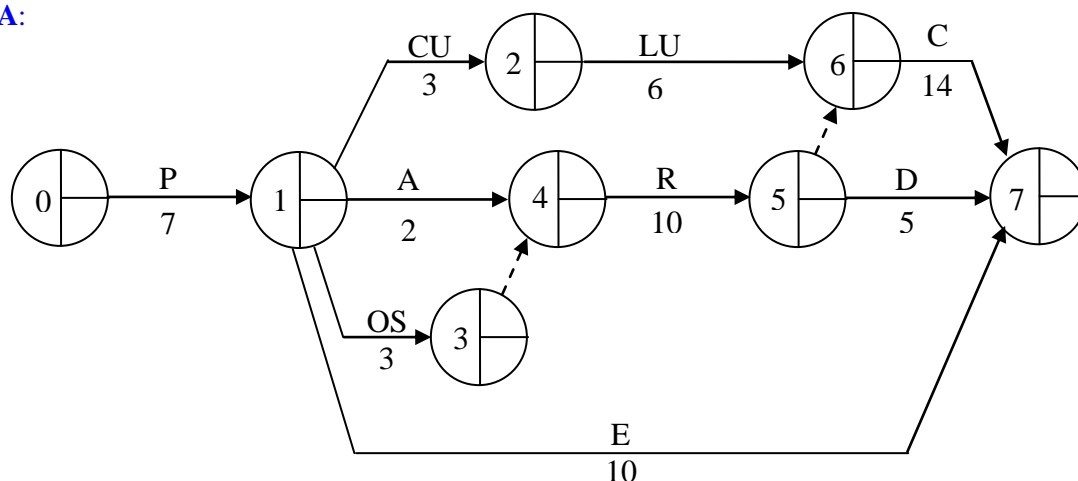


Figura 2.2

**TEMĂ:** Refaceți rețeaua din figura 2.2 reprezentând activitățile proiectului secvențial, utilizând regulile enunțate anterior.

**NOTĂ:** Reprezentarea A°A nu va fi discutată la curs/seminar, ea constituind o lectură opțională, destinată studenților care doresc să citească mai mult pe această temă. Conceptele introduse în această secțiune și care vor fi utilizate și la reprezentarea A°N sunt însă OBLIGATORII (rețea coordonatoare, termene minime/maxime, durata de realizare a proiectului, drum critic, activități critice, rezerva de timp, ...).

### 2.2.3. Analiza rețelei coordonatoare în reprezentarea A°A

ANALIZA rețelei coordonatoare este un PROCES SIMPLU DE CALCUL prin care se obțin următoarele rezultate:

- **DURATA MINIMĂ DE EXECUȚIE A PROIECTULUI** ținând cont NUMAI de DURATELE activităților și de PRECEDENȚELE DIRECTE dintre acestea și **fără** a se ține seama de **resurse** sau **costuri**.

- **Activitățile CRITICE** și **termenele de începere și terminare ale acestora**. Activitățile critice sunt acele activități care condiționează NEMILOC realizarea proiectului la termenul minim stabilit.

- **TERMENE EXTREME** și **REZERVA TOTALĂ** pentru fiecare activitate NECRITICĂ. Termenele extreme sunt termenul CEL MAI DEVREME DE ÎNCEPERE (EET) și termenul CEL MAI TÂRZIU DE TERMINARE (LET). **Rezerva totală** este **DIFERENȚA** dintre cele două termene extreme, din care **SE SCADE DURATA activității**.

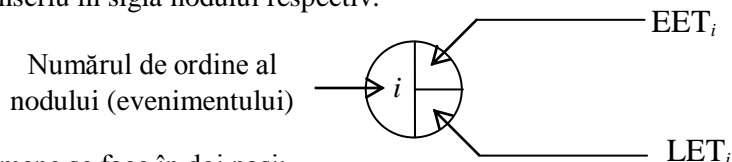
Reamintim că un nod al rețelei coordonatoare în reprezentarea A°A semnifică un MOMENT DE TIMP (EVENIMENT) în derularea proiectului care poate însemna ÎNCEPEREA și/sau TERMINAREA unei activități sau a mai multora.

Fiecărui nod  $i$  se atașează două TERMENE:

$EET_i \equiv$  termenul cel mai devreme de producere (EARLIEST EVENT TIME)  $\equiv$  termenul minim la care pot începe activitățile care au ca nod INIȚIAL nodul  $i$ ;

$LET_i \equiv$  termenul cel mai târziu de producere (LATEST EVENT TIME)  $\equiv$  termenul maxim la care se pot termina activitățile care au ca nod FINAL nodul  $i$ .

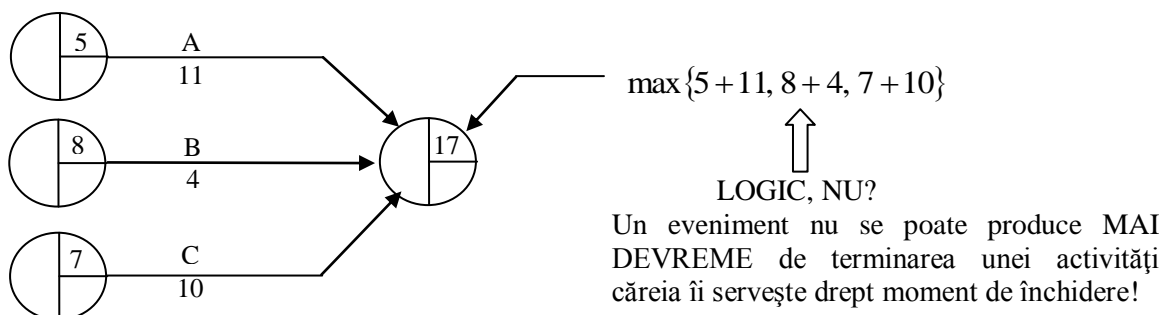
Aceste termene se înscriu în sigla nodului respectiv.



Calculul acestor termene se face în doi pași:

**I) În PASUL ÎNAINTE (FORWARD STEP)** – de la nodul INIȚIAL către cel FINAL al rețelei – se **calculează EET** pentru toate nodurile rețelei după următoarea schemă ITERATIVĂ:

- pentru nodul INIȚIAL (care semnifică ÎNCEPEREA PROIECTULUI) se ia  $EET = 0$ ;
- pentru celelalte noduri se aplică judecata rezultată din exemplul:



**IMPORTANT:** După executarea pasului înainte, **termenul timpuriu** de producere al nodului care semnifică terminarea proiectului arată **DURATA MINIMĂ DE EXECUȚIE A PROIECTULUI** = EET.

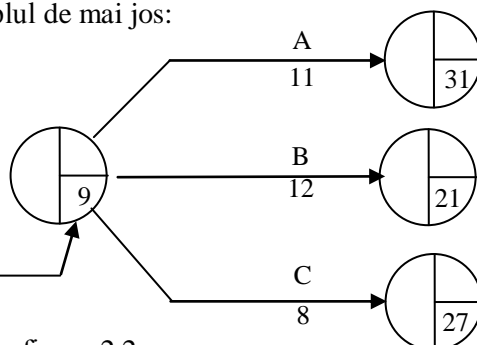
**II) În PASUL ÎNAPOI (BACKWARD STEP)** – de la nodul FINAL către cel INIȚIAL al rețelei – se **calculează LET** pentru toate nodurile rețelei după următoarea schemă ITERATIVĂ:

- pentru nodul FINAL (care semnifică TERMINAREA PROIECTULUI) se ia **LET = EET**
- pentru celelalte noduri se aplică judecata din exemplul de mai jos:

LOGIC, NU?

Un eveniment nu se poate produce **MAI TÂRZIU** de începerea unei activități careia îi servește drept moment de start!

$$\min \{31 - 11, 21 - 12, 27 - 8\}$$



**Exemplu:** Vom efectua cei doi pași pentru rețeaua din figura 2.2.

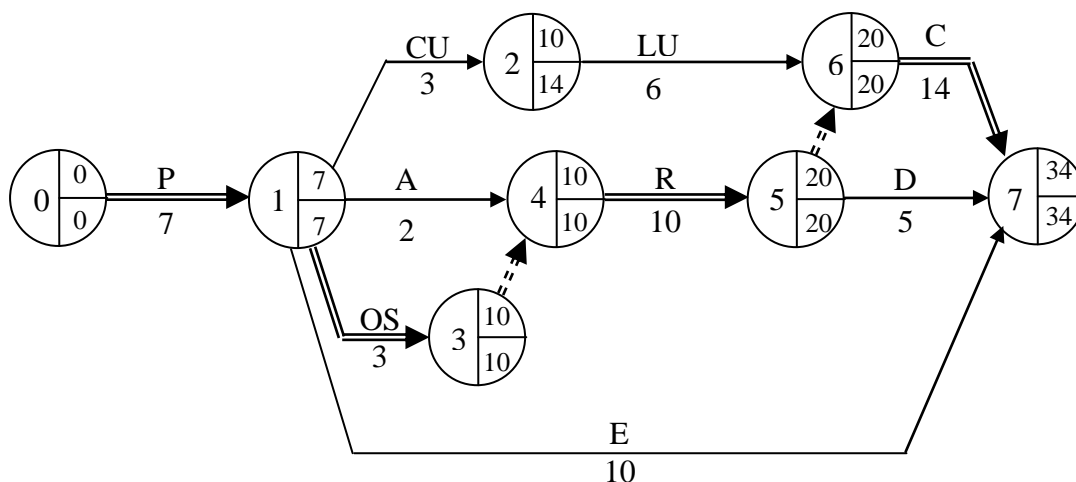


Figura 2.3

### Concluzii:

- 1) Durata minimă de execuție a proiectului este de 34 luni.
- 2) Nodurile rețelei se împart în două categorii:
  - **NODURILE CRITICE** caracterizate de egalitatea celor două termene de producere timpuriu și târziu. În cazul de față nodurile: 0, 1, 3, 4, 5, 6, 7.
  - **NODURI NECRITICE** pentru care  $EFT \neq LET$ . Exemplu: nodul 2.
- 3) Se numește **ACTIVITATE CRITICĂ** o activitate cu proprietățile:
  - **arcul reprezentativ este plasat între două noduri critice;**
  - **diferența dintre termenele de producere ale evenimentelor extremități este egală cu durata activității.**

În cazul nostru activitățile critice sunt: P, OS, R și C.

- 4) Suma duratelor activităților critice este egală cu **durata minimă de execuție a proiectului**.
- 5) (Dacă inducem și activitățile fictive) activitățile critice constituie un **DRUM** de la nodul INIȚIAL  $\equiv$  ÎNCEPEREA PROIECTULUI la cel FINAL  $\equiv$  TERMINAREA PROIECTULUI. Acest drum se numește **DRUM CRITIC** și este mulțimea de activități **SUCESIVE** cu CEA MAI MARE durată de execuție. În concluzie:

**Durata MINIMĂ de execuție a unui proiect este egală cu MAXIMUL duratelor de execuție ale tuturor mulțimilor de activități succesive ale proiectului:**

$$d_c = d_P + d_{OS} + d_R + d_C = 34 \text{ luni}$$

*Într-o rețea coordonatoare pot exista mai multe drumuri critice, toate având însă aceeași durată.*

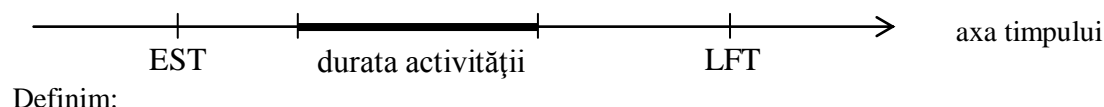
- 6) Din rețea rezultă – pentru fiecare ACTIVITATE – două termene **EXTREME** importante:

- a) TERMENUL CEL MAI DEVREME DE ÎNCEPERE (abreviat EST  $\equiv$  EARLIEST STARTING TIME). EST al unei activități = EET al evenimentului (nodului) ÎNIȚIAL al activității;  
 b) TERMENUL CEL MAI TÂRZIU DE TERMINARE (LFT  $\equiv$  LATEST FINISHING TIME). LFT al unei activități = LET al evenimentului (nodului) FINAL al activității.

Pe baza acestor termene, pentru orice activitate putem calcula:

- TERMENUL CEL MAI DEVREME DE TERMINARE (abreviat EFT  $\equiv$  EARLIEST FINISHING TIME): **EFT = EST + DURATA activității**;
- TERMENUL CEL MAI TÂRZIU DE ÎNCEPERE (abreviat LST = LATEST STARTING TIME): **LST = LFT – DURATA activității**.

- 7) Fiecărei activități a proiectului i s-a precizat un INTERVAL DE TIMP în care se poate realiza fără a încălca precedentele sau termenul final al proiectului.

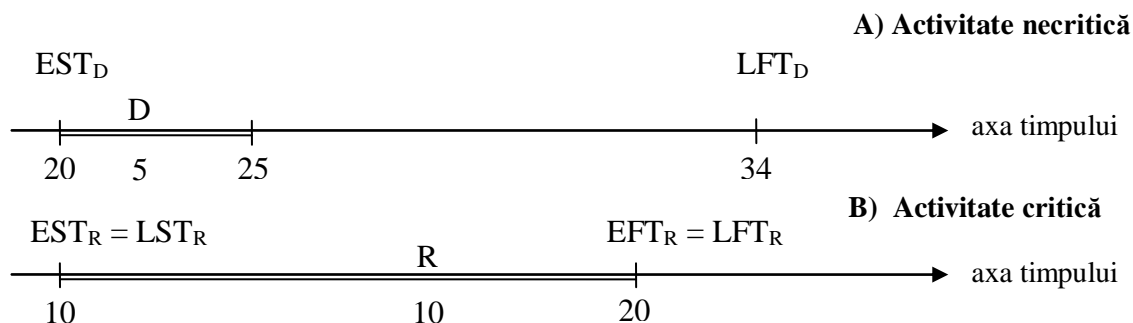


Definim:

$$\text{REZERVA TOTALĂ a unei activități} =_{\text{def}} \text{LFT} - \text{EST} - \text{DURATA activității} = \begin{cases} \text{LFT} - \text{EFT} \\ \text{SAU} \\ \text{LST} - \text{EST} \end{cases}$$

Rezultă imediat că rezerva totală a unei activități critice este ZERO.

**Rezerva totală este INTERVALUL MAXIM cu care poate fi amânată o activitate de la termenul cel mai devreme de începere fără ca amânarea să afecteze termenul final al proiectului (durata minimă de execuție a întregului proiect).**



- 8) Pentru conducerea operativă, diferitele termene calculate mai sus se trec într-un document cu formatul:

**Tabelul 2.2**

ACTIVITATE	DURATA	TERMEN de ÎNCEPERE		TERMEN de TERMINARE		REZERVA TOTALĂ
		MINIM (EST)	MAXIM (LST)	MINIM (EFT)	MAXIM (LFT)	
P	7	0	0	7	7	0
A	2	7	8	9	10	1
CU	2	7	11	10	14	4
OS	3	7	7	10	10	0
LU	6	10	14	16	20	4
R	10	10	10	20	20	0
D	5	20	29	25	34	9
C	14	20	20	34	34	0
E	10	7	24	17	34	17

- 9) Datorită posibilității de introducere a unor noduri și respectiv activități fictive reprezentarea prin grafic coordonator a unui proiect complex NU este UNICĂ. Unic în această reprezentare este doar termenul de FINALIZARE al întregului proiect (valoarea înscrisă prin cele două etape de marcaj în modul final al proiectului).

### 2.3. Construcția rețelei coordonatoare în reprezentarea activitate – nod ( $A^{\circ}N$ )

În reprezentarea  $A^{\circ}N$  **nodurile** rețelei coordonatoare corespunde **activităților**, în timp ce **arcele** pun în evidență **precedentele directe** dintre activități.

Fie  $P$  = un proiect compus din activitățile  $A, B, C$ .

Reamintim că activitatea  $A$  precede direct activitatea  $B$  dacă  $B$  poate începe imediat după terminarea lui  $A$ .

Presupunem cunoscute toate relațiile de precedență directă dintre activitățile proiectului  $P$ , precum și duratele acestor activități. Pentru activitatea  $A$  notăm  $d(A)$  = durata activității  $A$ . Activitățile proiectului, dependențele și duratele activităților se regăsesc în **lista de activități**. Fiecărei activități i-au fost asociate următoarele termene:

- termenul cel mai devreme (timpuriu) de începere notat  $EST$ ;
- termenul cel mai devreme de terminare,  $EFT$ ;
- termenul cel mai târziu de începere,  $LST$ ;
- termenul cel mai târziu de terminare,  $LFT$ .

În reprezentarea  $A^{\circ}N$  fiecare activitate este reprezentată printr-un dreptunghi compartimentat ca în figura 2.4.

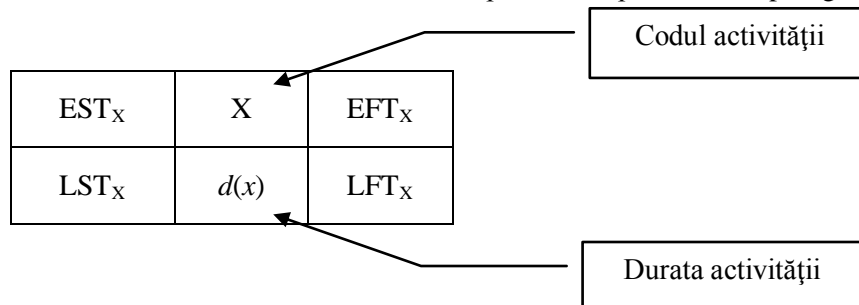


Figura 2.4

Faptul că activitatea  $A$  precede direct activitatea  $B$  va fi reprezentat precum în figura 2.5.

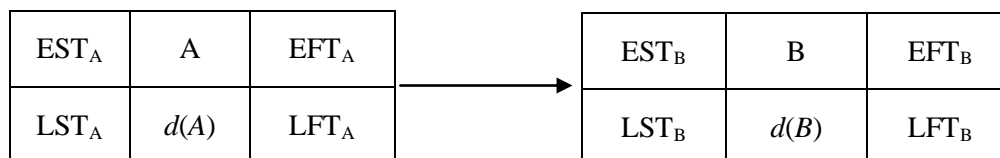


Figura 2.5

Asemănător cazului  $A^{\circ}A$ , rețeaua  $A^{\circ}N$  trebuie să aibă:

- un singur nod inițial;
- un singur nod FINAL;

În vederea îndeplinirii acestei cerințe:

- dacă **proiectul  $P$  are mai multe activități inițiale** el se va completa cu o **activitate fictivă de START** cu durata 0 și care precede direct toate activitățile inițiale ale proiectului;
- dacă  $P$  are mai multe activități finale el se va completa cu o **activitate fictivă de FINISH** cu **durata 0** și care este direct precedată de toate activitățile finale din proiect.

**Exemplul 2.2:** Să trasăm rețeaua  $A^{\circ}N$  corespunzătoare proiectului dat prin lista din Tabelul 2.3.

Tabelul 2.3

Nr. crt.	Cod activitate	Activități direct precedente	Durata (luni)
1	P	-	5
2	A	P	3
3	CLU	P	9



4	OS	P	4
5	R	A, OS	10
6	D	R	5
7	CM	CLU, R	14
8	E	P	10

Aplicarea regulilor de reprezentare introduse anterior ne conduc la rețeaua coordonatoare din figura 2.6. La epuizarea listei de activități se constată că există 3 activități finale: CM, D și E. Ca urmare, rețeaua a fost completată cu o activitate fictivă pe post de unică activitate finală a grafului coordonator.

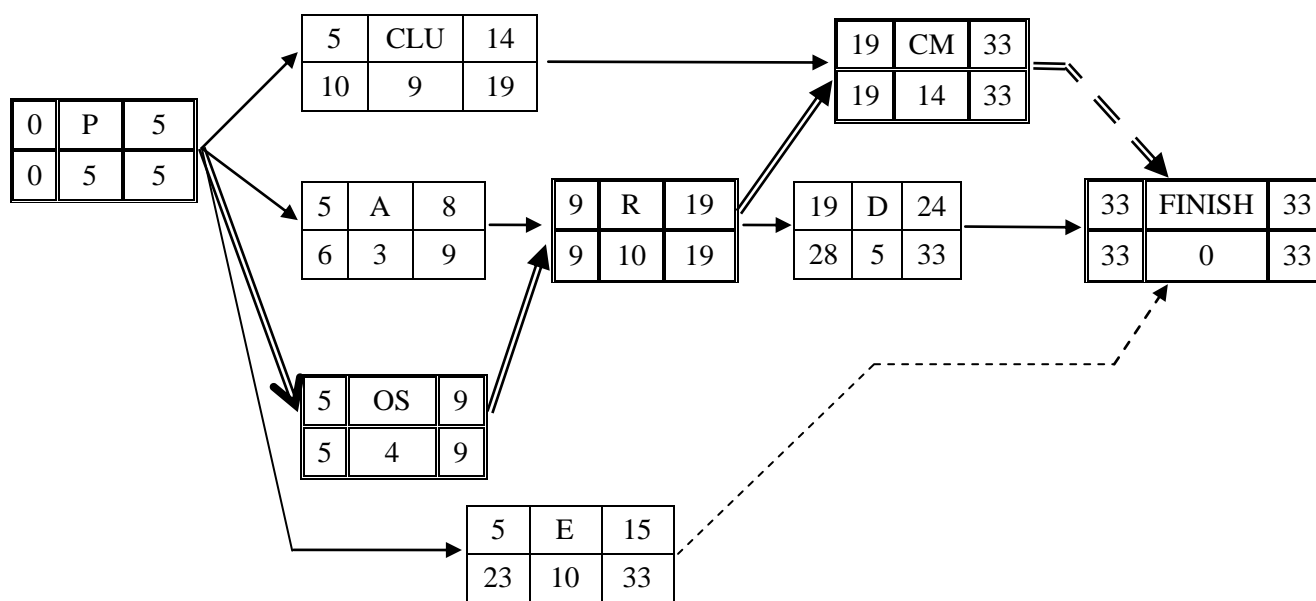


Figura 2.6

Calculul celor 4 termene s-a făcut la fel ca în reprezentarea  $A^{\circ}A$  în doi pași:

**I. Pasul înainte**, dinspre nodul inițial către nodul final. La acest pas se calculează termenele MINIME de începere și terminare a activităților:

- Pentru activitatea inițială  $I$ :  $EST(I) = 0$  și  $EFT(I) = EST(I) + d(I) = d(I)$ ;
- Pentru o activitate diferită de activitatea inițială:

$$EST(Y) = \max\{EFT(X) / X \text{ precede direct } Y\} \text{ și } EFT(Y) = EST(Y) + d(Y)$$

**II. Pasul înapoi**, de la nodul final către cel inițial. La acest pas se calculează termenele MAXIME (târzii) de începere și terminare a activităților.

- Pentru activitatea finală  $F$  (reală sau fictivă):  $LFT(F) = EFT(F)$ ;  $LST(F) = LFT(F) - d(F)$ ;
- Pentru o activitate oarecare  $X$  diferită de activitatea finală  $F$ :

$$LFT(X) = \min\{LST(Y) / X \text{ precede direct } Y\} \text{ și } LST(X) = LFT(X) - d(X)$$

Justificarea formulelor a fost deja dată în cazul reprezentării  $A^{\circ}A$ .

### Concluzii:

- 1) Prin definiție activitatea finală a proiectului are un singur termen de terminare  $EFT = LFT$ ; aceasta va da termenul minim de execuție al proiectului (în exemplul anterior 33 luni);
- 2) O activitate se va numi critică dacă termenele minime și maxime de începere coincid, ceea ce este echivalent cu faptul că termenele de terminare minime și maxime coincid.

În cazul de față, activitățile critice sunt: P, OS, R, CM.

Activitățile critice constituie o succesiune de activități care indică drumul critic. Suma duratelor activităților de pe drumul critic = **durata minimă** de execuție a proiectului. Pe de altă parte **drumul critic este succesiunea de activități cu cea mai mare durată de execuție**.

Reamintim că REZERVA totală a unei activități  $X$  este egală cu diferența dintre termenele de începere MAXIME și MINIME ceea ce este tot una cu diferența dintre termenele de terminare MAXIME și MINIME.

Rezerva unei activități critice este ZERO. **Rezerva totală este intervalul de timp cu care poate fi prelungită o activitate de la termenul ei cel mai devreme de începere fără a se perturba termenul final de terminare al proiectului.**

De exemplu: Activitatea CLU are o rezervă totală de  $10 - 5 = 19 - 14 = 5$  luni; aceasta înseamnă că de la momentul ei minim de începere 5, activitatea CLU poate fi prelungită cu maximum 5 luni fără perturbarea termenului final al întregului proiect.

**Dacă o activitate a fost prelungită prin consumarea întregii sale rezerve totale, toate activitățile care o succed devin critice.**

**TEMĂ:** Construiți rețeaua coordonatoare în reprezentarea  $A^{\circ}N$  pentru proiectul dat în tabelul 2.1 și rețeaua în reprezentarea  $A^{\circ}A$  pentru proiectul dat prin lista de activități din tabelul 2.3.

## CURSUL 4

### 2.4. Alocarea resurselor în managementul proiectelor

#### 2.4.1 Ce este alocarea resurselor?

De regulă, realizarea activităților unui proiect implică utilizarea unor resurse. Printre acestea **forța de muncă**, de diferite calificări, ocupă un loc important. În general resursele sunt disponibile la un moment sau altul în cantități limitate. În aceste condiții, în planificarea activităților trebuie să se țină seama nu numai de precedențele dintre activități și durata acestora, dar și de **necesitatea încadrării în disponibilul de resurse pe tot parcursul realizării proiectului.**

#### 2.4.2 Ipoteze și notații

Problema planificării activităților unui proiect în funcție și de resurse este extrem de complexă și de aceea vom adopta următoarele ipoteze simplificatoare:

1. În oricare moment al derulării proiectului, **disponibilul dintr-o anumită resursă este același;**
2. Pe tot parcursul realizării unei activități **necesarul dintr-o resursă pentru această activitate este același.**

Notații:

$H \equiv$  mulțimea resurselor considerate a avea disponibil limitat;

$b_h =$  disponibilul din resursa  $h \in H$  asigurat și constant pe toată durata de realizare a proiectului;

$r_{ih} =$  necesarul de resurse  $h$  pentru activitatea  $i$  presupus constant pe toată durata de execuție a activității  $i$ .

Presupunem că  $r_{ih} \leq b_h$ .

**Exemplul 2.3:** Vom considera proiectul definit prin datele din tabelul 2.4:

**Tabelul 2.4**

Activitate	Activități direct precedente	Durata (zile)	Necesar resurse	
			$R_1$	$R_2$
A	-	1	2	2
B	-	3	2	3
C	B	5	1	3
D	A	4	1	2
E	A	5	1	1
F	C, D, E	3	3	3
G	C	1	1	2
			$b_1 = 3$	$b_2 = 5$

La realizarea acestui proiect se utilizează 2 categorii de forță de muncă  $R_1$  și  $R_2$ . Pentru executarea activității  $F$  sunt necesari în fiecare din cele 3 zile ale duratei de execuție 3 muncitori cu calificarea  $R_1$  și alți 3 muncitori având calificarea  $R_2$ . În fiecare zi sunt disponibili:  $b_1 = 3$  muncitori  $R_1$  și  $b_2 = 5$  muncitori  $R_2$ .

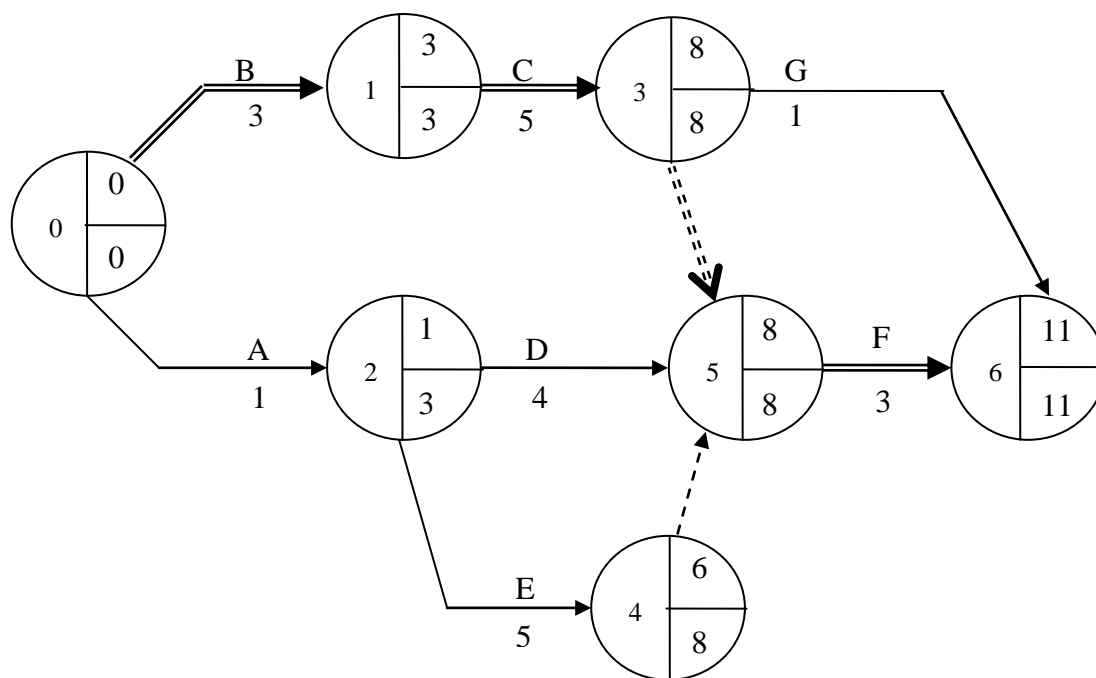
Alocarea resurselor înseamnă în acest caz:

**Etapa 1:** Determinarea duratei minime de realizare a proiectului fără a ține seama de consumul de resurse;

**Etapa 2:** Planificarea în timp a activităților proiectului a.î. necesarul de resurse să se încadreze în disponibilul dat.

**Etapa 1:** Așa cum am procedat în secțiunile anterioare, vom planifica activitățile proiectului fără a ține seama de resurse. Există posibilitatea ca rezultatul obținut să fie satisfăcător și din punct de vedere al utilizării resurselor limitate.

Reprezentarea  $A^\circ A$  conduce la rețeaua dată în figura 2.7.



**Figura 2.7**

**TEMĂ:** Calculați durata maximă de execuție a proiectului, termenele minime și maxime de începere și terminare a tuturor activităților, precum și rezervele de timp ale activităților fără a ține seama de resurse.

**Etapa 2:** Sunt suficiente resursele  $R_1$  și  $R_2$  pentru a termina proiectul în 11 zile?

Vom răspunde la această întrebare trasând histogramele consumurilor de resurse necesare planificării tuturor activităților proiectului la termenele minime de începere (EST).

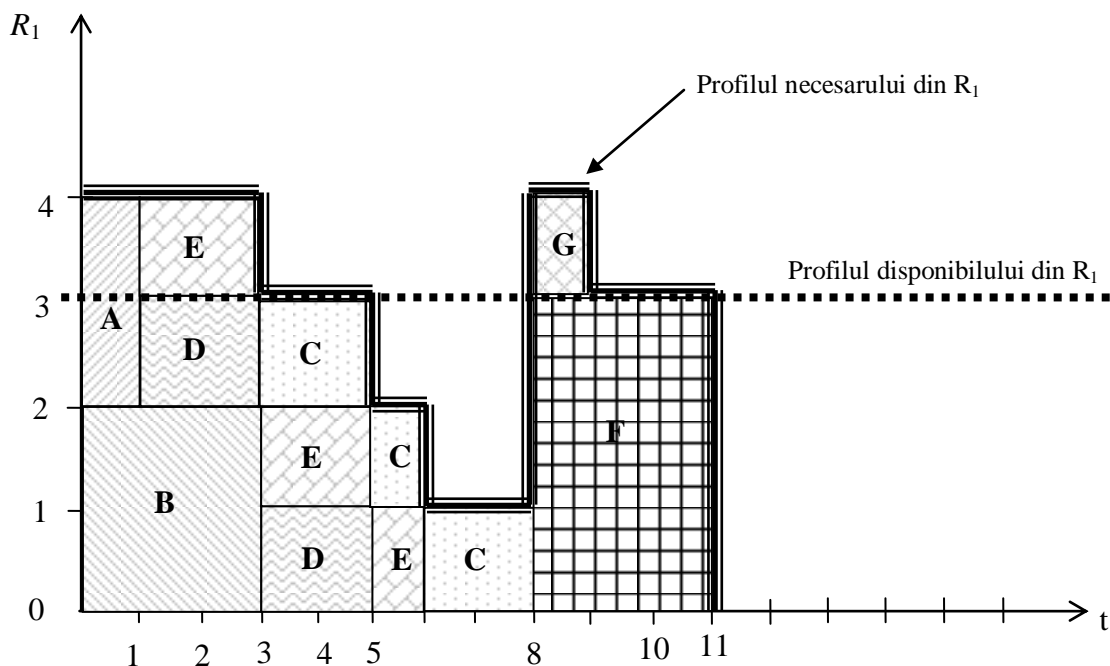


Figura 2.8

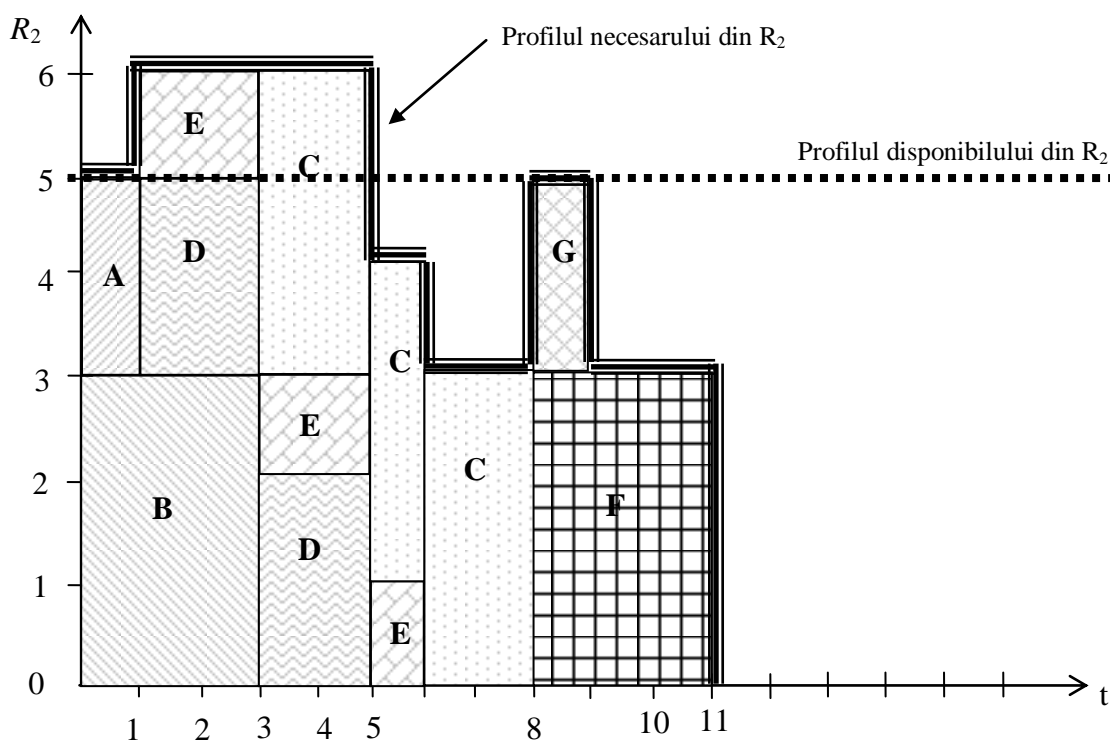


Figura 2.9

Așa cum se observă din figurile 2.8 și 2.9, atât pentru resursa  $R_1$  cât și pentru resursa  $R_2$  disponibilele sunt insuficiente pentru a programa activitățile proiectului la termenele lor minime de începere. În cazul resursei  $R_1$  în intervalele 0-3 și 8-9 de timp avem o depășire de o unitate de resursă (un lucrător cu calificarea 1 mai puțin), iar în cazul  $R_2$  în intervalul 1-5 există o depășire de o unitate de resursă (un lucrător cu calificarea 2 mai puțin).

O depășire a disponibilului de resursă se va numi în continuare **conflict de resursă**.

### 2.4.3 Rezolvarea unui conflict de resurse

În cazul în care la un moment dat apare depășirea necesarului față de disponibil la una sau mai multe din resursele utilizate de către proiect, singura cale de rezolvare a conflictului de resurse constă în amânarea unor activități care pot începe la momentul respectiv.

Operația de amânare este delicată din mai multe motive:

- amânarea unor activități poate antrena amânarea altor activități care depind de prima;
- rezolvarea unui conflict de resursă la un anumit moment, poate modifica profilul necesarului pentru un moment viitor determinând apariția unor conflicte noi.

Pentru a găsi soluția corectă (optimă) ar trebui examinate toate posibilitățile de amânare care pot rezolva un conflict de resurse dat. Fiecare modalitate de amânare are propriile ei conflicte de resursă și rezolvarea fiecăreia dintre ele generează noi alternative care trebuie studiate. Rezultă de aici un proces stufos și greu de controlat.

În această situație ne vom mulțumi cu determinarea unor soluții nu neapărat optime, dar care sunt, subiectiv vorbind, satisfăcătoare (acceptabile) și care au avantajul că se obțin ușor și în timp util.

Un procedeu care conduce la o soluție bună, nu neapărat optimă, poartă numele de **euristică**. În esență, o euristică pentru rezolvarea unei probleme de optimizare  $P$  este un procedeu iterativ de determinare a unei soluții a problemei  $P$ , *procedeu care la fiecare pas încearcă să facă cea mai bună alegere*.

În general, optimizarea locală nu conduce decât în anumite cazuri la soluția optimă globală, astfel că rezultatul aplicării unei euristici este, de regulă, o soluție **suboptimală** destul de apropiată de soluția optimă căutată.

### 2.4.4 O euristică pentru problema alocării

Concret, rezultatul euristicii de alocare a resurselor constă în faptul că în rezolvarea unui conflict de resurse nu se examinează toate alternativele de amânare, ci numai una dintre ele construită pe baza unui criteriu de prioritate la amânare cum ar fi de exemplu:

- **are prioritate la amânare activitatea cu cea mai mare rezervă de timp sau activitatea cu durata cea mai mică.**
- **activitățile amânate se aleg în așa fel încât cele alese pentru programare să asigure o utilizare cât mai bună a resurselor.**

Aceste criterii se utilizează în practică fie separat, fie în combinație. Pentru descrierea schemei generale a acestei euristici avem nevoie de următoarele notații:

- a) Fiecare activitate va avea atașat un **termen potențial de începere (TPI)** care se poate modifica pe parcurs. La **START** pentru fiecare activitate se va lua **TPI = EST**.
- b) Pe parcursul derulării proiectului activitățile de împart în:
  - activități deja programate să se desfășoare în funcție de consumul de resurse;
  - activități încă neprogramate.

În momentul în care o activitate este declarată **PROGRAMATĂ** termenul ei potențial de începere devine **termen definitiv** de începere și nu va mai putea fi modificat în etapele ulterioare ale algoritmului.

- c) Programarea activităților ținând cont de resurse se face la anumite momente de timp. Momentul curent notat  $t$  este **minimul** termenelor potențiale de începere a activităților încă neprogramate. La start  $t_{min}=0$ .

În raport cu momentul curent de programare  $t$ , activitățile deja **PROGRAMATE** se împart în:

- terminate ( $\equiv$  termenul definitiv de terminare  $\leq t$ ) și
- activități în curs de desfășurare ( $\equiv$  termenul definitiv de terminare  $> t$ ).

Printre activitățile încă neprogramate vom distinge activități **candidate la programare** (activitățile al căror termen potențial de începere este egal cu  $t$ ).

- d) Notăm cu  $\mathcal{A}$  = mulțimea de *activități în curs de desfășurare sau candidate la programare* la momentul curent de programare  $t$ .

La fiecare moment de programare  $t$  vom compara disponibilul de resurse cu necesarul pentru susținerea activităților din lista  $\mathcal{A}$ . Diferența  $\Delta_h = b_h - \sum_{i \in \mathcal{A}} r_{ih}$ ,  $h \in H$  se numește **indicator de amânare**

**relativ la resursa  $h$ .**

Dacă  $\Delta_h \geq 0$  ( $\forall$ )  $h \in H$  avem suficiente resurse pentru susținerea tuturor activităților din  $\mathcal{A}$ , în caz contrar, unele activități vor fi amânate.

Prezentăm în continuare etapele euristicii problemei de alocare a resurselor.

**START:** Trasăm rețeaua coordonatoare a proiectului și determinăm termenele minime de începere  $EST$  ale tuturor activităților. Trasăm histograma necesarului din fiecare resursă considerând că toate activitățile încep la termenele minime rezultate din rețeaua coordonatoare. **Dacă profilul necesarului din fiecare resursă nu depășește disponibilul STOP.** În caz contrar inițializăm:

- pentru fiecare activitate termenul potențial de începere  $TPI = EST$ ;
- momentul curent de programare  $t = 0$ ;
- toate activitățile se declară neprogramate.

### Conținutul unei ITERAȚII:

**Pas 1:** Se identifică mulțimea  $\mathcal{A}$  a activităților în curs de desfășurare la momentul  $t$  și candidate la programare la momentul  $t$ .

**Pas 2:** Pentru activitățile din lista  $\mathcal{A}$  se calculează indicatorii de amânare:

$$\Delta_h = b_h - \sum_{i \in A} r_{ih}, h \in H$$

- **Dacă**  $\Delta_h \geq 0, \forall h \in H$  se actualizează  $\mathcal{A}' = \mathcal{A}$ , și  $\mathcal{B} = \emptyset$  ( $\mathcal{B}$  = lista activităților amânate la momentul  $t$ ) și se trece la pasul 4, unde  $\mathcal{A}'$  = lista activităților programate să înceapă la momentul  $t$ .
- **Dacă** pentru o resursă  $h \in H$  avem  $\Delta_h < 0$  se trece la pasul 3.

**Pas 3:** Se identifică mulțimea  $\mathcal{B}$  a activităților ce trebuie amânate pe baza criteriilor de prioritate la amânare avute în vedere. Se actualizează  $\mathcal{A}' = \mathcal{A} - \mathcal{B}$ .

**Pas 4:** Se programează activitățile candidate din  $\mathcal{A}'$  să înceapă **definitiv** la momentul  $t$  (în cazul în care există asemenea activități).

**Pas 5:** Tuturor activităților amânate din  $\mathcal{B}$  în caz că  $\mathcal{B} \neq \emptyset$  li se fixează un nou  $TPI$  egal cu minimul termenelor definitive de terminare ale activităților din  $\mathcal{A}'$ . Dacă este cazul se va modifica și  $TPI$  al activităților care depind direct sau indirect de activitățile amânate. Se actualizează  $t \equiv \text{MINIMUL termenelor potențiale de începere al activităților încă neprogramate după care se revine la Pasul 1 în cadrul unei noi iterații.}$

### Ilustrare numerică

Vom aplica euristica prezentată anterior proiectului dat în lista din tabelul 2.4.

În operația de amânare vom utiliza ca și criteriu principal *criteriul rezervei totale de timp* combinat cu *modul de încadrare în disponibilul de resursă*.

Rezultatele programării sunt date în tabelul 2.5.

**Tabelul 2.5**

Activități	Durata	Rezerva de timp condițională	Termen definitiv de		Termene potențiale de începere la ITERAȚIA				
			Începere	Terminare	IT. 1	2	3	4	5
					$t_{\min} = 0$	$t_{\min} = 3$	$t_{\min} = 4$	$t_{\min} = 8$	$t_{\min} = 12$
A	1	2, -1	3	4	0	3*	-	-	-
B	3	0	0	3	0*	-	-	-	-
C	5	0	3	8	3	3*	-	-	-
D	4	3, 0, -4	8	12	1	4	4	8*	-
E	5	2, -1	4	9	1	4	4*	-	-
F	3	0, -1, -4	12	15	8	9	9	12	12*
G	1	2	8	9	8	8	8	8*	-

**IT. 1:**  $t_{\min} = 0$

**Pas 1:**  $\mathcal{A}_1 = \{A, B\}$ .  $\Delta_1 = 3 - (2 + 2) < 0$ ,  $\Delta_2 = 5 - (2 + 3) = 0$

**Pas 2:** Avem  $\Delta_1 < 0 \Rightarrow$  se trece la pasul 3.

**Pas 3:** Se observă ușor că pentru rezolvarea conflictului de resurse este suficientă amânarea uneia din cele 2 activități. Conform celor convenite din START va avea prioritate la amânare rezerva de timp cea mai mare:  $R_{(A)} = 3 - (0+1) = 2$ ,  $R_{(B)} = 3 - (0+3) = 0$ .

Se amână activitatea A (în notațiile generale  $\mathcal{B}_1 = \{A\}$  și  $\mathcal{A}_1' = \mathcal{A}_1 - \mathcal{B}_1 = \{B\}$ ).

**Pas 4:** Se va programa B să înceapă la momentul 0. Trecem acest termen în tabel în coloana „termene definitive de începere” după care calculăm și termenul definitiv de terminare. În coloana IT. 1 trecem \* în dreptul activității programate B (din acest moment cu activitatea B nu se mai lucrează).

**Pas 5:** Activității A i se fixează un nou *TPI* egal cu minimul termenelor definitive de terminare ale activităților din  $\mathcal{A}_1'$ .  $TPI_A =$  termenul la care se termină activitatea programată  $B = 3$ ; trecem termenul în coloana Iterația 1.

Rețeaua coordonatoare arată faptul că activitățile D și E (condiționate de către A) nu pot începe acum mai devreme de termenul de terminare al lui A,  $3 + 1 = 4 \Rightarrow$  completăm coloana iterația 2 cu  $TPI_D = TPI_E = 4$ .

Amânarea activității E implică amânarea activității F la termenul  $TPI_F = 4 + 5 = 9$ .

Activitățile neprogramate C și G își mențin *TPI* ele nefiind condiționate de activitățile amânate anterior.

Coloana Iterația 1 este acum completă.

**Iterația 2:  $t = 3$**  .

.

.

**TEMĂ:** Parcurgeți iterațiile 2, 3, 4 și 5 ale rezolvării exemplului anterior regăsind datele din tabelul 2.5. Trasați apoi histogramele pentru  $R_1$  și  $R_2$  și comparați-le cu cele din figurile 2.8 și 2.9.

## CAPITOLUL 3

### FLUX ÎN REȚELE DE TRANSPORT

**NOTĂ:** Suportul de curs al Capitolelor 1, 2 și 3 are la bază lucrările:

- Ciobanu, Gh., Nica, V., Mustață, Fl., Mărcine, V. Mitrut, D. (2002), *Cercetări operaționale. Optimizări în rețele. Teorie și aplicații economice*, Editura MATRIX ROM, București;

- Ciobanu, Gh., Nica, V., Mustață Fl., Mărcine, V. (1996), *Cercetări operaționale cu aplicații în economie. Teoria grafurilor și Analiza drumului critic*, Editura MATRIX-ROM, București

#### 3.1 Rețea de transport. Flux într-o rețea

#### 3.2 Tăietură într-o rețea

#### 3.3 Capacitate reziduală. Lanț de augmentare

#### 3.4 Teorema Ford – Fulkerson. Algoritmul Ford – Fulkerson

3.4.1. Flux de valoare maximă și tăietură de capacitate minimă

3.4.2. Algoritmul Ford – Fulkerson

#### 3.5 Problema de cerere și ofertă în rețea de transport cu capacități limitate

#### 3.6 Flux de valoare maximă și de cost minim

*Algoritmul 1*



### 3.1 Rețea de transport. Flux într-o rețea

Într-o mare varietate de situații se pune problema deplasării unei cantități dintr-o resursă, care poate fi materie primă, produse finite, energie, informație etc., din unele locuri numite *surse* în alte locuri numite *destinații*. Această deplasare se efectuează pe anumite *rute de legătură*. Rutele de transport pot avea și alte puncte comune în afara surselor și destinațiilor care vor fi numite *puncte intermediare*. Pot exista și legături directe între surse și/sau destinații. Ansamblul acestor rute, surse și destinații precum și a altor puncte comune rutelor se poate formaliza utilizând noțiunea de graf finit, fără bucle și conex.

Fie  $G = (X, U)$  un graf finit, conex și fără bucle.

Graful  $G$  este numit **rețea de transport** dacă:

- există un nod și numai unul  $s \in X$ , numit *nod de intrare în rețea* sau *nod sursă*;
- există un nod și numai unul  $t \in X$ , numit *nod de ieșire din rețea* sau *nod destinație* (țintă); orice alt nod  $i \neq s$  și  $i \neq t$  este un *nod intermediar*;
- fiecare arc  $u = (i, j)$  este valorizat cu o valoare nenegativă, notată  $c(u)$  sau  $c_{ij}$ , numită *capacitatea arcului  $u$* .

Fie  $U_x^-$  mulțimea arcelor incidente spre interior în nodul  $x$  și  $U_x^+$  mulțimea arcelor incidente spre exterior în nodul  $x$ . Arcele  $u \in U_s^+$  sunt *arce de intrare* în rețea iar  $u \in U_t^-$  sunt *arce de ieșire* din rețea.

Definim prin *flux într-o rețea de transport*  $G = (X, U)$  de la  $s$  la  $t$  o aplicație  $\varphi : U \rightarrow \mathbb{R}$  indexată de toate rutele orientate ale rețelei cu următoarele condiții:

P<sub>1</sub>)  $0 \leq \varphi(u) \leq c(u)$  oricare  $u \in U$ ;

P<sub>2</sub>)  $\sum_{u \in U_x^-} \varphi(u) = \sum_{u \in U_x^+} \varphi(u)$  oricare  $x \in X - \{s, t\}$ , ceea ce înseamnă că în nodurile intermediare ale rețelei

nu există consum sau pierdere de unități de flux.

Valoarea  $\varphi(u)$  este fluxul propagat pe ruta  $u = (i, j)$  sau fluxul pe arcul  $u$  și reprezintă cantitatea de resursă care parcurge arcul  $u$  de la  $i$  la  $j$ , acesta fiind sensul orientării permise a arcului. Cantitățile de resursă care se propagă în rețeaua  $G$  intră prin nodul  $s$  și ies din rețea prin nodul  $t$ . Unitățile indivizibile din resursă care sunt propagate de-a lungul rutelor între surse și destinații sunt numite *unități de flux*. Capacitățile asociate arcelor sunt limitări ale volumului de flux care este propagat în rețea. În cazul de față, capacitățile sunt *limitări superioare*.

Formal, conform proprietății P<sub>1</sub> se exprimă cerința ca, pe fiecare rută, fluxul să fie pozitiv și să nu depășească capacitatea arcului. Valorile capacităților  $c(u) \geq 0$ ,  $u \in U$  sunt presupuse, în continuare, numere întregi, acesta fiind cazul frecvent în aplicațiile practice. Proprietatea P<sub>2</sub> definește legea conservării fluxului (prima lege a lui Kirckhoff) prin care, exceptând sursa și destinația, cantitatea de materie care intră într-un nod  $x$  prin arcele incidente spre interior este egală cu cantitatea care iese prin arcele incidente spre exterior din același nod  $x$ , lucru care face ca, valoarea fluxului propagat într-o rețea să poată fi măsurat fie la intrarea  $s$ , fie la ieșirea  $t$  a rețelei și atunci, din proprietatea P<sub>2</sub>, rezultă:

$$\sum_{u \in U_t^-} \varphi(u) = \sum_{u \in U_s^+} \varphi(u) = v(\varphi). \quad (3.1)$$

Conform relației (3.1) cantitatea de resursă care iese din nodul sursă se regăsește, în întregime, în nodul destinație  $t$ . Valoarea comună  $v(\varphi)$  se numește *valoarea fluxului  $\varphi$*  în rețeaua de transport.

Să considerăm cazul în care rețeaua de transport este un graf oarecare  $G = (X, U)$ ,  $U$  fiind mulțimea muchiilor. Definiția fluxului permite existența simultană a unor fluxuri pe ambele sensuri de parcurgere a unei muchii, cu condiția ca respectivele sensuri să fie permise. Putem introduce, astfel, conceptul de *flux net* ca fiind fluxul  $\varphi$  care satisface condiția suplimentară:

P<sub>3</sub>) dacă pe o muchie  $[i, j]$  ambele sensuri de parcurgere  $(i, j)$  și  $(j, i)$  sunt permise, atunci cel mult unul dintre fluxurile  $\varphi_{ij}$  și  $\varphi_{ji}$  este nenul ( $\varphi_{ij} \cdot \varphi_{ji} = 0$ ).

În general, două fluxuri  $\varphi$  și  $\varphi'$  sunt *echivalente* dacă au aceleași valori:  $v(\varphi) = v(\varphi')$ . Plecând de la un flux oarecare  $\varphi$  definim în  $G$  un nou flux  $\varphi'$  de la  $s$  la  $t$  prin următoarea formulă:

$$\text{pentru orice } [i, j] \in U, \varphi'_{ij} = \begin{cases} \max(0, \varphi_{ij} - \varphi_{ji}) & \text{dacă } (i, j) \text{ și } (j, i) \text{ sunt rute permise} \\ \varphi_{ij} & \text{dacă doar } (i, j) \text{ este rută permisă} \end{cases} \quad (3.2)$$

Aplicația  $\varphi' = (\varphi'_{ij})$  definită de (3.2) este un flux deoarece satisface condițiile  $P_1)$ ,  $P_2)$  și  $P_3)$  și este un *flux net* echivalent cu fluxul inițial  $\varphi$ , având aceeași valoare cu acesta. În concluzie, pentru orice flux există un flux net echivalent.

Un arc  $u \in U$  pentru care  $\varphi(u) = c(u)$  este numit *arc saturat* și, respectiv, un drum de la  $s$  la  $t$  care conține cel puțin un arc saturat este un *drum saturat*. Un flux în rețeaua de transport cu toate drumurile saturate este numit *flux complet*.

Fie  $\mu$  un drum nesaturat de un flux  $\varphi$  între  $s$  și  $t$  și

$$\theta = \min_{u \in \mu} (c(u) - \varphi(u)). \quad (3.3)$$

atunci

$$\varphi_1(u) = \begin{cases} \varphi(u) + \theta & \text{dacă } u \in \mu \\ \varphi(u) & \text{dacă } u \notin \mu \end{cases} \quad (3.4)$$

este noul flux  $\varphi_1$  care saturează cel puțin un arc pe drumul  $\mu$ .

Dacă se procedează la fel cu toate drumurile nesaturate de la  $s$  la  $t$  se obține un flux complet. Într-o rețea de transport convenim să notăm capacitățile pe fiecare arc, de obicei, între paranteze iar alăturat fluxul (cumulat) ce străbate arcul respectiv.

În rețeaua de transport din figura 3.1 se pun în evidență următoarele drumuri de la  $s$  la  $t$  și corespunzător cantitatea de flux propagată calculată cu formulele (3.3). Inițial, fluxul este nul.

$$\mu_1 = (s, 1, 2, t), \quad \theta_1 = \min(7, 4, 8) = 4, \quad v(\varphi) = 4;$$

$$\mu_2 = (s, 1, 3, 2, t), \quad \theta_2 = \min(3, 2, 5, 4) = 2, \quad v(\varphi) = 4 + 2 = 6;$$

$$\mu_3 = (s, 3, 2, t), \quad \theta_3 = \min(6, 3, 2) = 2, \quad v(\varphi) = 6 + 2 = 8;$$

$$\mu_4 = (s, 3, t), \quad \theta_4 = \min(4, 6) = 4, \quad v(\varphi) = 8 + 4 = 12.$$

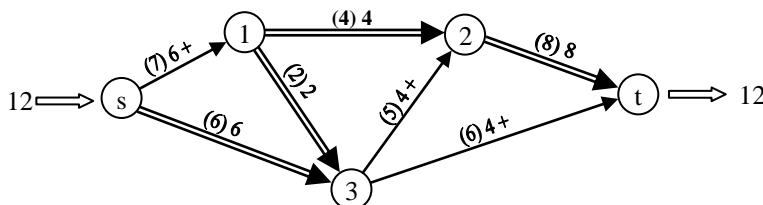


Figura 3.1

Pentru această alegere, pe primul drum  $\mu_1$  s-au propagat 4 unități de flux, pe al doilea drum  $\mu_2$  s-au propagat 2 unități de flux, pe drumul  $\mu_3$  s-au propagat 2 unități de flux și pe drumul  $\mu_4$  s-au propagat 4 unități de flux. În total, fluxul propagat în rețea este  $v(\varphi) = \theta_1 + \theta_2 + \theta_3 + \theta_4 = 12$  unități. Fluxurile propagate pe fiecare arc sunt cumulate și scrise după capacități. Arcele saturate sunt: (1, 2) prin drumul  $\mu_1$ , (1, 3) prin drumul  $\mu_2$ , (2, t) prin drumul  $\mu_3$  și (s, 3) prin drumul  $\mu_4$ . Celelalte arce sunt nesaturate. Opțional, pe arcele nesaturate se scrie și semnul (+).

Dacă rețeaua de transport conține și muchii neorientate (muchii), în identificarea drumurilor între  $s$  și  $t$  vom avea grijă ca o rută neorientată să fie folosită doar într-un singur sens. Astfel, odată cu identificarea unui drum, se orientează și rutele.

În legătură cu propagarea unui flux într-o rețea de transport se pune problema dacă rețeaua de transport este capabilă să permită acoperirea integrală a cererilor în punctele de destinație. Aceasta va implica rezolvarea problemei *determinării volumului maxim de unități de flux ce pot fi deplasate de la surse la destinații*. În acest sens, se pune următoarea problemă numită **problema fluxului de valoare maximă**:

Fiind dată o rețea de transport  $G = (X, U)$  și capacitățile arcelor  $c(u)$ ,  $u \in U$ , să determinăm un flux  $\varphi$  astfel încât:

- 1°) să se verifice condițiile  $P_1)$  și  $P_2)$ ;

2°)  $v(\varphi)$  să fie o valoare maximă.

Problema fluxului de valoare maximă într-o rețea de transport cu intrarea  $s$  și ieșirea  $t$  se poate formula și ca o problemă de programare liniară (vezi Capitolul 4):

$$\begin{aligned} & (\max) v \\ & \sum_j \varphi_{ji} - \sum_j \varphi_{ij} = 0 \quad \text{dacă } i \neq s \text{ și } i \neq t \\ & \sum_j \varphi_{js} - \sum_j \varphi_{sj} = -v \\ & \sum_j \varphi_{jt} - \sum_j \varphi_{tj} = v \\ & 0 \leq \varphi_{ij} \leq c_{ij} \text{ oricare } i \text{ și } j \\ & \varphi_{ij} \text{ întreg} \end{aligned}$$

unde prin  $\varphi_{ij}$  s-a notat fluxul pe arcul  $(i, j)$ .

Particularitățile combinatorii ale problemei, numărul mare de restricții și variabile, dificultățile legate de integritatea variabilelor fac ineficientă rezolvarea cu tehnicile programării liniare, fiind necesară dezvoltarea unor metode specifice de rezolvare.

## 5.2 Tăietură într-o rețea

Fie  $G = (X, U)$  o rețea de transport, cu  $s$  nodul-sursă și  $t$  nodul-destinație, prin care se propagă un flux  $\varphi$ . Definim în  $G$  o partiție a nodurilor, notată  $(S, T)$ , unde  $S \cup T = X$  și  $S \cap T = \emptyset$  și astfel încât  $s \in S$  și  $t \in T$ .

Prin *tăietură* în rețeaua  $G$  vom înțelege mulțimea:

$$(S, T) = \{(i, j) \in U / i \in S \text{ și } j \in T\} \quad (3.5)$$

adică mulțimea rutelor orientate cu originea în  $S$  și terminația în  $T$ . O tăietură are *capacitatea*, notată cu  $c(S, T)$  dată de suma capacităților arcelor sale:

$$c(S, T) = \sum_{u \in (S, T)} c(u) \quad (3.6)$$

De exemplu, în rețeaua din figura 3.2 tăietura care separă submulțimea  $S = \{s, 1, 3\}$  de submulțimea  $T = \{2, t\}$  este definită de linia punctată, deci:

$$(S, T) = \{(s, 2), (1, 2), (3, 2), (3, t)\}$$

cu capacitatea:

$$c(S, T) = c_{s2} + c_{12} + c_{32} + c_{3t} = 26$$

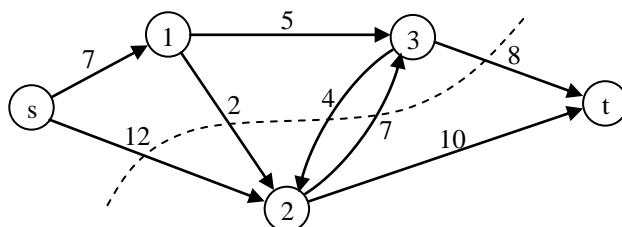


Figura 3.2

În general, într-o rețea de transport se poate presupune că există arce care intră în sursă, respectiv care ies din destinație, dar în același timp, nu este recomandabilă utilizarea acestor arce. În acest sens putem considera două tăieturi particulare  $(S, T)$  în care  $S = \{s\}$  și  $T = \{\text{noduri} \neq s\}$  sau  $S = \{\text{noduri} \neq t\}$  și  $T = \{t\}$ .

**Teorema 3.1** Valoarea oricărui flux într-o rețea este mai mică sau egală decât capacitatea oricărei tăieturi în rețea.

**Demonstrație:** Fie  $\varphi$  un flux și  $(S, T)$  o tăietură în rețea. Pentru simplificarea notațiilor un nod  $x_k$  este precizat prin indicele  $k$ . Pentru sursa  $s$  avem:

$$\sum_{i \in U_s^+} \varphi_{si} - \sum_{j \in U_s^-} \varphi_{js} = \sum_{i \in U_s^+} \varphi_{si} = v(\varphi). \quad (3.7)$$

Pentru un nod  $k \neq s$ , cu  $k \in S$ , avem, conform proprietății  $P_2$ :

$$\sum_{i \in U_k^+} \varphi_{ki} - \sum_{j \in U_k^-} \varphi_{jk} = 0. \quad (3.8)$$

Din (3.7) și (3.8) obținem valoarea fluxului:

$$\begin{aligned} v(\varphi) &= \sum_{k \in S} \left( \sum_{i \in U_k^+} \varphi_{ki} - \sum_{j \in U_k^-} \varphi_{jk} \right) = \sum_{k \in S, i \in U_k^+} \varphi_{ki} - \sum_{k \in S, j \in U_k^-} \varphi_{jk} = \\ &= \left[ \sum_{k \in S, i \in S} \varphi_{ki} + \sum_{k \in S, i \in T} \varphi_{ki} \right] - \left[ \sum_{k \in S, j \in S} \varphi_{jk} + \sum_{k \in S, j \in T} \varphi_{jk} \right]. \end{aligned}$$

Deoarece:

$$\sum_{k \in S, i \in S} \varphi_{ki} = \sum_{k \in S, j \in S} \varphi_{jk}$$

avem:

$$v(\varphi) = \sum_{k \in S, i \in T} \varphi_{ki} - \sum_{k \in S, j \in T} \varphi_{jk}. \quad (3.9)$$

Întrucât  $\sum_{k \in S, j \in T} \varphi_{jk} \geq 0$  avem inegalitățile:

$$v(\varphi) \leq \sum_{k \in S, i \in T} \varphi_{ki} \leq \sum_{k \in S, i \in T} c_{ki} = c(S, T),$$

deci,  $v(\varphi) \leq c(S, T)$ .

Relația (3.9) poate avea următoarea interpretare: *Valoarea unui flux într-o rețea de transport este egală cu suma fluxurilor de pe arcele de la  $S$  spre  $T$  minus suma fluxurilor de pe arcele de la  $T$  spre  $S$ , oricare ar fi tăietura  $(S, T)$ .*

**Teorema 3.2** Dacă valoarea fluxului  $\varphi$  într-o rețea de transport este egală cu capacitatea unei tăieturi  $(S, T)$  ( $v(\varphi) = c(S, T)$ ), atunci **fluxul  $\varphi$  are valoare maximă iar tăietura  $(S, T)$  are capacitate minimă**.

**Demonstrație:** Dacă, prin absurd, fluxul  $\varphi$  nu are valoarea maximă, atunci ar exista un alt flux  $\varphi'$ , de la  $s$  la  $t$ , de valoare strict mai mare:  $v(\varphi') > v(\varphi)$ . Cum  $v(\varphi) = c(S, T)$  ar rezulta că fluxul  $\varphi'$  ar avea o valoare strict mai mare decât tăietura  $(S, T)$ , în contradicție cu teorema 3.1.

Analog, dacă tăietura  $(S, T)$  nu ar avea capacitate minimă, ar exista o tăietură  $(S', T')$  de capacitate strict mai mică ( $c(S', T') < c(S, T)$ ). Cum  $c(S, T) = v(\varphi)$  rezultă că fluxul  $\varphi$  are valoarea strict mai mare decât capacitatea tăieturii  $(S', T')$ , de asemenea, în contradicție cu teorema 3.1.

**Observație:** Un flux care este propagat în rețeaua  $G$  între  $s$  și  $t$  traversează toate tăieturile din rețea. Pentru o tăietură dată, arcele acesteia pot fi saturate sau nu. Din teoremele de mai sus rezultă că, **dacă toate arcele unei tăieturi sunt saturate, atunci aceasta este o tăietură de capacitate minimă iar fluxul propagat este de valoare maximă**, egală cu capacitatea tăieturii.

### 3.3 Capacitate reziduală. Lanț de augmentare

Fie  $G = (X, E)$  un graf conex finit și fără bucle cu nodurile  $s$  și  $t$  fixe. Fiecare muchie  $e \in E$  poate fi înlocuită cu două rute orientate, dar nu active în același timp. Fie  $c(e)$ ,  $e \in E$  capacitatea muchiilor grafului  $G$  și considerăm că în graful  $G$  s-a propagat un flux  $\varphi$ . În raport cu fluxul  $\varphi$ , dacă  $\varphi_{ij} = c_{ij}$ , ruta orientată  $(i, j)$  este saturată. Vom conveni, ca toate rutele să fie orientate și permise. În cazul unei rute blocate (nepermise), capacitatea va fi considerată nulă (și implicit valoarea oricărui flux este nulă:  $\varphi_{ij} = c_{ij} = 0$ ). Rutele blocate nu trebuie considerate ca fiind saturate.

Pentru început, o *rețea reziduală* diferă de rețeaua originală numai prin faptul că fiecare rută orientată ( $i \rightarrow j$ ) face să lipsească ruta orientată în direcția opusă ( $j \rightarrow i$ ). În consecință, capacitățile arcelor în rețeaua reziduală (numite *capacități reziduale*) sunt definite astfel: *În fiecare moment o cantitate de flux  $\varphi$  este adăugată rutei ( $i \rightarrow j$ ) în rețeaua originală, capacitatea reziduală a rutei ( $i \rightarrow j$ ) scade cu mărimea  $\varphi$  iar capacitatea reziduală a rutei ( $j \rightarrow i$ ) crește cu mărimea  $\varphi$ . Astfel, capacitatea reziduală reprezintă capacitatea nefolosită a muchiei în rețeaua originală sau cantitatea de flux în direcția opusă în această rețea care poate fi redusă sau o combinație a ambelor în rețeaua originală cu rute în ambele direcții.*

Pentru fiecare arc (rută orientată permisă)  $u = (i, j)$  definim *capacitatea reziduală*  $\bar{c}_{ij}$  sau  $\bar{c}(u)$ , în raport cu fluxul  $\varphi$ , prin formula:

$$\bar{c}_{ij} = c_{ij} - \varphi_{ij} + \varphi_{ji}. \quad (3.10)$$

Întrucât toate rutele sunt orientate în sensul intrare – ieșire ( $s \rightarrow t$ ) arcele ( $i, j$ ) au capacitate reziduală pozitivă:  $\varphi_{ij} \leq c_{ij}$ ,  $\varphi_{ij} \geq 0$ , de unde rezultă că  $\bar{c}_{ij} \geq 0$ .

Un *lanț de augmentare* relativ la un flux  $\varphi$  este un lanț orientat de la sursă la destinație în rețeaua reziduală astfel încât fiecare rută pe acest lanț are capacitatea reziduală strict pozitivă. Fiecare rută componentă a unui lanț de augmentare verifică una din următoarele proprietăți:

- fie ruta ( $i, j$ ) este permisă și nesaturată ( $\varphi_{ij} < c_{ij}$ )
- fie ruta inversă ( $j, i$ ) este permisă și străbătută de un flux nenul  $\varphi_{ji} > 0$ .

În identificarea lanțurilor de augmentare de la  $s$  la  $t$  trebuie avut în vedere condiția  $P_3$  ca o rută neorientată să nu fie folosită decât într-un singur sens. Deci, odată cu identificarea unui lanț se orientează și rutele corespunzătoare.

Dacă  $\lambda$  este un lanț de augmentare,  $\lambda = [s, i_1, i_2, \dots, i_r, t]$ , atunci capacitatea reziduală minimă pe rutele lanțului:

$$\theta = \min_{u \in \lambda} \bar{c}(u) \quad (3.11)$$

este numită *capacitatea reziduală a lanțului de augmentare* și reprezintă cantitatea de flux care poate fi propagată de-a lungul lanțului  $\lambda$  și care se adaugă la valoarea fluxului total.

**Teorema 3.3** *Dacă relativ la fluxul  $\varphi$  există un lanț de augmentare de la  $s$  la  $t$ , atunci fluxul  $\varphi$  nu are valoare maximă.*

**Demonstrație:** Fie  $\theta$  minimul capacităților reziduale pe rutele unui lanț  $\lambda$  orientat de la sursă la destinație. Conform formulei (3.11) avem:

$$\theta = \min_k \bar{c}_{i_k i_{k+1}} > 0, k = 0, 1, \dots, r \quad (3.12)$$

unde  $i_0 = s$  și  $i_{r+1} = t$ .

Construim un nou flux  $\varphi'$  în rețeaua  $G$ , după cum urmează:

- 1) pentru orice rută ( $i, j$ ) care nu face parte din lanțul de augmentare  $\lambda$ , se menține fluxul:

$$\varphi'_{ij} = \varphi_{ij}$$

- 2) dacă o muchie  $[i_k, i_{k+1}] \in \lambda$  aparține lanțului sunt posibile două situații:

- a)  $\varphi_{i_k i_{k+1}} > 0$ , atunci  $\varphi_{i_k i_{k+1}} < c_{i_k i_{k+1}}$  și  $\varphi_{i_{k+1} i_k} = 0$ . În această situație, fluxul pe ruta ( $i_k, i_{k+1}$ ) crește cu valoarea  $\theta$ , iar fluxul pe ruta inversă rămâne nul:

$$\varphi'_{i_k i_{k+1}} = \varphi_{i_k i_{k+1}} + \theta \quad \text{și} \quad \varphi'_{i_{k+1} i_k} = \varphi_{i_{k+1} i_k} = 0$$

- b)  $\varphi_{i_{k+1} i_k} > 0$ , atunci  $\varphi_{i_k i_{k+1}} = 0$ . În această situație apar două cazuri:

- i)  $\varphi_{i_{k+1} i_k} \geq \theta$ . În acest caz, diminuăm fluxul pe ruta ( $i_{k+1}, i_k$ ) cu valoarea  $\theta$  și fluxul pe ruta inversă rămâne nul:

$$\varphi'_{i_{k+1} i_k} = \varphi_{i_{k+1} i_k} - \theta \quad \text{și} \quad \varphi'_{i_k i_{k+1}} = \varphi_{i_k i_{k+1}} = 0$$

- ii)  $\varphi_{i_{k+1} i_k} < \theta$ . În acest caz micșorăm la zero fluxul pe ruta ( $i_{k+1}, i_k$ ) și creștem fluxul pe ruta inversă ( $i_k, i_{k+1}$ ) cu  $\theta - \varphi_{i_{k+1} i_k}$ :

$$\varphi'_{i_{k+1}i_k} = 0 \quad \text{și} \quad \varphi'_{i_k i_{k+1}} = 0 + (\theta - \varphi_{i_{k+1}i_k}) = \theta - \varphi_{i_{k+1}i_k}$$

În final, se observă că fluxul pe arcele  $(i_k, i_{k+1})$  crește iar pe arcele  $(i_{k+1}, i_k)$  scade. Din felul cum a fost construit noul flux  $\varphi'_{ij}$  rezultă că:

$$0 \leq \varphi'_{i_{k+1}i_k} \leq \varphi_{i_{k+1}i_k} \leq c \quad \text{și} \quad 0 \leq \varphi_{i_k i_{k+1}} \leq \varphi'_{i_k i_{k+1}} \leq \varphi_{i_k i_{k+1}} + \theta - \varphi_{i_{k+1}i_k} \leq c_{i_k i_{k+1}}$$

deci noile valori  $\varphi'_{ij}$  verifică proprietatea  $P_1$ .

De asemenea, pentru orice nod  $i$  avem două variante:

1. Nodul  $i$  nu se află pe lanțul  $\lambda$ . Fluxurile tuturor arcelor adiacente rămân aceleași și deci se respectă proprietatea  $P_2$ .
2. Nodul  $i = i_k \in \lambda$ . În acest caz, la arcele adiacente spre interior nodul  $i_k$  s-a adăugat fluxul  $\theta$  corespunzător arcelor  $(i_{k-1}, i_k)$  și  $(i_{k+1}, i_k)$  iar la arcele adiacente spre exterior nodului  $i_k$  s-a adăugat, de asemenea, fluxul  $\theta$  corespunzător arcelor  $(i_k, i_{k-1})$  și  $(i_k, i_{k+1})$ , deci se respectă, de asemenea, proprietatea  $P_2$ .

În concluzie, noul ansamblu de valori  $\varphi' = \{\varphi'_{ij}\}$  este un flux în rețea și  $v(\varphi') = v(\varphi) + \theta > v(\varphi)$ . Cum  $\theta > 0$  avem  $v(\varphi') > v(\varphi)$ . Existența unui lanț de augmentare permite creșterea valorii fluxului curent  $\varphi$  și, implicit, existența sa arată că  $\varphi$  nu are valoare maximă. QED

### 3.4 Teorema Ford - Fulkerson<sup>1)</sup>. Algoritmul Ford – Fulkerson

#### 3.4.1. Flux de valoare maximă și tăietură de capacitate minimă

**Teorema 3.4** Într-o rețea de transport, dacă  $\varphi^*$  este un flux de valoare maximă atunci există o tăietură  $(S^*, T^*)$  cu capacitatea egală cu valoarea fluxului  $\varphi^*$ , adică

$$v(\varphi^*) = c(S^*, T^*). \quad (3.12)$$

Cu alte cuvinte, într-o rețea de transport, valoarea maximă a fluxului este egală cu valoarea minimă a capacităților tăieturilor în rețea.

**Demonstrație:** Conform teoremei 3.3, valoarea oricărui flux într-o rețea este mai mică sau egală cu capacitatea oricărei tăieturi din rețea. De aici rezultă că, pentru a demonstra teorema este suficient să se arate că există un flux  $\varphi$  având valoarea egală cu capacitatea unei tăieturi  $(S, T)$ . În aceste condiții, fluxul  $\varphi$  trebuie să fie de valoare maximă. Dacă ar exista un flux de valoare mai mare, atunci valoarea lui ar depăși capacitatea tăieturii  $(S, T)$ . Capacitatea tăieturii  $(S, T)$  trebuie să fie minimală; dacă ar exista o tăietură de capacitate mai mică, atunci valoarea fluxului  $\varphi$  ar depăși această capacitate.

Propagarea unui flux de valoare maximală se poate realiza printr-un procedeu cunoscut sub numele de “procedeu de marcarea” nodurilor rețelei. Anterior aplicării procedurii de marcarea, în rețea trebuie indus un flux inițial  $\varphi$ . Prin procedeul de marcarea, ce va fi prezentat în continuare, există posibilitatea de creștere a valorii fluxului din rețea, utilizând lanțurile de augmentare care leagă sursa  $s$  cu destinația  $t$ .

#### Procedură de marcarea $M$ (etichetarea Ford – Fulkerson)

- a) Se marchează sursa (intrarea)  $s$  cu  $[+]$ ;
- b) Dacă  $(i, j)$  este o rută permisă în direcția  $s \rightarrow t$  și **nesaturată** ( $\varphi_{ij} < c_{ij}$ ) cu  $i$  nod marcat și  $j$  nemarcat, atunci se marchează nodul  $j$  cu  $[+i]$ ;
- c) Dacă  $(i, j)$  este o rută permisă în direcția  $t \rightarrow s$  cu **flux nenul** ( $\varphi_{ij} > 0$ ), **indiferent de valoarea acestuia**, cu  $j$  nod marcat și  $i$  nod nemarcat, atunci se marchează nodul  $i$  cu  $[-j]$ ;
- d) Dacă  $i$  este un nod marcat și  $(i, j)$  este un arc saturat atunci nodul  $j$  nu se marchează.

Fie  $\varphi^*$  un flux de valoare maximă de la nodul de intrare  $s$  la nodul de ieșire  $t$ . Fie  $S^*$  mulțimea nodurilor marcate și  $T^*$  mulțimea nodurilor nemarcate. Prin definiție,  $s \in S^*$ . Să probăm că  $t \notin S^*$  (este un nod nemarcat).

Dacă, prin absurd, nodul  $t$  ar fi marcat, atunci, plecând de la  $t$  și folosind marcajul găsim un lanț  $\lambda$  de la  $s$  la  $t$ , cu proprietatea că fiecare nod al lanțului este marcat dinspre nodul precedent. Deci  $\lambda$  este un lanț de

<sup>1)</sup> L. R. Ford, D. R. Fulkerson, *Maximal flow through a network*, Canadian Journal of Mathematic, 8, 1956, p. 399

augmentare de-a lungul căruia valoarea fluxului  $\varphi^*$  poate crește, contrazicând ipoteza privind maximalitatea lui. Deci  $t$  este un nod nemarcat,  $t \in T^*$  și  $(S^*, T^*)$  este o tăietură.

Dacă fluxul existent în rețea nu are valoare maximă, atunci de-a lungul lanțului de augmentare  $\lambda$  pus în evidență cu ajutorul procedurii de marcare, valoarea sa se modifică în felul următor: pe fiecare arc din lanț orientat spre ieșire, adăugăm o cantitate  $\theta$  de flux, iar pe fiecare arc al lanțului orientat spre intrarea  $s$ , scădem cantitatea  $\theta$  de flux. Valoarea lui  $\theta$  va fi determinată astfel încât să se respecte condițiile din definiția fluxului. Valoarea noului flux va fi:  $v(\varphi') = v(\varphi) + \theta$ .

În cazul existenței unui flux de valoare maximă  $\varphi^*$ , pentru a proba egalitatea  $v(\varphi^*) = c(S^*, T^*)$  vom examina situația tuturor rutelor orientate  $(i, j)$  având o extremitate în  $S^*$  și alta în  $T^*$ .

Având în vedere regula de marcare b) și figura 3.3, putem spune că **ruta  $(i, j)$  este saturată**. Mai mult,

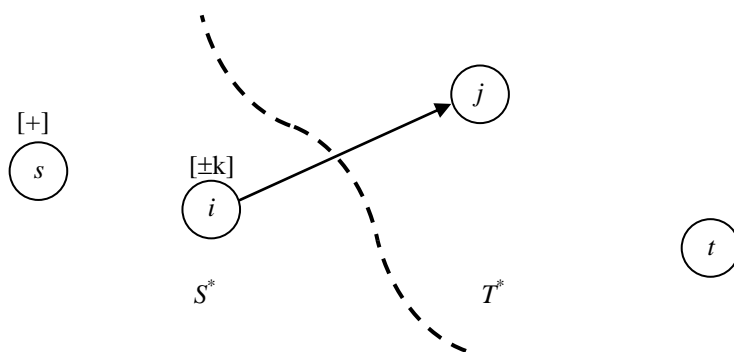


Figura 3.3

toate arcele tăieturii  $(S^*, T^*)$  sunt saturate și ele traversează tăietura de la intrare spre ieșire  $(s \rightarrow t)$ .

Dacă se presupune ruta  $(i, j)$  cu extremitatea inițială  $i \in T^*$  și extremitatea finală  $j \in S^*$ , având în vedere regula de marcare c) și figura 3.4, pe ruta  $(i, j)$  nu circulă flux ( $\varphi_{ij} = 0$ ). Mai mult, pe orice arc orientat de la ieșire către intrare  $(t \rightarrow s)$  nu circulă flux.

Prin urmare, în situația în care nodul de ieșire  $t$  nu poate fi marcat, fluxul total are valoare maximă.

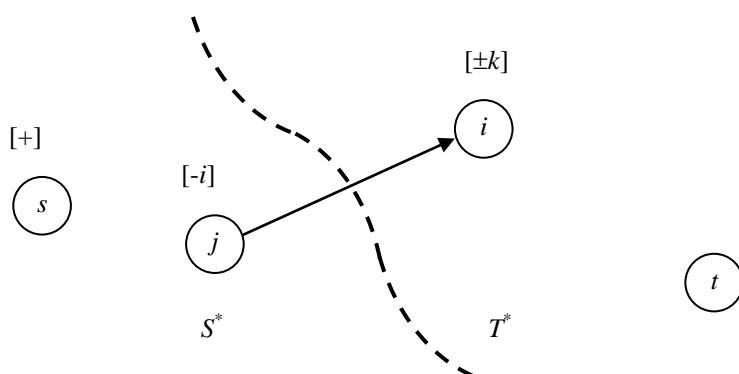


Figura 3.4

Considerând tăietura determinată de partiția  $(S^*, T^*)$ , faptul că nu s-a putut ajunge cu marcarea la nodul de ieșire  $t$  înseamnă că:

- toate arcele din mulțimea  $\{(i, j) / i \in S^*, j \in T^*\}$  sunt saturate, adică  $\varphi_{ij} = c_{ij}$ ;
- toate arcele din mulțimea  $\{(i, j) / i \in T^*, j \in S^*\}$  au fluxul egal cu zero ( $\varphi_{ij} = 0$ ).

În acest fel, toate unitățile de flux care formează fluxul de valoare maximă  $\varphi^*$  traversează tăietura  $(S^*, T^*)$  saturând toate arcele acesteia și, odată ajunse în  $T^*$  nu se mai întorc înapoi. Prin urmare,  $v(\varphi^*) = c(S^*, T^*)$ .

Din cele prezentate anterior, aplicând procedeul de marcare putem ajunge la una dintre următoarele situații:

- ieșirea  $t$  a rețelei nu este marcată, în acest caz *fluxul din rețea are valoare maximă*;
- ieșirea  $t$  a rețelei este marcată, în acest caz *fluxul existent în rețea nu are valoare maximă*, valoarea sa urmând a fi majorată cu  $\theta$  unități de flux de-a lungul unui lanț de augmentare  $\lambda$ .

Procedeul de marcare se repetă până când ieșirea  $t$  a rețelei nu mai poate fi marcată. În acest moment fluxul obținut are valoare maximă.

**Teorema 3.5** Odată cu valoarea maximă  $v(\varphi^*)$  a fluxului în rețea se determină și o tăietură  $(S^*, T^*)$  cu capacitate minimă.

**Demonstrație:** Conform observațiilor de mai sus, când fluxul are valoare maximă avem  $\varphi_{ij} = c_{ij}$  pe arcele  $(i, j)$  cu  $i \in S^*$  și  $j \in T^*$  și  $\varphi_{ij} = 0$  pe arcele  $(i, j)$  cu  $i \in T^*$  și  $j \in S^*$ . Din relația 3.9 avem:

$$v(\varphi^*) = \sum_{i \in S^*, j \in T^*} \varphi_{ij} - \sum_{i \in T^*, j \in S^*} \varphi_{ij} = \sum_{i \in S^*, j \in T^*} \varphi_{ij} = \sum_{i \in S^*, j \in T^*} c_{ij} = c(S^*, T^*).$$

Prin urmare, dacă fluxul  $\varphi^*$  are valoarea maximă, atunci și tăietura  $(S^*, T^*)$  are capacitatea minimă.

Dacă se suprimă arcele saturate, într-o rețea în care a fost propagat un flux de valoare maximă, se obține un graf parțial care nu mai este conex. Acest lucru se justifică prin faptul că tăietura de capacitate minimă este formată numai din arce saturate și acestea, odată eliminate, despart graful în două părți disjuncte.

*Observații:*

1. Conceptul de "tăietură de valoare minimă" poate fi privit plastic ca "cel mai îngust loc al rețelei" în traversarea rețelei de către flux de la intrare spre ieșire;
2. Teorema 3.4 poate fi citită astfel: "cantitatea maximă de unități de flux care poate traversa toată rețeaua de la intrare la ieșire este egală cu lărgimea celui mai îngust loc al rețelei". Fluxul trebuie privit ca o bilă care traversează un tub cu secțiune variabilă.
3. Procedeul de marcare se poate folosi pentru verificarea maximalității unui flux, un flux are valoare maximă dacă nodul terminal  $t$  al rețelei nu poate fi marcat.
4. În rețea mai pot fi și alte tăieturi de capacitate minimă în afară de  $(S^*, T^*)$  găsită prin procedeul de marcare; tăietura  $(S^*, T^*)$  este însă "prima" de la intrare spre ieșire.
5. Marcarea unui nod ne spune că, până la acel nod, mai există, încă, cel puțin un traseu pe care ar mai putea fi aduse unități de flux de la intrarea  $s$  iar marcajul ne va arăta și care este acel traseu.

Prin marcarea nodului final se precizează pe ce traseu putem transporta mai multe unități de flux de la  $s$  la  $t$ , iar  $\theta$  care este cantitatea maximă ce poate fi transportată pe acest traseu.

Ținând seama de faptul că în orice rețea există întotdeauna un flux (de exemplu, fluxul nul), observațiile de mai sus sugerează, de fapt, un algoritm prin care poate fi găsit un flux de valoare maximă într-o rețea. Acest algoritm va fi prezentat în cele ce urmează.

### 3.4.2. Algoritm Ford – Fulkerson

Fie  $G$  o rețea de transport cu intrarea în nodul  $s$  și ieșirea în nodul  $t$ . Determinarea unui flux de valoare maximă ce trece prin rețeaua de transport  $G$  de la  $s$  la  $t$  parcurge următoarele etape:

**Etapa 1.** Construirea de drumuri de la  $s$  la  $t$

Inițial, se consideră că în rețeaua  $G$  este propagat fluxul nul ( $\varphi_{ij} = 0$  pentru orice arc  $(i, j)$ ). Se aplică procedeul de marcare  $M$  constând doar din regulile a), b) și d) și se identifică drumuri în direcția  $s \rightarrow t$  între intrarea  $s$  și ieșirea  $t$ . Prin aplicarea, în special, a regulii b) spunem că se face marcarea în sensul orientării rutei de la  $s$  la  $t$  ( $s \rightarrow t$ )

Fie  $\mu$  un drum nesaturat de la  $s$  la  $t$  și:

$$\theta = \min_{u \in \mu} \bar{c}(u) \quad , \quad \bar{c}(u) = c(u) - \varphi(u). \quad (3.13)$$

Fluxul propagat de-a lungul drumului  $\mu$  de valoare  $\theta$  saturează cel puțin un arc (de fapt, toate acele arce care au  $\bar{c}(u) = \theta$ ). Pe fiecare arc al rețelei va circula fluxul:

$$\varphi'(u) = \begin{cases} \varphi(u) + \theta & \text{dacă } u \in \mu \\ \varphi(u) & \text{dacă } u \notin \mu \end{cases}. \quad (3.14)$$

Valoarea fluxului în rețeaua  $G$  va fi:



$$v(\varphi') = v(\varphi) + \theta. \quad (3.15)$$

În identificarea acestor drumuri vom avea grijă ca *o muchie să nu fie folosită decât ca o rută într-un singur sens*. Odată cu definirea unui drum de la  $s$  la  $t$  se orientează și muchiile rețelei. Pe fiecare arc se însumează fluxurile propagate succesiv.

Construirea unui flux continuă atâta timp cât este posibil să identificăm drumuri nesaturate de la  $s$  la  $t$ . În general, pentru o organizare eficientă a drumurilor folosite, la fiecare pas se poate considera drumul definit de rutele permise "*cele mai de sus*" (metoda drumului superior nesaturat). Aceasta permite să identificăm cât mai multe drumuri și să obținem în prima etapă un flux cu o valoare cât mai mare și să mărim convergența algoritmului.

Fluxul propagat la finalul primei etape are valoarea egală cu suma fluxurilor propagate pe fiecare drum.

**Etapa 2. Identificarea lanțurilor de augmentare de la  $s$  la  $t$**

Se aplică procedeul de marcarea  $M$  și, cu ajutorul etichetelor, se identifică două situații:

1. Ieșirea  $t$  **nu este marcată**. În această situație, fluxul curent are valoarea maximă. Valoarea fluxului prin rețea este suma fluxurilor propagate pe toate drumurile de la etapa 1 și pe toate lanțurile de augmentare de la etapa 2. Algoritmul continuă cu etapa 3.
2. Ieșirea  $t$  **este marcată**. În această situație, s-a reușit marcarea unui lanț de augmentare  $\lambda$  care unește intrarea  $s$  cu ieșirea  $t$ . Se calculează valoarea:

$$\theta = \min \{ \min_{u \in B} [c(u) - \varphi(u)], \min_{u \in C} \varphi(u) \} \quad (3.16)$$

unde  $B$  este mulțimea arcelor din lanțul  $\lambda$  pentru care s-a efectuat marcarea după regula b) iar  $C$  este mulțimea arcelor din lanțul  $\lambda$  pentru care s-a efectuat marcarea după regula c). Ținând cont de regulile de marcarea este clar că  $\theta > 0$  și noul flux  $\varphi'$  propagat de-a lungul lanțului  $\lambda$  mărește valoarea fluxului  $\varphi$  cu valoarea  $\theta$  iar noile fluxuri pe arcele rețelei se calculează cu relația:

$$\varphi'(u) = \begin{cases} \varphi(u) + \theta & \text{dacă } u \in B \\ \varphi(u) - \theta & \text{dacă } u \in C \\ \varphi(u) & \text{în rest} \end{cases} \quad (3.17)$$

și

$$v(\varphi') = v(\varphi) + \theta \quad (3.18)$$

Se reia etapa 2 în cadrul unei noi iterații.

**Etapa 3. Determinarea unei tăieturi de capacitate minimă**

În ultima marcarea, efectuată în etapa 2, fie  $T^*$  mulțimea nodurilor nemarcate, conform aplicării regulilor a), b) și c) de marcarea în vederea identificării unui lanț de augmentare de la  $s$  la  $t$ , și  $S^*$  mulțimea nodurilor marcate. Evident  $s \in S^*$ ,  $t \in T^*$  și  $S^* \cup T^* = X$ , unde  $X$  este mulțimea nodurilor rețelei  $G$ .

Tăietura  $(S^*, T^*)$  de capacitate minimă este:

$$(S^*, T^*) = \{(i, j) / i \in S^*, j \in T^*\} \quad (3.19)$$

cu capacitatea

$$c(S^*, T^*) = \sum_{u \in (S^*, T^*)} c(u) \quad (3.20)$$

În această etapă, se verifică (teorema Ford-Fulkerson) dacă, într-adevăr, fluxul are valoare maximă. Valoarea maximă a fluxului este egală cu valoarea minimă a capacităților tăieturilor în rețea:

$$v(\varphi^*) = \max_{\varphi} v(\varphi) = \min_{(S, T)} c(S, T) = c(S^*, T^*).$$

Dacă valoarea fluxului determinată în etapa 2 nu este egală cu capacitatea tăieturii determinată în etapa 3, atunci algoritmul se reia cu etapa 2 și se identifică noi lanțuri de augmentare.

**Aplicație: Flux de valoare maximă într-o rețea de transport**

Se consideră rețeaua de transport  $G = (X, E)$  din figura 3.5 și se cere construirea unui flux de valoare maximă de la  $s$  la  $t$ . Capacitățile arcelor și muchiilor sunt înscrise în paranteze. Pentru muchiile neorientate, capacitățile sunt valabile în ambele sensuri de parcurgere.

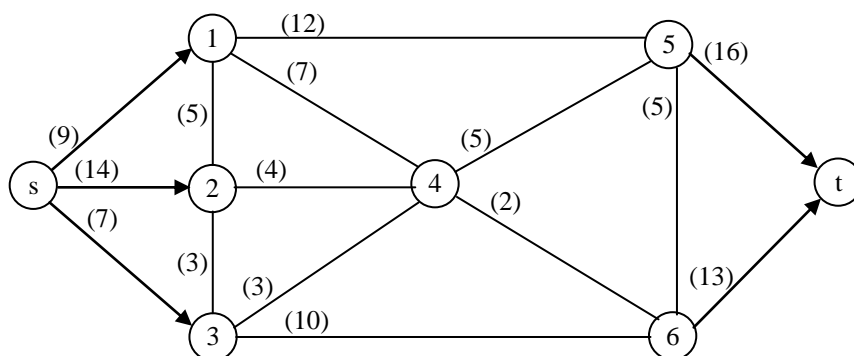


Figura 3.5

**Etapa 1. Construirea de drumuri de la  $s$  la  $t$** 

Se pun în evidență toate drumurile complete  $\mu_i$  de la  $s$  la  $t$  și, pe fiecare dintre acestea, se transportă o cantitate de flux  $\theta_i$  propagată conform formulelor (3.3). Inițial, fluxul în rețea este nul.

Nr. crt.	Drum		Unități de flux transportate	Rute saturate
1	$\mu_1 = (s, 1, 5, t)$	$\rightarrow$	$\theta_1 = \min(9, 12, 16) = 9$	$(s, 1)$
2	$\mu_2 = (s, 2, 1, 4, 5, t)$	$\rightarrow$	$\theta_2 = \min(14, 5, 7, 5, 7) = 5$	$(4, 5), (2, 1)$
3	$\mu_3 = (s, 2, 4, 6, 5, t)$	$\rightarrow$	$\theta_3 = \min(9, 4, 2, 5, 2) = 2$	$(4, 6), (5, t)$
4	$\mu_4 = (s, 2, 3, 6, t)$	$\rightarrow$	$\theta_4 = \min(7, 3, 10, 13) = 3$	$(2, 3)$
5	$\mu_5 = (s, 3, 6, t)$	$\rightarrow$	$\theta_5 = \min(7, 7, 10) = 7$	$(s, 3), (3, 6)$

Deoarece rețeaua de transport conține și muchii neorientate, în identificarea drumurilor între  $s$  și  $t$  vom avea grijă ca o rută neorientată să nu fie folosită decât într-un singur sens. Astfel, odată cu identificarea unui drum, se orientează și rutele în sensul dat de prima unitate de flux transportată pe drumul respectiv.

Pentru construirea fluxului din figura 3.6 pe primul drum  $\mu_1$  s-au propagat 9 unități de flux, pe al doilea drum  $\mu_2$  s-au propagat 5 unități de flux, pe drumul  $\mu_3$  s-au propagat 2 unități de flux, pe drumul  $\mu_4$  s-au propagat 3 unități de flux și pe drumul  $\mu_5$  s-au propagat 7 unități de flux. Fluxul propagat în rețea are valoarea  $v(\varphi) = \theta_1 + \theta_2 + \theta_3 + \theta_4 + \theta_5 = 26$  unități.

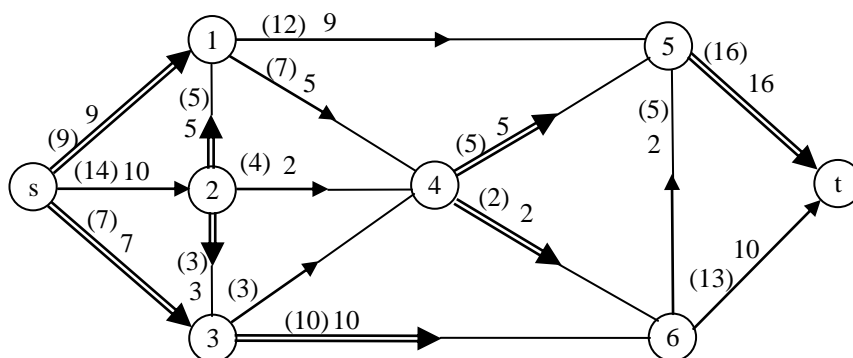


Figura 3.6

În figura 3.6 fluxurile propagate pe fiecare arc sunt cumulate și înscrise pe arce după capacități. Arcele saturate sunt reprezentate prin linie dublă orientată în sensul de parcurgere a muchiei de către unitățile de flux.

**Etapa 2. Identificarea lanțurilor de augmentare de la  $s$  la  $t$** 

Prin aplicarea procedeeului de marcaj se pune în evidență un lanț de augmentare, conform marcajului din figura 3.7:

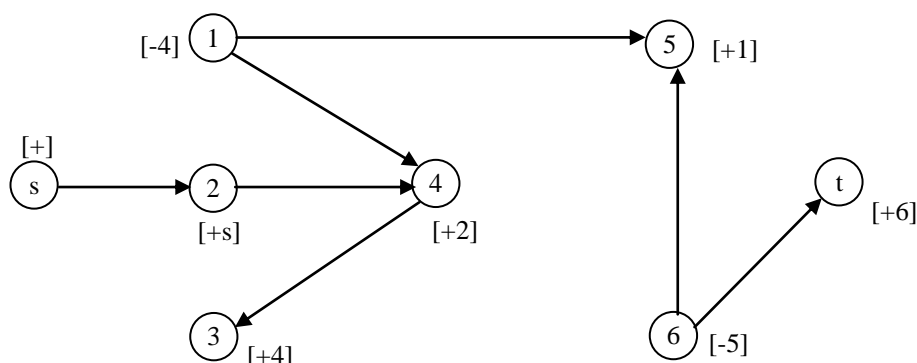


Figura 3.7

Avem astfel lanțul de augmentare:

$$\lambda : s \rightarrow 2 \rightarrow 4 \leftarrow 1 \rightarrow 5 \leftarrow 6 \rightarrow t$$

care unește intrarea  $s$  cu ieșirea  $t$ . Se observă că

$$B = \{(s, 2), (2, 4), (1, 5), (6, t)\}, C = \{(1, 4), (6, 5)\}$$

sunt mulțimile arcelor din lanț marcate cu regula b), respectiv cu regula c). De-a lungul acestui lanț se propagă un flux de valoare:

$$\begin{aligned} \theta &= \min\{\min\{c_{s2} - \varphi_{s2}, c_{24} - \varphi_{24}, c_{15} - \varphi_{15}, c_{6t} - \varphi_{6t}\}, \min\{\varphi_{14}, \varphi_{65}\}\} = \\ &= \min\{\min\{4, 2, 3, 3\}, \min\{5, 2\}\} = \min\{2, 2\} = 2 \end{aligned}$$

Fluxurile pe arcele  $(s, 2)$ ,  $(2, 4)$ ,  $(1, 5)$  și  $(6, t)$  se măresc cu 2 unități iar fluxurile pe arcele  $(1, 4)$  și  $(6, 5)$  se micșorează cu 2 unități. Arcul  $(2, 4)$  devine saturat. În acest fel, în rețeaua de transport s-a obținut un nou flux,  $\varphi'$ , de valoare:  $v(\varphi') = v(\varphi) + \theta = 26 + 2 = 28$  unități. Fluxul  $\varphi'$  este reprezentat în Figura 3.8.

Aplicarea procedeeului de marcaj în raport cu noul flux,  $\varphi'$ , pune în evidență următoarea situație:

Nodul marcat și marcajul	s	2
	[+]	[+s]

Nodul  $t$  nu poate fi marcat deci fluxul construit în figura 3.8 are valoare maximă, în rețea neexistând lanțuri de augmentare.

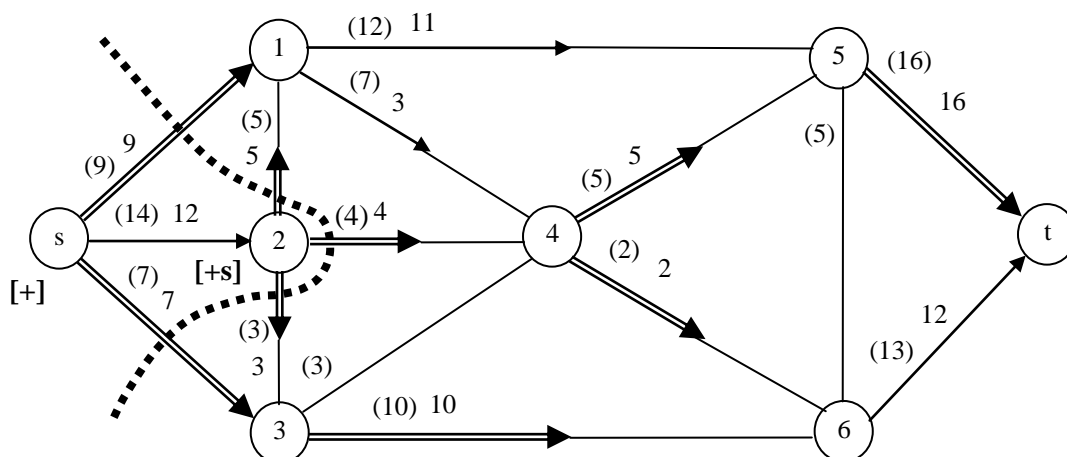


Figura 3.8

**Etapa 3. Determinarea unei tăieturi de capacitate minimă**

Mulțimea nodurilor rețelei de transport se poate scrie ca o reuniune a două submulțimi disjuncte de noduri  $S$  și  $T$ , în submulțimea  $S$  fiind incluse nodurile marcate iar în  $T$  cele nemarcate:

$$X = S \cup T, S \cap T = \emptyset, S = \{s, 2\}, T = \{1, 3, 4, 5, 6, t\}.$$

Existența fluxului de valoare maximă în rețea și identificarea submulțimilor  $S$  și  $T$  permite evidențierea tăieturii de capacitate minimă. Tăietura este reprezentată în figura 3.8 prin linia punctată.

Capacitatea tăieturii este dată de suma capacităților arcelor tăieturii (arce saturate care intersectează tăietura orientate de la  $s$  la  $t$ ):

$$c(S, T) = c_{(s, 1)} + c_{(2, 1)} + c_{(2, 4)} + c_{(2, 3)} + c_{(s, 3)} = 9 + 5 + 4 + 3 + 7 = 28.$$

Deci, conform teoremei Ford-Fulkerson fluxul maxim în rețea are valoarea de 28 de unități. Analizând rețeaua din figura 3.8 se observă că din nodul  $s$  mai poate fi trimisă în rețea încă o unitate de flux pe ruta  $(s, 2)$  care poate ajunge în nodul  $t$  în situația în care capacitatea arcului  $(2, 1)$ , de exemplu, ar fi suplimentată.

**3.5. Problema de cerere și ofertă în rețea de transport cu capacități limitate**

Fie  $G$  o rețea în care rutele sunt neorientate, orientate sau parțial orientate cu  $S$  mulțimea de surse și  $T$  mulțimea de destinații. O anumită marfă se află disponibilă în locurile sursă  $i \in S$  și este solicitată în locurile destinație  $j \in T$ . Presupunem că  $a_i$  este oferta sursei  $i$  și  $b_j$  este cererea destinației  $j$ . Dacă  $Q$  este cantitatea totală de marfă, conform regulei în care cererea totală este egală cu oferta totală, avem:

$$Q = \sum_i a_i = \sum_j b_j$$

Între surse și destinații există o rețea de legături (directe sau indirecte) prin intermediul unor puncte intermediare (de tranzit). Pe unele rute se poate circula în ambele sensuri, pe altele numai într-un sens și pot exista legături între surse, respectiv între destinații. În același timp, pe fiecare rută pot exista limitări superioare privind cantitățile ce sunt transportate. În aceste condiții, se pune problema dacă rețeaua permite satisfacerea integrală a cererilor în nodurile de destinație.

Această problemă se reduce la o problemă de flux de valoare maximă, în sensul definit anterior, în felul următor:

- Se completează rețeaua cu un nod suplimentar  $s$  și cu rutele orientate  $(s, i)$ ,  $i \in S$ , iar capacitățile acestor rute sunt egale cu ofertele  $a_i$  ( $c_{si} = a_i$ );
- Se completează rețeaua cu un nod suplimentar  $t$  și cu rutele orientate  $(j, t)$ ,  $j \in T$ , iar capacitățile acestor rute vor fi egale cu cererile  $b_j$  ( $c_{jt} = b_j$ ).

Se observă ușor că un flux, în noua rețea formată, numită **rețea standard**, se poate identifica cu deplasarea unei cantități de marfă din locurile în care se află disponibilă spre locurile în care este cerută, valoarea fluxului fiind egală cu cantitatea totală de marfă deplasată. Valoarea oricărui flux nu poate depăși valoarea  $Q$ .

Din punct de vedere economic și organizatoric, tăietura  $(S^*, T^*)$  de capacitate minimă creează o "ștrangulare" a rețelei. Fluxul curent de valoare maximă propagat în rețea nu satisface, de multe ori, cererea în punctele de destinație. Pentru deblocarea situației, în sensul îndeplinirii cererilor, este necesar să se mărească capacitatea (sau capacitățile) unor rute incluse în tăietura de capacitate minimă.

Tăietura de capacitate minimă reprezintă o graniță între o parte a rețelei, unde poate să intre un flux, și o altă parte, unde poate să treacă un alt flux. Avem chiar următorul rezultat general datorat lui Gale (1957): "Dacă  $G$  este o rețea neorientată cu  $S$  mulțimea de surse și  $T$  mulțimea de destinații iar muchiile au capacități nenegative, atunci condiția necesară și suficientă pentru ca cererile  $b_j$ ,  $j \in T$ , să fie satisfăcute din ofertele  $a_i$ ,  $i \in S$ , este ca, pentru orice tăietură  $(U, V)$  în  $G$  ( $s \in U$ ,  $t \in V$ ), cererea netă în  $V$  să nu depășească capacitatea tăieturii", adică:

$$\sum_{j \in T \cap V} b_j - \sum_{i \in S \cap V} a_i \leq c(U, V)$$

**Aplicație: Problema de cerere și ofertă**

Un produs este disponibil în punctele 1, 2, 3 în cantitățile  $a_1 = 16$ ,  $a_2 = 16$ ,  $a_3 = 18$  și solicitat în punctele 7 și 8 în cantitățile  $b_7 = 20$  și  $b_8 = 30$ . Între surse și destinații există rute de legătură conform rețelei din figura 3.9. Toate rutele sunt neorientate. Capacitățile rutelor sunt notate între paranteze și sunt valabile, acolo unde este cazul, în ambele sensuri de propagare. Să se stabilească în ce măsură cererile pot fi satisfăcute.

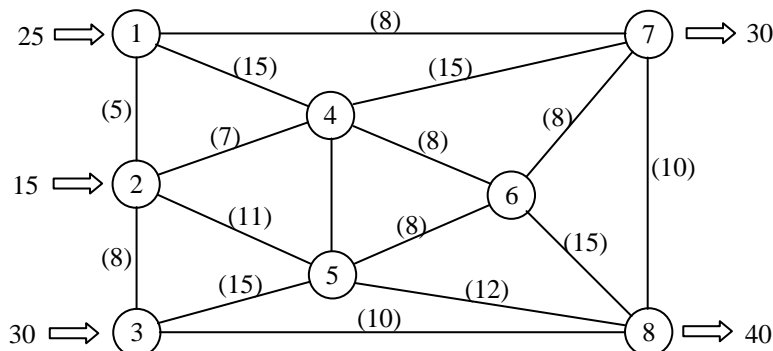


Figura 3.9

**Rezolvare:**

Se completează rețeaua cu nodurile  $s$  și  $t$  și cu rutele orientate  $(s, 1)$ ,  $(s, 2)$ ,  $(s, 3)$  de capacități 25, 15 și 30 și rutele orientate  $(7, t)$ ,  $(8, t)$ , de capacități 30 și 40. Se propagă în rețea un flux de la  $s$  la  $t$ . Dacă valoarea acestui flux este egală cu  $70 (= 30 + 40)$  unități de flux, atunci cererile sunt acoperite în întregime.

Utilizând varianta uzuală a algoritmului Ford-Fulkerson, în prima etapă se propagă un flux nenul de valoare cât mai mare posibilă și compatibil. Pentru aceasta vom identifica drumuri de la  $s$  la  $t$  și, corespunzător, orientăm arcele:

$$\begin{array}{ll}
 \mu_1 = (s, 1, 7, t) & \rightarrow \theta_1 = \min(25, 8, 30) = 8 \\
 \mu_2 = (s, 1, 4, 7, t) & \rightarrow \theta_2 = \min(17, 15, 15, 22) = 15 \\
 \mu_3 = (s, 1, 2, 4, 6, 7, t) & \rightarrow \theta_3 = \min(2, 5, 7, 8, 8, 7) = 2 \\
 \mu_4 = (s, 2, 4, 6, 7, t) & \rightarrow \theta_4 = \min(15, 5, 6, 6, 5) = 5 \\
 \mu_5 = (s, 2, 5, 4, 6, 8, t) & \rightarrow \theta_5 = \min(10, 9, 5, 1, 15, 40) = 1 \\
 \mu_6 = (s, 2, 5, 6, 8, t) & \rightarrow \theta_6 = \min(9, 10, 8, 14, 39) = 8 \\
 \mu_7 = (s, 2, 5, 8, t) & \rightarrow \theta_7 = \min(1, 2, 12, 31) = 1 \\
 \mu_8 = (s, 3, 2, 5, 8, t) & \rightarrow \theta_8 = \min(30, 8, 1, 11, 30) = 1 \\
 \mu_9 = (s, 3, 5, 8, t) & \rightarrow \theta_9 = \min(29, 15, 10, 29) = 10 \\
 \mu_{10} = (s, 3, 8, t) & \rightarrow \theta_{10} = \min(19, 10, 19) = 10
 \end{array}$$

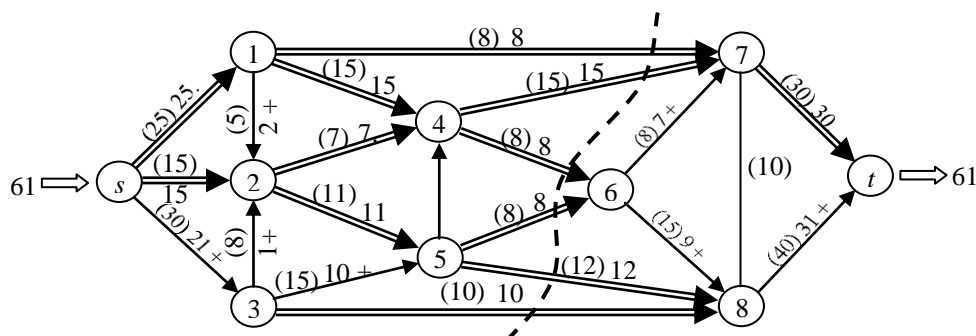


Figura 3.10

Orice drum care unește intrarea  $s$  cu ieșirea  $t$  conține cel puțin o rută saturată. În acest fel, s-a propagat în rețea un flux complet de-a lungul drumurilor identificate în rețeaua din figura 3.10. Fluxul complet are valoarea:

$$v(\varphi) = \sum_{i=1}^{10} \theta_i = 61 \text{ unități.}$$

În etapa următoare, pentru determinarea fluxului de valoare maximă, vom aplica procedeul de marcare. În rețeaua din figura 3.10 se pot efectua următoarele marcaje (figura 3.11):

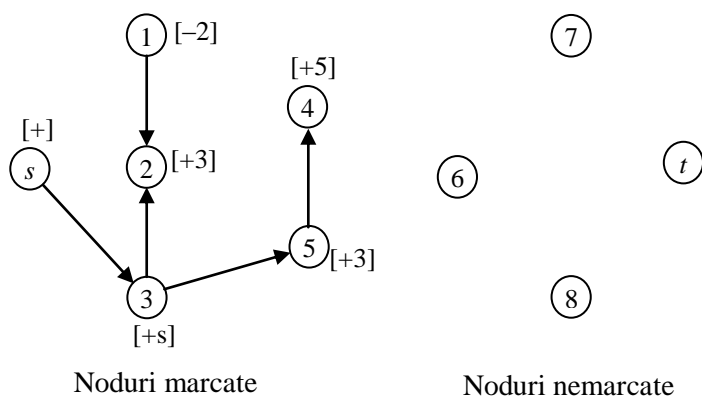


Figura 3.11

Fluxul curent, a cărui valoare este de 61 unități, este fluxul de valoare maximă pentru că nu poate fi marcat nodul final  $t$ . Valoarea sa fiind mai mică decât 70 înseamnă că nu toate cererile sunt acoperite integral; destinația 8 primește numai 31 unități din cele 40 solicitate. Satisfacerea cererii restante se poate face numai prin mărirea capacităților unor rute de legătură. Aceste rute le identificăm în *tăietura de capacitate minimă*.

În etapa finală se pune în evidență tăietura de capacitate minimă, separând nodurile marcate de cele nemarcate. Având în vedere că  $S^* = \{s, 1, 2, 3, 4, 5\}$  și  $T^* = \{6, 7, 8, t\}$  tăietura cuprinde arcele:

$$(S^*, T^*) = \{(1, 7), (4, 7), (4, 6), (5, 6), (5, 8), (3, 8)\}$$

Suma capacităților celor șase rute din tăietură exact 61, ceea ce confirmă faptul că fluxul curent este de valoare maximă.

Orice cantitate suplimentară de flux trebuie să treacă prin una sau mai multe rute din cele șase ale tăieturii minime. Să presupunem că cele 9 unități de flux necesare pentru a satisface cererea destinației 8 le repartizăm pe muchii, crescând capacitatea muchiei  $[1, 7]$  cu 2 unități, capacitatea muchiei  $[5, 6]$  cu 6 unități și capacitatea muchiei  $[4, 7]$  cu 1 unitate.

Algoritmul Ford – Fulkerson se reia prin marcarea nodurilor. Se identifică succesiv lanțurile  $\mu_{11}$ ,  $\mu_{12}$  și  $\mu_{13}$  conform figurilor 3.12, 3.13 și 3.14.

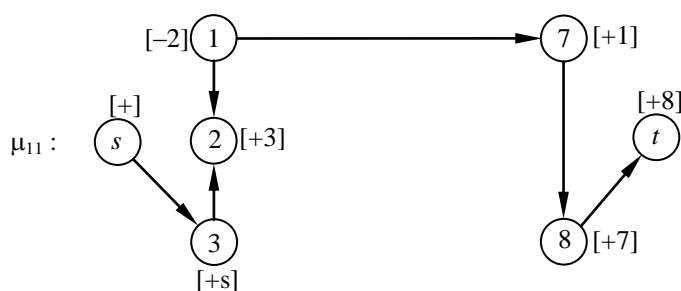


Figura 3.12

Avem:

$$\bar{c}_{s3} = 30 - 21 + 0 = 9, \quad \bar{c}_{32} = 8 - 1 + 0 = 7, \quad \bar{c}_{21} = 5 - 0 + 2 = 7,$$

$$\bar{c}_{17} = 10 - 8 + 0 = 2, \quad \bar{c}_{78} = 10, \quad \bar{c}_{8t} = 40 - 31 + 0 = 9$$

de unde:

$$\theta_{11} = \min(9, 7, 7, 2, 10, 9) = 2.$$

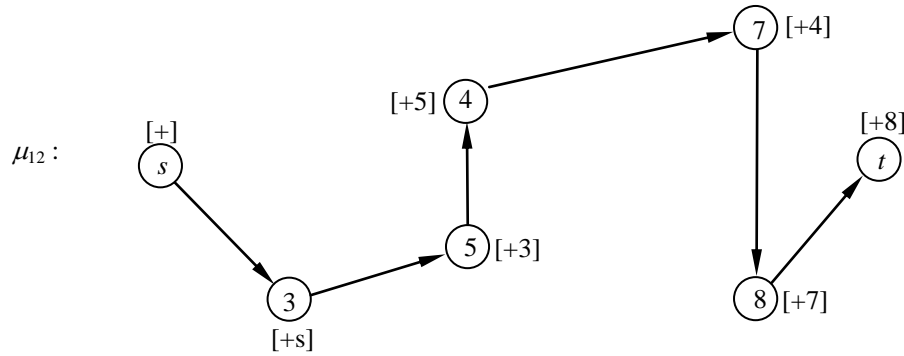


Figura 3.13

Avem:

$$\bar{c}_{s3} = 30 - 23 + 0 = 7, \quad \bar{c}_{35} = 15 - 10 + 0 = 5, \quad \bar{c}_{54} = 5 - 1 + 0 = 4,$$

$$\bar{c}_{47} = 8 - 7 + 0 = 1, \quad \bar{c}_{78} = 10 - 2 + 0 = 8, \quad \bar{c}_{8t} = 40 - 33 + 0 = 7$$

de unde:

$$\theta_{12} = \min(7, 5, 4, 1, 8, 7) = 1$$

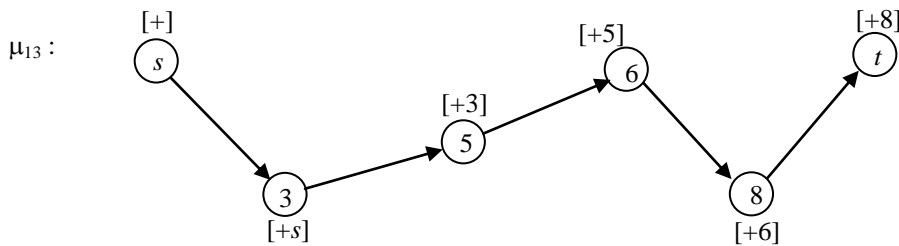


Figura 3.14

Avem:

$$\bar{c}_{s3} = 30 - 24 + 0 = 6, \quad \bar{c}_{35} = 15 - 11 + 0 = 4, \quad \bar{c}_{56} = 14 - 8 + 0 = 6,$$

$$\bar{c}_{68} = 15 - 9 + 0 = 6, \quad \bar{c}_{8t} = 40 - 34 + 0 = 6$$

de unde:

$$\theta_{13} = \min(6, 4, 6, 5, 6) = 4.$$

Transportând în rețea cele  $\theta_{11} + \theta_{12} + \theta_{13} = 2 + 1 + 4 = 7$  unități de produs se obține situația din figura 3.

15. Valoarea noului flux propagat în rețea este:

$$v(\varphi) = 61 + \theta_{11} + \theta_{12} + \theta_{13} = 68 \leq 70.$$

Noua tăietură de capacitate minimă are în componență arcele:

$$(S^*, T^*) = \{(1, 7), (1, 4), (2, 4), (2, 5), (3, 5), (3, 8)\}$$

cu valoarea  $c(S^*, T^*) = 68$ .

Repetarea marcării duce la situația în care nodul final  $t$  nu mai poate fi marcat:

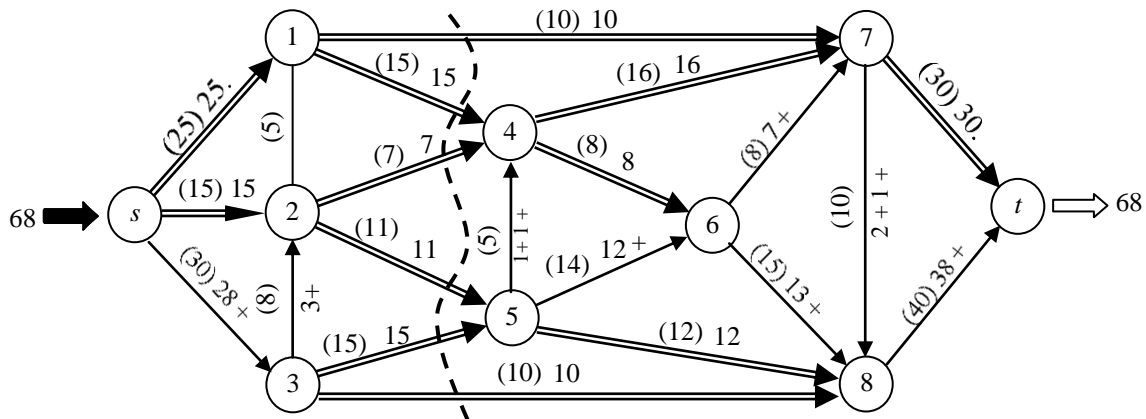


Figura 3.15

Pentru ca cererile să fie satisfăcute, se mărește capacitatea muchiei  $[3, 5]$  cu 2 unități. Reluând algoritmul se identifică lanțurile de augmentare  $\mu_{14}$  și  $\mu_{15}$  conform figurilor 3.16 și 3.17:

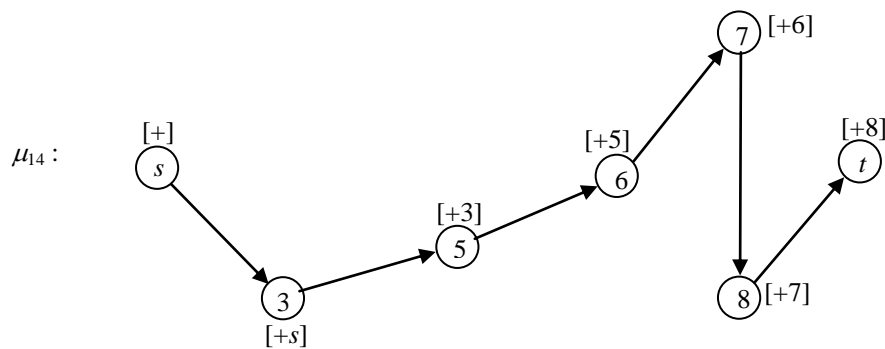


Figura 3.16

Avem:

$$\bar{c}_{s3} = 30 - 28 + 0 = 2, \quad \bar{c}_{35} = 17 - 15 + 0 = 2, \quad \bar{c}_{56} = 14 - 12 + 0 = 2,$$

$$\bar{c}_{67} = 8 - 7 + 0 = 1, \quad \bar{c}_{78} = 10 - 3 + 0 = 7, \quad \bar{c}_{8t} = 40 - 38 + 0 = 2,$$

de unde:

$$\theta_{14} = \min(2, 2, 2, 1, 7, 2) = 1$$

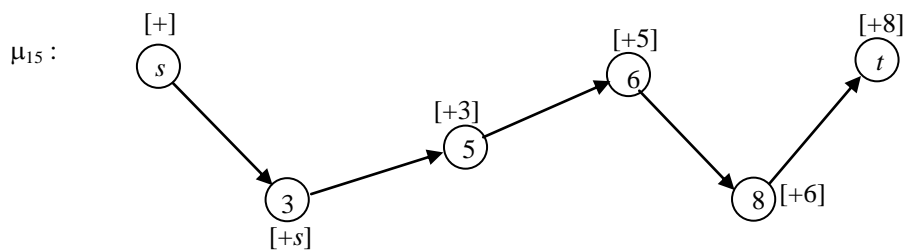


Figura 3.17

Avem:

$$\bar{c}_{s3} = 30 - 29 + 0 = 1, \quad \bar{c}_{35} = 17 - 16 + 0 = 1, \quad \bar{c}_{56} = 14 - 13 + 0 = 1,$$

$$\bar{c}_{68} = 15 - 13 + 0 = 2, \quad \bar{c}_{8t} = 40 - 39 + 0 = 1$$

de unde:

$$\theta_{15} = \min(1, 1, 1, 2, 1) = 1.$$



În acest moment valoarea fluxului propagat este  $v(\varphi) = 68 + \theta_{14} + \theta_{15} = 70$ . Cererea este acoperită integral, iar în figura 3.18 sunt date valorile fluxurilor pe fiecare arc.

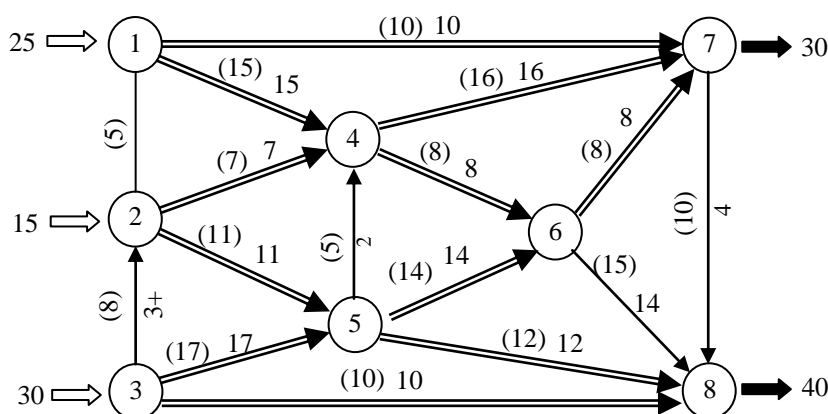


Figura 3.18

### 3.6. Flux de valoare maximă și cost minim

Fie o rețea  $G = (X, E)$  cu două noduri distincte  $s$  și  $t$ , unde  $s$  este nodul de intrare iar  $t$  este nodul de ieșire. Muchiile pot fi orientate sau nu. Notăm cu  $U$  mulțimea rutelor orientate sau a arcelor permise. Pentru fiecare  $u \in U$  presupunem două valori numerice:

$c(u)$  = capacitatea arcului  $u$ ,  $c(u) > 0$ ;

$a(u)$  = costul unitar de transport pe ruta  $u$ ,  $a(u) \geq 0$ .

În cazul în care  $u = (i, j)$  atunci putem scrie  $c(u) = c_{ij}$  și  $a(u) = a_{ij}$ . Pentru simplitatea expunerii extindem mulțimea  $U$  la toate rutele orientate, generate de graful  $G$ , punând  $c(u) = 0$  și  $a(u) = +\infty$  în cazul în care ruta  $u$  este în realitate blocată.

Pentru un flux  $\varphi = (\varphi(u))$ , propagat de la  $s$  la  $t$ , definim costul său prin formula:

$$a(\varphi) = \sum_{u \in U} \varphi(u) \cdot a(u).$$

Fie  $Q > 0$ . Se cere să se determine în rețeaua  $G$  un flux  $\varphi^*$  de la  $s$  la  $t$ , a cărui valoare să fie  $Q$  și al cărui cost să fie minim:

$$v(\varphi^*) = Q, \quad a(\varphi^*) = \min.$$

În legătură cu această cerință se ridică problema compatibilității, adică trebuie să verificăm dacă există în rețeaua  $G$  fluxuri de la  $s$  la  $t$  de valoare  $Q$ . Problema se rezolvă astfel:

- Se adaugă în rețeaua  $G$  un nod  $s_0$  și un arc  $(s_0, s)$  de capacitate  $Q$  (sau se adaugă un nod  $t_0$  și un arc  $(t, t_0)$  de valoare  $Q$ ).
- În rețeaua extinsă, valoarea oricărui flux de la  $s_0$  la  $t$  (sau de la  $s$  la  $t_0$ ) este mai mică sau cel mult egală cu  $Q$ .

În concluzie:

- Dacă în rețeaua extinsă există un flux  $\varphi$  de valoare  $Q$ , atunci și în rețeaua originală există un flux de valoare  $Q$ ;
- Dacă fluxul maxim în rețeaua extinsă are o valoare inferioară lui  $Q$ , atunci în rețeaua originală nu există fluxuri de valoare  $Q$ .

Să considerăm în  $G$  un flux oarecare  $\varphi$  de la  $s$  la  $t$ . Atunci, în raport cu fluxul  $\varphi$ , se modifică costurile rutelor orientate, astfel:

$$\bar{a}_{ij} = \begin{cases} a_{ij} & \text{dacă } 0 \leq \varphi_{ij} \leq c_{ij} \text{ și } \varphi_{ij} < c_{ij} \\ +\infty & \text{dacă } \varphi_{ij} = c_{ij} \\ -a_{ij} & \text{dacă } \varphi_{ij} > 0 \end{cases} \quad (3.24)$$

**Teorema 3.7:** Fluxul  $\phi$  are costul minim printre toate fluxurile de aceeași valoare cu a sa, dacă și numai dacă în rețeaua cu costurile modificate nu există circuite cu cost total negativ.

Pe baza acestei teoreme, prezentăm doi algoritmi de rezolvare a problemelor de flux de valoare maximă și cost minim.

### Algoritmul 1

**Etapa de inițializare:** În graful  $G$  se consideră un flux de valoare nulă.

**Etapa iterativă:** Fie  $v(\phi)$  valoarea fluxului curent.

Pasul 1. În raport cu  $\phi$ , modificăm costurile rutelor, cu relațiile (3.24).

Pasul 2. Se determină drumul de cost minim de la  $s$  la  $t$ , folosind costurile modificate:

- Dacă un asemenea drum nu există, atunci algoritmul se oprește.
- În caz contrar, se propagă pe acest drum un flux de la  $s$  la  $t$  egal cu minimul capacităților reziduale ale rutelor ce compun drumul (saturăm drumul) și se reia etapa iterativă în cadrul unei noi iterații

În general, algoritmul 1 se recomandă să fie folosit în rețele de mici dimensiuni. Pentru că unele costuri modificate pot fi negative, în rezolvarea problemelor de cost minim din etapa iterativă (pasul 2) se poate aplica algoritmul Dijkstra. Se poate aplica, de asemenea, orice procedură de marcaj temporar (algoritmul Ford, de exemplu).

### Aplicație: Flux de valoare maximă și cost minim

Să considerăm rețeaua de transport din figura 3.19:

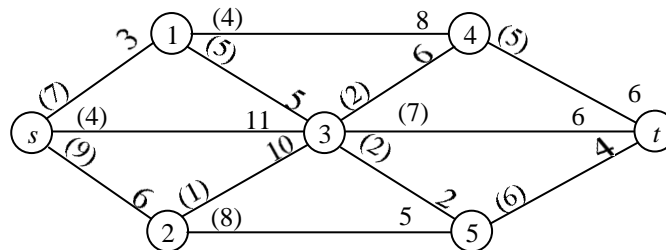


Figura 3.19

Pe fiecare muchie sunt atașate atât capacitățile (valorile din paranteze), care induc o primă restricție și se consideră ca valori maxime, cât și costurile unitare de transport care reprezintă unitățile monetare care se plătesc pentru transportul unei unități de produs între două noduri ale rețelei.

Să se determine fluxul maxim de cost minim de la  $s$  la  $t$ .

Se consideră că fluxul propagat în graf este fluxul nul de la  $s$  la  $t$  ( $v(\phi_0) = 0$ ).

### Iterația 1

Pasul 1. În raport cu acest flux modificăm costurile atașate muchiilor (figura 3.20). La fiecare nod  $i$  se atașează valoarea drumului minim de la  $s$  la  $i$  astfel:  $p = \text{valoare}$ .

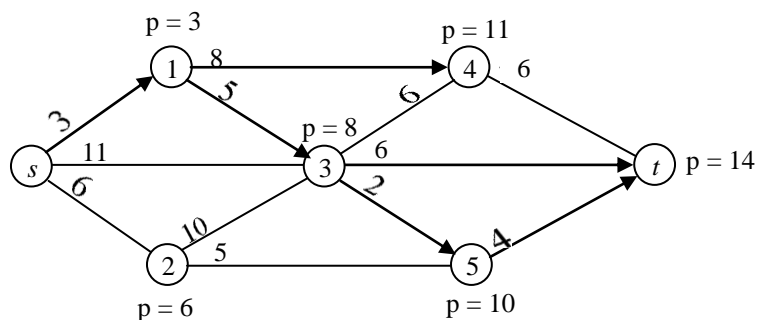


Figura 3.20

Pasul 2. Vom determina drumurile de cost minim de la  $s$  la  $t$  în rețeaua din figura 3.20. Drumurile de cost minim sunt:

$$s \xrightarrow{7} 1 \xrightarrow{4} 4 \xrightarrow{5} t \quad \theta_1 = 4$$

$$s \xrightarrow{3} 1 \xrightarrow{5} 3 \xrightarrow{7} t \quad \theta_2 = 3$$

$$s \xrightarrow{0} 1 \rightarrow 3 \rightarrow 5 \rightarrow t \quad \theta_3 = 0$$

Valoarea fluxului este  $v(\varphi_1) = 7$  unități de flux (figura 3.21).

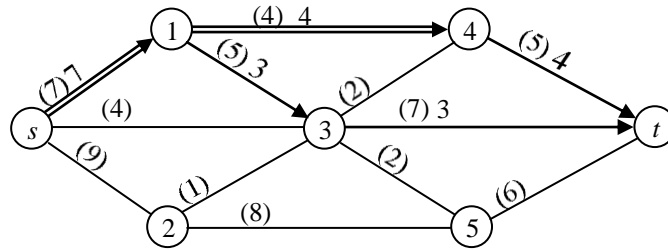


Figura 3.21

Costul este  $a(\varphi_1) = \sum a_{ij} \cdot \varphi_{ij} = v(\varphi_1) \cdot p(t) = 98$  unități monetare.

### Iterația 2

Pasul 1. Se modifică costurile în graf în raport cu fluxul  $\varphi_1$  și obținem situația din figura 3.22:

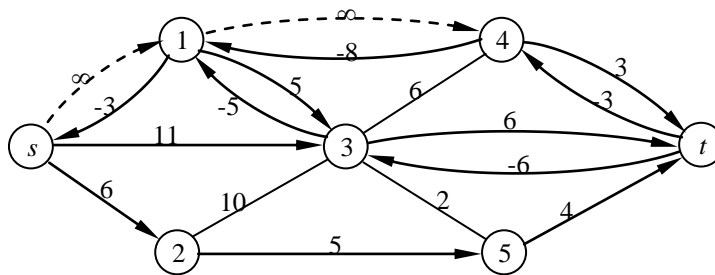


Figura 3.22

Pasul 2. Se determină drumurile de valoare minimă de la  $s$  la  $t$ .

$$s \xrightarrow{9} 2 \xrightarrow{8} 5 \xrightarrow{6} t \quad \theta_4 = 6$$

Se propagă un fluxul  $\varphi_2$ , adăugând la  $\varphi_1$  6 unități de flux pe drumul  $s \rightarrow 2 \rightarrow 5 \rightarrow t$  (figura 3.23). Valoarea fluxului este acum  $v(\varphi_2) = v(\varphi_1) + 6 = 13$  unități de flux.

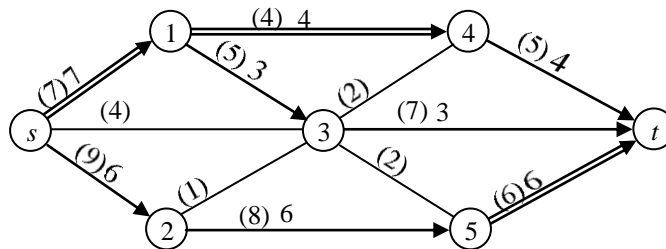


Figura 3.23

Costul va fi  $a(\varphi_2) = a(\varphi_1) + 6 \cdot 15 = 188$  unități monetare.

### Iterația 3

Pasul 1. Se modifică costurile în graf în raport cu fluxul  $\varphi_2$  și obținem situația din figura 3.24:

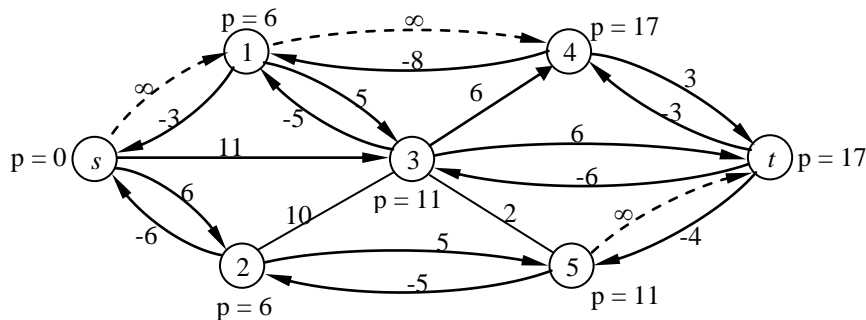


Figura 3.24

Pasul 2 Se determină drumurile de valoare minimă de la  $s$  la  $t$ .

$$s \xrightarrow{4} 3 \xrightarrow{4} t \quad \theta_5 = 4$$

Se propagă fluxul  $\varphi_3$ , adăugând la  $\varphi_2$  un flux de 4 unități pe drumul  $s \rightarrow 3 \rightarrow t$ .

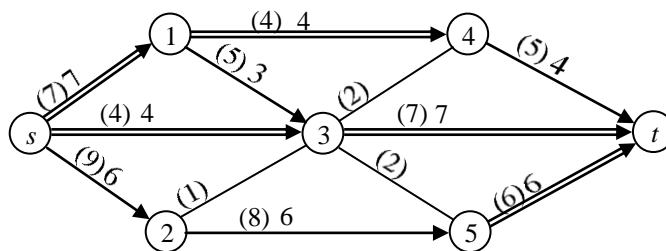


Figura 3.25

Valoarea fluxului este acum  $v(\varphi_3) = v(\varphi_2) + 4 = 17$  unități de flux (figura 3.25).

Costul va fi  $a(\varphi_3) = a(\varphi_2) + 4 \cdot 17 = 256$  unități monetare.

#### Iterația 4

Pasul 1. Se modifică costurile în graf în raport cu fluxul  $\varphi_3$  și obținem situația din figura 3.26:

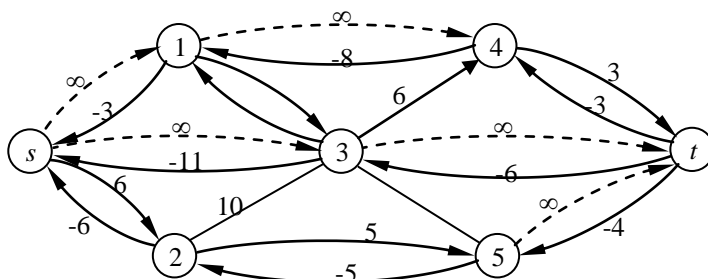


Figura 3.26

Pasul 2. Se determină drumurile de valoare minimă de la  $s$  la  $t$ .

$$s \xrightarrow{3} 2 \xrightarrow{2} 5 \xrightarrow{1} 3 \rightarrow 4 \rightarrow t \quad \theta_6 = 1$$

După propagarea unei unități de flux obținem situația din figura 3.27:

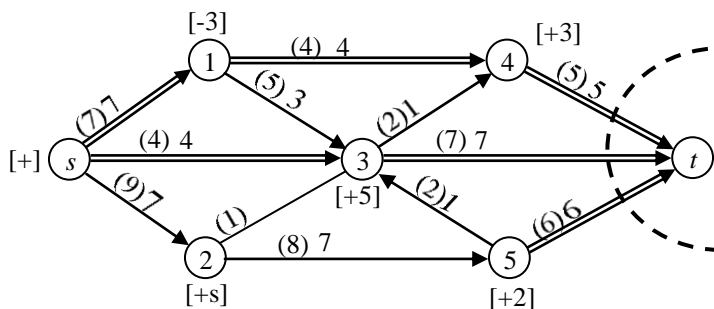


Figura 3.27

Valoarea fluxului este acum  $v(\varphi_4) = v(\varphi_3) + 1 = 18$  unități de flux.

Costul va fi  $a(\varphi_4) = a(\varphi_3) + 1 \cdot 22 = 278$  unități monetare.

### Iterația 5

Pasul 1. Se modifică costurile în graf în raport cu fluxul  $\varphi_4$  și obținem situația din figura 3.28:

Pasul 2. Se identifică drumurile de cost minim de la  $s$  la  $t$ . Deoarece nu mai există drumuri de cost

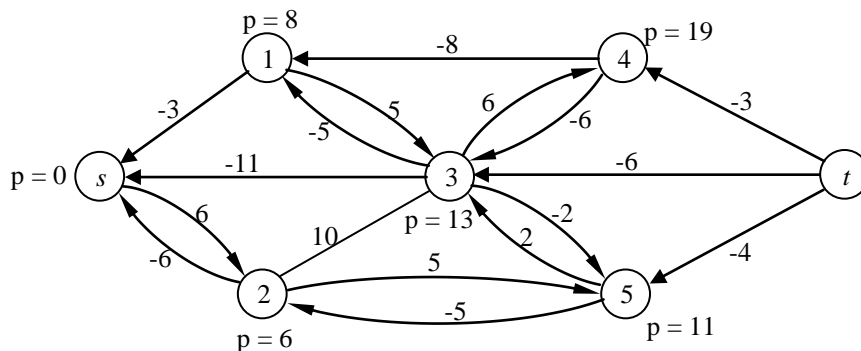


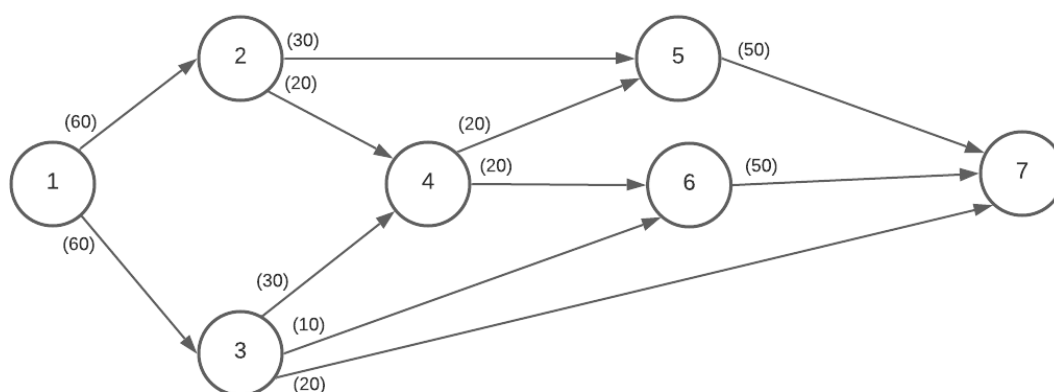
Figura 3.28

minim, fluxul din figura 3.28 este cel maxim.

Aplicând procedeul de marcaj, în figura 3.27, se observă că  $t$  nu mai poate fi marcat, deci fluxul este maxim.

## Flux în rețele

**Problema 1:** Fluxul tehnologic al unei întreprinderi industriale se poate reprezenta printr-o rețea. Nodurile reprezintă secțiile întreprinderilor iar arcele  $(i, j)$  precedențele dintre ele. Numerele înscrise pe arce semnifică producția realizată în secția  $i$  care se poate prelucra în secția  $j$  în aceeași unitate de timp. Să se studieze necorelările între capacitățile secțiilor evidențiindu-le pe cele care sunt supradimensionate.



**Rezolvare:** Observăm că muchiile  $(1, 2)$  și  $(1, 3)$  au capacitățile egale cu 60, adică în total avem 120 de unități ce pot pleca din secția 1 către celelalte secții trecând prin 2 și 3. Secția 2 poate procesa în total 50 de unități din care 30 pot pleca spre secția 5 iar 20 spre secția 4. Secția 4 poate procesa doar 40 de unități deși ar putea primi 20 de la secția 2 și 30 de la secția 3. Secția 4 trimite jumătate (20) din produse spre secția 5 iar cealaltă jumătate (20) către secția 6. Secțiile 3 și 5 pot procesa întreaga cantitate primită (60, respectiv 50). Secția 7 ar trebui să proceseze 120 de unități (50 care provin din secția 5, alte 50 din secția 6 și încă 20 din secția 3). Prin optimizări succesive vom încerca să transportăm toate cele 120 de unități de la nodul 1 la nodul 7 al rețelei. Pentru a rezolva această problemă, aplicăm algoritmul Ford- Fulkerson.

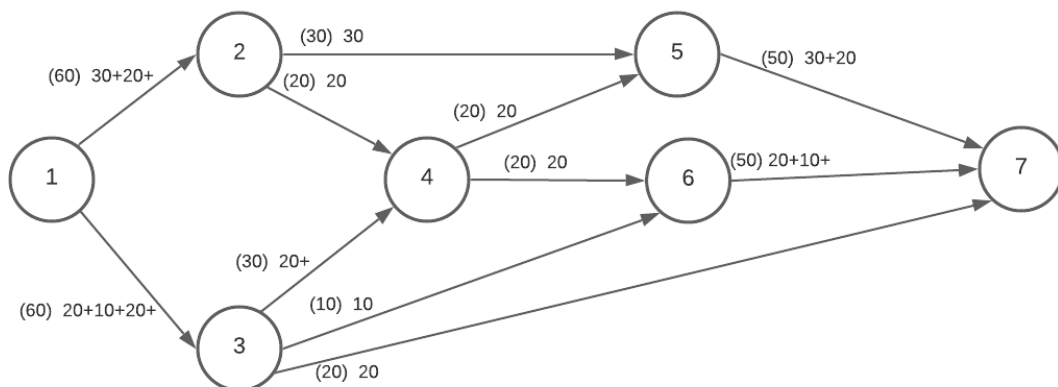
*Et. 1. Construirea de drumuri de la nodul 1 la nodul 7.*

Observăm următoarele drumuri și identificăm fluxul nenul de valoare cât mai mare ce se propagă în rețea de la secția 1 la secția 7:

Drum	Flux propagat	Rute saturate
$\mu_1 = (1, 2, 5, 7)$	$\rightarrow \theta_1 = \min(60, 30, 50) = 30$	$(2, 5)$
$\mu_2 = (1, 2, 4, 5, 7)$	$\rightarrow \theta_2 = \min(30, 20, 20, 20) = 20$	$(2, 4), (4, 5), (5, 7)$
$\mu_3 = (1, 3, 4, 6, 7)$	$\rightarrow \theta_3 = \min(60, 30, 20, 50) = 20$	$(4, 6)$
$\mu_4 = (1, 3, 6, 7)$	$\rightarrow \theta_4 = \min(40, 10, 30) = 10$	$(3, 6)$
$\mu_5 = (1, 3, 7)$	$\rightarrow \theta_5 = \min(30, 20) = 20$	$(3, 7)$

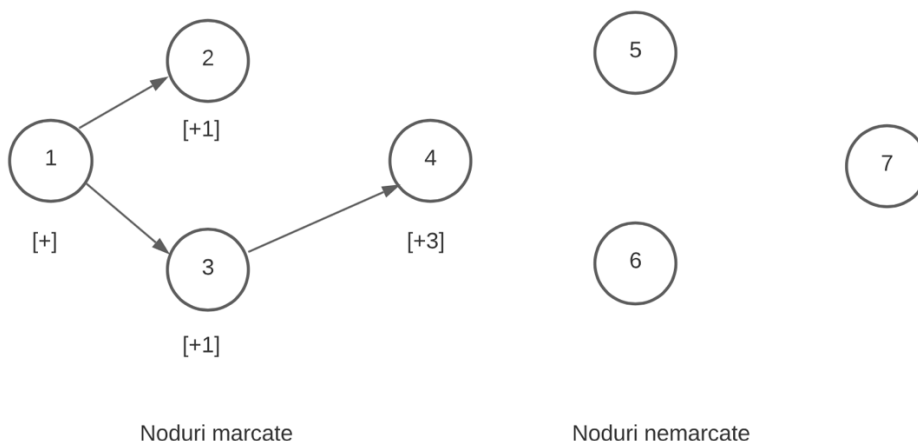
Fluxul complet propagat de-a lungul acestor drumuri are valoarea:

$$v(\varphi) = \sum_{i=1}^5 \theta_i = 100 \text{ produse}$$



Întrucât arcele  $(1, 2)$ ,  $(1, 3)$ ,  $(3, 4)$  și  $(6, 7)$  sunt nesaturate, capacitățile secțiilor 1, 3 și 6 sunt supradimensionate. Secțiile 2 și 4 sunt subdimensionate (secția 2 ar putea primi 60 unități de flux dar poate procesa doar 50 iar secția 4 ar putea primi 50 unități de flux dar poate procesa doar 40).

*Et. 2. Identificarea de lanțuri de augmentare de la nodul 1 la nodul 7 prin aplicarea procedurii de marcare. Observăm că se pot efectua următoarele marcaje:*



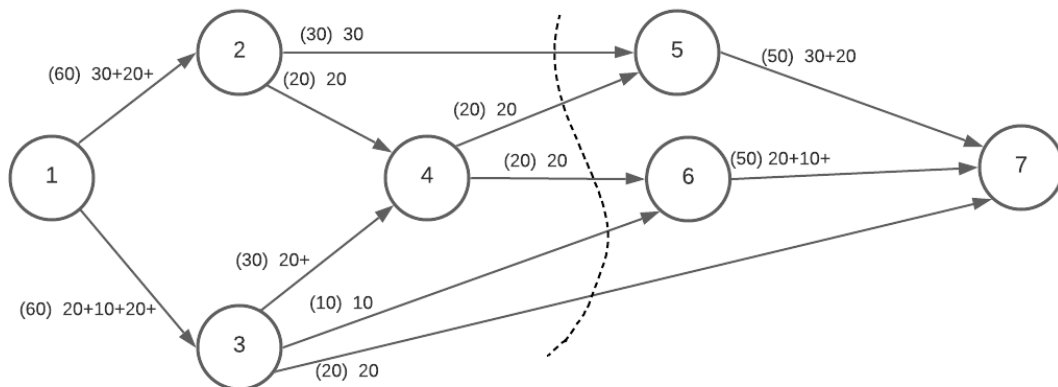
Fluxul curent, a cărui valoare este de 100 unități, este fluxul de valoare maximă pentru că nu poate fi marcat nodul final 7. Valoarea sa fiind mai mică decât 120 înseamnă că secția 7 nu lucrează la întreaga sa capacitate (care ar trebui să fie de 120 de unități). Pentru ca secția 7 să lucreze la capacitatea sa maximă este necesar să mărim capacitățile unor rute de legătură. Aceste rute le identificăm în *tăietura de capacitate minimă*.

*Et. 3: Determinarea unei tăieturi de valoare minimă*

În etapa finală se pune în evidență tăietura de capacitate minimă, separând nodurile marcate de cele nemarcate. Având în vedere că  $S^* = \{1, 2, 3, 4\}$  și  $T^* = \{5, 6, 7\}$  tăietura cuprinde arcele:

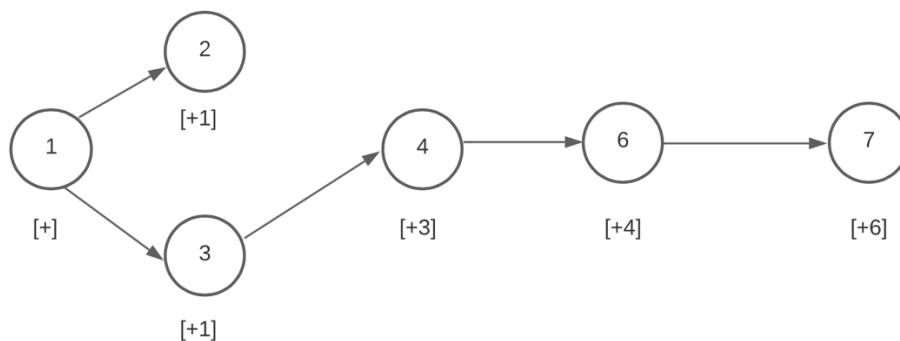
$$(S^*, T^*) = \{(2, 5), (4, 5), (4, 6), (3, 6), (3, 7)\}$$

Suma capacităților celor șase rute din tăietură este:  $c(S^*, T^*) = 30+20+20+10+20=100$ , ceea ce confirmă faptul că fluxul curent este de valoare maximă.



Orice cantitate suplimentară de flux trebuie să treacă prin una sau mai multe rute din cele cinci ale tăieturii minime. Să presupunem că toate cele 20 unități de flux necesare pentru ca secția 7 să lucreze la capacitate maximă sunt repartizate pe arcul (4, 6) a cărei capacitate crește la 40. Prin urmare, capacitatea secției 4 va crește de la 40 la 60 unități de flux (secția 6 va primi 40 de unități de flux de la secția 4 și 10 de la secția 3). Alegerea acestui arc nu este întâmplătoare întrucât observăm că arcul (6,7) nu este saturat, secția 6 având posibilitatea de a procesa suplimentar 20 de unități de flux.

Reluăm etapa a 2-a din algoritmul Ford – Fulkerson încercând să identificăm noi lanțuri de augmentare cu ajutorul procedurii de marcare. Observăm că reușim să marcăm nodul 7 și prin urmare identificăm un lanț de augmentare  $\mu_6$  (care este de fapt un drum).



Avem astfel lanțul (drumul) de augmentare:

$$\mu_6 : 1 \rightarrow 3 \rightarrow 4 \rightarrow 6 \rightarrow 7$$

care unește secția 1 cu secția 7. Se observă că:

$$B = \{(1, 3), (3, 4), (4, 6), (6, 7)\}, \\ C = \emptyset$$

întrucât toate arcele din lanț sunt marcate cu regula b).



De-a lungul acestui lanț se propagă un flux de valoare:

$$\theta_6 = \min\{c_{13} - \varphi_{13}, c_{34} - \varphi_{34}, c_{46} - \varphi_{46}, c_{67} - \varphi_{67}\}$$

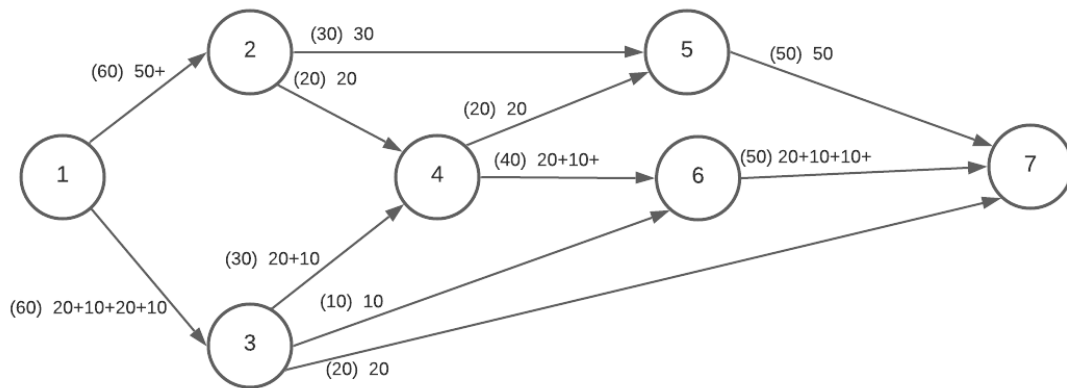
de unde:

$$\theta_6 = \min\{10, 10, 20, 20\} = 10 \text{ produse.}$$

Fluxurile pe arcele (1, 3), (3, 4), (4, 6) și (6, 7) se măresc cu 10 unități. Arcele (1, 3) și (3, 4) devin saturate. În acest fel, în rețeaua de transport s-a obținut un nou flux de valoare:

$$v(\varphi) = \sum_{i=1}^6 \theta_i = 110 \text{ produse}$$

Fluxul  $\varphi$  și rețeaua de transport cu valorile actualizate arată astfel:



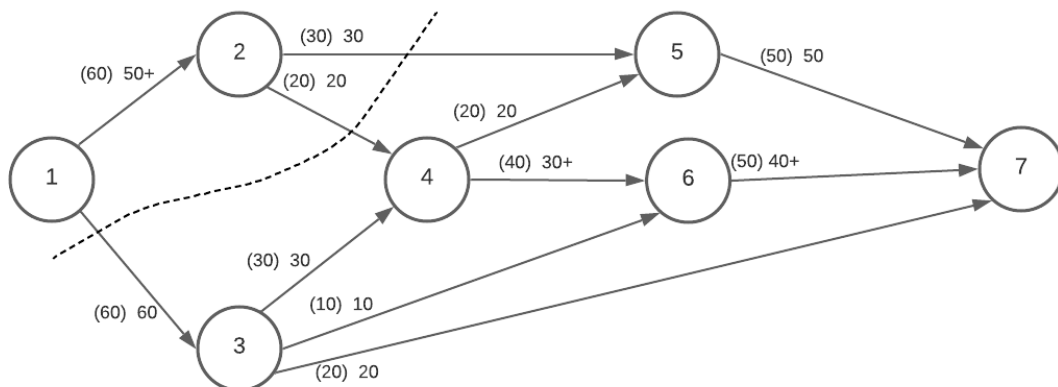
Reluăm etapa a 2-a din algoritmul Ford – Fulkerson încercând să identificăm noi lanțuri de augmentare cu ajutorul procedurii de marcare. Observăm că nu reușim să marcăm nodul 7 și prin urmare nu putem identifica un lanț de augmentare.

În etapa 3 se pune în evidență tăietura de capacitate minimă, separând nodurile marcate de cele nemarcate. Având în vedere că  $S^* = \{1, 2\}$  și  $T^* = \{3, 4, 5, 6, 7\}$  tăietura cuprinde arcele:

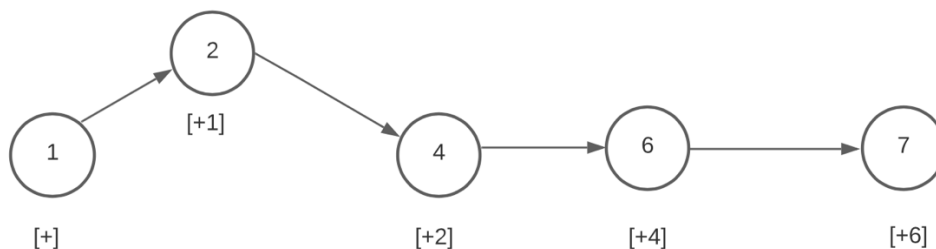
$$(S^*, T^*) = \{(2, 5), (2, 4), (1, 3)\}$$

Suma capacităților celor șase rute din tăietură este:  $c(S^*, T^*) = 30 + 20 + 60 = 110$  produse, ceea ce confirmă faptul că fluxul curent este de valoare maximă.

Orice cantitate suplimentară de flux trebuie să treacă prin una sau mai multe rute din cele trei ale tăieturii minime. Să presupunem că mărim capacitatea muchiei (2, 4) de la 20 la 30 unități. Prin urmare, capacitatea secției 2 va crește de la 50 la 60 unități de flux (secția 4 va primi 30 de unități de flux de la secția 2 în loc de 20, în plus față de cele 30 primite de la secția 3). Alegem acest arc deoarece secția 4 poate procesa cele 10 unități de flux pe care le-ar primi suplimentar de la secția 2 întrucât arcul (4, 6) nu este saturat.



Reluăm etapa 2-a din algoritmul Ford – Fulkerson încercând să identificăm noi lanțuri de augmentare cu ajutorul procedurii de marcare. Observăm că reușim să marcăm nodul 7 și prin urmare identificăm un lanț de augmentare  $\mu_7$  care este de fapt un drum.



Avem astfel lanțul (drumul) de augmentare:

$$\mu_7 : 1 \rightarrow 2 \rightarrow 4 \rightarrow 6 \rightarrow 7$$

care unește secția 1 cu secția 7. Se observă că:

$$B = \{(1, 2), (2, 4), (4, 6), (6, 7)\}, \\ C = \emptyset$$

întrucât toate arcele din lanț sunt marcate cu regula b). De-a lungul acestui lanț se propagă un flux de valoare:

$$\theta_7 = \min \{c_{12} - \varphi_{12}, c_{24} - \varphi_{24}, c_{46} - \varphi_{46}, c_{67} - \varphi_{67}\}$$

de unde:

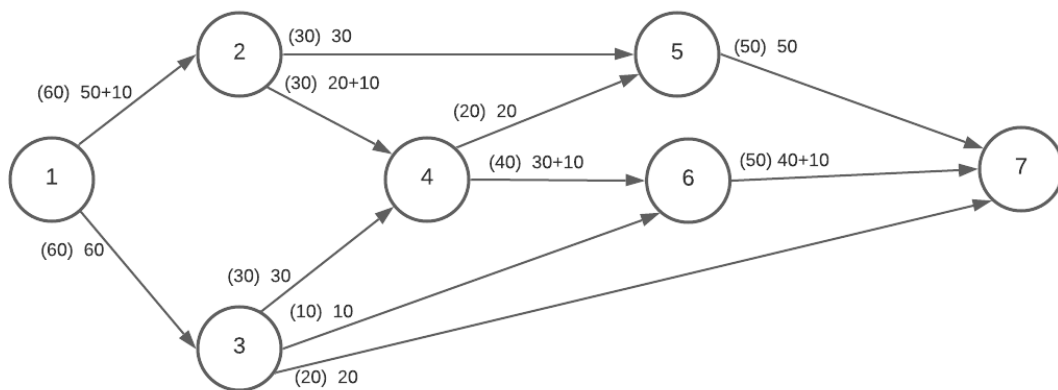
$$\theta_7 = \min\{10, 10, 10, 10\} = 10 \text{ produse.}$$

Fluxurile pe arcele (1, 2), (2, 4), (4, 6) și (6, 7) se măresc cu 10 unități și toate devin saturate.

Valoarea noului flux propagat în rețea este:

$$v(\varphi) = \sum_{i=1}^7 \theta_i = 120 \text{ produse}$$

Adăugăm cele 10 unități de flux pe muchiile drumului  $\mu_7$ . Rețeaua de transport cu valorile actualizate arată astfel:

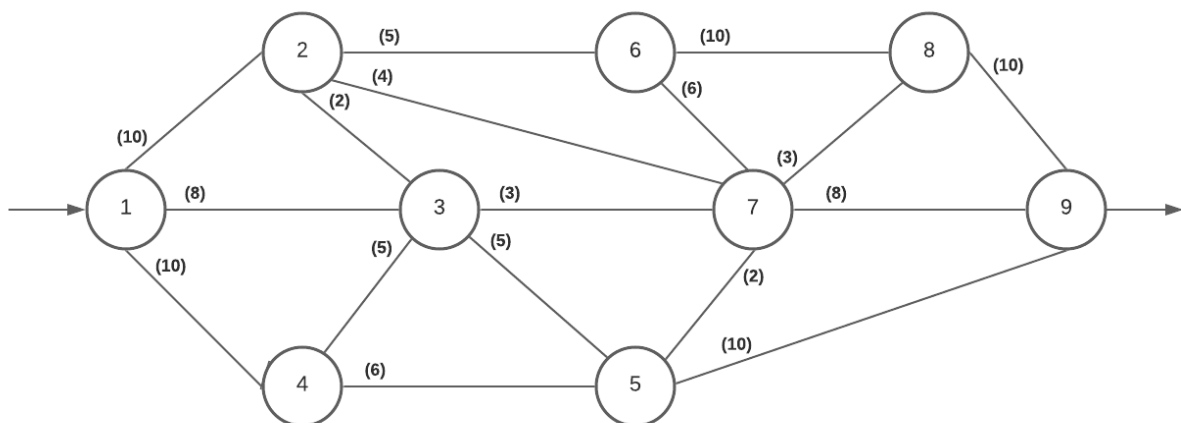


În acest moment toate secțiunile din această întreprindere lucrează la capacitate maximă iar valoarea fluxului propagat în această rețea de transport este de 120 de produse.

**Problema 2:** Un proces chimic dispune de o rețea de conducte pentru transferul unui produs lichid dintr-o parte în alta a rețelei. Capacitățile conductelor sunt indicate în paranteze și sunt valabile în ambele sensuri de parcurgere.

Se cere:

- Care este fluxul maxim propagat în această rețea de la nodul 1 la nodul 9?
- Care este fluxul care trece prin conducta dintre nodul 3 și nodul 7? Dar între nodul 7 și 8? Între 6 și 7?
- Ce trebuie să facă un decident care dorește să mărească fluxul propagat prin această rețea?



**Rezolvare:**

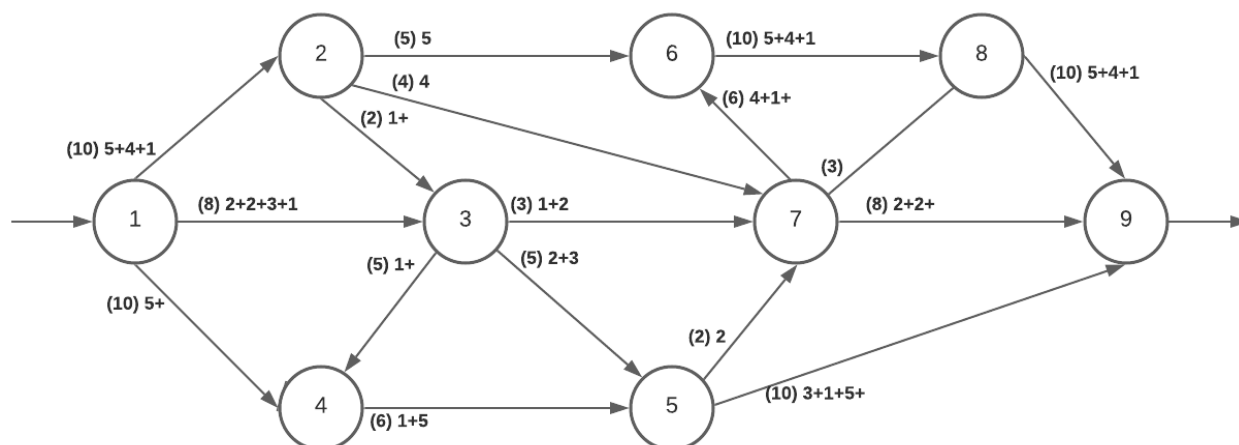
i) Pentru a identifica fluxul maxim propagat în această rețea de la nodul 1 la nodul 9, aplicăm algoritmul Ford- Fulkerson.

*Et. 1. Construirea de drumuri de la nodul 1 la nodul 9.*

Observăm următoarele drumuri și calculăm fluxul propagat în rețea pe fiecare drum de la nodul 1 la nodul 9 utilizând formula:

$$\theta = \min_{u \in \mu} [c(u) - \varphi(u)]$$

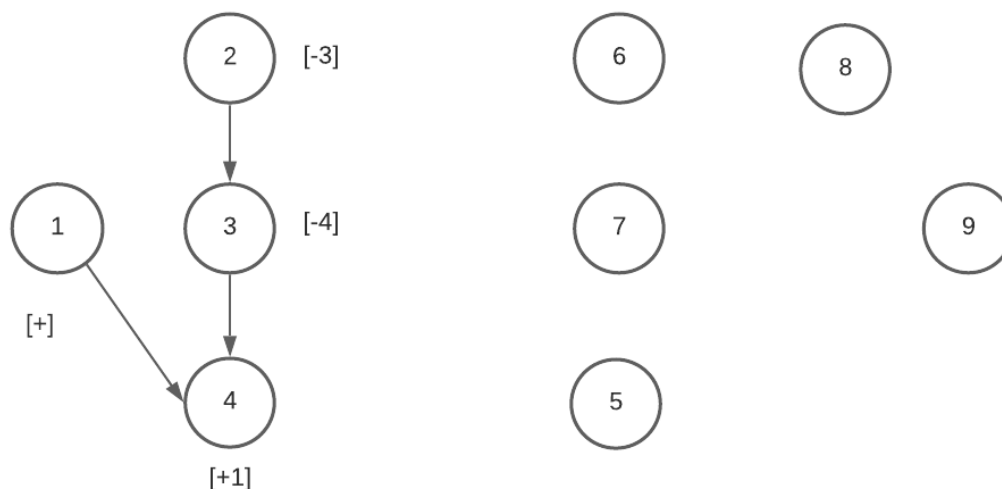
Drum		Flux propagat	Rute saturate
$\mu_1 = (1, 2, 6, 8, 9)$	→	$\theta_1 = \min (10, 5, 10, 10) = 5$	(2, 6)
$\mu_2 = (1, 2, 7, 6, 8, 9)$	→	$\theta_2 = \min (5, 4, 6, 5, 5) = 4$	(2, 7)
$\mu_3 = (1, 2, 3, 7, 6, 8, 9)$	→	$\theta_3 = \min (1, 2, 3, 2, 1, 1) = 1$	(1, 2), (6, 8), (8, 9)
$\mu_4 = (1, 3, 7, 9)$	→	$\theta_4 = \min (8, 2, 8) = 2$	(3, 7)
$\mu_5 = (1, 3, 5, 7, 9)$	→	$\theta_5 = \min (6, 5, 2, 6) = 2$	(5, 7)
$\mu_6 = (1, 3, 5, 9)$	→	$\theta_6 = \min (4, 3, 10) = 3$	(3, 5)
$\mu_7 = (1, 3, 4, 5, 9)$	→	$\theta_7 = \min (1, 5, 6, 7) = 1$	(1, 3)
$\mu_8 = (1, 4, 5, 9)$	→	$\theta_8 = \min (10, 5, 6) = 5$	(4, 5)



Fluxul complet propagat de-a lungul acestor drumuri are valoarea:

$$v(\varphi) = \sum_{i=1}^8 \theta_i = 5 + 4 + 1 + 2 + 2 + 3 + 1 + 5 = 23 \text{ unități de flux}$$

Et. 2. Identificarea lanțurilor de augmentare de la nodul 1 la nodul 9 prin aplicarea procedurii de marcare. Observăm că se pot efectua următoarele marcaje:



Noduri marcate

Noduri nemarcate

Deoarece nodul final 9 nu poate fi marcat rezultă că fluxul complet propagat  $v(\varphi) = 23$  este maxim.

Et. 3: Determinarea unei tăieturi de valoare minimă

În etapa finală se pune în evidență tăietura de capacitate minimă, separând nodurile marcate de cele nemarcate. Având în vedere că  $S^* = \{1, 2, 3, 4\}$  și  $T^* = \{5, 6, 7, 8, 9\}$  tăietura cuprinde arcele:

$$(S^*, T^*) = \{(2, 6), (2, 7), (3, 7), (3, 5), (4, 5)\}$$

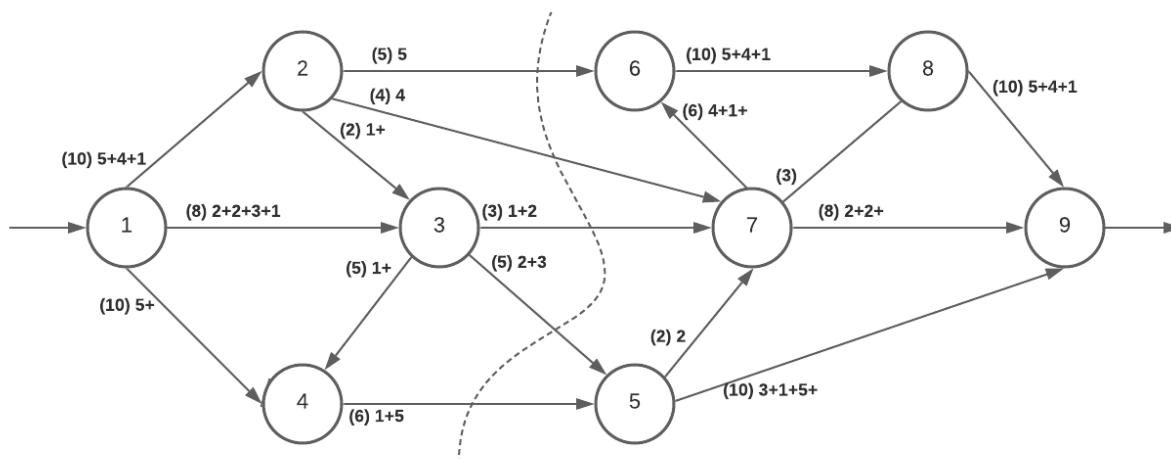
iar capacitatea tăieturii este:

$$c(S^*, T^*) = \sum_{u \in (S^*, T^*)} c(u) = 5 + 4 + 3 + 5 + 6 = 23$$

Conform teoremei Ford- Fulkerson, dacă se verifică relația  $v(\varphi^*) = c(S^*, T^*) = 23$  atunci fluxul are valoare maximă.

ii) Care este fluxul care trece prin conducta dintre nodul 3 și nodul 7? Dar între nodul 7 și 8? Între 6 și 7?

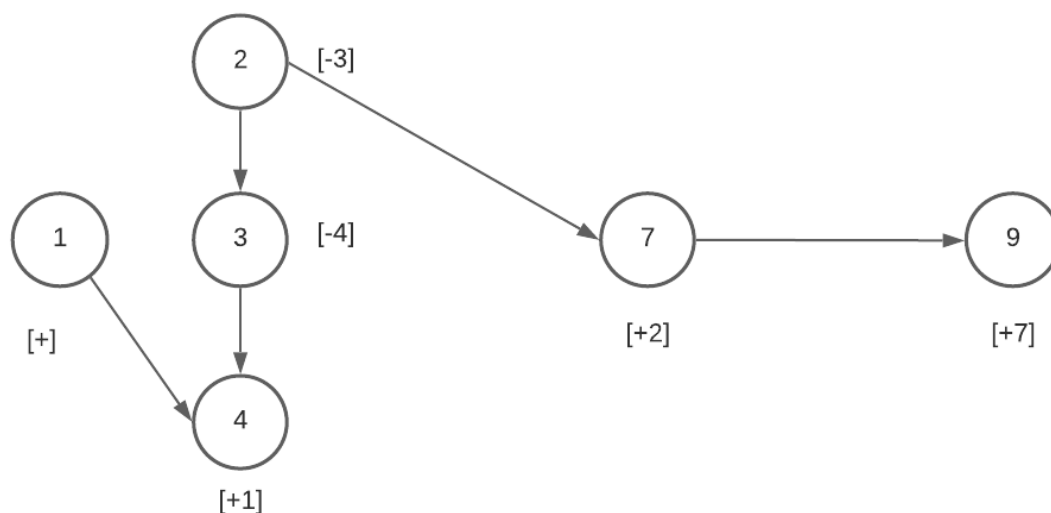
Prin conducta dintre nodul 3 și nodul 7 trec 3 unități de flux, această rută fiind saturată. Prin conducta dintre nodul 7 și nodul 8 nu trece nici o unitate de flux, aceasta fiind goală. Prin conducta ce leagă nodurile 6 și 7 trec 0 unități de flux pe sensul de la 6 la 7 (și 5 unități de flux în sensul de la nodul 7 la nodul 6).



iii) Dacă un decident dorește să mărească fluxul propagat în această rețea de la nodul 1 la nodul 9, atunci va trebui să mărească capacitatea unuia sau mai multor arce de pe tăietură.

Să presupunem că se va înlocui conducta ce conectează nodurile 2 și 7 de capacitate  $c_{27} = 4$  cu una de capacitate egală cu 7 ( $c'_{27} = 7$ ).

Reluăm etapa a 2-a din algoritmul Ford – Fulkerson încercând să identificăm noi lanțuri de augmentare cu ajutorul procedurii de marcare. Observăm că reușim să marcăm nodul 7 și prin urmare identificăm un lanț de augmentare  $\mu_7$  care este de fapt un drum.



Avem astfel lanțul de augmentare:

$$\lambda_9 : 1 \rightarrow 4 \leftarrow 3 \leftarrow 2 \rightarrow 7 \rightarrow 9$$

care conectează nodul 1 cu nodul 9. Se observă că:

$$B = \{(1, 4), (2, 7), (7, 9)\},$$

$$C = \{(3, 4), (2, 3)\}.$$

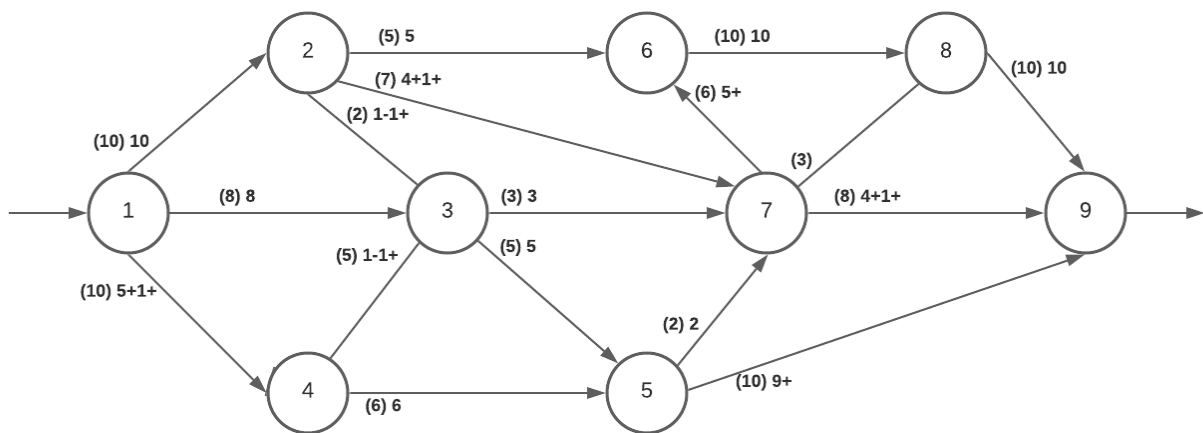
De-a lungul acestui lanț se propagă un flux de valoare:

$$\theta_9 = \min \{ \min [c_{14} - \varphi_{14}, c_{27} - \varphi_{27}, c_{79} - \varphi_{79}], \min [\varphi_{34}, \varphi_{23}] \}$$

de unde:

$$\theta_9 = \min \{ 5, 3, 4, 1, 1 \} = 1.$$

Fluxurile pe arcele din  $B$  ((1, 4), (2, 7) și (7, 9)) se măresc cu 1 unitate iar cele din  $C$  ((3, 4) și (2, 3)) se reduc cu 1 unitate de flux. Rețeaua de transport cu valorile actualizate arată astfel:

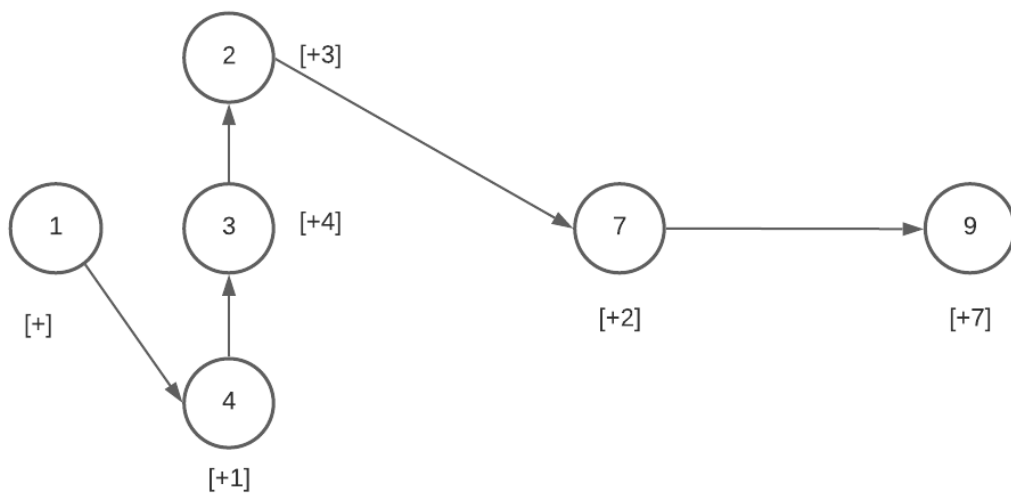


Valoarea noului flux propagat în rețea este:

$$v(\varphi'') = \sum_{i=1}^9 \theta_i = 23 + 1 = 24$$

Pe graful cu valorile actualizate observăm că, datorită reducerii cu 1 unitate de flux a alocărilor pe muchiile (3, 4) și (2, 3), acestea sunt acum neorientate.

Aplicăm procedura de marcare și identificăm următorul lanț de augmentare (care este de fapt un drum) de la nodul 1 la nodul 9:



$$\lambda_{10} : 1 \rightarrow 4 \rightarrow 3 \rightarrow 2 \rightarrow 7 \rightarrow 9.$$

Se observă că:

$$B = \{(1, 4), (4, 3), (3, 2), (2, 7), (7, 9)\},$$

$$C = \emptyset.$$

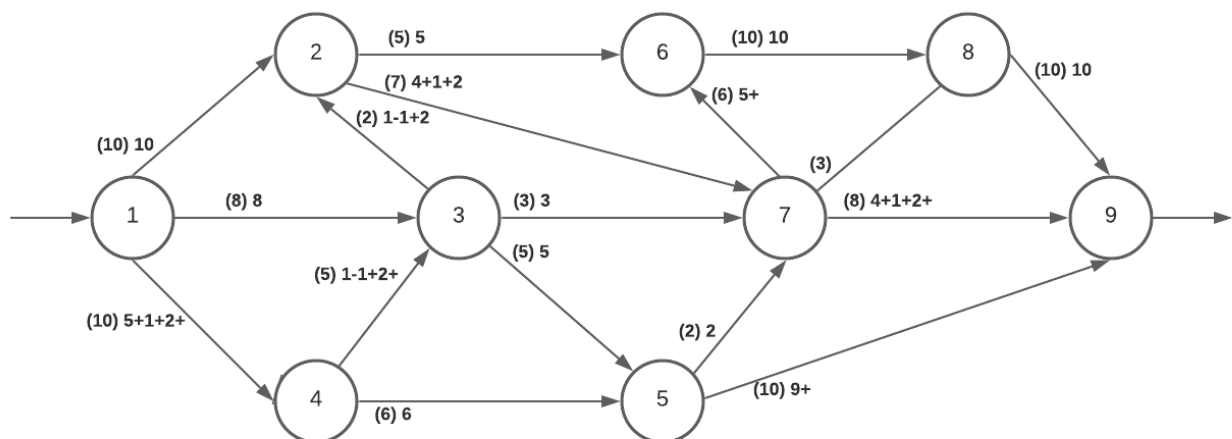
De-a lungul acestui lanț se propagă un flux de valoare:

$$\theta_{10} = \min\{c_{14} - \varphi_{14}, c_{43} - \varphi_{43}, c_{32} - \varphi_{32}, c_{27} - \varphi_{27}, c_{79} - \varphi_{79}\}$$

de unde:

$$\theta_{10} = \min\{4, 5, 2, 2, 3\} = 2.$$

Fluxurile pe arcele din  $B$  se măresc cu 2 unități. Rețeaua de transport cu valorile actualizate arată astfel:

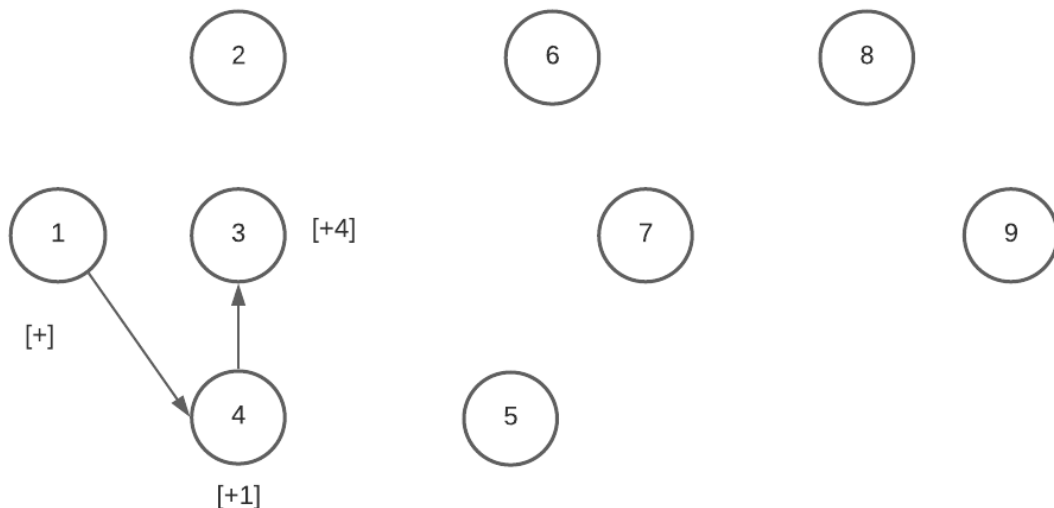




Fluxul complet propagat de-a lungul acestor drumuri are valoarea:

$$v(\varphi) = \sum_{i=1}^{10} \theta_i = 23 + 1 + 2 = 26 \text{ unități de flux}$$

Continuăm identificarea lanțurilor de augmentare prin aplicarea procedurii de marcare. Observăm că se pot efectua următoarele marcaje:



Noduri marcate

Noduri nemarcate

Deoarece nodul final 9 nu poate fi marcat rezultă că fluxul complet propagat  $v(\varphi) = 26$  este maxim.

*Et. 3: Determinarea unei tăieturi de valoare minimă*

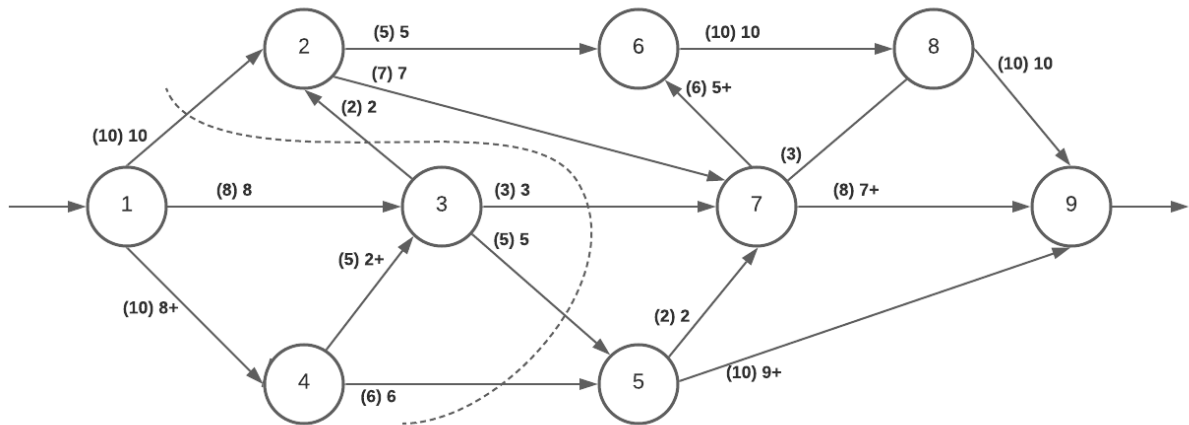
În etapa finală se pune în evidență tăietura de capacitate minimă, separând nodurile marcate de cele nemarcate. Având în vedere că  $S^* = \{1, 3, 4\}$  și  $T^* = \{2, 5, 6, 7, 8, 9\}$  tăietura cuprinde arcele:

$$(S^*, T^*) = \{(1, 2), (3, 2), (3, 7), (3, 5), (4, 5)\}$$

iar capacitatea tăieturii este:

$$c(S^*, T^*) = \sum_{u \in (S^*, T^*)} c(u) = 10 + 2 + 3 + 5 + 6 = 26$$

Conform teoremei Ford- Fulkerson, dacă se verifică relația  $v(\varphi^*) = c(S^*, T^*) = 26$  atunci fluxul are valoare maximă.



Dacă se dorește mărirea fluxului propagat în această rețea, atunci va trebui să mărim capacitatea unuia sau mai multor arce de pe tăietura curentă.

### Problema 3: Problema de cerere și oferta

O cantitate de marfă se află disponibilă în centrele A, B, C în cantitățile 30, 40 și 36 u.c. și este solicitată în centrele X, Y, Z în cantitățile 36, 38 și 34. Între surse și destinații există legături directe și transportul se efectuează cu mijloace de transport auto cu capacități limitate, conform matricii următoare:

	X	Y	Z
A	10	14	8
B	24	-	18
C	10	20	6

Pe ruta (B, Y) nu se face transport.

Se cere:

- să se determine un plan optim de transport astfel încât să fie asigurată cererea în centrele X, Y și Z;
- sunt suficiente mijloacele de transport auto disponibile pentru a transporta marfa disponibilă în centrele A, B și C către X, Y și Z?

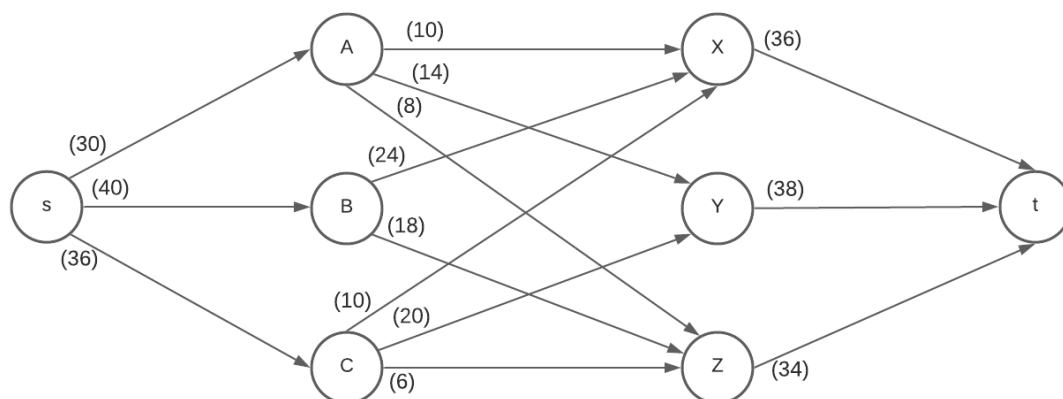
### Rezolvare:

Începem prin a trasa rețeaua de transport. Întrucât avem 3 centre de tip sursă (A, B și C), vom adăuga un nod fictiv  $s$  de la care ducem arce orientate de la  $s$  către cele 3 surse. Cantitățile disponibile de marfă în cele 3 centre vor reprezenta capacitățile acestor muchii.

În același fel procedăm și cu cele 3 centre de tip destinație (X, Y și Z): vom adăuga un nod fictiv  $t$  pe care îl conectăm cu cele 3 destinații prin arce orientate către nodul  $t$  pe care scriem cantitățile solicitate care vor reprezenta capacitățile acestor muchii.

Conexiunile dintre centrele de tip sursă cu cele de tip destinație se vor identifica din tabel iar capacitățile acestor muchii vor fi date de capacitățile mijloacelor auto utilizate pentru transportul acestei mărfi.

Rețeaua de transport va arăta astfel:



Cantitatea totală de marfă disponibilă în A, B și C (adică oferta totală) este de  $30+40+36=106$  u.c., iar cantitatea solicitată în X, Y și Z (adică cererea totală) este de  $36+38+34=108$  u.c. Întrucât Cererea =  $108 > 106$  = Oferta  $\Rightarrow$  nu vom reuși să satisfacem integral cererea tuturor celor 3 centre X, Y și Z.

i) Pentru a determina cantitatea maximă de marfă ce poate fi transportată de la centrele A, B și C către centrele X, Y și Z ținând cont de mijloacele auto disponibile, vom aplica algoritmul Ford- Fulkerson.

*Et. 1. Construirea de drumuri de la nodul s la nodul t.*

Observăm următoarele drumuri și calculăm fluxul propagat în rețea pe fiecare drum de la nodul s la nodul t utilizând formula:

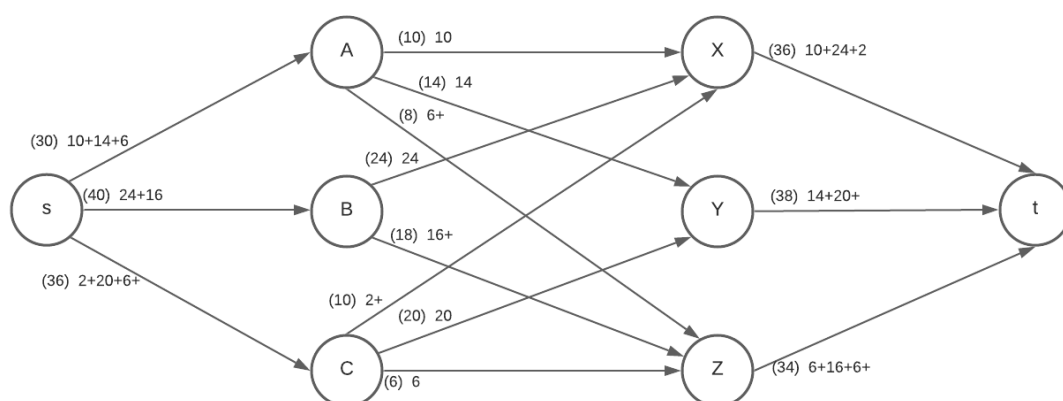
$$\theta = \min_{u \in \mu} [c(u) - \varphi(u)]$$

<i>Drum</i>		<i>Flux propagat</i>	<i>Rute saturate</i>
$\mu_1 = (s, A, X, t)$	$\rightarrow$	$\theta_1 = \min (30, 10, 36) = 10$	(A, X)
$\mu_2 = (s, A, Y, t)$	$\rightarrow$	$\theta_2 = \min (20, 14, 38) = 14$	(A, Y)
$\mu_3 = (s, A, Z, t)$	$\rightarrow$	$\theta_3 = \min (6, 8, 34) = 6$	(s, A)
$\mu_4 = (s, B, X, t)$	$\rightarrow$	$\theta_4 = \min (40, 24, 26) = 24$	(B, X)
$\mu_5 = (s, B, Z, t)$	$\rightarrow$	$\theta_5 = \min (16, 18, 28) = 16$	(s, B)
$\mu_6 = (s, C, X, t)$	$\rightarrow$	$\theta_6 = \min (36, 10, 2) = 2$	(X, t)
$\mu_7 = (s, C, Y, t)$	$\rightarrow$	$\theta_7 = \min (34, 20, 24) = 20$	(C, Y)
$\mu_8 = (s, C, Z, t)$	$\rightarrow$	$\theta_8 = \min (14, 6, 12) = 6$	(C, Z)

Faptul că muchia  $(s, A)$  este saturată semnifică faptul că centrul A nu mai are marfă pe stoc (A a trimis 10 u.c. către X, 14 u.c. către Y și 6 u.c. către Z din cantitatea disponibilă de 40 u.c.).

Deoarece muchia  $(A, Y)$  este saturată, tirul care transportă marfa de la centrul A la centrul Y este încărcat la capacitatea sa maximă de 14 u.c.

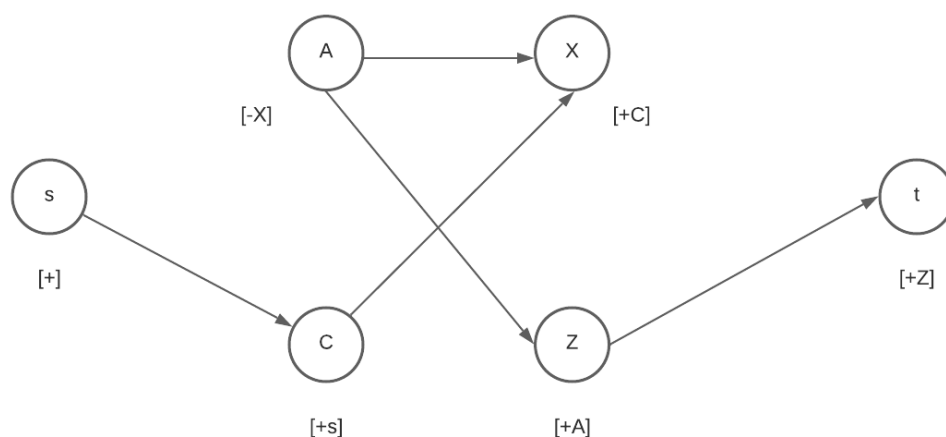
Muchia  $(X, t)$  este saturată, ceea ce înseamnă că cererea centrului X de 36 u.c. este integral satisfăcută (X primește 10 u.c. de la A, 24 u.c. de la B și 2 u.c. de la C).



Fluxul complet propagat de-a lungul acestor drumuri are valoarea:

$$v(\varphi) = \sum_{i=1}^8 \theta_i = 10 + 14 + 6 + 24 + 16 + 2 + 20 + 6 = 98 \text{ u.c.}$$

*Et. 2. Identificarea lanțurilor de augmentare de la nodul s la nodul t prin aplicarea procedurii de marcare. Observăm că se pot efectua următoarele marcaje:*



Reușim să marcăm nodul t și prin urmare identificăm un lanț de augmentare  $\lambda_9$  care conectează nodul s cu nodul t:

$$\lambda_9 : s \rightarrow C \rightarrow X \leftarrow A \rightarrow Z \rightarrow t$$

. Se observă că:

$$B = \{(s, C), (C, X), (A, Z), (Z, t)\},$$

$$C = \{(A, X)\}.$$

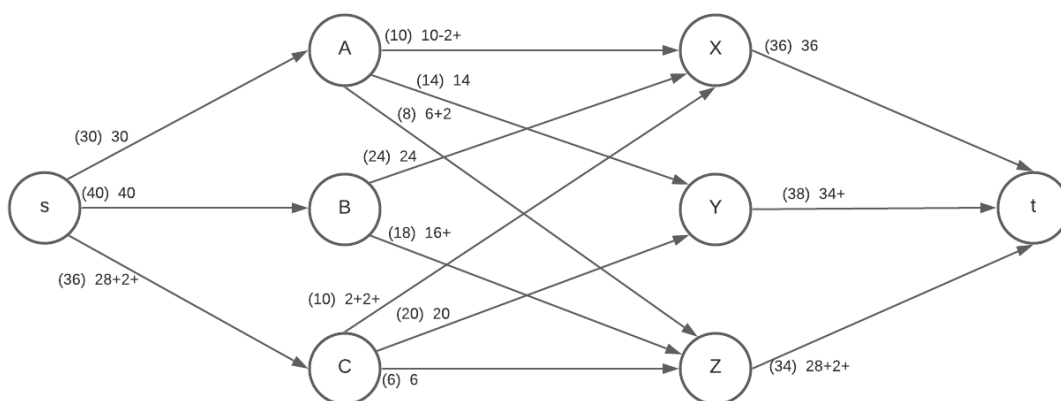
De-a lungul acestui lanț se propagă un flux de valoare:

$$\theta_9 = \min \{[c_{sc} - \varphi_{sc}, c_{cx} - \varphi_{cx}, c_{az} - \varphi_{az}, c_{zt} - \varphi_{zt}], [\varphi_{ax}]\}$$

de unde:

$$\theta_9 = \min \{(36 - 28), (10 - 2), (8 - 6), (34 - 28), 10\} = 2 \text{ u. c.}$$

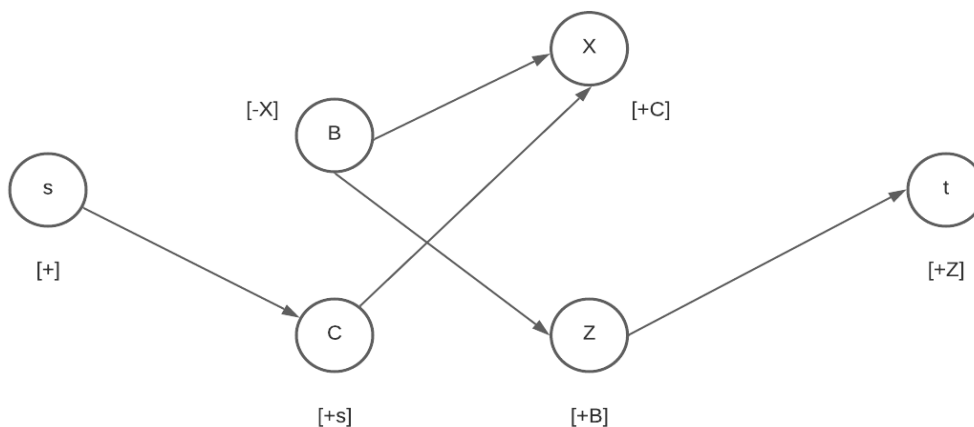
Fluxurile pe arcele din  $B$  se măresc cu 2 u.c. iar cele din  $C$  se reduc cu 2 u.c. Rețeaua de transport cu valorile actualizate arată astfel:



Valoarea noului flux propagat în rețea este:

$$v(\varphi) = \sum_{i=1}^9 \theta_i = 98 + 2 = 100 \text{ u. c.}$$

Reluăm procedura de marcare pentru a identifica noi lanțuri de augmentare.



Reușim să marcăm nodul  $t$  și prin urmare identificăm un nou lanț de augmentare  $\lambda_{10}$  care conectează nodul  $s$  cu nodul  $t$ :

$$\lambda_{10} : s \rightarrow C \rightarrow X \leftarrow B \rightarrow Z \rightarrow t$$

. Se observă că:

$$B = \{(s, C), (C, X), (B, Z), (Z, t)\},$$

$$C = \{(B, X)\}.$$

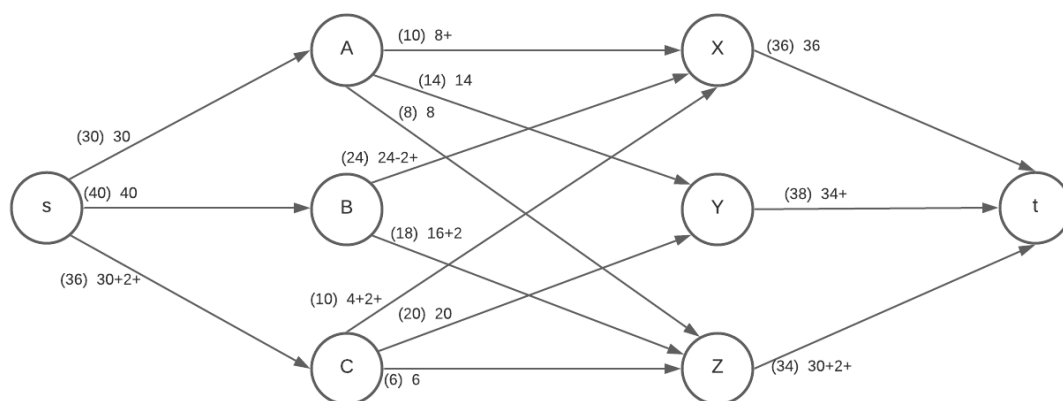
De-a lungul acestui lanț se propagă un flux de valoare:

$$\theta_{10} = \min \{ \min [c_{sc} - \varphi_{sc}, c_{cx} - \varphi_{cx}, c_{Bz} - \varphi_{Bz}, c_{zt} - \varphi_{zt}], [\varphi_{Bx}] \}$$

de unde:

$$\theta_{10} = \min \{ (36 - 30), (10 - 4), (18 - 16), (34 - 30), 24 \} = 2 \text{ u. c.}$$

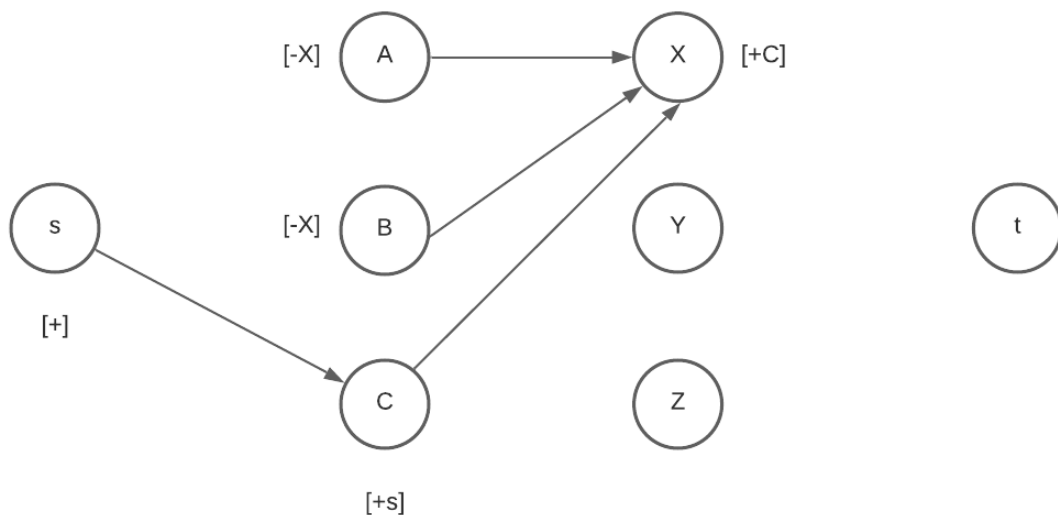
Fluxurile pe arcele din  $B$  se măresc cu 2 u.c. iar cele din  $C$  se reduc cu 2 u.c. Rețeaua de transport cu valorile actualizate arată astfel:



Valoarea noului flux propagat în rețea este:

$$v(\varphi) = \sum_{i=1}^{10} \theta_i = 100 + 2 = 102 \text{ u. c.}$$

Reluăm procedura de marcare pentru a identifica noi lanțuri de augmentare și constatăm că nodul  $t$  nu poate fi marcat:



Prin urmare fluxul propagat este maxim. Dar  $v(\varphi) = 102 < 108$  ceea ce înseamnă că nu toate cererile sunt acoperite integral (Y primește doar 34 u.c. din cele 38 solicitate iar Z doar 32 u.c. din 34)

*Et. 3: Determinarea unei tăieturi de valoare minimă*

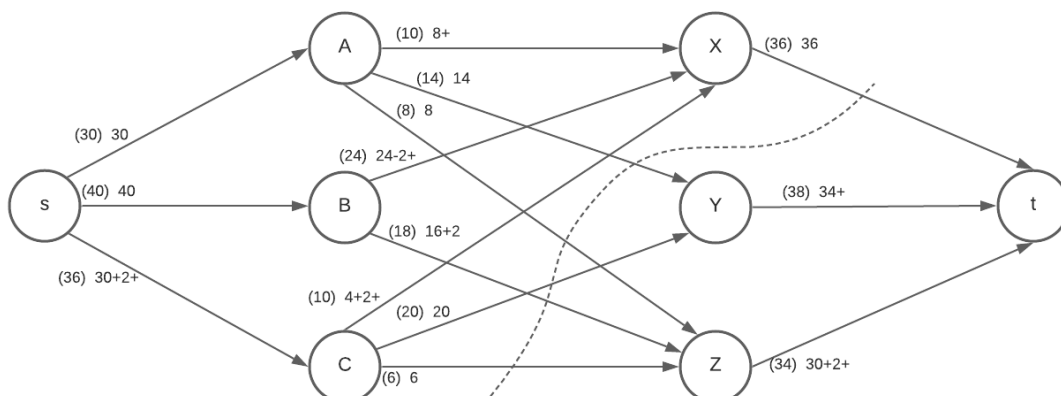
Pentru a identifica tăietura de capacitate minimă, separăm nodurile marcate de cele nemarcate.

Mulțimea nodurilor marcate este  $S^* = \{s, C, X, A, B\}$  și mulțimea nodurilor nemarcate este  $T^* = \{Y, Z, t\}$ . Tăietura cuprinde arcele:

$$(S^*, T^*) = \{(X, t), (A, Y), (A, Z), (C, Y), (B, Z), (C, Z), \}$$

iar capacitatea tăieturii este:

$$c(S^*, T^*) = \sum_{u \in (S^*, T^*)} c(u) = 36 + 14 + 8 + 20 + 18 + 6 = 102 \text{ u.c.}$$



Conform teoremei Ford- Fulkerson, întrucât se verifică relația  $v(\varphi^*) = c(S^*, T^*) = 102 \text{ u. c.}$ , fluxul are valoare maximă.

Un plan optim de transport, ținând cont de limitările curente ale rețelei de transport, presupune următoarele:

- depozitul A trimite 8 u.c. către destinația X, 14 u.c. către Y și 8 către Z; stocul lui  $A=0$ ;
- depozitul B trimite 22 u.c. către destinația X și 18 către Z; stocul lui  $B=0$ ;
- depozitul C trimite 6 u.c. către destinația X, 20 u.c. către Y și 6 către Z; stocul lui  $C=4$ .
- centrul X va avea cererea de 36 u.c. satisfăcută integral primind 8 u.c de la A, 22 u.c. de la B și 8 u.c. de la C;
- centrul Y va avea cererea de 38 u.c. satisfăcută parțial primind 14 u.c de la A și 20 u.c. de la C; ar mai avea nevoie să primească încă 4 u.c.
- centrul Z va avea cererea de 34 u.c. satisfăcută parțial primind 8 u.c de la A, 18 u.c. de la B și 6 u.c. de la C; ar mai avea nevoie de încă 2 u.c.

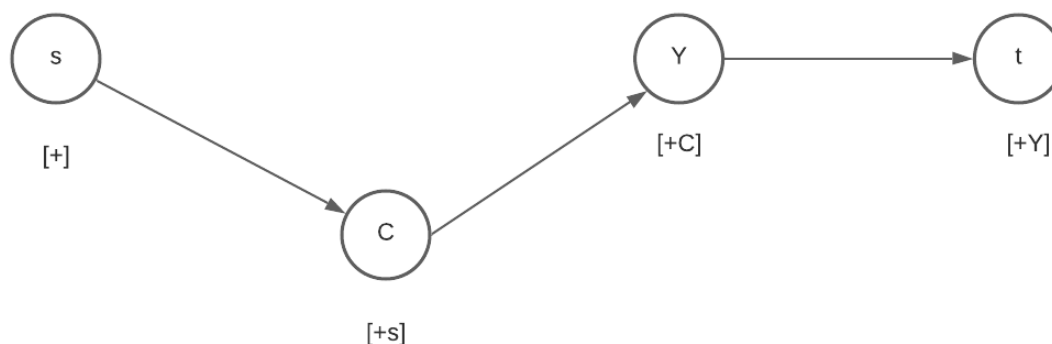
ii) Sunt suficiente mijloacele de transport auto disponibile pentru a transporta marfa disponibilă în centrele A, B și C către X, Y și Z?

Cele 4 u.c. aflate pe stoc în depozitul C ar putea fi trimise către centrul Y și/sau Z dar mijloacele de transport auto care asigură transportul mărfii de la C către Y și Z sunt deja încărcate la capacitate maximă.

Dacă un decident dorește să mărească fluxul propagat în această rețea prin transmiterea celor 4 u.c. de la C către Y și sau Z, atunci va trebui să mărească capacitatea unuia sau mai multor arce de pe tăietură, adică să suplimenteze mijloacele de transport auto de pe muchiile tăieturii astfel încât întreaga cantitate de marfă să poată fi transportată .

Observăm că în C mai avem 4 u.c. pe stoc, iar în Y avem nevoie de 4 u.c. și în Z de 2 u.c. Să presupunem că va alege să trimită toate cele 4 u.c. existente în stoc la centrul C către centrul Y pentru a satisface integral cererea centrului Y. În acest scop, va suplimenta mijloacele de transport auto ce asigură transportul mărfii de la C la Y astfel încât acestea să aibă capacitatea de 24 u.c. ( $c'_{CY} = 24$ ).

Continuăm identificarea lanțurilor de augmentare prin aplicarea procedurii de marcare. Observăm că se pot efectua următoarele marcaje:



Întrucât reușim să marcăm nodul  $t$ , am identificat un nou lanț de augmentare (care este de fapt un drum) de la  $s$  la  $t$ .



$$\lambda_{11} : s \rightarrow C \rightarrow Y \rightarrow t$$

. Se observă că:

$$B = \{(s, C), (C, Y), (Y, t)\},$$

$$C = \emptyset$$

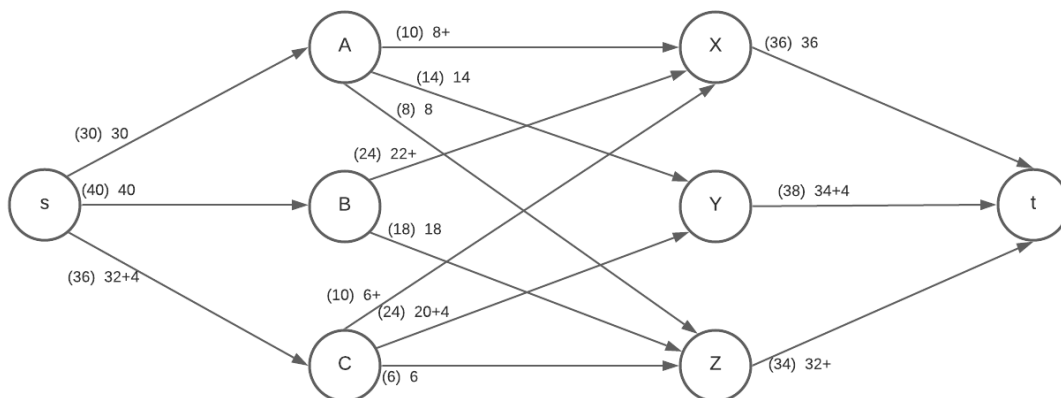
De-a lungul acestui lanț se propagă un flux de valoare:

$$\theta_{11} = \min \{ c_{sc} - \varphi_{sc}, c_{cy} - \varphi_{cy}, c_{yt} - \varphi_{yt} \}$$

de unde:

$$\theta_{11} = \min \{ (36 - 32), (24 - 20), (38 - 34) \} = 4 \text{ u. c.}$$

Fluxurile pe arcele din  $B$  se măresc cu 4 u.c. Rețeaua de transport cu valorile actualizate arată astfel:



Valoarea noului flux propagat în rețea este:

$$v(\varphi) = \sum_{i=1}^{11} \theta_i = 102 + 4 = 106 \text{ u. c.}$$

În acest moment am epuizat toate stocurile din depozitele A, B și C; cererea centrelor X și Y a fost satisfăcută integral iar Z rămâne cu o cerere nesatisfăcută de 2 u.c.

## CAPITOLUL 4

### OPTIMIZAREA PROCESELOR ECONOMICE UTILIZÂND PROGRAMAREA LINIARĂ

**NOTĂ:** Suportul de curs al Capitolelor 4 și 5 are la bază lucrarea: Nica, V., Ciobanu, Gh., Mustăță Floare, Mărăcine Virginia, “*Cercetări operaționale I - Programare liniară, Probleme de optimizare în rețele de transport și distribuție, Teoria jocurilor strategice*”, Editura MATRIX ROM, București 1998

#### 4.1. Forma generală a unei probleme de programare liniară

Problemele de maxim și de minim apar frecvent în cele mai diferite domenii ale matematicilor pure sau aplicate. În domeniul economic, asemenea probleme sunt foarte naturale. Astfel, firmele încearcă să maximizeze profiturile sau să minimizeze costurile. Experții în planificare macroeconomică se preocupă de maximizarea bunăstării unei comunități economico-sociale. Consumatorii doresc să cheltuiască venitul lor într-un mod care să le maximizeze satisfacția (de natură materială dar și spirituală etc.)

*Programarea liniară* se ocupă de o clasă specială de probleme de optimizare care apar deseori în aplicațiile economice. Aceste probleme constau în maximizarea sau minimizarea unei funcții *liniare*, numită *funcție obiectiv*, ale cărei variabile trebuie să satisfacă:

- un sistem de relații date sub forma unor ecuații și/sau inecuații *liniare nestrict*, denumite generic *restricții*;
- cerința de a lua numai valori numerice *nenegative* ( $\geq 0$ ).

##### 4.1.1. Exemple

**1) Problema firmei.** Considerăm un *sistem de producție*, de exemplu o *firmă*, care produce  $n$  bunuri  $G_1, G_2, \dots, G_n$  utilizând pentru aceasta  $m$  categorii de resurse  $R_1, R_2, \dots, R_m$  (materii prime, forță de muncă, capacități de producție, combustibili și energie etc.). Adoptăm ipoteza că tehnologia de transformare a resurselor în bunuri este *liniară* în sensul că:

- Pentru fiecare bun, consumul dintr-o anumită resursă este direct proporțional cu cantitatea produsă.

- Consumurile dintr-o resursă sau alta nu se condiționează reciproc.

Fie atunci  $a_{ij}$  cantitatea din resursa  $i$  utilizată pentru producerea unei unități din bunul  $G_j$ . Fie deasemeni  $b_i$  cantitatea disponibilă din resursa  $R_i$  și  $c_j$  prețul (sau profitul) unitar al bunului  $G_j$ .

- Prețul unui bun nu depinde de cantitatea produsă și nici de situația vânzărilor celorlalte bunuri.

*Problema constă în determinarea unui program de fabricație care să maximizeze venitul (sau profitul) firmei.*

Să notăm cu  $x_j$  cantitatea din bunul  $G_j$  care urmează a fi produsă. Problema enunțată mai înainte devine:

*Să se găsească valorile numerice  $x_1, x_2, \dots, x_n$  care maximizează funcția venit (sau profit) total:*

$$f = c_1 x_1 + c_2 x_2 + \dots + c_n x_n$$

*cu satisfacerea restricțiilor:*

[illegible]

și a condițiilor de nenegativitate:

$$x_1 \geq 0, x_2 \geq 0, \dots, x_n \geq 0$$

**Observație:** Ipotezele de liniaritate făcute nu sunt verificate întotdeauna în practică. Rațiunea lor este dublă:

- conduc la modele matematice în general simple;
- pe baza modelelor liniare se pot formula concluzii calitative și legități economice care își mențin valabilitatea - în anumite limite - și într-un context neliniar.

**2) Problema dietei** a devenit o ilustrare clasică a programării liniare, fiind întâlnită în mai toate textele de specialitate. Ea se ocupă cu hrănirea unei colectivități, să zicem un grup de militari, în cel mai economic mod cu condiția satisfacerii anumitor cerințe de nutriție. Mai concret, este vorba de a prepara un aliment complex pornind de la  $n$  sortimente de hrană  $F_1, F_2, \dots, F_n$ . Un număr de elemente sau principii nutritive  $N_1, N_2, \dots, N_m$  - proteine, glucide, grăsimi calciu, etc. sunt avute în vedere în sensul că alimentul combinat trebuie să conțină cel puțin  $b_1, b_2, \dots, b_m$  unități specifice din fiecare. Să presupunem cunoscute următoarele:

- cantitatea  $a_{ij}$  din principiul nutritiv  $N_i$  conținută într-o unitate din tipul de hrană  $F_j$ ;
- prețul unitar  $c_i$  al tipului de hrană  $F_i$ .

Notăm cu  $x_1, x_2, \dots, x_n$  cantitățile din felurile de hrană  $F_1, F_2, \dots, F_n$  care trebuie cumpărate în vederea elaborării dietei. Formal,  $x_1, x_2, \dots, x_n$  vor trebui determinate astfel încât:

- **costul total**  $f = c_1x_1 + c_2x_2 + \dots + c_nx_n$  al alimentelor cumpărate să fie minim.
- amestecul să conțină principiile nutritive  $N_1, N_2, \dots, N_m$  în cantități cel puțin egale cu  $b_1, b_2, \dots, b_m$ , adică:

[illegible]

Din nou au fost tacit utilizate ipotezele de liniaritate întâlnite și în modelul precedent.

#### 4.1.2 Soluții admisibile ale unei probleme de programare liniară

Considerăm o problemă de programare liniară (P) cu  $m$  restricții egalități și/sau inegalități nestrictе,  $n$  variabile și cu funcția obiectiv  $f$ . Un ansamblu de  $n$  valori numerice care satisfac restricțiile se va numi **Soluție** a programului (P). Dacă în plus sunt verificate și condițiile de nenegativitate, ansamblul se numește **Soluție Admisibilă**. O soluție admisibilă care maximizează sau minimizează - după caz - funcția obiectiv se va numi **Soluție optimă**. Notând cu  $\mathcal{A}$  mulțimea soluțiilor admisibile, problema (P) se scrie:

Să se determine  $x^* \in \mathcal{A}$  cu proprietatea:  $f(x^*) = \max_{x \in \mathcal{A}} f(x)$  sau  $\min_{x \in \mathcal{A}} f(x)$

Este posibil ca (P) să aibă soluții dar nici una din ele să fie admisibilă:  $\mathcal{A} = \emptyset$ . Spunem în acest caz că problema (P) este *incompatibilă*. Chiar dacă  $\mathcal{A} \neq \emptyset$ , este posibil ca funcția obiectiv să fie nemărginită pe  $\mathcal{A}$ , adică să existe un șir de soluții admisibile de-a lungul căruia funcția obiectiv să tindă spre  $+\infty$  sau  $-\infty$ , după caz. În această situație vom spune că (P) are *optim infinit*. Dacă (P) are (cel puțin) o soluție optimă, zicem că (P) are *optim finit*.

Deoarece eventualele restricții inegalități sunt *nestricte* mulțimea  $\mathcal{A}$  este *închisă* (în topologia uzuală a spațiului  $\mathbb{R}^n$ ), adică *o dată cu un șir convergent de puncte conține și limita acestuia*. Această proprietate este esențială pentru existența unei soluții optime a problemei (P)! Conform unui rezultat clasic al analizei matematice, dacă  $\mathcal{A}$  este *mărginită*, atunci  $f$  își atinge efectiv extremele pe  $\mathcal{A}$ , și deci (P) are *optim finit*. În consecință, dacă (P) are *optim infinit*, cu siguranță  $\mathcal{A}$  este *nemărginită*. Reciproca nu este în general adevărată: este posibil ca  $\mathcal{A}$  să fie nemărginită și totuși (P) să aibă optim finit.

### 4.1.3 Forma canonică a unei probleme de programare liniară

O restricție a unei probleme (P) de programare liniară se zice *concordantă* dacă este o *inegalitate* de tipul " $\leq$ " când funcția obiectiv se maximizează și de tipul " $\geq$ " când funcția obiectiv se minimizează. O restricție *inegalitate* care nu este concordantă se va numi *neconcordantă*. Restricțiile egalități nu fac obiectul acestei clasificări.

Spunem că o problemă de programare liniară este în *formă canonică* dacă toate restricțiile ei sunt *inegalități concordante*.

În consecință, o problemă în formă *canonică de maximizare* arată astfel:

$$\left\{ \begin{array}{l} \sum_{j=1}^n a_{ij} x_j \leq b_i \quad i = 1, \dots, m \\ x_j \geq 0 \quad j = 1, \dots, n \\ (\max) f = \sum_{j=1}^n c_j x_j \end{array} \right. \quad \text{sau matricial} \quad \left\{ \begin{array}{l} Ax \leq b \\ x \geq 0 \\ (\max) f = cx \end{array} \right. \quad \text{unde:}$$

$$A = \begin{bmatrix} a_{11} & a_{12} & \cdots & a_{1n} \\ a_{21} & a_{22} & \cdots & a_{2n} \\ \vdots & \vdots & \cdots & \vdots \\ a_{m1} & a_{m2} & \cdots & a_{mn} \end{bmatrix} \quad b = \begin{bmatrix} b_1 \\ b_2 \\ \vdots \\ b_m \end{bmatrix} \quad x = \begin{bmatrix} x_1 \\ x_2 \\ \vdots \\ x_n \end{bmatrix} \quad c = [c_1 \quad c_2 \quad \cdots \quad c_n]$$

O problemă în formă *canonică de minimizare* se va scrie:

$$\left\{ \begin{array}{l} \sum_{j=1}^n a_{ij} x_j \geq b_i \\ x_j \geq 0 \\ (\min) f = \sum_{j=1}^n c_j x_j \end{array} \right. \quad \Leftrightarrow \quad \left\{ \begin{array}{l} Ax \geq b \\ x \geq 0 \\ (\min) f = cx \end{array} \right.$$

De exemplu, problema firmei (1.1, exemplul 1)) este o formă canonică de maximizare în timp ce problema dietei (1.1, exemplul 2)) este o formă canonică de minimizare.

Orice problemă de programare liniară se poate pune sub o formă canonică de maximizare sau minimizare, fără modificarea mulțimii soluțiilor admisibile, observând că:

- o egalitate se poate înlocui cu două inegalități de sens contrar;
- o restricție neconcordanță devine concordanță prin înmulțire cu -1;
- putem schimba sensul optimizării funcției obiectiv, grație formulei generale:

$$\min_{x \in \mathcal{A}} f(x) = - \max_{x \in \mathcal{A}} [-f(x)] \quad (1.3.1)$$

În consecință, putem face anumite raționamente teoretice pe o formă canonică (ca de exemplu în teoria dualității liniare), fără ca prin aceasta să restrângem generalitatea.

### Exemplul 1.3.1

$$\left\{ \begin{array}{l} (\max) f = 2x_1 - 3x_2 + 4x_3 \\ x_1 - 3x_2 + 5x_3 = 3 \\ 3x_1 + x_2 \geq 5 \\ 2x_1 + x_3 \leq 10 \\ x_1 \geq 0, x_2 \geq 0, x_3 \geq 0 \end{array} \right.$$

Programul (P)

$\Rightarrow$

$$\left\{ \begin{array}{l} (\min)(-f) = -2x_1 + 3x_2 - 4x_3 \\ x_1 - 3x_2 + 5x_3 \geq 3 \\ -x_1 + 3x_2 - 5x_3 \geq -3 \\ 3x_1 + x_2 \geq 5 \\ -2x_1 - x_3 \geq -10 \\ x_1 \geq 0, x_2 \geq 0, x_3 \geq 0 \end{array} \right.$$

Forma canonică de minimizare a programului (P)

### 4.1.4 Forma standard a unei probleme de programare liniară

Spunem că o problemă de programare liniară este în *formă standard* dacă toate restricțiile ei sunt *egalități*. Importanța acestei forme particulare rezultă din faptul că metoda de rezolvare a problemelor de programare liniară care va fi expusă mai departe cere ca problema să fie în această prezentare.

În consecință, o problemă (P) care are și restricții inegalități va fi înlocuită - în vederea rezolvării ei - cu o alta în care toate restricțiile sunt egalități. Noua problemă, numită *forma standard a problemei* (P) și notată (FSP), se construiește astfel:

- O restricție inegalitate din problema originală (P) de tipul " $\leq$ " (respectiv de tipul " $\geq$ ") se transformă în egalitate prin adăugarea (respectiv prin scăderea) unei variabile nenegative din membrul său stâng. Aceste variabile se numesc **variabile de abatere** sau **de ecart**.

- Restricțiile egalități nu se modifică.

- Noile variabile introduse nu apar în funcția obiectiv a problemei originale (alternativ, spunem că ele apar cu coeficienți nuli)

### Exemplul 1.4.1

$$(P) \left\{ \begin{array}{l} (\max) f = 7x_1 + 9x_2 + 8x_3 \\ 5x_1 + 2x_2 - x_3 \geq 4 \\ 3x_1 + x_2 + x_3 = 5 \\ x_1 + 2x_2 + 3x_3 \leq 9 \\ x_1 \geq 0, x_2 \geq 0, x_3 \geq 0 \end{array} \right. \Rightarrow (FSP) \left\{ \begin{array}{l} (\max) f = 7x_1 + 9x_2 + 8x_3 \\ 5x_1 + 2x_2 - x_3 - x_4 = 4 \\ 3x_1 + x_2 + x_3 = 5 \\ x_1 + 2x_2 + 3x_3 + x_5 = 9 \\ x_j \geq 0, j = 1, \dots, 5 \end{array} \right.$$

Problema care apare în acest context este aceea de a explica modul în care se obține soluția optimă a problemei (P) dacă se cunoaște soluția optimă a formei sale standard (FSP). Se poate arăta ușor că între mulțimile de soluții admisibile  $\mathcal{A}_P$ , ale problemei (P) și  $\mathcal{A}_{FSP}$ , ale problemei (FSP), există

o *corespondență bijectivă care conservă soluțiile optime*. Vom arăta cum funcționează această corespondență pe exemplul precedent.

Notând-o cu  $\Phi$ , aceasta corespondență va asocia unei soluții admisibile  $\bar{x} = (\bar{x}_1, \bar{x}_2, \bar{x}_3)$  a problemei (P) vectorul:

$$\Phi(\bar{x}) = (\bar{x}_1, \bar{x}_2, \bar{x}_3, 5\bar{x}_1 + 2\bar{x}_2 - \bar{x}_3 - 4, 9 - \bar{x}_1 - 2\bar{x}_2 - 3\bar{x}_3)$$

care prin construcție se dovedește a fi o soluție admisibilă a problemei (FSP). Reciproc, unei soluții admisibile  $\tilde{x} = (\tilde{x}_1, \tilde{x}_2, \tilde{x}_3, \tilde{x}_4, \tilde{x}_5)$  a problemei (FSP) corespondența inversă  $\Phi^{-1}$  îi asociază vectorul  $(\tilde{x}_1, \tilde{x}_2, \tilde{x}_3)$  care satisface în mod clar restricțiile problemei originale (P). Dacă  $\bar{x}$  este soluția optimă a problemei (P) atunci  $\Phi(\bar{x})$  este soluția optimă a problemei (FSP) și reciproc, dacă cunoaștem soluția optimă  $\tilde{x}$  a problemei (FSP),  $\Phi^{-1}(\tilde{x})$  reprezintă soluția optimă a problemei (P).

În problemele concrete, variabilele de abatere au interpretări economice precise așa că în analiza soluției optime valorile lor vor fi luate în considerare laolaltă cu valorile variabilelor originale. Astfel, în problema firmei (1.1, exemplul 1)) variabilele de abatere  $x_{n+1}, x_{n+2}, \dots, x_{n+m}$  definite prin:

$$x_{n+i} = b_i - \sum_{j=1}^n a_{ij} x_j \quad i = 1, \dots, m$$

reprezintă **cantități de resurse neconsumate** și prin urmare cunoașterea valorilor lor în soluția optimă oferă indicații utile în analiza modului în care sunt utilizate resursele firmei: materii prime, capacități de producție, forță de muncă, etc.

În problema dietei (1.1, exemplul 2)) variabilele de abatere:

$$x_{n+i} = \sum_{j=1}^n a_{ij} x_j - b_i \quad i = 1, \dots, m$$

reprezintă **cantitățile de principii nutritive cu care sunt depășite** nivelele minimale specificate în rețetă.

#### 4.1.5 Rezolvarea grafică a problemelor de programare liniară

Să considerăm problema:

$$\begin{cases} (\max) f = 3x_1 + 4x_2 \\ -3x_1 + 4x_2 \leq 12 \\ x_1 + x_2 \leq 6 \\ -2x_1 + x_2 \leq 2 \\ x_1 \geq 0, x_2 \geq 0 \end{cases}$$

Identificăm  $x_1, x_2$  cu abscisa, respectiv ordonata unui punct din planul raportat la un sistem ortogonal de axe. Este cunoscut faptul că mulțimea punctelor din plan ale căror coordonate satisfac prima restricție coincide cu unul din semiplanele determinate de dreapta  $d_1$  de ecuație  $-3x_1 + 4x_2 = 12$ . Mai precis, este vorba de semiplanul care conține originea (0,0), deoarece coordonatele acesteia satisfac evident prima restricție. În mod analog, următoarele restricții sunt verificate în semiplanele determinate de dreapta  $d_2$  de ecuație  $x_1 + x_2 = 6$  și respectiv  $d_3$  de ecuație  $-2x_1 + x_2 = 2$  și care conțin originea. În fine, condiția  $x_1 \geq 0$  are loc în semiplanul “din dreapta” axei verticale, în timp ce condiția  $x_2 \geq 0$  are loc “deasupra” axei orizontale.

Soluțiile admisibile ale problemei se identifică cu punctele comune celor cinci semiplane. Acestea formează interiorul și frontiera poligonului OABCD din figura 1.5.1.

Funcția obiectiv determină – pentru  $f$  variabil – o mulțime de drepte paralele care intersectează sau nu mulțimea  $\mathcal{A}$ . Astfel punctele situate pe dreapta  $3x_1 + 4x_2 = 12$  reprezintă diferite combinații ale

mărimilor  $x_1, x_2$  care dau funcției obiectiv  $f$  aceeași valoare 12. Întrucât această dreaptă taie  $\mathcal{A}$ , rezultă că problema are soluții admisibile - chiar o infinitate - care oferă funcției obiectiv valoarea 12. Dreapta  $3x_1 + 4x_2 = 24$  nu mai taie  $\mathcal{A}$  și deci nici o soluție admisibilă a problemei nu este capabilă să asigure funcției obiectiv valoarea 24. Conchidem că maximul funcției  $f$  este “unde” între 12 și 24. Se observă ușor că acest maxim se atinge în vârful C al frontierei lui  $\mathcal{A}$ . Punctul C este intersecția dreptelor  $d_1$  și  $d_2$  și deci coordonatele sale, care reprezintă soluția optimă a problemei, se determină rezolvând sistemul format din ecuațiile celor două drepte. Se găsește în acest fel  $x_1^* = \frac{12}{7}$ ,  $x_2^* = \frac{30}{7}$  maximul lui  $f$  fiind  $22\frac{2}{7}$ . Soluția optimă satisface cu egalitate primele două restricții și cu inegalitate strictă pe cea de a treia.

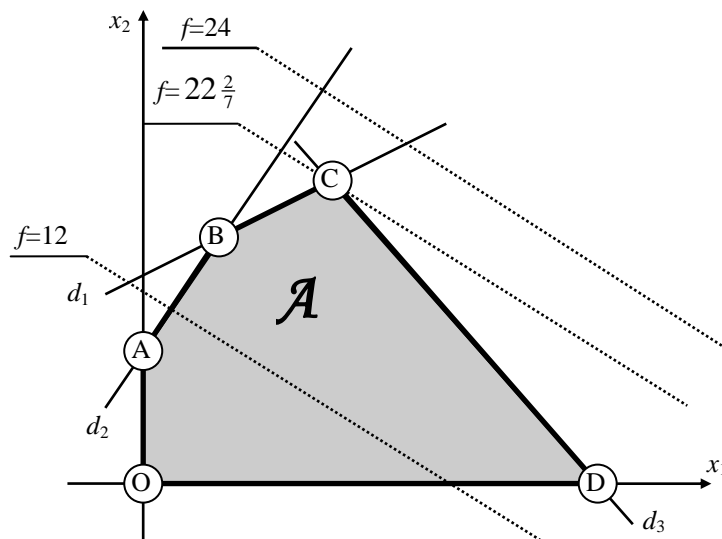


Figura 1.5.1

În mod asemănător se arată că dacă funcția de maximizat ar fi fost  $f = -x_1 + x_2$  atunci optimul ar fi fost atins în vârful B de coordonate  $x_1 = 4/5$ ,  $x_2 = 18/5$ .

Examinând acest exemplu putem trage următoarele **concluzii**:

1. Mulțimea  $\mathcal{A}$  este **convexă**, adică o dată cu două puncte conține și segmentul care le unește. O consecință intuitivă a acestei proprietăți este că soluția optimă, dacă există, se găsește “unde” pe frontiera lui  $\mathcal{A}$ .

2. Frontiera lui  $\mathcal{A}$  este un contur poligonal cu un **număr finit de vârfuri** și o soluție optimă se găsește neapărat într-unul din ele.

Aceste concluzii, care se confirmă pe orice altă problemă în două sau trei variabile (mulțimea soluțiilor admisibile putând fi “vizualizată” în planul  $\mathbb{R}^2$  sau spațiul  $\mathbb{R}^3$ ) au constituit sursa întregii teorii a programării liniare.

## 4.2. Dualitatea în programarea liniară

În principiu, oricărei probleme de programare liniară i se asociază o alta, numită **duala** sa și în esență *teoria dualității* constă în studiul relațiilor dintre cele două probleme. Firește, construcția problemei duale depinde nemijlocit de structura problemei inițiale denumită și problema **primală**. Întotdeauna sensul optimizării în cele două probleme este diferit: dacă în primală funcția obiectiv se maximizează (minimizează) în duală funcția obiectiv se minimizează (maximizează). Studiul și interpretarea economică a problemei duale aduc informații suplimentare în analiza proceselor economice și în fundamentarea deciziilor.

### 4.2.1 Reguli de construire a problemei duale

Pentru a conferi construcției problemei duale maxima generalitate vom slăbi condiția de nenegativitate impusă tuturor variabilelor, admitând că unele din ele nu pot lua decât valori nepozitive ( $\leq 0$ ) în timp ce altele pot lua orice valoare reală.

Cu această observație duala unei probleme de programare liniară cu  $m$  restricții și  $n$  variabile se construiește după următoarele reguli:

1) Dacă în primală funcția obiectiv se maximizează (respectiv se minimizează) în problema duală funcția obiectiv se minimizează (respectiv se maximizează).

2) Restricției de rang  $i$ ,  $i=1,...,m$  din primală îi corespunde în duală o variabilă  $u_i$ ; dacă restricția primală este o inegalitate concordantă (respectiv neconcordantă, respectiv o egalitate) variabila duală asociată este nenegativă ( $\geq 0$ ), (respectiv nepozitivă ( $\leq 0$ ), respectiv fără restricție de semn).

3) Variabilei  $x_j$ ,  $j=1,...,n$  din problema primală îi corespunde în duală restricția de rang  $j$ . Membrul stâng al acestei restricții este o combinație liniară a variabilelor duale  $u_i$  realizată cu coeficienții variabilei  $x_j$  din toate restricțiile primale (aceștia sunt  $a_{ij}$ ,  $i=1,...,m$ ). Termenul său liber este coeficientul  $c_j$  al lui  $x_j$  din funcția obiectiv primală. În fine, dacă variabila primală  $x_j$  este nenegativă (respectiv nepozitivă, respectiv fără restricție de semn) restricția duală asociată va fi o inegalitate concordantă (respectiv neconcordantă, respectiv o egalitate).

4) Coeficienții funcției obiectiv ai problemei duale sunt termenii liberi  $b_i$  ai restricțiilor problemei primale.

#### Exemplul 2.1.1

Problema primală		Problema duală
$3x_1 - 2x_2 + x_3 + 4x_4 - x_5 \leq 6$	$\longleftrightarrow$	$u_1 \geq 0$
$2x_1 + 2x_3 + 5x_4 + x_5 = 9$	$\longleftrightarrow$	$u_2 \text{ f.r.s.}$
$x_1 + 6x_2 + x_3 + 2x_4 \geq 3$	$\longleftrightarrow$	$u_3 \leq 0$
$x_1 \geq 0$	$\longleftrightarrow$	$3u_1 + 2u_2 + u_3 \geq 8$
$x_2 \geq 0$	$\longleftrightarrow$	$-2u_1 + 6u_3 \geq 3$
$x_3 \text{ f.r.s.}$	$\longleftrightarrow$	$u_1 + 2u_2 + u_3 = 1$
$x_4 \text{ f.r.s.}$	$\longleftrightarrow$	$4u_1 + 5u_2 + 2u_3 = 5$
$x_5 \leq 0$	$\longleftrightarrow$	$-u_1 + u_2 \leq 7$
$\max f = 8x_1 + 3x_2 + x_3 + 5x_4 + 7x_5$		$\min g(u) = 6u_1 + 9u_2 + 3u_3$

**Observații:** 1) Problema duală are atâtea variabile (respectiv restricții) câte restricții (respectiv variabile) are problema primală.



2) Regulile 1) - 4) pun în evidență următoarele corespondențe de termeni prin trecere la duală:

min	↔	max
(restricție) concordantă	↔	(variabilă) nenegativă
(restricție) neconcordantă	↔	(variabilă) nepozitivă
(restricție) egalitate	↔	(variabilă) fără restricție de semn
termen liber al unei restricții	↔	coeficient al funcției obiectiv

3) Din construcția de mai sus rezultă următoarea concluzie:

***Duala dualei este problema primală.***

Spunem că dualitatea în programarea liniară are un caracter *involutiv*.

În consecință, fiind dată o problemă de programare liniară (P) și duala sa (Q), vom vorbi despre *cuplul de probleme în dualitate* (P,Q), fără a mai specifica în mod expres care din probleme este primala și care duala.

#### 4.2.2. Dualele unor forme particulare de probleme de programare liniară

1) *Duala unei forme canonice de maximizare este o formă canonică de minimizare și reciproc.*

$$\left\{ \begin{array}{ll} a_{11}x_1 + a_{12}x_2 + \dots + a_{1n}x_n \leq b_1 & u_1 \geq 0 \\ a_{21}x_1 + a_{22}x_2 + \dots + a_{2n}x_n \leq b_2 & u_2 \geq 0 \\ \dots\dots\dots & \dots\dots\dots \\ a_{m1}x_1 + a_{m2}x_2 + \dots + a_{mn}x_n \leq b_m & u_m \geq 0 \\ x_1 \geq 0 & a_{11}u_1 + a_{21}u_2 + \dots + a_{m1}u_m \geq c_1 \\ x_2 \geq 0 & a_{12}u_1 + a_{22}u_2 + \dots + a_{m2}u_m \geq c_2 \\ \vdots & \dots\dots\dots \\ x_n \geq 0 & a_{1n}u_1 + a_{2n}u_2 + \dots + a_{mn}u_m \geq c_n \\ \max f = c_1x_1 + c_2x_2 + \dots + c_nx_n & \min g = b_1u_1 + b_2u_2 + \dots + b_mu_m \end{array} \right\}$$

Cu notațiile matriciale introduse în (1.3) la care se adaugă:  $u = [u_1, u_2, \dots, u_m]$ , cuplul format din cele două probleme de mai sus devine:

$$(P) \begin{cases} Ax \leq b \\ x \geq 0 \\ \max f(x) = cx \end{cases} \quad (Q) \begin{cases} uA \geq c \\ u \geq 0 \\ \min g(u) = ub \end{cases}$$

2) *Conservarea formei de prezentare se pierde atunci când se consideră duala unei probleme în formă standard.*

$$\left\{ \begin{array}{ll} \sum_{j=1}^n a_{ij}x_j = b_i & i = 1, \dots, m \quad \leftrightarrow \quad u_i \text{ f.r.s. } i = 1, \dots, m \\ x_j \geq 0 & j = 1, \dots, n \quad \leftrightarrow \quad \sum_{i=1}^m a_{ij}u_i \geq c_j \quad j = 1, \dots, n \\ \max f = \sum_{j=1}^n c_j x_j & \min g = \sum_{i=1}^m b_i u_i \end{array} \right\}$$

sau matricial:

$$(P) \begin{cases} Ax = b \\ x \geq 0 \\ \max f(x) = cx \end{cases} \quad (Q) \begin{cases} uA \geq c \\ u \in R^m (f.r.s.) \\ \min g(u) = ub \end{cases}$$

(f.r.s. ≡ fără restricție de semn!)

În mod analog se construiește duala formei standard în care funcția obiectiv se minimizează:

$$(P) \begin{cases} Ax = b \\ x \geq 0 \\ \min f(x) = cx \end{cases} \quad (Q) \begin{cases} uA \leq c \\ u \text{ f.r.s.} \\ \max g(u) = ub \end{cases}$$

**Observație:** De reținut este faptul că *dualele a două probleme de programare liniară echivalente sunt ele însele echivalente* adică au aceeași mulțime de soluții admisibile și aceleași soluții optime.

#### 4.2.3. Teoreme de dualitate

Cu notațiile matriciale din (2.2) să considerăm cuplul de probleme în dualitate în formă canonică:

$$(P) \begin{cases} (\max) f(x) = cx \\ Ax \leq b \\ x \geq 0 \end{cases} \quad (Q) \begin{cases} (\min) g(u) = ub \\ uA \geq c \\ u \geq 0 \end{cases}$$

**Teorema 2.3.1** Fie  $\bar{x} = [\bar{x}_1, \bar{x}_2, \dots, \bar{x}_n]^T$  o soluție admisibilă a problemei (P) și  $\bar{u} = [\bar{u}_1, \bar{u}_2, \dots, \bar{u}_m]$  o soluție admisibilă a problemei (Q). Atunci:

- 1)  $f(\bar{x}) \leq g(\bar{u})$
- 2) Dacă  $f(\bar{x}) = g(\bar{u})$  atunci  $\bar{x}$  este o soluție optimă a problemei (P) iar  $\bar{u}$  este o soluție optimă a problemei (Q).

**Demonstrație:** 1) Prin ipoteză  $A\bar{x} \leq b$ ,  $\bar{x} \geq 0$  și  $\bar{u}A \geq c$ ,  $\bar{u} \geq 0$ . Deducem că  $\bar{u}A\bar{x} \leq \bar{u}b$  și  $\bar{u}A\bar{x} \geq c\bar{x}$  (nenegativitatea vectorilor  $\bar{x}$  și  $\bar{u}$  este esențială!) de unde:

$$f(\bar{x}) = c\bar{x} \leq \bar{u}A\bar{x} \leq \bar{u}b = g(\bar{u})$$

2) Dacă  $f(\bar{x}) = g(\bar{u})$  și dacă  $\bar{x}$  nu ar fi soluție optimă a problemei (P) ar exista o soluție admisibilă  $\bar{x}'$  mai bună, adică  $f(\bar{x}') > f(\bar{x})$ . Rezultă inegalitatea  $f(\bar{x}') > g(\bar{u})$  contrară celor demonstrate la punctul precedent. ■

Clasificarea cuplurilor de probleme de programare liniară în dualitate este făcută de următoarea teoremă:

**Teorema 2.3.2 (Teorema fundamentală a dualității)** Pentru un cuplu de probleme în dualitate una și numai una din următoarele situații este posibilă:

- 1) Ambele probleme au soluții admisibile; atunci ambele au soluții optime și valorile optime ale funcțiilor obiectiv coincid:  $f(\bar{x}) = g(\bar{u})$ .
- 2) Numai una din probleme are soluții admisibile, iar cealaltă nu are; atunci problema compatibilă are optim infinit.
- 3) Nici una din probleme nu are soluții admisibile.

Simetria teoremei 2.3.2 nu constituie totuși un răspuns pentru reciproca teoremei 2.3.1. Specificăm acest lucru în mod expres pentru că în programarea neliniară el nu are loc.

**Teorema 2.3.3** *Dacă una din problemele unui cuplu de probleme în dualitate are soluție optimă atunci și cealaltă are și valorile optime ale funcțiilor obiectiv coincid.*

Nu dăm demonstrația teoremei 2.3.2 deoarece pregătirile necesare depășesc cadrul impus acestui curs. Vom demonstra însă teorema 2.3.3 după ce vom prezenta metoda generală de rezolvare a problemelor de programare liniară.

**Teorema 2.3.4 (Teorema ecarturilor complementare - TEC)** *Fie  $(P, Q)$  un cuplu de probleme canonice în dualitate:*

$$(P) \begin{cases} Ax \leq b \\ x \geq 0 \\ \max f(x) = cx \end{cases} \quad (Q) \begin{cases} uA \geq c \\ u \geq 0 \\ \min g(u) = ub \end{cases}$$

*Un cuplu de soluții admisibile  $(\bar{x}, \bar{u})$  este un cuplu de soluții optime dacă și numai dacă:*

$$\begin{cases} (\bar{u}A - c)\bar{x} = 0 \\ \bar{u}(b - A\bar{x}) = 0 \end{cases} \quad (2.3.1)$$

**Demonstrație:** Să presupunem relațiile (2.3.1) verificate de cuplul  $(\bar{x}, \bar{u})$ :

$$\begin{cases} \bar{u}A\bar{x} - c\bar{x} = 0 \\ \bar{u}b - \bar{u}A\bar{x} = 0 \end{cases} \Rightarrow c\bar{x} = \bar{u}b \Rightarrow (\bar{x}, \bar{u}) \text{ este un cuplu de soluții optime în virtutea teoremei}$$

2.3.1. Reciproc, să presupunem că  $(\bar{x}, \bar{u})$  constituie un cuplu de soluții optime. Atunci  $c\bar{x} = \bar{u}b$  în virtutea teoremei fundamentale a dualității și prin urmare:

$$(\bar{u}A - c)\bar{x} + \bar{u}(b - A\bar{x}) = 0$$

Deoarece  $\bar{x}, \bar{u}$  sunt soluții admisibile avem:  $(\bar{u}A - c)\bar{x} \geq 0$ ,  $\bar{u}(b - A\bar{x}) \geq 0$  și deci  $(\bar{u}A - c)\bar{x} = 0$ ,  $\bar{u}(b - A\bar{x}) = 0$  relații care arată că  $\bar{x}, \bar{u}$  verifică (2.3.1). ■

În notațiile secțiunii (2.2) relațiile matriciale (2.3.1) se pot scrie:

$$\sum_{j=1}^n \left( \sum_{i=1}^m a_{ij} u_i - c_j \right) x_j = 0$$

$$\sum_{i=1}^m u_i \left( b_i - \sum_{j=1}^n a_{ij} x_j \right) = 0$$

Aceste relații sunt echivalente cu:

$$\left( \sum_{i=1}^m a_{ij} u_i - c_j \right) x_j = 0 \quad j = 1, \dots, n$$

$$u_i \left( b_i - \sum_{j=1}^n a_{ij} x_j \right) = 0 \quad i = 1, \dots, m$$

Verificarea acestor egalități de către un cuplu de soluții admisibile  $\bar{x} = [\bar{x}_1, \bar{x}_2, \dots, \bar{x}_n]^T$  și  $\bar{u} = [\bar{u}_1, \bar{u}_2, \dots, \bar{u}_m]$  reprezintă deci o condiție necesară și suficientă de optimalitate.

Pe lângă formularea precedentă, teorema 2.3.4. mai are următoarea interpretare:

*Cuplul  $(\bar{x}, \bar{u})$  de soluții admisibile este un cuplu de soluții optime dacă și numai dacă verifică seturile de implicații:*

$$\left\{ \begin{array}{l} \bar{x}_j > 0 \Rightarrow \sum_{i=1}^m a_{ij} \bar{u}_i = c_j \\ \sum_{j=1}^n a_{ij} \bar{u}_i < b_i \Rightarrow \bar{u}_i = 0 \end{array} \right. \quad \left\{ \begin{array}{l} \bar{u}_i > 0 \Rightarrow \sum_{j=1}^n a_{ij} \bar{x}_j = b_i \\ \sum_{i=1}^m a_{ij} \bar{u}_i > c_j \Rightarrow \bar{x}_j = 0 \end{array} \right.$$

**Observație.** Deși prezentată pe un cuplu de probleme canonice, teorema 2.3.4. este valabilă pentru orice cuplu de probleme în dualitate. Astfel pentru cuplul:

$$\left\{ \begin{array}{l} \max f = cx \\ Ax = b \\ x \geq 0 \end{array} \right. \quad \left\{ \begin{array}{l} \min g = ub \\ uA \geq c \\ u \text{ f.r.s.} \end{array} \right.$$

ele se reduc la:  $(uA - c)x = 0 \Leftrightarrow \left( \sum_{i=1}^m a_{ij} u_i - c_j \right) u_j = 0 \quad j = 1, \dots, n.$

Și mai concret, considerăm cuplul din:

### Exemplul 2.3.1

$$(P) \left\{ \begin{array}{l} \min f = 5x_1 - 2x_2 - x_3 \\ 6x_1 + 2x_2 - 3x_3 \leq 6 \\ x_1 + 3x_2 + 2x_3 = 12 \\ 2x_1 - x_2 + 4x_3 \geq 4 \\ x_1, x_2, x_3 \geq 0 \end{array} \right. \quad (Q) \left\{ \begin{array}{l} \max g = 6u_1 + 12u_2 + 4u_3 \\ 6u_1 + u_2 + 2u_3 \leq 5 \\ 2u_1 + 3u_2 - u_3 \leq -2 \\ -3u_1 + 2u_2 + 4u_3 \leq -1 \\ u_1 \leq 0, u_2 \text{ f.r.s.}, u_3 \geq 0 \end{array} \right.$$

Conform TEC, condiția necesară și suficientă pentru ca două soluții admisibile ale celor două probleme:

$$\bar{x} = (\bar{x}_1, \bar{x}_2, \bar{x}_3)^T \text{ și } \bar{u} = (\bar{u}_1, \bar{u}_2, \bar{u}_3)$$

să fie optime este satisfacerea relațiilor:

$$(5 - 6u_1 - u_2 - 2u_3)x_1 = 0 \quad (1)$$

$$(-2 - 2u_1 - 3u_2 + u_3)x_2 = 0 \quad (2)$$

$$(-1 + 3u_1 - 2u_2 - 4u_3)x_3 = 0 \quad (3)$$

$$(6 - 6x_1 - 2x_2 + 3x_3)u_1 = 0 \quad (4)$$

$$(2x_1 - x_2 + 4x_3 - 4)u_3 = 0 \quad (5)$$

O consecință importantă a TEC este faptul că rezolvarea unei probleme de programare liniară este echivalentă cu rezolvarea dualei sale în sensul că dacă se cunoaște soluția optimă a uneia din ele putem deduce relativ simplu soluția optimă a celeilalte. Pentru ilustrare vom determina soluția optimă a problemei (P) din exemplul precedent știind că duala (Q) are soluția optimă  $u^*$  de componente:  $u_1^* = 0, u_2^* = -\frac{9}{14}, u_3^* = \frac{1}{14}.$

Înlocuind  $u^*$  în (1) - (5) se constată că relațiile (2),(3),(4) sunt satisfăcute de orice valori numerice acordate variabilelor  $x_1, x_2, x_3$ . În schimb din (1) și (5) obținem relațiile:  $x_1=0$  și  $2x_1 - x_2 + 4x_3 - 4 = 0$  care împreună cu restricția egalitate din (P) constituie un sistem liniar:

$$\left\{ \begin{array}{l} x_1 = 0 \\ 2x_1 - x_2 + 4x_3 = 4 \\ x_1 + 3x_2 + 2x_3 = 12 \end{array} \right.$$

Rezolvând sistemul, obținem soluția optimă a problemei (P):

$$x_1^* = 0, \quad x_2^* = \frac{20}{7}, \quad x_3^* = \frac{12}{7} \quad f_{\max} = f(x^*) = -\frac{52}{7} = g(u^*) = g_{\min}$$

Echivalența amintită mai înainte este folositoare în rezolvarea efectivă a problemelor de programare liniară știut fiind că efortul de calcul este relativ mai mic dacă numărul restricțiilor este





Reamintim că în baza TEC soluțiile optime  $x^*$ ,  $u^*$  al problemelor (P) și (Q) satisfac relațiile:

$$x_j^* > 0 \Rightarrow a_{1j}u_1^* + a_{2j}u_2^* + \dots + a_{mj}u_m^* = c_j \quad (2.4.5)$$

$$a_{i1}x_1^* + a_{i2}x_2^* + \dots + a_{in}x_n^* < b_i \Rightarrow u_i^* = 0 \quad (2.4.5')$$

$$u_i^* > 0 \Rightarrow a_{i1}x_1^* + a_{i2}x_2^* + \dots + a_{in}x_n^* = b_i \quad (2.4.6)$$

$$a_{1j}u_1^* + a_{2j}u_2^* + \dots + a_{mj}u_m^* > c_j \Rightarrow x_j^* = 0 \quad (2.4.6')$$

- (2.4.5) arată că dacă bunul  $G_j$  intră în combinația optimă atunci prețul său este egal cu partea din venitul maxim al firmei corespunzătoare resurselor încorporate într-o unitate din el.
- (2.4.5') arată că dacă o resursă nu este prevăzută a se consuma în întregime - spunem că este *excedentară* - prețul său dual este 0. Această concluzie reprezintă versiunea liniară a legii cererii și ofertei - prețul unei mărfi pentru care oferta este mai mare decât cererea trebuie să scadă.
- (2.4.6) arată că o resursă cu preț dual semnificativ trebuie consumată în întregime; creșterea cu o unitate a disponibilului aducând o creștere a venitului maxim conform (2.4.4).
- (2.4.6') arată că dacă pentru un bun valoarea resurselor încorporate într-o unitate - valoare măsurată în prețurile duale optime - depășește prețul său atunci acesta nu intră în combinația optimală. Diferența  $\sum_{i=1}^m a_{ij}u_i^* - c_j$  reprezintă *pierderea potențială* de venit pe care firma o va înregistra dacă totuși decide realizarea unei unități din bunul  $j$ .

Condițiile (2.4.5), (2.4.5'), (2.4.6), (2.4.6') date de TEC se mai numesc și **condiții de echilibru** de unde și numele de **prețuri de echilibru** dat uneori prețurilor duale optime.

### 4.3. Structura mulțimii soluțiilor admisibile ale unei probleme de programare liniară

În această secțiune ne vom opri asupra principalelor proprietăți geometrice pe care le posedă mulțimea soluțiilor unui sistem de ecuații și inecuații liniare. Aceste proprietăți sunt determinante în înțelegerea mecanismului metodei simplex de rezolvare a programelor liniare.

Parcursul acestei secțiuni necesită câteva rudimente de calcul matricial și algebră liniară. Vectorii cu care se va opera vor fi subînțeleși, după caz, fie linii fie coloane. De regulă, scrierea în text a unui vector se va face în linie ca de exemplu  $v = (a_1, a_2, \dots, a_m)$ ; dacă este necesar ca  $v$  să fie considerat vector coloană se va folosi operatorul de transpunere:  $v = (a_1, a_2, \dots, a_m)^T$ .

#### 4.3.1 Câteva elemente de analiză convexă liniară

Fiind date două puncte  $x, y \in R^n$  mulțimea:

$$[x, y] = \{z = (1 - \alpha)x + \alpha y, 0 \leq \alpha \leq 1\}$$

se numește **segment** (închis) cu extremitățile  $x$  și  $y$ . Se știe că în  $R^2$  sau în  $R^3$  acest concept se suprapune peste conceptul geometric uzual. Pentru  $\alpha = 0$ , respectiv  $\alpha = 1$ , avem  $z \equiv x$ , respectiv  $z \equiv y$ . Punctele  $z = (1 - \alpha)x + \alpha y$  corespunzătoare valorilor  $\alpha \in (0, 1)$  se numesc puncte *interioare* ale segmentului  $[x, y]$ . Pentru  $\alpha = \frac{1}{2}$  găsim  $z = \frac{1}{2}(x + y) \equiv$  mijlocul segmentului  $[x, y]$ .

O mulțime  $X \subseteq R^n$  se zice **convexă** dacă o dată cu două puncte conține și segmentul care le unește.

Formal :

$$X \text{ convexă} \Leftrightarrow (\forall) x, y \in X, (\forall) \alpha \in [0,1], z = (1-\alpha)x + \alpha y \in X$$

Se verifică imediat că intersecția mai multor mulțimi convexe este o mulțime convexă.

Fie  $a = (a_1, a_2, \dots, a_n)$  un vector nenul și  $b$  un scalar. Este ușor de văzut că mulțimea:

$$S = \{x = (x_1, x_2, \dots, x_n)^T \mid ax \leq b \Leftrightarrow a_1x_1 + a_2x_2 + \dots + a_nx_n \leq b\}$$

este convexă. Ea se numește **semispațiu**, în timp ce mulțimea:

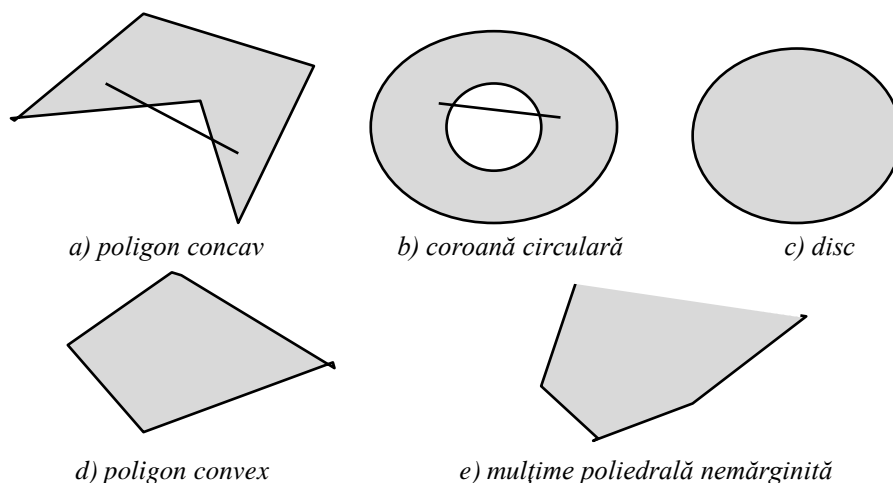
$$H = \{x = (x_1, x_2, \dots, x_n)^T \mid ax = b \Leftrightarrow a_1x_1 + a_2x_2 + \dots + a_nx_n = b\}$$

se numește **hiperplan**. Este clar că și  $H$  este o mulțime convexă ca intersecție a semispațiului  $S$  de mai sus, cu semispațiul:

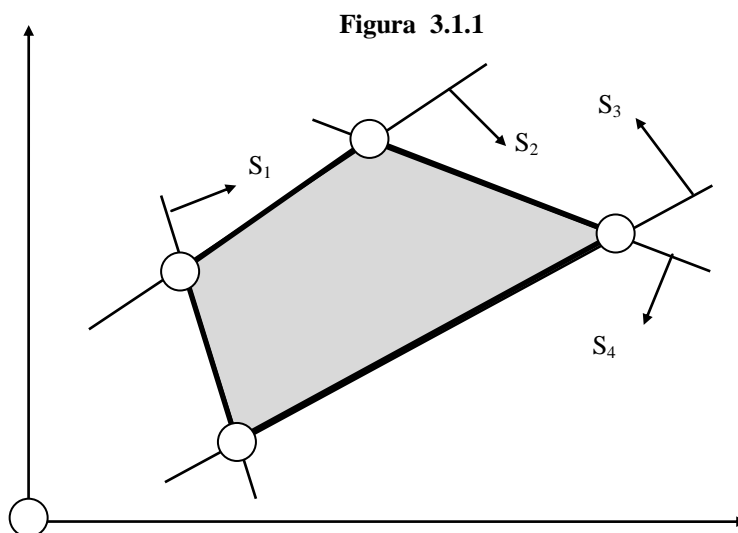
$$S' = \{x \in R^n \mid ax \geq b \Leftrightarrow (-a)x \leq -b \Leftrightarrow -a_1x_1 - a_2x_2 - \dots - a_nx_n \leq -b\}$$

O intersecție finită de semispații se numește **mulțime poliedrală**. Evident, o mulțime poliedrală este convexă, reciproca nefiind în general adevărată.

În figura 4.1.1 sunt prezentate câteva mulțimi convexe și neconvexe în plan. Este clar că mulțimile a) și b) nu sunt convexe. Discul c) este o mulțime convexă dar nu este poliedrală, fiind în fapt intersecția infinită a tuturor semispațiilor care conțin discul și sunt mărginite de tangentele la circumferință. Polygonul convex d) este intersecția a 4 semispații așa cum se arată în fig.4.1.2



Notă: Toate mulțimile specificate sunt presupuse **închise** adică **își conțin frontierele**.



**Figura 3.1.2**



Din cele de mai sus rezultă că orice *mulțime poliedrală* în  $R^n$  se identifică cu mulțimea soluțiilor unui sistem de ecuații și/sau inecuații liniare în  $n$  variabile. În particular:

*Mulțimea  $\mathcal{A}_P$  a soluțiilor admisibile ale unui program liniar (P) este o mulțime convexă, poliedrală și închisă. Frontiera sa se compune din toate punctele ale căror coordonate satisfac cu egalitate cel puțin una din restricții.*

Se numește **vârf** al unei mulțimi convexe  $X \subseteq R^n$  un punct  $v \in X$  cu proprietatea că nu există un segment  $[x,y] \subset X$  care să conțină pe  $v$  ca punct interior. În  $R^2$  sau  $R^3$  regăsim conceptul geometric uzual.

O mulțime poliedrală are întotdeauna un număr finit de vârfuri (posibil nici unul); de exemplu, poligonul d) din fig. 4.1.1 are patru vârfuri în timp ce un semispațiu nu are vârfuri. Discul c) are o infinitate de vârfuri: orice punct de pe circumferință are această calitate.

Mulțimile d) și e) din fig.4.1.1 sunt amândouă poliedrale dar e) este *nemărginită*. Pentru a caracteriza această proprietate avem nevoie de un nou concept, cel de *rază extremă*. Pentru a nu depăși cadrul orar al cursului vom lăsa la latitudinea cititorului aprofundarea conceptului utilizând ca suport bibliografic [www.asecib.ase.ro](http://www.asecib.ase.ro) – Cursuri on-line – 9. Nica V. și colectiv, **Cercetări Operaționale I**. Vom caracteriza însă în detaliu această situație în cadrul metodei Simplex de rezolvare a programelor liniare (vezi secțiunea 4 a Cap. 3).

### 4.3.2 Teorema centrală a programării liniare

Să considerăm acum un program liniar (P) în care funcția obiectiv se maximizează și să ne situăm în cazul în care programul (P) este compatibil adică mulțimea soluțiilor sale admisibile  $\mathcal{A}_P$  este nevidă. Am văzut că  $\mathcal{A}_P$  este o mulțime poliedrală și convexă având un număr finit de vârfuri  $v^1, v^2, \dots, v^p$ . Așa cum va rezulta din secțiunea 4.1,  $\mathcal{A}_P$  are cel puțin un vârf, adică  $p \geq 1$ . Vom enunța acum *teorema centrală a programării liniare*.

**TEOREMA<sup>\*)</sup>.** *Dacă programul (P) are optim finit, atunci o soluție optimă se găsește într-unul din vârfurile mulțimii soluțiilor admisibile  $\mathcal{A}_P$ .*

*Importanța acestei teoreme este covârșitoare: ea reduce problema găsirii unei soluții optime  $x^*$  din mulțimea, în general infinită,  $\mathcal{A}_P$  a tuturor soluțiilor admisibile ale programului (P), la identificarea acestei soluții în mulțimea finită a vârfurilor lui  $\mathcal{A}_P$ .*

Recapitulând modul în care diferitele proprietăți discutate au fost implicate în obținerea acestui rezultat fundamental să reținem că:

- *Convexitatea mulțimii soluțiilor admisibile  $\mathcal{A}_P$  situează soluțiile optime, dacă acestea există, pe frontiera lui  $\mathcal{A}_P$ ;*
- *Deoarece  $\mathcal{A}_P$  este poliedrală, iar funcția obiectiv este liniară, cel puțin una din soluțiile optime este un vârf al lui  $\mathcal{A}_P$ .*

Teorema furnizează următorul procedeu "naiv" de rezolvare a unui program liniar (P):

- se "generează" lista (finită) a vârfurilor mulțimii  $\mathcal{A}_P$ ;

<sup>\*)</sup> **NOTĂ:** Pentru demonstrațiile Teoremelor și Lemelor din acest capitol, vezi [www.asecib.ase.ro](http://www.asecib.ase.ro) – Cursuri on-line – 9. Nica V. și colectiv, **Cercetări Operaționale I**.

- prin înlocuire succesivă în funcția obiectiv se reține vârful care oferă acesteia valoarea maximă (sau minimă, după caz).

Procedeu ridică la rândul său următoarele *probleme principiale*:

- 1) Cum recunoaștem compatibilitatea programului (P) ?
- 2) Cum "calculăm" un vârf al mulțimii  $\mathcal{A}_P$  sau mai corect spus cum se caracterizează "algebric" un vârf ?
- 3) Pentru obținerea soluției optime este necesar să generăm toate vârfurile mulțimii  $\mathcal{A}_P$ ? întrebarea este serioasă deoarece și pentru programe liniare de dimensiuni reduse (adică cu un număr relativ mic de restricții și variabile) numărul vârfurilor este foarte mare.
- 4) Chiar dacă reușim, prin enumerarea explicită a tuturor vârfurilor, să găsim pe acela care maximizează funcția obiectiv, aceasta nu înseamnă obligatoriu că am rezolvat programul dat! Este posibil ca programul respectiv să aibă optim infinit! Cum se recunoaște acest fapt?

Vom răspunde progresiv la toate chestiunile menționate în secțiunile următoare.

### 4.3.3 Corespondența $\mathcal{A}_P \sim \mathcal{A}_{FSP}$

Considerăm o problemă de programare liniară (P) care conține cel puțin o restricție inegalitate și fie (FSP) forma sa standard (vezi secțiunea 1.4) Pentru simplificarea notațiilor, vom presupune că (P) este în *formă canonică de maximizare*:

$$(P) \begin{cases} \max f = cx \\ Ax \leq b \\ x \geq 0 \end{cases}$$

unde:

$$A = \begin{bmatrix} a_{11} & a_{12} & \cdots & a_{1n} \\ a_{21} & a_{22} & \cdots & a_{2n} \\ \vdots & \vdots & & \vdots \\ a_{m1} & a_{m2} & \cdots & a_{mn} \end{bmatrix} \quad b = \begin{bmatrix} b_1 \\ b_2 \\ \vdots \\ b_m \end{bmatrix} \quad x = \begin{bmatrix} x_1 \\ x_2 \\ \vdots \\ x_n \end{bmatrix} \quad (4.3.1)$$

$$c = [c_1 \quad c_2 \quad \cdots \quad c_n]$$

știm din secțiunea 1.3 că orice program liniar poate fi scris în această formă. Forma standard a programului (P) va fi:

$$(FSP) \begin{cases} \max f = cx \\ Ax + y = b \\ x \geq 0, y \geq 0 \end{cases} \quad \text{în care: } y = \begin{bmatrix} y_1 \\ y_2 \\ \vdots \\ y_m \end{bmatrix} \text{ este vectorul variabilelor de abatere.}$$

Între mulțimile de soluții admisibile  $\mathcal{A}_P \subset \mathbb{R}^n$  și  $\mathcal{A}_{FSP} \subset \mathbb{R}^{n+m}$  există o *corespondență bijectivă*  $\Phi(x) = (x, y)$ , unde  $y = b - Ax$ , a cărei inversă este proiecția  $\Phi^{-1}(x, y) = x$ . Am remarcat deja în secțiunea 1.4 că prin corespondența  $\Phi$ , soluțiile optime ale celor două probleme se corespund. În fapt,  $\Phi$  are următoarea proprietate mai generală.

**Teorema 4.3.1** *Dacă  $x$  este un vârf al mulțimii  $\mathcal{A}_P$  atunci  $\Phi(x) = (x, y)$  cu  $y = b - Ax$  este un vârf al mulțimii  $\mathcal{A}_{FSP}$ . Reciproc, dacă  $(x, y)$  este un vârf al mulțimii  $\mathcal{A}_{FSP}$  atunci  $\Phi^{-1}(x, y) = x$  este un vârf al mulțimii  $\mathcal{A}_P$ .*

În baza acestei teoreme precum și a teoremei centrale a programării liniare (secțiunea 4.2), pentru a rezolva problema (P) este suficient să căutăm *soluția optimă a formei sale standard* (FSP) printre vârfurile mulțimii  $\mathcal{A}_{\text{FSP}}$ .

Vom vedea în secțiunea următoare cum se caracterizează “algebric” vârfurile mulțimii soluțiilor admisibile ale unui program liniar în formă standard. Tot acolo vom arăta că dacă un program (P) este compatibil atunci  $\mathcal{A}_P$  are cel puțin un vârf și în orice caz un număr finit de asemenea elemente. Pe baza acestor rezultate, vom putea descrie în paragraful 4 o metodă efectivă de rezolvare a unei probleme de programare liniară.

#### 4.3.4. Soluții de bază ale unui program liniar

Să considerăm acum un program liniar (P) în formă standard:

$$(P) \begin{cases} \max f = cx \\ Ax = b \\ x \geq 0 \end{cases}$$

în care masivele  $A, b, c, x$  au semnificațiile din (4.3.1). Vom pune în evidență coloanele matricii  $A$ :

$$A = [A^1, A^2, \dots, A^n]$$

**Definiție:** Soluția  $\bar{x} = (\bar{x}_1, \bar{x}_2, \dots, \bar{x}_n)^T$  a problemei în formă standard (P), nu neapărat admisibilă, se numește **soluție de bază** dacă mulțimea coloanelor  $A^i$  corespunzătoare componentelor  $\bar{x}_i \neq 0$  este **liniar independentă**.

Fie  $I(\bar{x})$  mulțimea indicilor  $i \in \{1, 2, \dots, m\}$  cu proprietatea că  $\bar{x}_i \neq 0$ .

**Lema 1:** Dacă  $\bar{x}$  și  $\bar{x}'$  sunt soluții de bază ale programului (P) și  $I(\bar{x}') \subseteq I(\bar{x})$  atunci  $\bar{x} = \bar{x}'$  (și deci  $I(\bar{x}) = I(\bar{x}')$ ).

**Demonstrație:** Este clar că  $\bar{x}_i = \bar{x}'_i = 0$  pentru indicii  $i \notin I(\bar{x})$ . Atunci egalitățile:

$$\sum_{i \in I(\bar{x})} \bar{x}_i A^i = \sum_{i \in I(\bar{x}')} \bar{x}'_i A^i = b$$

implică:

$$\sum_{i \in I(\bar{x})} (\bar{x}_i - \bar{x}'_i) A^i = 0$$

de unde rezultă  $\bar{x}_i = \bar{x}'_i$  pentru toți  $i \in I(\bar{x})$ , deoarece prin ipoteză coloanele  $A^i, i \in I(\bar{x})$  sunt liniar independente. ■

**Lema 2:** Fie  $\bar{x} = (\bar{x}_1, \bar{x}_2, \dots, \bar{x}_n)^T$  o soluție admisibilă a problemei (P) care nu este soluție de bază. Atunci există un vector  $y \in R^n$  și un interval  $[\underline{\lambda}, \bar{\lambda}] \subset R^n \cup \{-\infty, +\infty\}$  astfel încât:

- 1)  $Ay = 0$ ;
- 2)  $[\underline{\lambda}, \bar{\lambda}]$  conține pe 0 și nu se reduce la acest punct;  $\underline{\lambda}$  și  $\bar{\lambda}$  nu sunt simultan infinite;
- 3) pentru orice  $\lambda \in [\underline{\lambda}, \bar{\lambda}]$  vectorul  $x(\lambda) = \bar{x} + \lambda y$  este o soluție admisibilă a problemei (P);
- 4) Dacă de exemplu,  $\bar{\lambda}$  este finit și  $\bar{x}' = x(\bar{\lambda})$  atunci  $I(\bar{x}') \subseteq I(\bar{x})$  dar  $|I(\bar{x}')| \leq |I(\bar{x})| - 1$  adică  $\bar{x}'$  are mai puține componente nenule decât  $\bar{x}$ .

**Demonstrație:** Din ipoteză rezultă că mulțimea coloanelor  $A^i, i \in I(\bar{x})$  este liniar independentă.

Există prin urmare scalarii  $y_i, i \in I(\bar{x})$  nu toți nuli astfel încât:

$$\sum_{i \in I(\bar{x})} y_i A^i = 0$$

Punând  $y_i = 0$  pentru  $i \notin I(\bar{x})$  obținem un vector  $y = (y_1, y_2, \dots, y_n) \in R^n$  cu proprietatea că:

$$\sum_{i=1}^n y_i A^i = 0 \Leftrightarrow Ay = 0$$

Afirmația 1) este demonstrată.

Pentru orice  $\lambda \in R$  vectorul  $x(\lambda) = \bar{x} + \lambda y$  este o soluție a problemei (P) deoarece  $Ax(\lambda) = A\bar{x} + \lambda Ay = b$ .

Impunând condiția de admisibilitate  $x(\lambda) \geq 0$  obținem pentru  $\lambda$  intervalul de valori permise  $[\underline{\lambda}, \bar{\lambda}]$  în care:

$$\underline{\lambda} = \begin{cases} \max_{i \in I(\bar{x}), y_i > 0} \left\{ -\frac{\bar{x}_i}{y_i} \right\} \\ -\infty \text{ dacă tot } y_i \leq 0 \end{cases} \quad \bar{\lambda} = \begin{cases} \min_{i \in I(\bar{x}), y_i < 0} \left\{ -\frac{\bar{x}_i}{y_i} \right\} \\ +\infty \text{ dacă tot } y_i \geq 0 \end{cases}$$

Avem  $\underline{\lambda} < 0 < \bar{\lambda}$  și deoarece  $y \neq 0$ , cel puțin una din extremitățile  $\underline{\lambda}, \bar{\lambda}$  este finită. Astfel și afirmațiile 2), 3) sunt probate.

Să presupunem, în final că  $\bar{\lambda}$  este finit. Atunci va exista un indice  $r \in I(\bar{x})$  astfel că:  $y_r < 0$  și  $\bar{\lambda} = -\frac{\bar{x}_r}{y_r}$ . Dacă  $\bar{x}' = x(\bar{\lambda})$  este clar că  $I(\bar{x}') \subseteq I(\bar{x})$  și cum  $\bar{x}'_r = \bar{x}_r + \bar{\lambda}y_r = 0$  iar  $\bar{x}_r > 0$  urmează că  $|I(\bar{x}')| < |I(\bar{x})|$  și ultima afirmație este dovedită. ■

**Teorema 4.4.1** O soluție admisibilă  $\bar{x} = (\bar{x}_1, \bar{x}_2, \dots, \bar{x}_n)^T$  a problemei (P) este un vârf al mulțimii  $\mathcal{A}_P$  dacă și numai dacă  $\bar{x}$  este o soluție de bază.

**Demonstrație:** Să presupunem că  $\bar{x}$  este vârf dar nu este soluție de bază. Conform lemei 2 există  $y \in R^n$  cu  $Ay = 0$  și intervalul  $[\underline{\lambda}, \bar{\lambda}]$  care conține pe 0 și nu se reduce la acesta, astfel încât  $x(\lambda) = \bar{x} + \lambda y$  să fie o soluție a programului (P) oricare ar fi  $\lambda \in [\underline{\lambda}, \bar{\lambda}]$ . Alegem  $\varepsilon > 0$  suficient de mic astfel încât  $[-\varepsilon, +\varepsilon] \subset [\underline{\lambda}, \bar{\lambda}]$  și punem:  $x^1 = \bar{x} - \varepsilon y$ ,  $x^2 = \bar{x} + \varepsilon y$ . Atunci  $x^1, x^2 \in \mathcal{A}_P$ ,  $x^1 \neq x^2$  și  $\bar{x} = \frac{1}{2}(x^1 + x^2)$  în contradicție cu ipoteza că  $\bar{x}$  este vârf al mulțimii  $\mathcal{A}_P$ .

Pentru reciprocă să presupunem că  $\bar{x}$  este o soluție de bază fără a fi vârf. Atunci există  $x^1, x^2 \in \mathcal{A}_P$ ,  $x^1 \neq x^2$  și  $\alpha \in (0, 1)$  astfel încât  $\bar{x} = (1 - \alpha)x^1 + \alpha x^2$ . Pentru  $i \notin I(\bar{x})$  avem  $(1 - \alpha)x^1_i + \alpha x^2_i = 0$  și cum  $x^1_i \geq 0$ ,  $x^2_i \geq 0$  rezultă  $x^1_i = x^2_i = 0$ . În consecință,  $I(x^1) \subseteq I(\bar{x})$ ,  $I(x^2) \subseteq I(\bar{x})$  și în virtutea lemei 1 rezultă  $x^1 = x^2 = \bar{x}$ , în contradicție cu ipoteza făcută. ■

**Teorema 4.4.2** Dacă programul în formă standard (P) este compatibil atunci mulțimea soluțiilor sale admisibile  $\mathcal{A}_P$  are cel puțin o soluție de bază, deci un vârf.

**Demonstrație** Fie  $\bar{x} = (\bar{x}_1, \bar{x}_2, \dots, \bar{x}_n)^T$  o soluție admisibilă a problemei (P). Vom proceda prin inducție după numărul  $k$  al componentelor  $\bar{x}_i > 0$ . Dacă  $k = 0$  atunci  $\bar{x} = (0, 0, \dots, 0)$  este o soluție de bază întrucât o mulțime vidă de vectori este, prin convenție, liniar independentă. Dacă  $k > 0$  există două situații de examinat:

1) Coloanele  $A^i, i \in I(\bar{x})$  sunt liniar independente. Atunci  $\bar{x}$  este o soluție de bază.

2) Coloanele  $A^i, i \in I(\bar{x})$  sunt liniar dependente. Conform lemei 2 va exista o soluție admisibilă  $\bar{x}'$  cu  $I(\bar{x}') \subset I(\bar{x})$  dar cu mai puține componente nenule decât  $\bar{x}$ . Repetând

raționamentul, este clar că într-un număr finit de pași se ajunge la situația 1) adică la o soluție de bază. ■

**Consecință:** Mulțimea  $\mathcal{A}_P$  a soluțiilor admisibile ale unui program liniar compatibil are cel puțin un vârf.

**Demonstrație:** Să presupunem că (P) nu este în formă standard, altminteri avem teorema 4.4.2. Fie (FSP) forma standard a programului (P). Deoarece avem corespondența bijectivă  $\Phi: \mathcal{A}_P \cong \mathcal{A}_{FSP}$  deducem că  $\mathcal{A}_{FSP} \neq \emptyset$  pentru că prin ipoteză  $\mathcal{A}_P \neq \emptyset$ . Prin teorema 4.4.2 mulțimea  $\mathcal{A}_{FSP}$  are cel puțin un vârf; acesta, prin proiecția  $\Phi^{-1}$  va fi un vârf al mulțimii  $\mathcal{A}_P$ , grație teoremei 4.3.1. ■

Având în vedere caracterizarea algebrică a vârfurilor dată în teorema 4.4.1, teorema centrală a programării liniare poate fi formulată și în următorii termeni.

**Teorema 4.4.3** Dacă un program liniar în formă standard are optim finit, cel puțin una din soluțiile sale optime este o soluție de bază.

Mai rămâne de arătat că mulțimea soluțiilor admisibile ale unui program liniar are un număr finit de vârfuri. În virtutea teoremelor 4.3.1 și 4.4.1, aceasta revine la a arăta că un program liniar (P) în formă standard are un număr finit de soluții admisibile de bază. Faptul rezultă nemijlocit din aceea că *numărul sistemelor liniar independente ce pot fi extrase dintr-o mulțime finită de vectori este finit*. Vom preciza acest lucru sub forma unei teoreme în secțiunea următoare, în care vom introduce un concept ușor diferit de cel de soluție de bază, acela de *soluție asociată unei baze* a programului (P). Noul concept are avantajul de a fi mai ușor de manipulat în practică.

#### 4.3.4. Baze ale unui program liniar în formă standard. Soluția asociată unei baze

În notațiile secțiunii precedente facem ipoteza:

$$\text{rang} A = m < n \quad (4.5.1)$$

Ipoteza ne asigură că ecuațiile ce compun sistemul liniar  $Ax = b$  al restricțiilor sunt independente și că acest sistem are o infinitate de soluții. Să notăm că ipoteza nu implică în mod necesar și existența soluțiilor admisibile (adică cu toate componentele nenegative) pentru sistemul considerat. După cum vom vedea în secțiunea 4.6 ipoteza făcută nu este deloc restrictivă.

Deoarece  $\text{rang} A = m$ , în matricea  $A$  va exista cel puțin un grup de  $m$  coloane liniar independente, constituind deci o bază a spațiului  $R^m$ . Un asemenea grup se va numi bază a programului (P) și numărul acestora este finit, nedepășind  $C_n^m = \frac{n!}{m!(n-m)!}$ .

Fie  $B$  o bază a programului (P),  $I$  mulțimea indicilor coloanelor din  $B$  și  $J$  mulțimea indicilor coloanelor din  $A$  care nu sunt în  $B$ . Renumerotând convenabil variabilele programului vom scrie matricea  $A$  în forma:

$$A = [B, S] \quad \text{cu } B = [A^i]_{i \in I}, \quad S = [A^j]_{j \in J}$$

Partiționăm corespunzător vectorul (coloană)  $x$  al variabilelor:

$$x = \begin{bmatrix} x^B \\ x^S \end{bmatrix} \quad \text{cu } x^B = [x_i]_{i \in I}, \quad x^S = [x_j]_{j \in J}$$

ca și vectorul (linie) al coeficienților funcției obiectiv:

$$c = [c^B, c^S] \quad \text{cu } c^B = [c_i]_{i \in I}, \quad c^S = [c_j]_{j \in J}$$

în raport cu baza B aleasă, variabilele  $x_i$ ,  $i \in I$  se vor numi *variabile bazice*, iar toate celelalte *nebazice* sau *secundare*.

Scriem sistemul  $Ax = b$  în forma:

$$[B, S] \begin{bmatrix} x^B \\ x^S \end{bmatrix} = b \Leftrightarrow Bx^B + Sx^S = b$$

Deoarece B este o bază a spațiului  $R^m$ , B (ca matrice!) este nesarabilă deci inversabilă. Înmulțind la stânga cu  $B^{-1}$  obținem:

$$x^B + \bar{S}x^S = \bar{b} \quad \text{cu} \quad \bar{S} = B^{-1}S = [\bar{a}_{ij}]_{i \in I, j \in J}, \bar{b} = B^{-1}b = [\bar{b}_i]_{i \in I} \quad (4.5.2)$$

Va fi util să punem în evidență coloanele matricii  $\bar{S}$ :

$$\bar{S} = B^{-1}[A^j]_{j \in J} = [B^{-1}A^j]_{j \in J} = [\bar{A}^j]_{j \in J}$$

cu

$$\bar{A}^j = B^{-1}A^j = [\bar{a}_{ij}]_{i \in I} \quad (4.5.3)$$

Utilizăm (4.5.2) pentru a elimina din expresia funcției obiectiv variabilele bazice:

$$\begin{aligned} f &= [c^B, c^S] \begin{bmatrix} x^B \\ x^S \end{bmatrix} = c^B x^B + c^S x^S = c^B (\bar{b} - \bar{S}x^S) + c^S x^S = \\ &= c^B \bar{b} - (c^B \bar{S} - c^S)x^S = \bar{f} - \bar{c}^S x^S \end{aligned} \quad (4.5.4)$$

unde:

$$\bar{f} = c^B \bar{b} (= c^B B^{-1}b) = \sum_{i \in I} c_i \bar{b}_i \quad (4.5.5)$$

și:

$$\bar{c}^S = c^B \bar{S} - c^S (= c^B B^{-1}S - c^S) = [\bar{c}_j]_{j \in J}$$

în care:

$$\bar{c}_j = c^B \bar{A}^j - c_j (= c^B B^{-1}A^j - c_j) = \sum_{i \in I} c_i \bar{a}_{ij} - c_j \quad (4.5.6)$$

Astfel, în raport cu baza B, programul (P) poate fi adus la următoarea formă echivalentă, conform (4.5.2) și (4.5.4):

$$(P_B) \begin{cases} \max f = \bar{f} - \bar{c}^S x^S \\ x^B + \bar{S}x^S = \bar{b} \\ x^B \geq 0, x^S \geq 0 \end{cases} \Leftrightarrow (P_B) \begin{cases} \max f = \bar{f} - \sum_{j \in J} \bar{c}_j x_j \\ x_i + \sum_{j \in J} \bar{a}_{ij} x_j = \bar{b}_i, i \in I \\ x_i \geq 0, i \in I; x_j \geq 0, j \in J \end{cases} \quad (4.5.7)$$

(P<sub>B</sub>) se numește **forma explicită a programului (P) în raport cu baza B**. Comparând (P<sub>B</sub>) cu (P) constatăm că *efectul înmulțirii cu  $B^{-1}$  a sistemului  $Ax = b$  este explicitarea variabilelor bazice  $x_i$ ,  $i \in I$  în funcție de cele nebazice  $x_j$ ,  $j \in J$* .

Luând în (P<sub>B</sub>):

$$x^S = 0 \Leftrightarrow x_j = 0, j \in J \quad (4.5.8)$$

obținem:

$$x^B = \bar{b} \Leftrightarrow x_i = \bar{b}_i, i \in I \quad (4.5.9)$$

Vectorul:

$$\bar{x} = \begin{bmatrix} \bar{b} \\ 0 \end{bmatrix} \leftarrow \begin{matrix} x^B \\ x^S \end{matrix} \quad (4.5.10)$$

este evident o soluție a programului (P), numită **soluția asociată bazei B**. Vom spune că B este o **bază admisibilă** dacă soluția asociată (4.5.10) este admisibilă, ceea ce revine la a spune că  $\bar{b}_i \geq 0, i \in I$ .

Prin construcție, **soluția asociată unei baze a programului (P) este o soluție de bază** în sensul definiției din secțiunea precedentă. Reciproca nu este în general adevărată. Astfel, dacă  $\bar{x} = (\bar{x}_1, \bar{x}_2, \dots, \bar{x}_n)^T$  este o soluție de bază a programului (P), numărul componentelor nenule este  $\leq m$ . Dacă acest număr este exact  $m$  atunci  $\bar{x}$  este soluția asociată bazei formate din coloanele matricii A corespunzătoare celor  $m$  componente nenule. Spunem în acest caz că  $\bar{x}$  este o **soluție de bază nedegenerată**. Dacă numărul componentelor nenule este  $< m$ , coloanele corespunzătoare acestor componente pot fi completate până la o bază în mai multe moduri, astfel că  $\bar{x}$  se asociază la mai multe baze! Dacă se întâmplă așa spunem că  $\bar{x}$  este o **soluție degenerată**.

**Deoarece (P) are un număr finit de baze, el va avea și un număr finit de soluții asociate acestor baze și de aici un număr finit de soluții de bază.**

În baza relațiilor (4.5.8), (4.5.9) constanta  $\bar{f}$  din (4.5.5) reprezintă **valoarea funcției obiectiv** a programului (P) în soluția (4.5.10) asociată bazei B. Componentele  $\bar{c}_j, j \in J$  (definite în (4.5.6)) ale vectorului  $\bar{c}^S$  din (4.5.4) vor juca un rol esențial în caracterizarea optimalității unei soluții admisibile de bază. Ele se numesc **costuri reduse** (notate  $\Delta_j$  în alte materiale de specialitate) și sunt întotdeauna asociate variabilelor nebazice. Coeficienții numerici ai formei explicite (4.5.7) se trec într-un tabel ( $T_B$ ) al cărui format este indicat în tabelul 4.5.1. Tabelul ( $T_B$ ) se numește **tabelul simplex asociat bazei B**. Coloana “B” conține vectorii bazei B, coloana “CB” conține Coeficienții din funcția obiectiv ai variabilelor Bazice iar în coloana “VVB” apar Valorile Variabilelor Bazice. În ultima linie a tabelului, numită și **linia test**, apar valoarea  $\bar{f}$  a funcției obiectiv în soluția asociată bazei B precum și costurile reduse  $\bar{c}_j, j \in J$  corespunzătoare coloanelor nebazice. Formula (4.5.5) arată că  $\bar{f}$  este produsul scalar al coloanelor “CB” și “VVB” în timp ce relația (4.5.6) arată că  $\bar{c}_j$  se obține din produsul scalar al coloanelor “CB” și “A<sup>j</sup>” scăzând costul  $c_j$  scris deasupra coloanei “A<sup>j</sup>”.

**Tabelul 4.5.1**

				$c_i$		$c_r$		$c_j$		$c_k$	
CB	B	VVB	...	A <sup>i</sup>	...	A <sup>r</sup>	...	A <sup>j</sup>	...	A <sup>k</sup>	...
$\vdots$	$\vdots$	$\vdots$	$\vdots$	$\vdots$	$\vdots$	$\vdots$	$\vdots$	$\vdots$	$\vdots$	$\vdots$	$\vdots$
$c_i$	A <sup>i</sup>	$\bar{b}_i$	...	1	...	0	...	$\bar{a}_{ij}$	...	$\bar{a}_{ik}$	...
$\vdots$	$\vdots$	$\vdots$	$\vdots$	$\vdots$	$\vdots$	$\vdots$	$\vdots$	$\vdots$	$\vdots$	$\vdots$	$\vdots$
$c_r$	A <sup>r</sup>	$\bar{b}_r$	...	0	...	1	...	$\bar{a}_{rj}$	...	$\bar{a}_{rk}$	...
$\vdots$	$\vdots$	$\vdots$	$\vdots$	$\vdots$	$\vdots$	$\vdots$	$\vdots$	$\vdots$	$\vdots$	$\vdots$	$\vdots$
$f$	$\bar{f}$		...	*	...	*	...	$\bar{c}_j$	...	$\bar{c}_k$	...

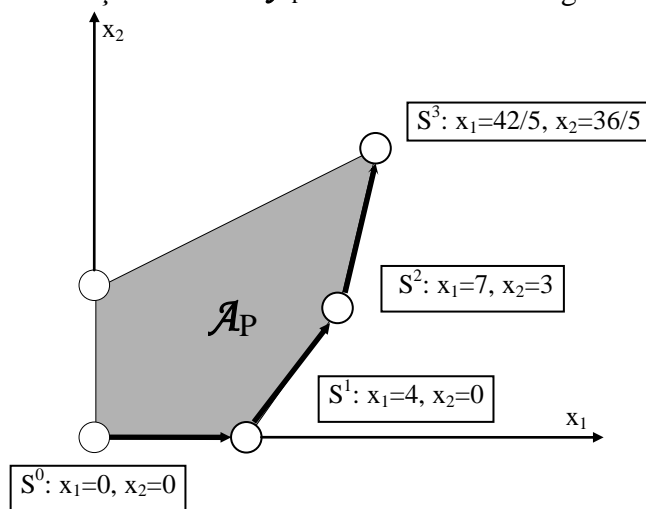
Extindem definiția costului redus și la coloanele “A<sup>i</sup>”,  $i \in I : \bar{c}_i = c_i - c_i = 0$ . Aceste costuri reduse au fost notate în linia test cu asteriscuri (\*) spre a le deosebi de eventualele costuri reduse nule  $\bar{c}_j, j \in J$  care, după cum vom vedea în secțiunea 4.4.2, indică - “la optim” - prezența mai multor soluții optime de bază.

### 4.3. Metoda simplex de rezolvare a programelor liniare de optimizare va fi prezentată în cadrul cursului de Cercetări Operaționale din anul 3

**Exemplul 4.2.1** Considerăm programul:

$$(P) \begin{cases} \max f = 2x_1 + x_2 \\ x_1 - x_2 \leq 4 ; 3x_1 - x_2 \leq 18 ; -x_1 + 2x_2 \leq 6 \\ x_1 \geq 0, x_2 \geq 0 \end{cases}$$

a cărui mulțime de soluții admisibile  $\mathcal{A}_P$  este vizualizată în figura 4.2.1.



**Figura 4.2.1**

Aducem (P) la forma standard adăugând variabilele de abatere  $x_3, x_4, x_5$ :

$$(FSP) \begin{cases} \max f = 2x_1 + x_2 \\ x_1 - x_2 + x_3 = 4 \\ 3x_1 - x_2 + x_4 = 18 \\ -x_1 + 2x_2 + x_5 = 6 \\ x_j \geq 0, j = 1, \dots, 5 \end{cases}$$

Se observă că matricea A a coeficienților formei standard (FSP) conține baza unitară  $E = [A^3, A^4, A^5]$  (deci FSP este chiar forma bună a lui P pentru aplicarea algoritmului Simplex Primal) a cărei soluție asociată:

$$x_1 = 0, x_2 = 0, x_3 = 4, x_4 = 18, x_5 = 6$$

este admisibilă.

#### 4.4.3. Determinarea unei soluții admisibile de start (Metoda bazei artificiale)

După cum s-a specificat, aplicarea algoritmului simplex necesită cunoașterea unei baze admisibile de start precum și a formei explicite asociate acesteia, celelalte forme explicite deducându-se una din alta prin pivotare gaussiană. Chiar și pentru probleme de dimensiuni mici, găsirea unei



asemenea baze de start prin simpla inspectare a coloanelor matricii  $A$ , se dovedește a fi o treabă complicată, ne mai vorbind de faptul că este posibil ca problema să nu aibă soluții admisibile. În plus, să nu uităm că teoria metodei simplex s-a bazat esențial pe ipoteza că restricțiile problemei sunt liniar independente, lucru iarăși greu de verificat în practică. Pentru obținerea formei explicite inițiale avem nevoie de câteva pregătiri.

Vom spune că programul în formă standard (P) este în **formă bună** dacă matricea  $A$  conține o **submatrice unitate** de ordinul  $m$  (= numărul restricțiilor) iar **termenii liberi** sunt **nenegativi**. Dacă este așa, (P) satisface condiția (4.5.1) iar soluția asociată bazei unitare este admisibilă și poate fi considerată ca soluție de start pentru aplicarea algoritmului simplex. Dacă (P) nu este în formă bună, el se poate aduce la această formă, notată (FBP), în felul următor:

- în caz că unele restricții ale programului inițial au termeni liberi negativi înmulțim aceste restricții cu  $-1$ ; în acest fel toți termenii liberi ai restricțiilor problemei de rezolvat vor fi  $\geq 0$ .
- Se aduce problema la forma standard adăugând variabile de abatere în restricțiile inegalități.
- Dacă matricea programului rezultat nu conține toate coloanele matricii unitate de ordinul  $m$ , în anumite restricții se vor adăuga noi variabile **nenegative** pentru crearea coloanelor lipsă; aceste noi variabile se numesc **variabile artificiale** și, spre deosebire de cele de abatere, apar și în funcția obiectiv cu un coeficient comun, foarte mare în valoare absolută. Coeficientul va fi **negativ** dacă funcția obiectiv se **maximizează** și **pozitiv** în caz contrar.

Se observă imediat că dacă programul inițial (P) este compatibil, soluțiile sale admisibile se identifică cu acele soluții ale formei bune în care **variabilele artificiale au valoarea zero**. Prin faptul că variabilele artificiale sunt însoțite în expresia funcției obiectiv de niște “penalizări” foarte mari, metoda simplex este “instruită” să caute tocmai asemenea soluții! Și astfel, rezolvarea formei bune ne conduce la unul din următoarele cazuri:

1. Forma bună are optim infinit. Atunci și programul inițial are **optim infinit**.
2. Forma bună are optim finit dar în soluția optimă cel puțin o variabilă artificială are valoare nenulă. Atunci programul original este **incompatibil**.
3. Forma bună are optim finit și în soluția optimă toate variabilele artificiale au valoarea zero. Ignorând valorile acestor variabile se obține soluția optimă a programului inițial.

**Exemplul 4.3.1** Considerăm următorul program împreună cu forma sa standard:

$$(P) \begin{cases} (\max)f = 2x_1 + 3x_2 \\ 2x_1 + x_2 \geq 40 \\ x_1 + 3x_2 \geq 30 \\ x_1 + x_2 \leq 30 \\ x_1 \geq 0, x_2 \geq 0 \end{cases} \Rightarrow (FSP) \begin{cases} (\max)f = 2x_1 + 3x_2 \\ 2x_1 + x_2 - x_3 = 40 \\ x_1 + 3x_2 - x_4 = 30 \\ x_1 + x_2 + x_5 = 30 \\ x_j \geq 0, j = 1, \dots, 5 \end{cases}$$

Se constată că (FSP) nu este în forma bună neconținând decât un singur vector al matricii unitare de ordinul 3. Vom crea o asemenea matrice introducând în primele două restricții variabilele artificiale  $x_6$  și  $x_7$ . Obținem programul:

$$(FBP) \begin{cases} (\max)f = 2x_1 + 3x_2 - Mx_6 - Mx_7 \\ 2x_1 + x_2 - x_3 + x_6 = 40 \\ x_1 + 3x_2 - x_4 + x_7 = 30 \\ x_1 + x_2 + x_5 = 30 \\ x_j \geq 0, j = 1, \dots, 7 \end{cases}, \quad M \gg 0$$

Putem aplica algoritmul simplex programului (FBP) plecând de la baza unitară  $E = [A^6, A^7, A^5]$  și de la soluția asociată acesteia:

$$x_1 = x_2 = x_3 = x_4 = 0, \quad x_5 = 30, \quad x_6 = 40, \quad x_7 = 30.$$

Punctele din  $\mathbb{R}^2$  corespunzătoare celor patru soluții generate de algoritm sunt  $S^0 = (0,0)$ ,  $S^1 = (0,10)$ ,  $S^2 = (18,4)$ ,  $S^3 = (10,20)$ . Urmărind fig. 4.3.1 se constată că punctele  $S^0$  și  $S^1$ , ce corespund unor soluții ale programului (FBP) în care cel puțin o variabilă artificială are valoare nenulă, sunt în afara mulțimii  $\mathcal{A}_P$  în timp ce  $S^2$  și  $S^3$ , corespunzătoare unor soluții în care  $x_6 = x_7 = 0$ , sunt vârfuri ale acestei mulțimi.

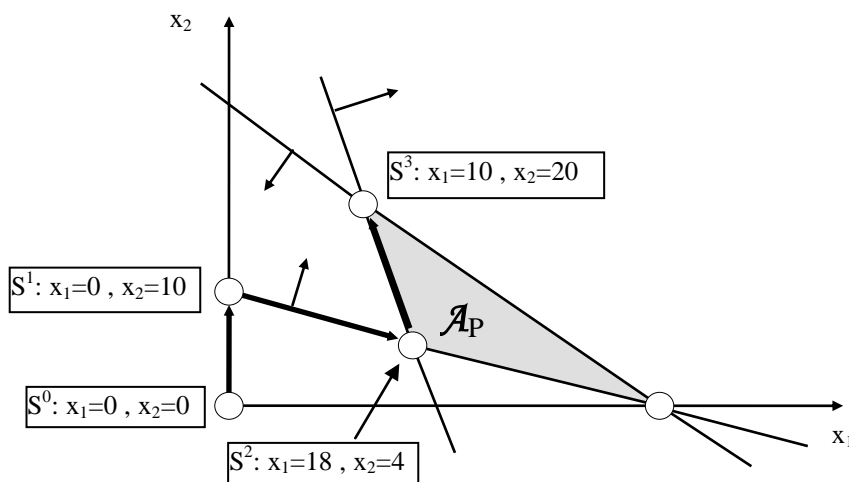


Figura 4.3.1

## CAPITOLUL 5

### PROBLEME DE OPTIMIZARE ÎN REȚELE DE TRANSPORT ȘI DISTRIBUȚIE

**IMPORTANT:** Suportul de curs al acestui capitol are la bază lucrarea: Nica Vasile, Ciobanu Gh., Mustățea Floare, Mărăcine Virginia, *“Cercetări operaționale I - Programare liniară, Probleme de optimizare în rețele de transport și distribuție, Teoria jocurilor strategice”* Editura MATRIX ROM, București 1998.

#### 5.1. Modelarea problemelor de transport și distribuție

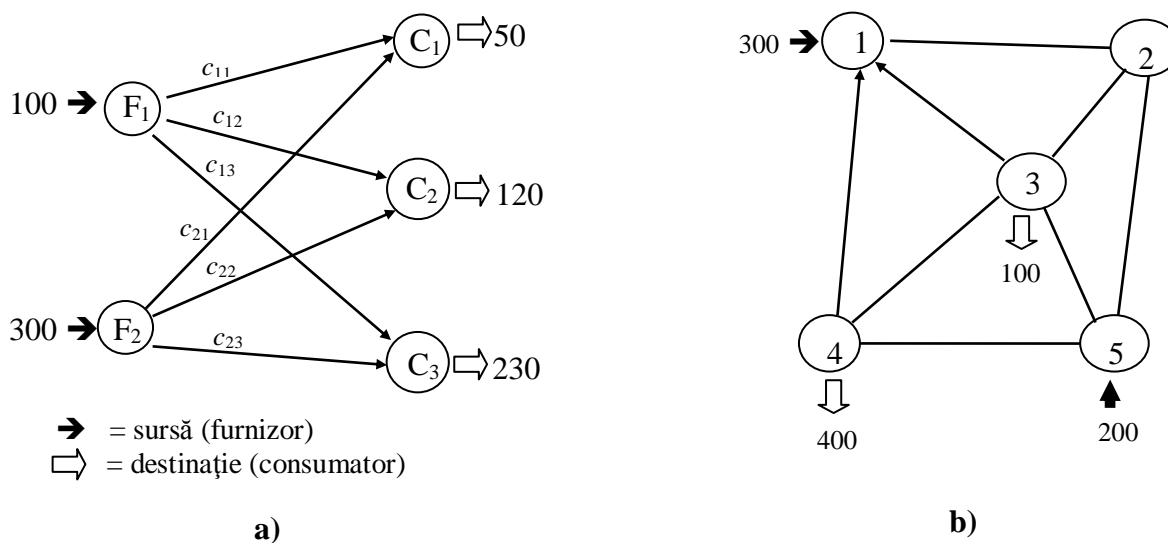
Într-o mare varietate de contexte se pune problema *deplasării* unei cantități  $Q$  ce poate fi materie, energie, informație, etc. din unele locuri numite *surse* în alte locuri numite *destinații*, această deplasare realizându-se pe anumite *rute de legătură*. Unitățile indivizibile ale cantității  $Q$  care se deplasează de-a lungul rutelor se vor numi *unități de flux*.

##### 5.1.1. O clasificare a problemelor de transport și distribuție

Pentru Cercetarea Operațională, problema enunțată va prezenta interes numai dacă respectă următoarele ipoteze:

a) *cel puțin o sursă poate aproviziona mai multe destinații și cel puțin o destinație poate primi unități de flux de la mai multe surse.*

Rutele de legătură pot avea și alte puncte comune în afara surselor și destinațiilor, numite *puncte intermediare* sau *de tranzit*. Nu sunt excluse legăturile directe între surse sau între destinații. În principiu, orice rută poate fi parcursă în ambele sensuri, dar pot exista și rute cu sens unic.



**Figura 5.1.1**

Ansamblul surselor, destinațiilor, al punctelor intermediare și al rutelor de legătură se va numi **rețea de transport**; el se identifică cu un *graf neorientat sau parțial orientat* ca în figura 5.1.1.

b) *Unele rute de legătură pot avea limitări superioare și / sau inferioare pentru volumul unităților de flux ce se deplasează într-un sens sau altul.* Aceste limitări poartă numele de **capacități** (inferioare, respectiv superioare). În continuare, vom avea în vedere numai cazul în care toate capacitățile inferioare sunt egale cu zero, capacitățile superioare fiind exprimate prin numere pozitive.

c) *Există un cost al deplasării unei unități de flux de la un punct al rețelei la altul, cost care poate fi exprimat în bani, timp sau distanță.* Sunt situații în care acest cost poate semnifica *profitul* obținut de pe urma deplasării. Pe aceeași rută, atât costurile cât și capacitățile pot diferi în funcție de sensul de parcurgere.

*Ipoteza a) va fi întotdeauna presupusă în timp ce ipotezele b) și c) pot fi înținse separat sau simultan.*

1) În prezența ipotezei c) și absența condiției b) se pune problema deplasării cantității de flux  $Q$  de la surse la destinații *la un cost total minim*. Dacă sursele sunt în legătură directă cu destinațiile obținem **problema clasică de transport**, care va face obiectul secțiunilor imediat următoare. Cazul general, în care există și puncte intermediare, este cunoscut sub numele de *problema transferului* și el nu face obiectul cursului de față. În cazul particular al unei singure surse  $s$ , al unei singure destinații  $t$  și a unei singure unități de flux se obține **problema drumului de cost minim de la  $s$  la  $t$** .

2) În prezența ipotezei b) și absența ipotezei c) se pune problema dacă rețeaua, ale cărei rute sunt *capacitate, este capabilă să permită acoperirea integrală a cererilor în punctele de destinație*. Pentru aceasta, se va rezolva problema determinării volumului *maxim*  $Q^*$  de unități de flux ce pot fi deplasate de la surse la destinații. Dacă  $Q^* < Q$  vor exista destinații a căror cerere este acoperită doar în parte și atunci se ridică problema *măririi capacității de transfer a rețelei*. Am descris succint **problema fluxului maxim**.

3) În prezența simultană a ipotezelor b) și c) se pune *problema satisfacerii cererilor în punctele de destinație la un cost de transport minim*. Ca și în cazul precedent vom avea în vedere o problemă modificată: vom determina mai întâi cantitatea maximă de flux ce poate fi deplasată de la surse la destinații și apoi modul de organizare al deplasării astfel încât costul operației să fie minim. Aceasta este **problema fluxului (maxim) de cost minim**.

În secțiunile următoare *ne vom ocupa numai de problema clasică de transport*; ea va fi privită ca o problemă de programare liniară cu o structură specială și rezolvată prin metodele programării liniare. Celelalte probleme identificate vor fi tratate în cuprinsul Capitolului 1 al cursului, Teoria Grafurilor, respectiv în cadrul cursului de Cercetări Operaționale din anul 3.

### 5.1.2. Problema clasică de transport. Problema de transport echilibrată (PTE)

Un produs omogen (de exemplu, bere) se află disponibil în localitățile  $F_1, F_2, \dots, F_m$  în cantitățile  $a_1, a_2, \dots, a_m$  și este cerut pentru consum în centrele  $C_1, C_2, \dots, C_n$  în cantitățile  $b_1, b_2, \dots, b_n$ . Se presupune cunoscut costul  $c_{ij}$  al transportului unei unități de produs de la  $F_i$  la  $C_j$ . *Se pune problema satisfacerii cererii în punctele de consum la un cost total de transport minim*.

Centrele furnizoare, centrele consumatoare, legăturile directe între ele și costurile unitare de transport sunt vizualizate de obicei printr-un *graf orientat* (ca în figura 5.1.1 a).

Evident, o condiție necesară și suficientă pentru existența unei soluții a problemei formulate este ca totalul cantităților disponibile să acopere totalul cererilor:

$$\sum_{i=1}^m a_i \geq \sum_{j=1}^n b_j \quad (5.2.1)$$

În continuare, condiția (5.2.1) va fi presupusă îndeplinită. Vom presupune de asemenea că :

$$a_i > 0, \quad i = 1, \dots, m \quad \text{și} \quad b_j > 0, \quad j = 1, \dots, n.$$

Dacă notăm cu  $x_{ij}$  cantitatea livrată de furnizorul  $F_i$  consumatorului  $C_j$ , modelul matematic al problemei (clasice) de transport este:

**(PT)** *Să se determine  $(x_{ij}^*)$   $i = 1, \dots, m$ ,  $j = 1, \dots, n$  care satisfac restricțiile:*

$$\sum_{j=1}^n x_{ij} \leq a_i \quad i = 1, \dots, m \quad (5.2.2)$$

$$\sum_{i=1}^m x_{ij} \geq b_j \quad j = 1, \dots, n \quad (5.2.3)$$

*condițiile de nenegativitate:*

$$x_{ij} \geq 0 \quad i = 1, \dots, m; \quad j = 1, \dots, n$$

*și care minimizează funcția obiectiv:*

$$f = \sum_{i=1}^m \sum_{j=1}^n c_{ij} x_{ij} \quad (5.2.4)$$

Inegalitățile (5.2.2) exprimă cerința ca totalul livrărilor fiecărui furnizor să se încadreze în disponibil; inegalitățile (5.2.3) arată că cererea fiecărui consumator trebuie să fie acoperită prin totalul cantităților primite; în fine, (5.2.4) este expresia costului total al transportului.

Vom spune că problema de transport (PT) este *echilibrată* dacă:

$$\sum_{i=1}^m a_i = \sum_{j=1}^n b_j \quad (5.2.5)$$

Se observă imediat că (5.2.5) atrage după sine satisfacerea cu egalitate a restricțiilor (5.2.2) și (5.2.5). Prin urmare, modelul matematic al unei probleme de transport echilibrate este:

$$(PTE) \begin{cases} \sum_{j=1}^n x_{ij} = a_i, i = 1, \dots, m & (5.2.6) \\ \sum_{i=1}^m x_{ij} = b_j, j = 1, \dots, n & (5.2.7) \\ x_{ij} \geq 0 \\ (\min) f = \sum_{i=1}^m \sum_{j=1}^n c_{ij} x_{ij} \end{cases}$$

Remarcăm faptul că (PTE) este o problemă de programare liniară în formă standard, cu  $m + n$  restricții și  $m \cdot n$  variabile.

Se arată ușor că matricea A a coeficienților sistemului de restricții din (PTE), care apare în tabelul 1.1.1, are rangul  $m + n - 1$ . Aceasta înseamnă că în sistemul (5.2.6) - (5.2.7) putem elimina o ecuație fără ca mulțimea soluțiilor admisibile să se modifice. În consecință:

	$x_{11}$	$\dots x_{1j} \dots$	$x_{1n}$	$\dots$	$x_{i1}$	$\dots x_{ij} \dots$	$x_{in}$	$\dots$	$x_{m1}$	$\dots x_{mj} \dots$	$x_{mn}$
1	1	$\dots 1 \dots$	1		0	$\dots 0 \dots$	0		0	$\dots 0 \dots$	0
$\vdots$		$\ddots$								$\vdots$	
i	0	$\dots 0 \dots$	0		1	$\dots 1 \dots$	1		0	$\dots 0 \dots$	0
$\vdots$		$\vdots$								$\vdots$	
m	0	$\dots 0 \dots$	0		0	$\dots 0 \dots$	0		1	$\dots 1 \dots$	1
		$\vdots$								$\vdots$	
1	1	$\dots 0 \dots$	0		1	$\dots 0 \dots$	0		1	$\dots 0 \dots$	0
$\vdots$		$\vdots$								$\vdots$	
j	0	$\dots 1 \dots$	0		0	$\dots 1 \dots$	0		0	$\dots 1 \dots$	0
$\vdots$		$\ddots$								$\vdots$	
n	0	$\dots 0 \dots$	1		0	$\dots 0 \dots$	1		0	$\dots 0 \dots$	1
		$\ddots$								$\vdots$	

Tabelul 1.1.1

**Orice soluție de bază a problemei (PTE) are cel mult  $m + n - 1$  componente nenule.**

O soluție de bază a problemei (PTE) se va numi **nedegenerată** dacă are exact  $m + n - 1$  componente nenule; altminteri, ea se va zice **degenerată**.

În continuare, vom presupune că orice soluție a problemei (PTE) este nedegenerată. Cazul în care (PTE) are și soluții degenerate va fi analizat în secțiunea 5.2.5.

**Observație:** Orice soluție  $\bar{x} = (\bar{x}_{ij})$  a PTE va fi înscrisă într-un *tabel* cu  $m$  rânduri, corepunzătoare furnizorilor și  $n$  coloane corespunzătoare consumatorilor. Tabelul va avea  $m \cdot n$  celule sau *route*; celula din rândul  $i$  și coloana  $j$ , notată  $(F_i, C_j)$  sau simplu  $(i, j)$ , va conține componenta  $\bar{x}_{ij}$  a soluției  $\bar{x}$ .

**Exemplul 1.2.1** Să considerăm problema de transport echilibrată definită de următoarele date:

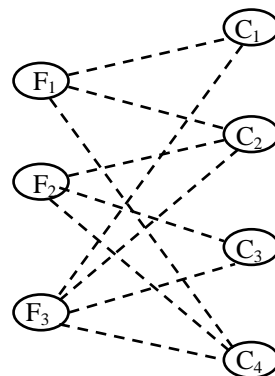
**Tabelul 1.2.1**

	$C_1$	$C_2$	$C_3$	$C_4$	Disponibil
$F_1$	3	3	1	4	15
$F_2$	3	4	3	6	17
$F_3$	4	3	6	2	18
Necesar	10	12	9	19	50

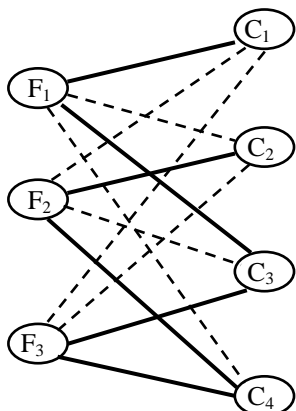
Modelul matematic:

$$\begin{cases}
 x_{11} + x_{12} + x_{13} + x_{14} = 15 \\
 x_{21} + x_{22} + x_{23} + x_{24} = 17 \\
 x_{31} + x_{32} + x_{33} + x_{34} = 18 \\
 x_{11} + x_{21} + x_{31} = 10 \\
 x_{12} + x_{22} + x_{32} = 12 \\
 x_{13} + x_{23} + x_{33} = 9 \\
 x_{14} + x_{24} + x_{34} = 19 \\
 x_{ij} \geq 0 \\
 (\min)f = 3x_{11} + 3x_{12} + x_{13} + 4x_{14} + 3x_{21} + 4x_{22} + \\
 + 3x_{23} + 6x_{24} + 4x_{31} + 3x_{32} + 6x_{33} + 2x_{34}
 \end{cases}$$

Toate legăturile de la fiecare furnizor  $F_i$  la fiecare consumator  $C_j$  pot fi vizualizate cu ajutorul desenului alăturat numit, așa cum știm, GRAF. Așa cum se observă, furnizorii și consumatorii sunt reprezentați cu ajutorul unor “noduri” unite prin “muchii” de legătură.



Obținerea unei soluții nedegenerate a PTE nu presupune utilizarea tuturor muchiilor de legătură dintre furnizorii  $F_i$  și consumatorii  $C_j$ . De exemplu, în graful anterior, selectăm în scopul transportului bunurilor între  $F_i$  și  $C_j$  muchiile desenate cu linie continuă și obținem în acest fel desenul de mai jos:



Dacă anulăm în sistemul restricțiilor toate variabilele  $x_{ij}$  cu proprietatea că muchiile corespunzătoare  $\{F_i, C_j\}$  nu vor fi utilizate (desenate cu linie punctată), rezultă sistemul și soluția:

$$\begin{cases}
 x_{11} + x_{13} = 15 \\
 x_{22} + x_{24} = 17 \\
 x_{33} + x_{34} = 18 \\
 x_{11} = 10 \\
 x_{13} = 5 \\
 x_{11} = 10 \Rightarrow x_{22} = 12 \Rightarrow \\
 x_{22} = 12 \Rightarrow x_{24} = 5 \\
 x_{13} + x_{33} = 9 \Rightarrow x_{33} = 4 \\
 x_{24} + x_{34} = 19 \Rightarrow x_{34} = 14
 \end{cases}$$

	$C_1$	$C_2$	$C_3$	$C_4$
$F_1$	10		5	
$F_2$		12		5
$F_3$			4	14

## 5.2. Adaptarea metodei simplex la rezolvarea PTE

Fiind o problemă de programare liniară, PTE se poate rezolva cu ajutorul metodei simplex. Totuși, algoritmul simplex va avea în acest caz o descriere specifică datorită unei proprietăți importante pe care o are matricea  $A$  a coeficienților PTE. Într-adevăr, se poate demonstra că *orice determinant extras din  $A$  are valoarea  $-1$ ,  $0$  sau  $1$* . În consecință, dacă disponibilele  $a_1, a_2, \dots, a_m$  și cererile  $b_1, b_2, \dots, b_n$  sunt exprimate prin numere întregi, orice soluție de bază va avea componentele întregi și astfel PTE va avea cel puțin o soluție optimă cu componente întregi.

### 5.2.1. Determinarea unei soluții admisibile de bază inițiale

Să considerăm următorul procedeu general de construire a unei soluții admisibile a PTE. Componentele ei vor fi determinate progresiv și înscrise într-un tabel așa cum s-a menționat în observația din secțiunea 5.1.2.

**Inițializare:** Toate cele  $m \cdot n$  rute ale tabelului sunt considerate *neblocate*.

**Etapă  $k$ ,  $k \geq 1$ .**

- Se alege o rută  $(F_{i_k}, C_{j_k})$  dintre cele *neblocate*.
- Se pune  $x_{i_k j_k} = \min(a_{i_k}, b_{j_k})$  și se blochează ruta aleasă. Vom spune că pe ruta (în celula)  $(F_{i_k}, C_{j_k})$  s-a făcut alocarea  $x_{i_k j_k}$ .
- Se actualizează:

$$a_{i_k} \leftarrow a_{i_k} - x_{i_k j_k}$$

$$b_{j_k} \leftarrow b_{j_k} - x_{i_k j_k}$$

- Dacă  $a_{i_k} = 0$  se pune  $x_{i_k j} = 0$  pe toate rutele  $(F_{i_k}, C_j)$ ,  $j \neq j_k$  încă *neblocate*, după care acestea se declară *blocate*.

Dacă  $b_{j_k} = 0$  se pune  $x_{ij_k} = 0$  pe toate rutele  $(F_i, C_{j_k})$ ,  $i \neq i_k$  încă *neblocate*, după care acestea se declară *blocate*.

- Dacă toate cele  $m \cdot n$  rute au fost blocate STOP. Altminteri, se actualizează  $k \leftarrow k + 1$  și se reiau operațiile de mai sus.

Se constată fără dificultate că ansamblul de valori numerice  $x = (x_{ij})$  rezultate în urma aplicării algoritmului constituie o soluție admisibilă a PTE; se poate arăta că  $x$  este o soluție de bază.

În ipoteza că valorile  $x_{ij}$  au fost trecute progresiv în tabelul menționat la început, este ușor de văzut că dacă la fiecare etapă se blochează fie rutele aparținând unui rând fie cele aparținând unei coloane, atunci soluția construită are exact  $m + n - 1$  componente nenule, altfel spus este *nedegenerată*. Dacă din contră, după efectuarea unei alocări, se blochează simultan atât rândul cât și coloana rutei în care s-a făcut alocarea, soluția rezultată va fi *degenerată*! Vom discuta în secțiunea 5.2.5 ce trebuie făcut în acest caz.

Toate metodele de generare a unei soluții inițiale pentru PTE au la bază procedura de mai sus. Ele se deosebesc prin modul de alegere a rutelor  $(F_{i_1}, C_{j_1})$ ,  $(F_{i_2}, C_{j_2})$ , ... Astfel:

1) În metoda **colțului de nord - vest (N - V)**, prima rută aleasă este  $(F_1, C_1)$ . Celelalte se aleg astfel încât  $1 = i_1 \leq i_2 \leq i_3 \leq \dots$  și  $1 = j_1 \leq j_2 \leq j_3 \leq \dots$

2) În metoda **costului (unitar de transport) minim** prima rută  $(F_{i_1}, C_{j_1})$  aleasă corespunde celui mai mic cost unitar de transport. La etapa  $k$ , ruta  $(F_{i_k}, C_{j_k})$  corespunde celui mai mic cost unitar de transport de pe rutele încă *neblocate* la această etapă.

3) Metoda **diferențelor maxime (Vogel)** este o metodă mai elaborată. Presupunem costurile unitare de transport înscrise într-un tabel cu  $m$  rânduri și  $n$  coloane.

- Pe fiecare rând și pe fiecare coloană a acestui tabel se calculează *diferența* dintre *cel mai mic* cost de transport și cel *imediat* superior; dacă costul minim *nu* este unic, diferența se va lua egală cu *zero*.
- Se identifică rândul sau coloana cu *cea mai mare* diferență și aici, *în ruta de cost minim*, se execută prima *alocare* din algoritmul precedent.
- Se refac diferențele pe rândurile și coloanele *neblockate* folosindu-se numai *costuri "neblockate"*, după care se reia procedura de alocare.

**Exemplul 2.1.1** Vom genera o soluție de bază inițială pentru problema de transport echilibrată din exemplul 1.2.1, folosind pe rând cele trei metode sus amintite.

1) Prin metoda colțului N - V se obține soluția:

10 <sup>(1)</sup>	5 <sup>(2)</sup>		
	7 <sup>(3)</sup>	9 <sup>(4)</sup>	1 <sup>(5)</sup>
			18 <sup>(6)</sup>

Atenție: numerele înscrise în paranteze indică *ordinea* alocărilor!

**Tabelul 2.1.1**

Costul asociat acestei soluții:  $f = 10 \times 3 + 5 \times 3 + 7 \times 4 + 9 \times 3 + 1 \times 6 + 18 \times 2 = 142$  u.m.

2) Prin metoda costului minim rezultă soluția:

	6 <sup>(4)</sup>	9 <sup>(1)</sup>	
10 <sup>(3)</sup>	6 <sup>(5)</sup>		1 <sup>(6)</sup>
			18 <sup>(2)</sup>

Costul asociat:  $f = 123$  u.m.

**Tabelul 2.1.2**

3) Prin metoda diferențelor maxime se obține soluția:

	5 <sup>(6)</sup>	9 <sup>(1)</sup>	1 <sup>(3)</sup>
10 <sup>(4)</sup>	7 <sup>(5)</sup>		
			18 <sup>(2)</sup>

Costul asociat:  $f = 122$  u.m.

**Tabelul 2.1.3**

(Cititorul este îndemnat să refacă " în dinamică" construcția soluțiilor de mai sus!)

**Observație:** Metoda colțului N - V, deși mai simplă, produce în general soluții cu cost mai ridicat deoarece nu ține seama în nici un fel de costurile unitare de transport. Celelalte metode, acordând prioritate rutelor "mai ieftine", dau soluții mai apropiate de soluția optimă.

Experimentele numerice au arătat că metoda diferențelor maxime produce de foarte multe ori chiar soluția optimă sau în orice caz o soluție foarte apropiată de aceasta, așa încât mulți utilizatori preferă s-o adopte ca soluție suboptimală. În aplicațiile numerice vom lucra numai cu Metoda costului minim pe tabel, respectiv cu Metoda Vogel.



### 5.2.2. Testarea optimalității unei soluții admisibile de bază a PTE

Fie  $\bar{x} = (\bar{x}_{ij})$  o soluție admisibilă de bază a PTE, presupusă nedegenerată. Obiectivul este de a găsi o condiție pentru recunoașterea optimalității sale. Să considerăm duala problemei de transport echilibrată:

(Q) Să se determine  $u^* = (u_1^*, u_2^*, \dots, u_m^*)$  și  $v^* = (v_1^*, v_2^*, \dots, v_n^*)$  care maximizează funcția:

$$g = \sum_{i=1}^m a_i u_i + \sum_{j=1}^n b_j v_j$$

cu restricțiile:

$$u_i + v_j \leq c_{ij} \quad i = 1, \dots, m; j = 1, \dots, n \quad (5.2.1)$$

**Teorema ecarturilor complementare** (cap. 4, teorema 2.3.4) arată că soluția  $\bar{x}$  este optimă dacă și numai dacă există  $(\bar{u}, \bar{v}) = (\bar{u}_1, \dots, \bar{u}_m, \bar{v}_1, \dots, \bar{v}_n)$  care satisfac restricțiile (5.2.1) ale dualii (Q), astfel încât  $(\bar{x}, \bar{u}, \bar{v})$  să verifice relațiile:

$$x_{ij}(u_i + v_j - c_{ij}) = 0 \quad i = 1, \dots, m; j = 1, \dots, n \quad (5.2.2)$$

Să notăm cu  $I$  mulțimea rutelor  $(F_i, C_j)$  (sau mai simplu  $(i, j)$ ) cu proprietatea că  $\bar{x}_{ij} \neq 0$ . Deoarece soluția  $\bar{x}$  a fost presupusă nedegenerată, mulțimea  $I$  are  $m + n - 1$  elemente. Din (5.2.2) rezultă că, pentru a fi optimă, soluția duală  $(\bar{u}, \bar{v})$  de mai sus trebuie să verifice relațiile:

$$u_i + v_j = c_{ij} \quad (\forall) (i, j) \in I \quad (5.2.3)$$

Să remarcăm că (5.2.3) este un sistem liniar cu  $m + n - 1$  ecuații și  $m + n$  variabile. Deoarece  $I$  se identifică cu un arbore maximal în graful  $G$  asociat PTE (a se vedea Capitolul 1!), sistemul (5.2.3) este întotdeauna compatibil nedeterminat soluțiile sale fiind de forma:

$$u_i = u_i^0 + k \quad i = 1, \dots, m; \quad v_j = v_j^0 - k \quad j = 1, \dots, n \quad (5.2.4)$$

unde  $k$  este un parametru iar  $(u^0, v^0) = (u_1^0, \dots, u_m^0, v_1^0, \dots, v_n^0)$  este o soluție particulară a sistemului (5.2.3). Rezultă că valorile expresiilor:

$$\Delta_{ij} = u_i + v_j - c_{ij} \quad (5.2.5)$$

nu depind de soluția  $(\bar{u}, \bar{v})$  a sistemului (5.2.3), deoarece:

$$\Delta_{ij} = (u_i^0 + k) + (v_j^0 - k) - c_{ij} = u_i^0 + v_j^0 - c_{ij}$$

Din considerațiile de mai sus deducem următorul criteriu de recunoaștere a optimalității soluției  $\bar{x}$ :

**Determinăm o soluție particulară  $(\bar{u}, \bar{v})$  a sistemului (5.2.3) și calculăm  $\Delta_{ij} = \bar{u}_i + \bar{v}_j - c_{ij}$  pentru toate cuplurile  $(i, j) \notin I$  (pentru  $(i, j) \in I$  este evident că  $\Delta_{ij} = 0$ ).**

**Dacă toți  $\Delta_{ij}$  calculați sunt  $\leq 0$ , atunci  $(\bar{u}, \bar{v})$  este o soluție a dualii (Q) care împreună cu  $\bar{x}$  satisface condițiile de ecart complementar (5.2.2) și, în consecință,  $\bar{x}$  este o soluție optimă a PTE.**

**Exemplul 2.2.1** Vom testa optimalitatea soluției determinate în exemplul 5.1.1 prin metoda diferențelor maxime.

Sistemul  $u_i + v_j = c_{ij} \quad (i, j) \in I$

	$v_1$	$v_2$	$v_3$	$v_4$
$u_1$		5	9	1
$u_2$	10	7		
$u_3$				18

 $\Rightarrow$ 

	$u_1 + v_2 = 3$	$u_1 + v_3 = 1$	$u_1 + v_4 = 4$
$u_2 + v_1 = 3$	$u_2 + v_2 = 4$		
			$u_3 + v_4 = 2$

Tabelele 2.2.1 - 2.2.2

Determinăm o soluție particulară a acestui sistem luând  $u_1 = 0$

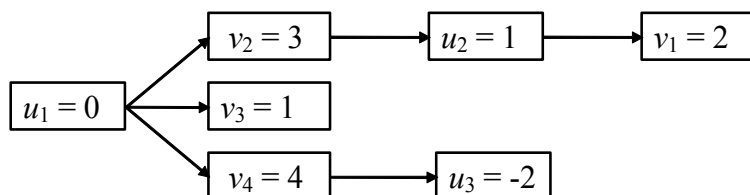


Figura 5.2.1

Este interesant de urmărit rezolvarea sistemului pe graful (arborele) asociat soluției  $\bar{x}$ :

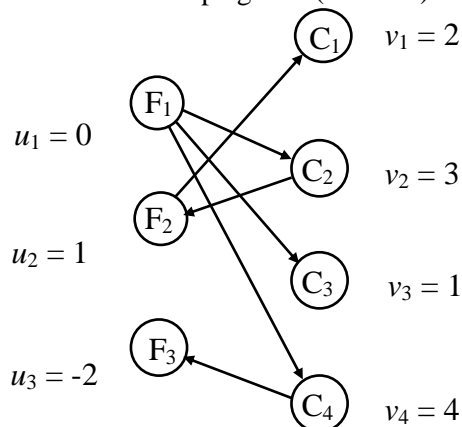


Figura 5.2.2

Calculăm mărimile  $\Delta_{ij} = u_i + v_j - c_{ij}$  numai pentru rutele "neocupate" adică pentru rutele  $(i,j) \notin I$  (Pentru cele "ocupate", adică pentru rutele  $(i,j) \in I$ , știm că  $\Delta_{ij} = 0$ ; în tabelul 2.2.3 aceste zerouri au fost înlocuite cu asteriscuri pentru a le deosebi de eventualele mărimi  $\Delta_{ij}$  nule, asociate unor rute neocupate. Prezența unor asemenea mărimi în cazul în care soluția curentă este optimă arată că aceasta nu este unică!

	$v_1 = 2$	$v_2 = 3$	$v_3 = 1$	$v_4 = 4$
$u_1 = 0$	-1	*	*	*
$u_2 = 1$	*	*	-1	-1
$u_3 = -2$	-4	-2	-7	*

Tabelul 2.2.3

Constatăm că soluția testată verifică criteriul de optimalitate.

### 5.2.3 Îmbunătățirea unei soluții de bază

Să presupunem că soluția  $\bar{x}$  considerată în secțiunea precedentă nu verifică testul de optimalitate; aceasta înseamnă că:

există o rută  $(i_0, j_0) = (F_{i_0}, C_{j_0}) \notin I$  cu proprietatea  $\Delta_{i_0 j_0} > 0$ .

Vom construi o soluție admisibilă de bază  $\bar{x}'$  mai bună decât  $\bar{x}$  în sensul că  $\bar{x}'$  implică un cost total de transport mai mic.

Adăugăm muchia  $\{F_{i_0}, C_{j_0}\}$  la graful - arbore H corespunzător soluției  $\bar{x}$ . Conform unei proprietăți a arborilor se va forma un unic *ciclu*. Deoarece arborele H împreună cu muchia adăugată fac parte din graful asociat PTE care este *bipartit*, ciclul format are un număr *par* de muchii. Să parcurgem muchiile ciclului într-unul din cele două sensuri posibile, plecând de exemplu din nodul  $F_{i_0}$ :

$$F_{i_0} \rightarrow C_{j_0} \rightarrow F_{i_1} \rightarrow C_{j_1} \rightarrow \dots \rightarrow F_{i_p} \rightarrow C_{j_p} \rightarrow F_{i_0} \quad (5.3.1)$$

Fie  $\theta > 0$ . Construim o soluție variabilă  $\tilde{x} = (\tilde{x}_{ij})$  a PTE punând:

$$\begin{aligned}\tilde{x}_{i_0j_0} &= \theta, \tilde{x}_{i_1j_0} = \bar{x}_{i_1j_0} - \theta, \tilde{x}_{i_1j_1} = \bar{x}_{i_1j_1} + \theta, \dots, \tilde{x}_{i_pj_p} = \bar{x}_{i_pj_p} + \theta, \tilde{x}_{i_0j_p} = \bar{x}_{i_0j_p} - \theta \\ \tilde{x}_{ij} &= \bar{x}_{ij} \text{ în rest}\end{aligned}\quad (5.3.2)$$

Deoarece soluția  $\bar{x}$  este presupusă nedegenerată, pentru  $\theta$  suficient de mic, (5.3.2) este o soluție admisibilă a PTE. Costul asociat soluției  $\tilde{x}$  va diferi de costul asociat soluției  $\bar{x}$  prin valoarea:

$$\begin{aligned}\Delta f &= f(\tilde{x}) - f(\bar{x}) = \theta(c_{i_0j_0} - c_{i_1j_0} + c_{i_1j_1} - c_{i_2j_1} + \dots + c_{i_pj_p} - c_{i_0j_p}) = \\ &= \theta[c_{i_0j_0} - (\bar{u}_{i_1} + \bar{v}_{j_0}) + (\bar{u}_{i_1} + \bar{v}_{j_1}) - (\bar{u}_{i_2} + \bar{v}_{j_1}) + \dots + (\bar{u}_{i_p} + \bar{v}_{j_p}) - (\bar{u}_{i_0} + \bar{v}_{j_p})] = \\ &= \theta(c_{i_0j_0} - \bar{u}_{i_0} - \bar{v}_{j_0}) = -\theta \cdot \Delta_{i_0j_0} < 0 \text{ de unde:}\end{aligned}$$

$$f(\tilde{x}) = f(\bar{x}) - \theta \Delta_{i_0j_0} \quad (5.3.3)$$

Relația (5.3.3) arată că  $\tilde{x}$  implică un cost total de transport mai mic decât soluția curentă  $\bar{x}$ , diferența fiind cu atât mai mare cu cât  $\theta$  sau  $\Delta_{i_0j_0}$  este mai mare.

Pentru a menține admisibilitatea soluției (2.3.2) este necesar ca:

$$\bar{x}_{i_1j_0} - \theta \geq 0, \bar{x}_{i_2j_1} - \theta \geq 0, \dots, \bar{x}_{i_0j_p} - \theta \geq 0$$

de unde rezultă că  $\theta$  nu poate depăși valoarea:

$$\theta_0 = \min\{\bar{x}_{i_1j_0}, \bar{x}_{i_2j_1}, \dots, \bar{x}_{i_0j_p}\} = \bar{x}_{i_sj_{s-1}} \quad (5.3.4)$$

Luăm în (5.3.2)  $\theta = \theta_0$  și notăm cu  $\bar{x}'$  soluția  $\tilde{x}$  corespunzătoare. Ea va avea cel mult  $m + n - 1$  componente nenule; într-adevăr, în noua soluție  $\bar{x}'_{i_0j_0} = \theta_0 > 0$  iar în vechea soluție  $\bar{x}_{i_0j_0} = 0$ . Pe de altă parte, componenta  $\bar{x}'_{i_sj_{s-1}}$  corespunzătoare minimului din (5.3.4) este acum nulă în timp ce în vechea soluție  $\bar{x}$  era pozitivă. Noua soluție  $\bar{x}'$  este și o soluție de bază, deoarece ea corespunde arborelui  $H'$  obținut din  $H \cup \{F_{i_0}, C_{j_0}\}$  îndepărtând muchia  $\{F_{i_s}, C_{j_{s-1}}\}$ .

**Exemplul 2.3.1** Considerăm problema de transport echilibrată din exemplul 1.2.1 și soluția  $\bar{x}$  generată prin metoda colțului N-V în exemplul 2.1.1. Aplicăm acestei soluții testul de optimalitate din secțiunea precedentă.

Sistemul $u_i + v_j = c_{ij} \ (i,j) \in I$			
10	5		
	7	9	1
			18

$u_1 + v_1 = 3$	$u_1 + v_2 = 3$		
	$u_2 + v_2 = 4$	$u_2 + v_3 = 3$	$u_2 + v_4 = 6$
			$u_3 + v_4 = 2$

Tabelele 2.3.1 -2.3.2

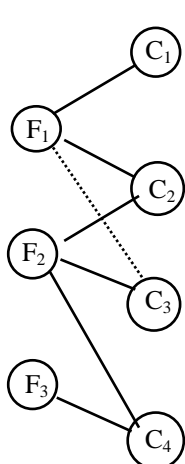
Determinăm o soluție particulară a sistemului luând de exemplu  $u_2 = 0$ , după care calculăm mărimile  $\Delta_{ij} = u_i + v_j - c_{ij}$  pentru rutele "neocupate":

	$v_1 = 4$	$v_2 = 4$	$v_3 = 3$	$v_4 = 6$
$u_1 = -1$	*	*	1	1
$u_2 = 0$	1	*	*	*
$u_3 = -4$	-4	-3	-7	*

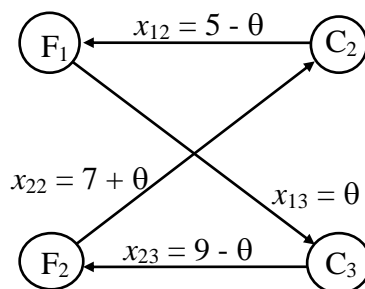
Tabelul 2.3.3

Rutele "ocupate" au fost marcate cu asteriscuri!

Deoarece există și mărimi  $\Delta_{ij}$  pozitive, soluția testată nu este optimă. Considerăm ruta neocupată  $(F_1, C_3)$  în care  $\Delta_{13} = 1 > 0$ . Adăugăm la arborele  $H$  al soluției  $\bar{x}$  muchia  $\{F_1, C_3\}$ :



Rezultă ciclul:



Pe muchiile ciclului au fost puse în evidență componentele din soluția variabilă  $\tilde{x}$  care depind de parametrul  $\theta > 0$ .

Acest ciclu se poate pune în evidență și în tabelul 2.3.1 al soluției  $\bar{x}$  printr-un **contur poligonal** care începe din celula (1,3) și "cotește" în unghi drept prin celulele ocupate (2,3), (2,2), (1,2) - vezi tabelul 2.3.4.

10	5 - $\theta$	-	+	$\theta$	
	7 + $\theta$	+	-	9 - $\theta$	1
					18

Tabelul 2.3.4

Conturul va avea un număr *par* de "colțuri" deoarece acestea corespund muchiilor ciclului.

În tabelul 2.3.4 apare în fapt soluția variabilă  $\tilde{x}$  definită în (2.3.2). Costul asociat al transportului, calculat cu relația (2.3.3) are valoarea:

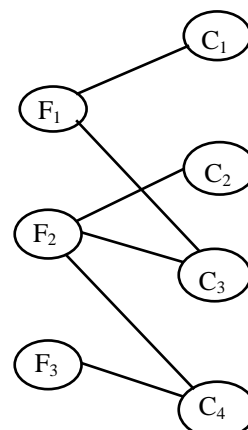
$$f(\tilde{x}) = f(\bar{x}) - \theta \Delta_{13} = 143 - 1 \cdot \theta$$

Pentru determinarea comodă a lui  $\theta_0$  din (2.3.4) putem proceda astfel: *marcăm* succesiv colțurile conturului poligonal cu „+” și „-” începând cu + în celula (1,3). Atunci  $\theta_0$  este exact *minimul* componentelor soluției  $\bar{x}$  care sunt situate în celulele marcate cu „-”:  $\theta_0 = \bar{x}_{12} = 5$ . Noua soluție  $\bar{x}'$  apare în Tabelul 2.3.5:

10		5	
	12	4	1
			18

Tabelul 2.3.5

și corespunde arborelui H dedus din  $H \cup \{F_1, C_3\}$  eliminând muchia  $\{F_1, C_2\}$ :



Invităm cititorul să repete calculele făcute în acest exemplu plecând de la soluția din tabelul 2.3.5.

#### 5.2.4. Algoritm de rezolvare a PTE. Convergență

Ca și până acum ne vom referi la problema de transport echilibrată (PTE) al cărei model matematic a fost prezentat în secțiunea 5.1.2 și vom presupune în continuare că *toate* soluțiile sale de bază sunt

*nedegenerate*. Dezvoltările teoretice din secțiunile precedente ca și exemplele ilustrative conduc la următorul algoritm de rezolvare a PTE.

**Inițializare.** Se determină printr-o metodă oarecare (vezi secțiunea 5.2.1) o soluție admisibilă de bază de start  $\bar{x} = (\bar{x}_{ij})$ .

**Conținutul unei iterații. 1)** Se asociază furnizorilor variabilele  $u_1, u_2, \dots, u_m$  și consumatorilor variabilele  $v_1, v_2, \dots, v_n$ . Asociem fiecărei rute ocupate  $(i, j)$  (aceasta însemnând  $\bar{x}_{ij} > 0$ ) o ecuație de forma  $u_i + v_j = c_{ij}$ . Se determină o soluție particulară  $(\bar{u}, \bar{v})$  a sistemului format. Pentru aceasta se acordă o valoare particulară (întotdeauna **zero**) uneia dintre variabile (de regulă, *cele care apare de cele mai multe ori*); valorile celorlalte variabile se determină apoi *în mod unic*.

**2) (Test de optimalitate)** Se calculează mărimile  $\Delta_{ij} = \bar{u}_i + \bar{v}_j - c_{ij}$  pentru toate rutele neocupate (adică acolo unde  $\bar{x}_{ij} = 0$ ). Dacă toți  $\Delta_{ij} \leq 0$  soluția curentă  $\bar{x}$  este *optimă*. În caz contrar:

**3)** Se identifică ruta  $(i_0, j_0)$  cu *cel mai mare*  $\Delta_{i_0 j_0}$  pozitiv. În tabelul soluției  $\bar{x}$  se identifică *unicul* *contur poligonal* care începe și sfârșește în celula  $(i_0, j_0)$  și cotește în unghi drept numai prin celule ocupate (acest contur corespunde *ciclului* format în arborele H asociat soluției  $\bar{x}$ , după adăugarea muchiei  $\{F_{i_0}, C_{j_0}\}$ !). Se marchează alternativ cu "+" și "-" colțurile ciclului, începând cu + din celula  $(i_0, j_0)$ . Se calculează  $\theta_0$  ca fiind *minimul* componentelor  $\bar{x}_{ij}$  aflate în celulele marcate cu "-".

**4) (Construcția unei noi soluții)** Se adună  $\theta_0$  la valorile  $\bar{x}_{ij}$  aflate în celulele marcate cu "+" și se scade același  $\theta_0$  din valorile  $\bar{x}_{ij}$  înscrise în celulele marcate cu "-". Valorile  $\bar{x}_{ij}$  aflate în celulele nemarcate cu "+" sau "-" nu se modifică. Costul asociat soluției  $\bar{x}'$  rezultate are valoarea:

$$f(\bar{x}') = f(\bar{x}) - \theta_0 \cdot \Delta_{i_0 j_0} \quad (5.4.1)$$

Se revine la pasul 1) în cadrul unei noi iterații.

În ceea ce privește convergența algoritmului, *dacă toate soluțiile de bază ale PTE sunt nedegenerate, algoritmul descris se termină într-un număr finit de iterații cu determinarea unei soluții optime*.

Într-adevăr, formula (5.4.1) arată că la fiecare iterație valoarea funcției obiectiv descrește semnificativ. Cum numărul soluțiilor de bază admisibile este finit, algoritmul se oprește obligatoriu într-un număr finit de pași, ultima soluție testată fiind optimă.

### 5.2.5. Degenerare

Algoritmul de rezolvare a PTE și convergența acestuia au fost prezentate în ipoteza că toate soluțiile admisibile de bază ale problemei sunt **nedegenerate** (*soluția are exact  $m + n - 1$  componente nenule*). Șansa ca o problemă de transport să aibe soluții degenerate este însă foarte mare și în plus nu avem nici un criteriu pe baza căruia să recunoaștem în prealabil existența acestor soluții. Este important să observăm că:

*Dacă în rezolvarea unei PTE am pornit cu o soluție nedegenerată și apoi toate soluțiile construite au fost de asemenea nedegenerate, procesul iterativ este necesarmente finit.*

În virtutea acestei observații, va fi important să știm cum procedăm dacă soluția de start este degenerată sau dacă degenerarea apare pe parcursul aplicării algoritmului. În principiu, evitarea degenerării se face prin "ușoară" *perturbare* a unora din datele problemei de așa manieră încât noua problemă să aibe numai soluții de bază nedegenerate! Soluțiile celor două probleme vor diferi "cu puțin" unele de altele astfel că, după rezolvarea problemei perturbate prin "revenire" la problema inițială se obține soluția optimă a acesteia din urmă. Am considerat că este mai simplu și mai bine să explicăm *tehnica de perturbare* pe câteva exemple particulare; în orice altă situație similară se va proceda absolut analog.

**Exemplul 2.5.1** Considerăm problema de transport echilibrată definită de datele din tabelul 2.5.1:

	C <sub>1</sub>	C <sub>2</sub>	C <sub>3</sub>	C <sub>4</sub>	Disponibi l
F <sub>1</sub>	4	2	5	4	100
F <sub>2</sub>	6	7	3	8	100
F <sub>3</sub>	3	5	4	5	100
Necesar	110	90	50	50	300

Tabelul 2.5.1

În tabelul 2.5.2 este dată soluția generată prin metoda diferențelor maxime:

10 <sup>(4)</sup>	90 <sup>(1)</sup>		
		50 <sup>(2)</sup>	50 <sup>(5)</sup>
100 <sup>(3)</sup>			

Tabelul 2.5.2

Soluția este *degenerată* deoarece are  $5 < 6 = 3 + 4 - 1$  componente nenule. Această situație se datorează faptului că la alocarea a 4-a disponibilul curent al furnizorului F<sub>1</sub> a fost egal cu necesarul curent al consumatorului C<sub>1</sub> (=10) și ca urmare, după efectuarea alocării, atât rândul 1 cât și coloana 1 au fost blocate! Pentru a obține o soluție nedegenerată *perturbăm puțin* datele problemei originale în următorul mod. Fie  $\varepsilon > 0$  un număr foarte mic.

- Mărim cu  $\varepsilon$  necesarul consumatorului C<sub>1</sub> acesta devenind  $b_1 = 110 + \varepsilon$ .
- Pentru reechilibrarea problemei mărim cu același  $\varepsilon$  disponibilul unui furnizor *activ* (adică cu disponibilul curent nenul) *altul* decât F<sub>1</sub>; de exemplu modificăm disponibilul lui F<sub>2</sub>:  $a_2 = 100 + \varepsilon$ .

Reluăm alocarea a 4-a:

$$x_{11} = \min(10 + \varepsilon, 10) = 10$$

Actualizăm:

$$b_1 \leftarrow \varepsilon \quad a_1 \leftarrow 0$$

Continuând aplicarea metodei diferențelor maxime, rezultă în final soluția nedegenerată:

10 <sup>(4)</sup>	90 <sup>(1)</sup>		
$\varepsilon$ <sup>(5)</sup>		50 <sup>(2)</sup>	50 <sup>(6)</sup>
100 <sup>(3)</sup>			

Tabelul 2.5.3

dar, pentru problema *perturbată!!*

Aplicăm acestei soluții algoritmul de rezolvare a PTE:

	$v_1 = 0$	$v_2 = -2$	$v_3 = -3$	$v_4 = 2$	
$u_1 = 4$	*	*	-4	2	
$u_2 = 6$	*	-3	*	*	$\Rightarrow$
$u_3 = 3$	*	-4	-4	0	

	90		10
10 + $\varepsilon$		50	40
100			

Tabelele 2.5.4 - 2.5.5

“Redistribui” în colțurile ciclului valoarea:

$$\theta_0 = \min \{x_{11} = 10, x_{24} = 50\} = 10 \Rightarrow$$

Obținem soluția:

	90		10
10 + $\varepsilon$		50	40
100			

Tabelul 2.5.6

Pentru  $\varepsilon = 0$  se găsește o soluție nedegenerată a problemei originale căreia îi aplicăm, în continuare algoritmul:

	$v_1=6$	$v_2=6$	$v_3=3$	$v_4=8$					
$u_1=-4$		90		10		-2	*	-6	*
$u_2=0$	10		50	40	$\Rightarrow$	*	-1	*	*
$u_3=-3$	100					*	-2	-4	0

Tabelele 2.5.7 - 2.5.8

Noua soluție, notată  $\bar{x}$ , este optimă. Deoarece  $\Delta_{34} = 0$ , problema mai are o soluție optimă de bază  $\bar{x}'$  care se obține folosind conturul poligonal asociat în tabelul 2.5.7 celei (3,4):

	90		10
50		50	
60			40

Tabelul 2.5.9

În acord cu teoria generală a programării liniare, problema dată va avea o infinitate de soluții optime de forma:

$$x = \alpha \bar{x} + \beta \bar{x}'$$

$$\text{unde } \alpha + \beta = 1$$

$$\alpha \geq 0, \beta \geq 0$$

	90		10
$10\alpha + 50\beta$		50	$40\alpha$
$100\alpha + 60\beta$			$40\beta$

Tabelul 2.5.10

**Exemplu 2.5.2** Să rezolvăm acum problema:

	$C_1$	$C_2$	$C_3$	$C_4$	Disponibil
$F_1$	4	2	5	4	110
$F_2$	6	7	3	8	80
$F_3$	3	5	4	5	90
Necesar	120	90	50	20	280

Tabelul 2.5.11

pornind de la soluția de bază nedegenerată din tabelul 2.5.12, determinată prin metoda diferențelor maxime.

20 <sup>(4)</sup>	90 <sup>(1)</sup>		
10 <sup>(5)</sup>		50 <sup>(2)</sup>	20 <sup>(6)</sup>
90 <sup>(3)</sup>			

Tabelul 2.5.12

	90		20
30		50	
90			

Tabelul 2.5.13

Propunem cititorului să verifice că această soluție nu este optimă și că  $\Delta_{14} = 2 > 0$ . În tabelul 2.5.12 este indicat și conturul poligonal asociat rutei (1,4). Marcând succesiv colțurile conturului cu „+” și „-” se constată că minimum  $\theta_0$  al valorilor numerice din celulele marcate cu „-” nu este unic:  $\theta_0 = x_{11} = x_{24} = 20$ .

Aceasta face ca noua soluție, indicată în tabelul 2.5.13, să fie *degenerată*. Pentru a evita degenerarea, modificăm puțin valoarea uneia din variabilele  $x_{11}$  sau  $x_{24}$ ; luăm de exemplu:  $x_{11} = 20 + \varepsilon$ , ceea ce înseamnă să considerăm  $a_1 = 110 + \varepsilon$  și  $b_1 = 120 + \varepsilon$ . De această dată minimum  $\theta_0 = x_{24} = 20$  este unic, astfel că după “redistribuirea” sa în colțurile conturului poligonal indicat se obține soluția nedegenerată din tabelul 2.5.14:

$\varepsilon$	90		20
30		50	
90			

Tabelul 2.5.14

	$v_1=0$	$v_2=-2$	$v_3=-3$	$v_4=0$
$u_1=4$	*	*	-4	*
$u_2=6$	*	-3	*	-2
$u_3=3$	*	-4	-4	-2

Tabelul 2.5.15

dar, a problemei modificate! Din tabelul alăturat 2.5.15 rezultă că soluția construită este optimă. Luând  $\varepsilon = 0$  obținem soluția optimă a problemei inițiale care este deja afișată în tabelul 2.5.13.

### 5.3. Variante ale problemei de transport

În dezvoltările teoretice din secțiunile precedente condiția de echilibru (5.2.5) a fost esențială. În foarte multe contexte practice însă, această condiție nu este îndeplinită. De asemenea, este posibil ca unele ipoteze sau constante ale problemei de transport să se modifice de la o perioadă la alta antrenând schimbări de amploare mai mică sau mai mare în soluția optimă. În fine, nu puține sunt situațiile concrete ce nu implică "transporturi" în sensul strict al cuvîntului, dar care pot fi modelate ca probleme de transport.

#### 5.3.1 Probleme de transport neechilibrate

- a) În cazul în care în problema generală de transport (secțiunea 5.1.2) totalul cantităților disponibile la furnizori întrece totalul cererilor consumatorilor:

$$\sum_{i=1}^m a_i > \sum_{j=1}^n b_j$$

ne putem reduce la o problemă de transport echilibrată introducând un **consumator fictiv**  $C_{n+1}$  a cărui "cerere" să fie egală cu *excesul de disponibil*:

$$b_{n+1} = \sum_{i=1}^m a_i - \sum_{j=1}^n b_j$$

Costurile unitare de transport de la furnizorii reali către  $C_{n+1}$  se iau egale cu *zero*. După rezolvarea problemei echilibrate, *cantitățile "livrate" consumatorului fictiv se vor interpreta drept cantități rămase în stocurile furnizorilor*.

- b) Dacă totalul cantităților disponibile este mai mic decât cererea totală:

$$\sum_{i=1}^m a_i < \sum_{j=1}^n b_j$$

problema de transport, așa cum a fost ea definită în secțiunea 1.2, este **incompatibilă** (vezi inegalitatea (5.2.1)). *Putem încerca o rezolvare parțială a cererilor*, introducând un **furnizor fictiv**  $F_{m+1}$  al cărui "disponibil" să fie egal cu *cererea neacoperită*:

$$a_{m+1} = \sum_{j=1}^n b_j - \sum_{i=1}^m a_i$$

Din nou, costurile unitare de transport pe rutele ce leagă acest "furnizor" de consumatorii reali se iau egale cu *zero*. Obținem o problemă de transport echilibrată, în a cărei soluție optimă, *cantitățile "livrate" de furnizorul fictiv se vor interpreta drept cereri neacoperite*.

Mult mai aproape de realitate ni se pare următoarea abordare. Să presupunem că furnizorii  $F_1, F_2, \dots, F_m$  sunt bazine carbonifere iar consumatorii  $C_1, C_2, \dots, C_n$  sunt termocentrale. Să admitem că într-o perioadă normală de lucru (să zicem o lună) cantitatea de cărbune  $Q$  necesară termocentralelor, reprezentată prin suma  $b_1 + b_2 + \dots + b_n$  a cererilor este egală cu cantitatea totală de cărbune posibil de livrat de către centrele miniere, cantitate reprezentată prin suma  $a_1 + a_2 + \dots + a_m$ . Cunoscând costurile unitare de transport ale cărbunelui pe calea ferată sau cu alte mijloace (naval, auto) se poate determina un program de satisfacere a necesarului de cărbune al termocentralelor care să implice un cost total minim. Să presupunem că în luna următoare sunt anunțate o serie de acțiuni greviste la unele centre miniere. Este posibil ca nu toate sindicatele miniere din același bazin carbonifer să adere la grevă ceea ce face ca producția de cărbune să scadă într-o măsură mai mică sau mai mare. Fie  $a'_1, a'_2, \dots, a'_m$  producțiile lunare în condiții de criză și  $Q' < Q$  suma acestora.

*Într-o asemenea situație critică este mai logic ca fiecare termocentrală să primească o parte proporțională cu cererea sa în condiții normale de aprovizionare, adică:*

$$\frac{b'_1}{b_1} = \frac{b'_2}{b_2} = \dots = \frac{b'_n}{b_n},$$



$b'_1, b'_2, \dots, b'_n$  fiind cantitățile ce urmează a fi primite în situația de criză. Noile cantități se pot deduce ușor, observând că fiecare raport  $\frac{b'_j}{b_j}$  este egal cu:

$$\frac{b'_1 + b'_2 + \dots + b'_n}{b_1 + b_2 + \dots + b_n} = \frac{a'_1 + a'_2 + \dots + a'_m}{a_1 + a_2 + \dots + a_m} = \frac{Q'}{Q}$$

de unde:

$$b'_j = \frac{Q'}{Q} b_j \quad j = 1, \dots, n.$$

O dată stabilite cantitățile  $b'_i$  avem o problemă de transport echilibrată pe care o rezolvăm cu algoritmul descris.

**Exemplul 3.1.1** Patru termocentrale  $C_1, C_2, C_3, C_4$  se aprovizionează cu cărbune de la trei mine  $F_1, F_2, F_3$ . Necesarul lunar al termocentralelor, producțiile lunare ale minelor și costurile transportului unei unități fizice de cărbune (1000 t.) pe diferitele rute sunt date în tabelul 3.1.1

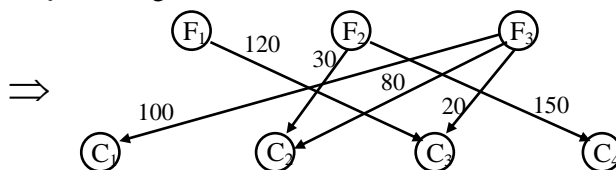
	$C_1$	$C_2$	$C_3$	$C_4$	Disponibil
$F_1$	3	2	1	5	120
$F_2$	4	3	7	2	180
$F_3$	3	3	5	6	200
Necesar	100	110	140	150	500

Tabelul 3.1.1

Cu metoda diferențelor maxime, se obține direct programul optim de aprovizionare din tabelul 3.1.2. Rutele utilizate în acest program sunt evidențiate în figura alăturată.

		120	
	30		150
100	80	20	

Tabelul 3.1.2



Costul asigurării transporturilor din program se ridică la 1150 u.m.

Pentru luna următoare unele sindicate miniere preconizează o serie de acțiuni greviste. Ca urmare a acestora se estimează că producția totală de cărbune va scăde cu 30% fiind repartizată astfel: 100 mii t. la mina  $F_1$  și numai 120, respectiv 130 mii t. la minele  $F_2$  și  $F_3$  deci un total de 350 mii t. față de o cerere de 500 mii t.

Problema repartizării producției diminuate se poate pune în două moduri:

- urmărind în exclusivitate criteriul minimizării cheltuielilor de transport. “Reechilibrăm” problema prin introducerea unei “mine” fictive  $F_4$  a cărei producție lunară să fie egală cu cantitatea cu care s-a diminuat producția curentă a minelor reale, adică 150 mii t. Neexistând transporturi efective între  $F_4$  și  $C_1, C_2, C_3, C_4$  costurile unitare de transport pe rutele corespunzătoare vor fi luate, firesc, egale cu zero. Vezi tabelul 3.1.3.

	$C_1$	$C_2$	$C_3$	$C_4$	Disponibil
$F_1$	3	2	1	5	100
$F_2$	4	3	7	2	120
$F_3$	3	3	5	6	130
$F_4$	0	0	0	0	150
Necesar	100	110	140	150	500

Tabelul 3.1.3

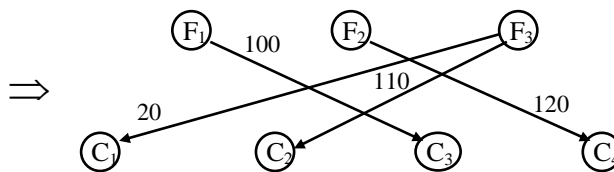
Rezultă două soluții optime indicate în tabelele 3.1.4 și 3.1.5. Costul de transport aferent este de 730 u.m.

În prima variantă numai cererea termocentralei  $C_2$  este integral acoperită,  $C_1$  primind numai 20%,  $C_3$  numai 71% iar  $C_4$  numai 80% din necesarul curent. În a doua variantă  $C_1$  primește cantitatea normală,  $C_2$

numai 27% iar  $C_3$  și  $C_4$  procentele anterioare. După cum se vede reducerea cu 30% a producției normale este repartizată foarte diferit pe consumatori.

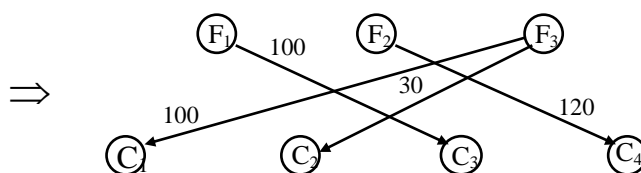
	$C_1$	$C_2$	$C_3$	$C_4$
$F_1$			100	
$F_2$				120
$F_3$	20	110		
$F_4$	80		40	30

Tabelul 3.1.4



	$C_1$	$C_2$	$C_3$	$C_4$
$F_1$			100	
$F_2$				120
$F_3$	100	30		
$F_4$		80	40	30

Tabelul 3.1.5

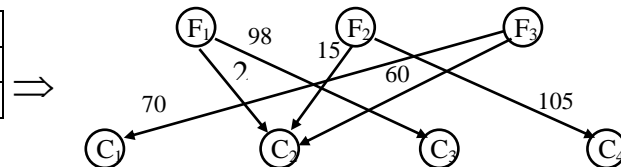


- repartizând producția diminuată proporțional cu cererile normale.

Producția diminuată reprezintă 70% din cea normală, astfel că termocentralele  $C_1$ ,  $C_2$ ,  $C_3$ ,  $C_4$  ar urma să primească  $100 \cdot 0,7 = 70$  mii t,  $110 \cdot 0,7 = 77$  mii t,  $140 \cdot 0,7 = 98$  mii t, respectiv  $150 \cdot 0,7 = 105$  mii t.

Rezolvând problema echilibrată rezultată obținem soluția:

	2	98	
	15		105
70	60		



**Exemplul 3.1.2** Datorită dezvoltării și extinderii capacităților de producție, conducerea firmei X a decis să facă noi angajări în fiecare din cele cinci fabrici ale sale, conform datelor din următorul tabel:

Fabrica	I	II	III	IV	V	Total
Nr. de noi angajați	45	74	50	82	63	314

Noul personal este recrutat din 3 orașe mari aflate în zonă, prin intermediul unor agenții specializate. Contactând aceste agenții, firma a găsit convenabile următoarele oferte:

Agencia din orașul	A	B	C	Total
Număr de oferte convenabile ptr. firmă	120	100	154	374

Fabricile sunt situate într-o zonă rurală așa că, în discuțiile cu sindicatele interesate, firma a convenit să suporte cheltuielile zilnice de întoarcere de la locul de muncă la oraș, la toți angajații noi, cheltuieli evaluate la 12 u.m. pe persoană  $\times$  km. Distanțele în km dintre fabrici și orașe sunt indicate în următorul tabel:

	I	II	III	IV	V
A	6	2	2	6	3
B	14	9	4	5	3
C	10	4	11	3	4

Pentru început conducerea firmei este interesată în a cunoaște câte persoane ar putea fi angajate astfel încât cheltuielile totale de transport să fie cât mai mici cu putință.

Întrucât disponibilul de personal este mai mare decât cererea, vom introduce o "fabrică fictivă" VI a cărei cerere să fie de  $374 - 314 = 60$  noi angajați. Obținem o problemă echilibrată de transport cu datele din tabelul 3.1.6 al cărei obiectiv este *minimizarea numărului total de persoane  $\times$  km*.

Deoarece pe rutele care leagă orașele A, B, C de "fabrica" VI nu vor avea loc transporturi de personal, costurile unitare au fost luate egale cu zero.

	I	II	III	IV	V	VI	Disponibil
A	6	2	2	6	3	0	120
B	14	9	4	5	3	0	100
C	10	4	11	3	4	0	154
Cerere	45	74	50	82	63	60	374

Tabelul 3.1.6

Aplicând algoritmul de rezolvare descris în secțiunea 2.4 se obține următorul program posibil de angajări (vezi tabelul 3.1.7). Toți cei 120 de candidați din orașul A vor fi angajați: 45 la fabrica I, 62 la fabrica II și restul la fabrica III. La fel, candidații din B vor fi angajați în totalitate: 37 la fabrica III și 63 la fabrica V. Din C vor fi acceptate numai 94 de oferte din cele 154 disponibile adică 61%. Rezultă un total (minim) de 1051 oameni × km transportați pentru care firma trebuie să plătească zilnic 12612 u.m.

	I	II	III	IV	V	VI
A	45	62	13			
B			37		63	
C		12		82		60
	45	74	50	82	63	

Tabelul 3.1.7

Conducerea firmei este de părere că adoptarea acestui program ar crea o imagine nefavorabilă firmei pe piața forței de muncă prin "discriminarea" potențialilor lucrători din C față de cei din A sau B și decide să examineze și alte variante. Astfel, pentru a nu apare ca "incorectă" față de candidații potențiali dintr-un oraș sau altul, s-a decis ca surplusul de 60 de oferte ce nu vor putea fi acceptate să fie repartizat în mod egal între cele trei orașe, adică 20 de fiecare. Firma dorește să știe care va fi efectul acestei hotărâri asupra cheltuielilor cu transportul noilor angajați.

Reluăm problema fixând numărul de oferte acceptabile la 120 - 20 = 100 pentru orașul A, 100 - 20 = 80 pentru B și 154 - 20 = 134 pentru C (total 314). Rezultă soluția din tabelul 3.1.8.

	I	II	III	IV	V
A	45	22	33		
B			17		63
C		52		82	

Tabelul 3.1.8

Conform acesteia, numărul total de persoane × km transportați va crește la 1087, implicând cheltuieli zilnice în valoare de 13044 u.m., cu 3,43 % mai mari decât în varianta studiată anterior. Noul program satisface oferta de forță de muncă în proporție de 83,3 % pentru A, 80 % pentru B și 87 % pentru C.

Plecând de la ultima soluție, conducerea firmei dorește să cunoască ce implicații ar putea avea asupra cheltuielilor de transport satisfacerea ofertelor în aceeași proporție.

Notând cu  $a_1$ ,  $a_2$ ,  $a_3$  volumul ofertelor acceptabile din A, B, respectiv C este necesar ca:

$$\frac{a_1}{120} = \frac{a_2}{100} = \frac{a_3}{154} = \frac{a_1 + a_2 + a_3}{120 + 100 + 154} = \frac{314}{374}$$

din care rezultă:  $a_1 = 101$ ,  $a_2 = 84$ ,  $a_3 = 129$ . Cu noile date se obține programul:

	I	II	III	IV	V
A	45	27	29		
B			21		63
C		47		82	

Tabelul 3.1.9

Soluția găsită implică 1089 oameni × km de transportat zilnic la un cost de 13068 u.m., cu 3,6 % mai mare decât în prima variantă.

Firește, în adoptarea deciziei asupra variantei finale a programului de noi angajări, conducerea firmei poate să țină seama și de alte cerințe care nu au fost avute în vedere în studiul întreprins. În consecință, soluțiile sintetizate în tabelele 3.1.7, 3.1.8 și 3.1.9 trebuie considerate ca simple "scenarii" menite să ajute factorii decizionali în luarea unei hotărâri cât mai bune!

### 5.3.2. Blocarea unor rute

Până în prezent am admis că orice rută dintre un furnizor și un consumator poate fi utilizată la un cost de transport mai mic sau mai mare. Sunt cazuri în care, din diferite motive una sau mai multe rute nu pot fi utilizate. “Blocarea” acestor rute se va face prin introducerea unor costuri unitare de transport foarte mari. Concret, dacă ruta  $(F_i, C_j)$  nu mai poate fi folosită vom lua  $c_{ij} = M$  unde  $M$  este o constantă pozitivă foarte mare.

**Exemplul 3.2.1** În exemplul 3.1.1 am determinat programul lunar normal de aprovizionare cu cărbune al celor patru termocentrale în ipoteza că toate rutele erau disponibile (tabelul 3.1.2). Evident, acest program nu va suferi nici o modificare în cazul în care se blochează o rută ce nu era prevăzută a fi utilizată. Să presupunem că în luna următoare ruta  $(F_3, C_3)$  se va închide temporar din cauza unor lucrări de modernizare. În acest fel, mina  $F_3$  nu mai poate aproviziona direct termocentrala  $C_3$ . Pentru a determina schimbările din programul actual cauzate de această întrerupere reevaluăm mărimile  $\Delta_{ij}$  luând de astă dată în calcul  $c_{33} = M \gg 0$ .

	$v_1=3$	$v_2=3$	$v_3=M$	$v_4=2$				
$u_1=1-M$			120		$\Rightarrow$	1-M	2-M	*
$u_2=0$		30		150		-1	*	M-7
$u_3=0$	100	80	20			*	*	*
								-4

Tabelele 3.2.1 - 3.2.2

Deoarece  $\Delta_{23} = M - 7 > 0$ , soluția curentă nu mai este optimă; ea se îmbunătățește folosind conturul poligonal indicat.

Noul program de transport, pus în evidență în tabelul 3.2.3 nu mai utilizează ruta blocată  $(F_3, C_3)$  și ca urmare costul său crește, ajungând la 1190 u.m.

		120	
	10	20	150
100	100		

Tabelul 3.2.3